

表 6-22(8) 曲げ・軸力系の破壊に対する評価結果 (全応力解析)  
 (CCb 工法の適用範囲内の確認：コンクリートの圧縮ひずみ)

解析 ケース	地震動		評価位置*1		時刻 (s) *2	照査用	限界	照査値 $\epsilon_d / \epsilon_R$
						ひずみ*3 $\epsilon_d$	ひずみ $\epsilon_R$	
②	S s - N 1	++	底版	1	7.66 7.65	546 $\mu$	2000 $\mu$	0.28
			中床版	12	7.66 7.65	738 $\mu$	2000 $\mu$	0.37
			側壁	53	7.66 7.65	749 $\mu$	2000 $\mu$	0.38
			隔壁	113	7.66 7.65	630 $\mu$	2000 $\mu$	0.32
			導流壁	62	7.66 7.65	978 $\mu$	2000 $\mu$	0.49
			妻壁	77	7.66 7.65	1367 $\mu$	2000 $\mu$	0.69
②	S s - N 1	- +	底版	2	7.53 7.53	539 $\mu$	2000 $\mu$	0.27
			中床版	13	7.65 7.64	713 $\mu$	2000 $\mu$	0.36
			側壁	43	7.65 7.64	768 $\mu$	2000 $\mu$	0.39
			隔壁	114	7.53 7.53	611 $\mu$	2000 $\mu$	0.31
			導流壁	64	7.53 7.53	939 $\mu$	2000 $\mu$	0.47
			妻壁	78	7.65 7.64	1280 $\mu$	2000 $\mu$	0.64

注記\*1：評価位置は図 6-28 に示す。

\*2：上段：スクリーンエリアにおける抽出時刻, 下段：循環水エリアにおける抽出時刻

\*3：照査用ひずみ=発生ひずみ×構造解析係数  $\gamma_a$

表 6-22(9) 曲げ・軸力系の破壊に対する評価結果 (全応力解析)  
 (CCb 工法の適用範囲内の確認：コンクリートの圧縮ひずみ)

解析 ケース	地震動		評価位置*1		時刻 (s) *2	照査用	限界	照査値 $\epsilon_d / \epsilon_R$
						ひずみ*3 $\epsilon_d$	ひずみ $\epsilon_R$	
③	S s - N 1	++	底版	1	7.67	534 $\mu$	2000 $\mu$	0.27
					7.65			
			中床版	12	7.67	711 $\mu$	2000 $\mu$	0.36
					7.65			
			側壁	53	7.67	718 $\mu$	2000 $\mu$	0.36
					7.65			
隔壁	113	7.67	622 $\mu$	2000 $\mu$	0.32			
		7.65						
導流壁	62	7.67	962 $\mu$	2000 $\mu$	0.49			
		7.65						
妻壁	77	7.67	1332 $\mu$	2000 $\mu$	0.67			
		7.65						
③	S s - N 1	- +	底版	2	7.53	549 $\mu$	2000 $\mu$	0.28
					7.53			
			中床版	13	7.65	728 $\mu$	2000 $\mu$	0.37
					7.64			
			側壁	43	7.65	796 $\mu$	2000 $\mu$	0.40
					7.64			
隔壁	114	7.53	621 $\mu$	2000 $\mu$	0.32			
		7.53						
導流壁	64	7.53	953 $\mu$	2000 $\mu$	0.48			
		7.53						
妻壁	78	7.65	1311 $\mu$	2000 $\mu$	0.66			
		7.64						

注記\*1：評価位置は図 6-28 に示す。

\*2：上段：スクリーンエリアにおける抽出時刻, 下段：循環水エリアにおける抽出時刻

\*3：照査用ひずみ=発生ひずみ×構造解析係数  $\gamma_a$

表 6-22(10) 曲げ・軸力系の破壊に対する評価結果 (全応力解析)

(CCb 工法の適用範囲内の確認：コンクリートの圧縮ひずみ)

解析 ケース	地震動		評価位置*1		時刻 (s) *2	照査用	限界	照査値 $\epsilon_d / \epsilon_R$
						ひずみ*3 $\epsilon_d$	ひずみ $\epsilon_R$	
④	S s - N 1	++	底版	1	7.65	386 $\mu$	2000 $\mu$	0.20
					7.63			
			中床版	12	7.65	489 $\mu$	2000 $\mu$	0.25
					7.63			
			側壁	53	7.65	502 $\mu$	2000 $\mu$	0.26
					7.63			
隔壁	113	7.65	348 $\mu$	2000 $\mu$	0.18			
		7.63						
導流壁	62	7.65	678 $\mu$	2000 $\mu$	0.34			
		7.63						
妻壁	77	7.65	796 $\mu$	2000 $\mu$	0.40			
		7.63						
④	S s - N 1	-+	底版	2	7.64	388 $\mu$	2000 $\mu$	0.20
					7.63			
			中床版	13	7.64	485 $\mu$	2000 $\mu$	0.25
					7.63			
			側壁	43	7.64	550 $\mu$	2000 $\mu$	0.28
					7.63			
隔壁	114	7.64	334 $\mu$	2000 $\mu$	0.17			
		7.63						
導流壁	64	7.64	653 $\mu$	2000 $\mu$	0.33			
		7.63						
妻壁	78	7.64	773 $\mu$	2000 $\mu$	0.39			
		7.63						

注記\*1：評価位置は図 6-28 に示す。

\*2：上段：スクリーンエリアにおける抽出時刻, 下段：循環水エリアにおける抽出時刻

\*3：照査用ひずみ=発生ひずみ×構造解析係数  $\gamma_a$

表 6-22(11) 曲げ・軸力系の破壊に対する評価結果 (有効応力解析)

(CCb 工法の適用範囲内の確認: コンクリートの圧縮ひずみ)

解析 ケース	地震動		評価位置*1		時刻 (s) *2	照査用	限界	照査値 $\epsilon_d / \epsilon_R$
						ひずみ *3 $\epsilon_d$	ひずみ $\epsilon_R$	
⑥	S s - D 1	++	底版	2	45.44	531 $\mu$	2000 $\mu$	0.27
					45.43			
			中床版	13	45.44	741 $\mu$	2000 $\mu$	0.38
					45.43			
			側壁	43	45.44	747 $\mu$	2000 $\mu$	0.38
					45.43			
		隔壁	114	45.44	635 $\mu$	2000 $\mu$	0.32	
				45.43				
		導流壁	64	45.44	935 $\mu$	2000 $\mu$	0.47	
				45.43				
		妻壁	78	45.44	1278 $\mu$	2000 $\mu$	0.64	
				45.43				
-+	底版	1	45.44	544 $\mu$	2000 $\mu$	0.28		
			45.43					
	中床版	12	45.44	753 $\mu$	2000 $\mu$	0.38		
			45.43					
	側壁	53	45.44	748 $\mu$	2000 $\mu$	0.38		
			45.43					
隔壁	113	45.44	622 $\mu$	2000 $\mu$	0.32			
		45.43						
導流壁	62	45.44	969 $\mu$	2000 $\mu$	0.49			
		45.43						
妻壁	77	45.44	1328 $\mu$	2000 $\mu$	0.67			
		45.43						

注記\*1: 評価位置は図 6-28 に示す。

\*2: 上段: スクリーンエリアにおける抽出時刻, 下段: 循環水エリアにおける抽出時刻

\*3: 照査用ひずみ = 発生ひずみ  $\times$  構造解析係数  $\gamma_a$



表 6-22(12) 曲げ・軸力系の破壊に対する評価結果 (有効応力解析)

(CCb 工法の適用範囲内の確認：コンクリートの圧縮ひずみ)

解析 ケース	地震動		評価位置*1		時刻 (s) *2	照査用	限界	照査値 $\epsilon_d / \epsilon_R$
						ひずみ*3 $\epsilon_d$	ひずみ $\epsilon_R$	
⑥	S s - D 2	++	底版	2	13.44 13.43	454 $\mu$	2000 $\mu$	0.23
			中床版	12	13.44 13.43	658 $\mu$	2000 $\mu$	0.33
			側壁	43	13.47 13.45	688 $\mu$	2000 $\mu$	0.35
			隔壁	114	13.44 13.43	560 $\mu$	2000 $\mu$	0.28
			導流壁	64	13.44 13.43	815 $\mu$	2000 $\mu$	0.41
			妻壁	78	13.44 13.43	1078 $\mu$	2000 $\mu$	0.54
		-+	底版	1	13.46 13.44	447 $\mu$	2000 $\mu$	0.23
			中床版	12	13.46 13.44	645 $\mu$	2000 $\mu$	0.33
			側壁	53	13.46 13.44	659 $\mu$	2000 $\mu$	0.33
			隔壁	113	13.46 13.44	550 $\mu$	2000 $\mu$	0.28
			導流壁	62	13.46 13.44	809 $\mu$	2000 $\mu$	0.41
			妻壁	77	13.46 13.44	1100 $\mu$	2000 $\mu$	0.55

注記\*1：評価位置は図 6-28 に示す。

\*2：上段：スクリーンエリアにおける抽出時刻, 下段：循環水エリアにおける抽出時刻

\*3：照査用ひずみ=発生ひずみ×構造解析係数  $\gamma_a$

表 6-22(13) 曲げ・軸力系の破壊に対する評価結果 (有効応力解析)

(CCb 工法の適用範囲内の確認: コンクリートの圧縮ひずみ)

解析 ケース	地震動		評価位置*1		時刻 (s) *2	照査用	限界	照査値 $\epsilon_d / \epsilon_R$
						ひずみ *3 $\epsilon_d$	ひずみ $\epsilon_R$	
⑥	S s - D 3	++	底版	2	15.63 ----- 15.62	282 $\mu$	2000 $\mu$	0.15
			中床版	12	15.63 ----- 15.62	384 $\mu$	2000 $\mu$	0.20
			側壁	43	15.63 ----- 15.62	352 $\mu$	2000 $\mu$	0.18
			隔壁	114	15.63 ----- 15.62	292 $\mu$	2000 $\mu$	0.15
			導流壁	64	15.63 ----- 15.62	485 $\mu$	2000 $\mu$	0.25
			妻壁	78	15.63 ----- 15.62	580 $\mu$	2000 $\mu$	0.29
		-+	底版	1	15.62 ----- 15.61	377 $\mu$	2000 $\mu$	0.19
			中床版	13	15.62 ----- 15.61	470 $\mu$	2000 $\mu$	0.24
			側壁	53	15.62 ----- 15.61	465 $\mu$	2000 $\mu$	0.24
			隔壁	113	15.62 ----- 15.61	425 $\mu$	2000 $\mu$	0.22
			導流壁	62	15.62 ----- 15.61	633 $\mu$	2000 $\mu$	0.32
			妻壁	77	15.62 ----- 15.61	773 $\mu$	2000 $\mu$	0.39

注記\*1: 評価位置は図 6-28 に示す。

\*2: 上段: スクリーンエリアにおける抽出時刻, 下段: 循環水エリアにおける抽出時刻

\*3: 照査用ひずみ = 発生ひずみ  $\times$  構造解析係数  $\gamma_a$

表 6-22(14) 曲げ・軸力系の破壊に対する評価結果 (有効応力解析)

(CCb 工法の適用範囲内の確認: コンクリートの圧縮ひずみ)

解析 ケース	地震動		評価位置*1		時刻 (s) *2	照査用	限界	照査値 $\epsilon_d / \epsilon_R$
						ひずみ *3 $\epsilon_d$	ひずみ $\epsilon_R$	
⑥	S s - F 1	++	底版	1	26.06	378 $\mu$	2000 $\mu$	0.19
					26.06			
			中床版	13	26.06	495 $\mu$	2000 $\mu$	0.25
					26.06			
			側壁	43	22.30	504 $\mu$	2000 $\mu$	0.26
					22.29			
		隔壁	114	22.30	447 $\mu$	2000 $\mu$	0.23	
				22.29				
		導流壁	64	22.30	652 $\mu$	2000 $\mu$	0.33	
				22.29				
		妻壁	78	22.30	791 $\mu$	2000 $\mu$	0.40	
				22.29				
		-+	底版	2	18.92	390 $\mu$	2000 $\mu$	0.20
					18.92			
中床版	13		18.92	531 $\mu$	2000 $\mu$	0.27		
			18.92					
側壁	43		26.10	550 $\mu$	2000 $\mu$	0.28		
			26.09					
隔壁	114	18.92	470 $\mu$	2000 $\mu$	0.24			
		18.92						
導流壁	64	18.92	663 $\mu$	2000 $\mu$	0.34			
		18.92						
妻壁	78	18.92	814 $\mu$	2000 $\mu$	0.41			
		18.92						

注記\*1: 評価位置は図 6-28 に示す。

\*2: 上段: スクリーンエリアにおける抽出時刻, 下段: 循環水エリアにおける抽出時刻

\*3: 照査用ひずみ = 発生ひずみ  $\times$  構造解析係数  $\gamma_a$

表 6-22(15) 曲げ・軸力系の破壊に対する評価結果 (有効応力解析)

(CCb 工法の適用範囲内の確認: コンクリートの圧縮ひずみ)

解析 ケース	地震動		評価位置*1		時刻 (s) *2	照査用	限界	照査値 $\epsilon_d / \epsilon_R$
						ひずみ *3 $\epsilon_d$	ひずみ $\epsilon_R$	
⑥	S s - F 2	+	底版	2	28.49	418 $\mu$	2000 $\mu$	0.21
					28.49			
			中床版	13	28.49	510 $\mu$	2000 $\mu$	0.26
					28.49			
			側壁	43	28.49	576 $\mu$	2000 $\mu$	0.29
					28.49			
		隔壁	114	28.47	491 $\mu$	2000 $\mu$	0.25	
				28.46				
		導流壁	64	28.49	681 $\mu$	2000 $\mu$	0.35	
				28.49				
		妻壁	78	28.49	864 $\mu$	2000 $\mu$	0.44	
				28.49				
-	底版	1	28.46	413 $\mu$	2000 $\mu$	0.21		
			28.45					
	中床版	13	28.47	531 $\mu$	2000 $\mu$	0.27		
			28.46					
	側壁	53	28.47	519 $\mu$	2000 $\mu$	0.26		
			28.46					
隔壁	113	28.46	522 $\mu$	2000 $\mu$	0.27			
		28.45						
導流壁	62	28.46	740 $\mu$	2000 $\mu$	0.37			
		28.45						
妻壁	77	28.47	906 $\mu$	2000 $\mu$	0.46			
		28.46						

注記\*1: 評価位置は図 6-28 に示す。

\*2: 上段: スクリーンエリアにおける抽出時刻, 下段: 循環水エリアにおける抽出時刻

\*3: 照査用ひずみ = 発生ひずみ  $\times$  構造解析係数  $\gamma_a$

表 6-22(16) 曲げ・軸力系の破壊に対する評価結果 (有効応力解析)

(CCb 工法の適用範囲内の確認：コンクリートの圧縮ひずみ)

解析 ケース	地震動		評価位置*1		時刻 (s) *2	照査用	限界	照査値 $\epsilon_d / \epsilon_R$
						ひずみ *3 $\epsilon_d$	ひずみ $\epsilon_R$	
⑥	S s - F 3	++	底版	2	26.87 26.86	394 $\mu$	2000 $\mu$	0.20
			中床版	12	26.87 26.86	526 $\mu$	2000 $\mu$	0.27
			側壁	43	26.87 26.86	490 $\mu$	2000 $\mu$	0.25
			隔壁	114	26.87 26.86	456 $\mu$	2000 $\mu$	0.23
			導流壁	64	26.87 26.86	650 $\mu$	2000 $\mu$	0.33
			妻壁	78	26.87 26.86	800 $\mu$	2000 $\mu$	0.40
		-+	底版	1	26.87 26.86	399 $\mu$	2000 $\mu$	0.20
			中床版	13	26.87 26.86	540 $\mu$	2000 $\mu$	0.27
			側壁	53	26.87 26.86	504 $\mu$	2000 $\mu$	0.26
			隔壁	113	26.87 26.86	486 $\mu$	2000 $\mu$	0.25
			導流壁	62	26.87 26.86	684 $\mu$	2000 $\mu$	0.35
			妻壁	77	26.87 26.86	842 $\mu$	2000 $\mu$	0.43

注記\*1：評価位置は図 6-28 に示す。

\*2：上段：スクリーンエリアにおける抽出時刻, 下段：循環水エリアにおける抽出時刻

\*3：照査用ひずみ=発生ひずみ×構造解析係数  $\gamma_a$

表 6-22(17) 曲げ・軸力系の破壊に対する評価結果 (有効応力解析)

(CCb 工法の適用範囲内の確認: コンクリートの圧縮ひずみ)

解析 ケース	地震動		評価位置*1		時刻 (s) *2	照査用	限界	照査値 $\epsilon_d / \epsilon_R$
						ひずみ*3 $\epsilon_d$	ひずみ $\epsilon_R$	
⑥	S s - N 1	++	底版	1	7.56 ----- 7.55	542 $\mu$	2000 $\mu$	0.28
			中床版	13	7.56 ----- 7.55	705 $\mu$	2000 $\mu$	0.36
			側壁	53	7.56 ----- 7.55	699 $\mu$	2000 $\mu$	0.35
			隔壁	113	7.56 ----- 7.55	648 $\mu$	2000 $\mu$	0.33
			導流壁	62	7.56 ----- 7.55	956 $\mu$	2000 $\mu$	0.48
			妻壁	77	7.56 ----- 7.55	1300 $\mu$	2000 $\mu$	0.65
		-+	底版	2	7.56 ----- 7.55	536 $\mu$	2000 $\mu$	0.27
			中床版	12	7.55 ----- 7.55	683 $\mu$	2000 $\mu$	0.35
			側壁	43	7.55 ----- 7.55	690 $\mu$	2000 $\mu$	0.35
			隔壁	114	7.55 ----- 7.55	616 $\mu$	2000 $\mu$	0.41
			導流壁	64	7.55 ----- 7.55	920 $\mu$	2000 $\mu$	0.46
			妻壁	78	7.55 ----- 7.55	1233 $\mu$	2000 $\mu$	0.62

注記\*1: 評価位置は図 6-28 に示す。

\*2: 上段: スクリーンエリアにおける抽出時刻, 下段: 循環水エリアにおける抽出時刻

\*3: 照査用ひずみ = 発生ひずみ  $\times$  構造解析係数  $\gamma_a$

表 6-22(18) 曲げ・軸力系の破壊に対する評価結果 (有効応力解析)

(CCb 工法の適用範囲内の確認：コンクリートの圧縮ひずみ)

解析 ケース	地震動		評価位置*1		時刻 (s) *2	照査用	限界	照査値 $\epsilon_d / \epsilon_R$
						ひずみ*3 $\epsilon_d$	ひずみ $\epsilon_R$	
⑦	S s - D 2	++	底版	2	13.44	458 $\mu$	2000 $\mu$	0.23
					13.43			
			中床版	12	13.44	665 $\mu$	2000 $\mu$	0.34
					13.43			
			側壁	43	13.47	686 $\mu$	2000 $\mu$	0.35
					13.45			
隔壁	114	13.44	566 $\mu$	2000 $\mu$	0.29			
		13.43						
導流壁	64	13.44	826 $\mu$	2000 $\mu$	0.42			
		13.43						
妻壁	78	13.44	1096 $\mu$	2000 $\mu$	0.55			
		13.43						
⑦	S s - N 1	- +	底版	2	7.55	533 $\mu$	2000 $\mu$	0.27
					7.55			
			中床版	12	7.55	677 $\mu$	2000 $\mu$	0.34
					7.55			
			側壁	43	7.55	690 $\mu$	2000 $\mu$	0.35
					7.55			
隔壁	114	7.55	615 $\mu$	2000 $\mu$	0.31			
		7.55						
導流壁	64	7.55	915 $\mu$	2000 $\mu$	0.46			
		7.55						
妻壁	78	7.55	1227 $\mu$	2000 $\mu$	0.62			
		7.55						

注記\*1：評価位置は図 6-28 に示す。

\*2：上段：スクリーンエリアにおける抽出時刻, 下段：循環水エリアにおける抽出時刻

\*3：照査用ひずみ=発生ひずみ×構造解析係数  $\gamma_a$

表 6-22(19) 曲げ・軸力系の破壊に対する評価結果 (有効応力解析)

(CCb 工法の適用範囲内の確認: コンクリートの圧縮ひずみ)

解析 ケース	地震動		評価位置*1		時刻 (s) *2	照査用	限界	照査値 $\epsilon_d / \epsilon_R$
						ひずみ*3 $\epsilon_d$	ひずみ $\epsilon_R$	
⑧	S s - D 2	++	底版	2	13.44	458 $\mu$	2000 $\mu$	0.23
					13.43			
			中床版	13	13.47	664 $\mu$	2000 $\mu$	0.34
					13.45			
			側壁	43	13.47	710 $\mu$	2000 $\mu$	0.36
					13.45			
隔壁	114	13.44	566 $\mu$	2000 $\mu$	0.29			
		13.43						
導流壁	64	13.44	826 $\mu$	2000 $\mu$	0.42			
		13.43						
妻壁	78	13.47	1102 $\mu$	2000 $\mu$	0.56			
		13.45						
⑧	S s - N 1	- +	底版	2	7.55	545 $\mu$	2000 $\mu$	0.28
					7.54			
			中床版	12	7.55	693 $\mu$	2000 $\mu$	0.35
					7.54			
			側壁	43	7.55	716 $\mu$	2000 $\mu$	0.36
					7.54			
隔壁	114	7.55	644 $\mu$	2000 $\mu$	0.33			
		7.54						
導流壁	64	7.55	942 $\mu$	2000 $\mu$	0.48			
		7.54						
妻壁	78	7.55	1278 $\mu$	2000 $\mu$	0.64			
		7.54						

注記\*1: 評価位置は図 6-28 に示す。

\*2: 上段: スクリーンエリアにおける抽出時刻, 下段: 循環水エリアにおける抽出時刻

\*3: 照査用ひずみ = 発生ひずみ  $\times$  構造解析係数  $\gamma_a$



表 6-22 (20) 曲げ・軸力系の破壊に対する評価結果 (有効応力解析)

(CCb 工法の適用範囲内の確認: コンクリートの圧縮ひずみ)

解析 ケース	地震動		評価位置*1		時刻 (s) *2	照査用	限界	照査値 $\epsilon_d / \epsilon_R$
						ひずみ*3 $\epsilon_d$	ひずみ $\epsilon_R$	
⑨	S s - D 2	++	底版	2	13.43	305 $\mu$	2000 $\mu$	0.16
					13.43			
			中床版	12	13.43	414 $\mu$	2000 $\mu$	0.21
					13.43			
			側壁	43	13.43	400 $\mu$	2000 $\mu$	0.20
					13.43			
隔壁	114	13.43	305 $\mu$	2000 $\mu$	0.16			
		13.43						
導流壁	64	13.43	552 $\mu$	2000 $\mu$	0.28			
		13.43						
妻壁	78	13.43	648 $\mu$	2000 $\mu$	0.33			
		13.43						
⑩	S s - N 1	- +	底版	2	7.55	354 $\mu$	2000 $\mu$	0.18
					7.54			
			中床版	13	7.55	413 $\mu$	2000 $\mu$	0.21
					7.54			
			側壁	43	7.55	419 $\mu$	2000 $\mu$	0.21
					7.54			
隔壁	114	7.55	326 $\mu$	2000 $\mu$	0.17			
		7.54						
導流壁	64	7.55	581 $\mu$	2000 $\mu$	0.30			
		7.54						
妻壁	78	7.55	687 $\mu$	2000 $\mu$	0.35			
		7.54						

注記\*1: 評価位置は図 6-28 に示す。

\*2: 上段: スクリーンエリアにおける抽出時刻, 下段: 循環水エリアにおける抽出時刻

\*3: 照査用ひずみ = 発生ひずみ  $\times$  構造解析係数  $\gamma_a$

表 6-23(1) 曲げ・軸力系の破壊に対する評価結果 (全応力解析)

(CCb 工法の適用範囲内の確認：主筋ひずみ)

解析 ケース	地震動		評価位置*1		時刻 (s) *2	照査用	限界	照査値 $\epsilon_d / \epsilon_R$
						ひずみ*3 $\epsilon_d$	ひずみ $\epsilon_R$	
①	S s - D 1	++	底版	2	32.30 32.30	651 $\mu$	1725 $\mu$	0.38
			中床版	14	32.30 32.30	1174 $\mu$	1725 $\mu$	0.69
			側壁	53	32.30 32.29	509 $\mu$	1725 $\mu$	0.30
			隔壁	112	32.30 32.29	693 $\mu$	1725 $\mu$	0.41
			導流壁	63	32.30 32.30	1091 $\mu$	1725 $\mu$	0.64
			妻壁	73	32.30 32.30	459 $\mu$	1725 $\mu$	0.27
		-+	底版	1	32.30 32.29	605 $\mu$	1725 $\mu$	0.36
			中床版	11	32.30 32.29	1070 $\mu$	1725 $\mu$	0.63
			側壁	43	32.30 32.29	588 $\mu$	1725 $\mu$	0.35
			隔壁	112	32.30 32.29	621 $\mu$	1725 $\mu$	0.36
			導流壁	63	32.30 32.29	1034 $\mu$	1725 $\mu$	0.60
			妻壁	79	32.30 32.29	456 $\mu$	1725 $\mu$	0.27

注記\*1：評価位置は図 6-28 に示す。

\*2：上段：スクリーンエリアにおける抽出時刻, 下段：循環水エリアにおける抽出時刻

\*3：照査用ひずみ=発生ひずみ×構造解析係数  $\gamma_a$

表 6-23(2) 曲げ・軸力系の破壊に対する評価結果 (全応力解析)

(CCb 工法の適用範囲内の確認：主筋ひずみ)

解析 ケース	地震動		評価位置*1		時刻 (s) *2	照査用	限界	照査値 $\epsilon_d / \epsilon_R$
						ひずみ*3 $\epsilon_d$	ひずみ $\epsilon_R$	
①	S s - D 2	++	底版	2	13.41	537 $\mu$	1725 $\mu$	0.32
					13.40			
			中床版	11	13.56	988 $\mu$	1725 $\mu$	0.58
					13.56			
			側壁	43	13.56	557 $\mu$	1725 $\mu$	0.33
					13.56			
		隔壁	111	13.56	788 $\mu$	1725 $\mu$	0.46	
				13.56				
		導流壁	63	13.41	850 $\mu$	1725 $\mu$	0.50	
				13.40				
		妻壁	79	13.56	574 $\mu$	1725 $\mu$	0.34	
				13.56				
-+	底版	2	13.56	556 $\mu$	1725 $\mu$	0.33		
			13.56					
	中床版	14	13.56	1032 $\mu$	1725 $\mu$	0.60		
			13.56					
	側壁	53	13.56	497 $\mu$	1725 $\mu$	0.29		
			13.56					
隔壁	112	13.54	729 $\mu$	1725 $\mu$	0.43			
		13.55						
導流壁	63	13.56	861 $\mu$	1725 $\mu$	0.50			
		13.56						
妻壁	76	13.56	536 $\mu$	1725 $\mu$	0.32			
		13.56						

注記\*1：評価位置は図 6-28 に示す。

\*2：上段：スクリーンエリアにおける抽出時刻, 下段：循環水エリアにおける抽出時刻

\*3：照査用ひずみ=発生ひずみ×構造解析係数  $\gamma_a$

表 6-23(3) 曲げ・軸力系の破壊に対する評価結果 (全応力解析)

(CCb 工法の適用範囲内の確認：主筋ひずみ)

解析 ケース	地震動		評価位置*1		時刻 (s) *2	照査用	限界	照査値 $\epsilon_d / \epsilon_R$
						ひずみ*3 $\epsilon_d$	ひずみ $\epsilon_R$	
①	S s - D 3	++	底版	2	15.63 15.57	405 $\mu$	1725 $\mu$	0.24
			中床版	14	15.59 15.59	743 $\mu$	1725 $\mu$	0.44
			側壁	53	30.17 30.15	302 $\mu$	1725 $\mu$	0.18
			隔壁	112	15.59 15.59	413 $\mu$	1725 $\mu$	0.24
			導流壁	63	15.59 15.59	706 $\mu$	1725 $\mu$	0.41
			妻壁	77	15.59 15.59	278 $\mu$	1725 $\mu$	0.17
		-+	底版	2	29.73 29.71	369 $\mu$	1725 $\mu$	0.22
			中床版	14	29.73 29.71	630 $\mu$	1725 $\mu$	0.37
			側壁	43	13.25 13.25	317 $\mu$	1725 $\mu$	0.19
			隔壁	111	30.16 30.15	376 $\mu$	1725 $\mu$	0.22
			導流壁	63	30.16 30.15	700 $\mu$	1725 $\mu$	0.41
			妻壁	78	30.16 30.15	262 $\mu$	1725 $\mu$	0.16

注記\*1：評価位置は図 6-28 に示す。

\*2：上段：スクリーンエリアにおける抽出時刻, 下段：循環水エリアにおける抽出時刻

\*3：照査用ひずみ=発生ひずみ×構造解析係数  $\gamma_a$

表 6-23(4) 曲げ・軸力系の破壊に対する評価結果 (全応力解析)

(CCb 工法の適用範囲内の確認：主筋ひずみ)

解析 ケース	地震動		評価位置*1		時刻 (s) *2	照査用	限界	照査値 $\epsilon_d / \epsilon_R$
						ひずみ*3 $\epsilon_d$	ひずみ $\epsilon_R$	
①	S s - F 1	++	底版	2	15.96 ----- 15.95	322 $\mu$	1725 $\mu$	0.19
			中床版	14	15.96 ----- 15.95	509 $\mu$	1725 $\mu$	0.30
			側壁	53	15.96 ----- 15.95	255 $\mu$	1725 $\mu$	0.15
			隔壁	112	22.30 ----- 22.31	166 $\mu$	1725 $\mu$	0.10
			導流壁	63	15.96 ----- 15.95	614 $\mu$	1725 $\mu$	0.36
			妻壁	77	15.96 ----- 15.95	207 $\mu$	1725 $\mu$	0.12
		-+	底版	2	22.70 ----- 22.69	424 $\mu$	1725 $\mu$	0.25
			中床版	14	22.70 ----- 22.69	788 $\mu$	1725 $\mu$	0.46
			側壁	53	22.69 ----- 22.68	269 $\mu$	1725 $\mu$	0.16
			隔壁	112	22.70 ----- 22.69	398 $\mu$	1725 $\mu$	0.24
			導流壁	63	22.70 ----- 22.69	659 $\mu$	1725 $\mu$	0.39
			妻壁	77	22.70 ----- 22.69	311 $\mu$	1725 $\mu$	0.19

注記\*1：評価位置は図 6-28 に示す。

\*2：上段：スクリーンエリアにおける抽出時刻, 下段：循環水エリアにおける抽出時刻

\*3：照査用ひずみ=発生ひずみ×構造解析係数  $\gamma_a$

表 6-23(5) 曲げ・軸力系の破壊に対する評価結果 (全応力解析)

(CCb 工法の適用範囲内の確認：主筋ひずみ)

解析 ケース	地震動		評価位置*1		時刻 (s) *2	照査用	限界	照査値 $\epsilon_d / \epsilon_R$
						ひずみ*3 $\epsilon_d$	ひずみ $\epsilon_R$	
①	S s - F 2	++	底版	2	28.46 28.47	462 $\mu$	1725 $\mu$	0.27
			中床版	14	28.49 28.48	964 $\mu$	1725 $\mu$	0.56
			側壁	53	28.49 28.48	366 $\mu$	1725 $\mu$	0.22
			隔壁	113	28.49 28.48	437 $\mu$	1725 $\mu$	0.26
			導流壁	62	28.49 28.48	874 $\mu$	1725 $\mu$	0.51
			妻壁	73	28.49 28.48	393 $\mu$	1725 $\mu$	0.23
		-+	底版	1	28.49 28.48	500 $\mu$	1725 $\mu$	0.29
			中床版	11	28.49 28.48	1053 $\mu$	1725 $\mu$	0.62
			側壁	43	28.49 28.48	363 $\mu$	1725 $\mu$	0.22
			隔壁	114	28.49 28.48	450 $\mu$	1725 $\mu$	0.27
			導流壁	64	28.49 28.48	1030 $\mu$	1725 $\mu$	0.60
			妻壁	74	28.49 28.48	419 $\mu$	1725 $\mu$	0.25

注記\*1：評価位置は図 6-28 に示す。

\*2：上段：スクリーンエリアにおける抽出時刻, 下段：循環水エリアにおける抽出時刻

\*3：照査用ひずみ=発生ひずみ×構造解析係数  $\gamma_a$

表 6-23(6) 曲げ・軸力系の破壊に対する評価結果 (全応力解析)

(CCb 工法の適用範囲内の確認：主筋ひずみ)

解析 ケース	地震動		評価位置*1		時刻 (s) *2	照査用	限界	照査値 $\epsilon_d / \epsilon_R$
						ひずみ*3 $\epsilon_d$	ひずみ $\epsilon_R$	
①	S s - F 3	++	底版	2	26.86 26.84	521 $\mu$	1725 $\mu$	0.31
			中床版	14	26.91 26.84	827 $\mu$	1725 $\mu$	0.48
			側壁	53	26.86 26.84	360 $\mu$	1725 $\mu$	0.21
			隔壁	112	26.84 26.83	525 $\mu$	1725 $\mu$	0.31
			導流壁	63	26.84 26.83	832 $\mu$	1725 $\mu$	0.49
			妻壁	73	26.84 26.83	315 $\mu$	1725 $\mu$	0.19
		-+	底版	1	26.85 26.83	400 $\mu$	1725 $\mu$	0.24
			中床版	11	26.84 26.83	644 $\mu$	1725 $\mu$	0.38
			側壁	43	26.85 26.83	392 $\mu$	1725 $\mu$	0.23
			隔壁	112	26.84 26.83	479 $\mu$	1725 $\mu$	0.28
			導流壁	63	26.84 26.83	804 $\mu$	1725 $\mu$	0.47
			妻壁	78	26.84 26.83	320 $\mu$	1725 $\mu$	0.19

注記\*1：評価位置は図 6-28 に示す。

\*2：上段：スクリーンエリアにおける抽出時刻, 下段：循環水エリアにおける抽出時刻

\*3：照査用ひずみ=発生ひずみ×構造解析係数  $\gamma_a$

表 6-23(7) 曲げ・軸力系の破壊に対する評価結果 (全応力解析)

(CCb 工法の適用範囲内の確認：主筋ひずみ)

解析 ケース	地震動		評価位置*1		時刻 (s) *2		照査用	限界	照査値 $\epsilon_d / \epsilon_R$
							ひずみ*3 $\epsilon_d$	ひずみ $\epsilon_R$	
①	S s - N 1	++	底版	1	7.54 7.53	777 $\mu$	1725 $\mu$	0.46	
			中床版	11	7.66 7.65	1368 $\mu$	1725 $\mu$	0.80	
			側壁	43	7.53 7.52	808 $\mu$	1725 $\mu$	0.47	
			隔壁	111	7.54 7.53	765 $\mu$	1725 $\mu$	0.45	
			導流壁	63	7.66 7.65	1208 $\mu$	1725 $\mu$	0.71	
			妻壁	75	7.66 7.65	587 $\mu$	1725 $\mu$	0.35	
		-+	底版	2	7.65 7.64	846 $\mu$	1725 $\mu$	0.50	
			中床版	14	7.65 7.64	1460 $\mu$	1725 $\mu$	0.85	
			側壁	53	7.53 7.53	714 $\mu$	1725 $\mu$	0.42	
			隔壁	112	7.53 7.53	786 $\mu$	1725 $\mu$	0.46	
			導流壁	62	7.53 7.53	1226 $\mu$	1725 $\mu$	0.72	
			妻壁	74	7.65 7.64	591 $\mu$	1725 $\mu$	0.35	

注記\*1：評価位置は図 6-28 に示す。

\*2：上段：スクリーンエリアにおける抽出時刻, 下段：循環水エリアにおける抽出時刻

\*3：照査用ひずみ=発生ひずみ×構造解析係数  $\gamma_a$



表 6-23(8) 曲げ・軸力系の破壊に対する評価結果 (全応力解析)

(CCb 工法の適用範囲内の確認：主筋ひずみ)

解析 ケース	地震動		評価位置*1		時刻 (s) *2	照査用	限界	照査値 $\epsilon_d / \epsilon_R$
						ひずみ*3 $\epsilon_d$	ひずみ $\epsilon_R$	
②	S s - N 1	++	底版	1	7.54	768 $\mu$	1725 $\mu$	0.45
					7.53			
			中床版	11	7.66	1397 $\mu$	1725 $\mu$	0.81
					7.65			
			側壁	43	7.53	784 $\mu$	1725 $\mu$	0.46
					7.52			
隔壁	111	7.54	754 $\mu$	1725 $\mu$	0.44			
		7.53						
導流壁	63	7.66	1206 $\mu$	1725 $\mu$	0.70			
		7.65						
妻壁	75	7.66	594 $\mu$	1725 $\mu$	0.35			
		7.65						
②	S s - N 1	- +	底版	2	7.65	801 $\mu$	1725 $\mu$	0.47
					7.64			
			中床版	14	7.65	1418 $\mu$	1725 $\mu$	0.83
					7.64			
			側壁	53	7.53	688 $\mu$	1725 $\mu$	0.40
					7.53			
隔壁	112	7.53	768 $\mu$	1725 $\mu$	0.45			
		7.53						
導流壁	62	7.53	1166 $\mu$	1725 $\mu$	0.68			
		7.53						
妻壁	74	7.65	567 $\mu$	1725 $\mu$	0.33			
		7.64						

注記\*1：評価位置は図 6-28 に示す。

\*2：上段：スクリーンエリアにおける抽出時刻, 下段：循環水エリアにおける抽出時刻

\*3：照査用ひずみ=発生ひずみ×構造解析係数  $\gamma_a$

表 6-23(9) 曲げ・軸力系の破壊に対する評価結果 (全応力解析)

(CCb 工法の適用範囲内の確認：主筋ひずみ)

解析 ケース	地震動		評価位置*1		時刻 (s) *2	照査用	限界	照査値 $\epsilon_d / \epsilon_R$
						ひずみ*3 $\epsilon_d$	ひずみ $\epsilon_R$	
③	S s - N 1	++	底版	1	7.54 7.53	767 $\mu$	1725 $\mu$	0.45
			中床版	11	7.67 7.65	1374 $\mu$	1725 $\mu$	0.80
			側壁	43	7.53 7.52	806 $\mu$	1725 $\mu$	0.47
			隔壁	111	7.54 7.53	768 $\mu$	1725 $\mu$	0.45
			導流壁	63	7.67 7.65	1192 $\mu$	1725 $\mu$	0.70
			妻壁	77	7.67 7.65	578 $\mu$	1725 $\mu$	0.34
③	S s - N 1	- +	底版	2	7.65 7.64	845 $\mu$	1725 $\mu$	0.49
			中床版	14	7.65 7.64	1461 $\mu$	1725 $\mu$	0.85
			側壁	53	7.53 7.53	702 $\mu$	1725 $\mu$	0.41
			隔壁	112	7.53 7.53	768 $\mu$	1725 $\mu$	0.45
			導流壁	62	7.65 7.64	1197 $\mu$	1725 $\mu$	0.70
			妻壁	74	7.65 7.64	590 $\mu$	1725 $\mu$	0.35

注記\*1：評価位置は図 6-28 に示す。

\*2：上段：スクリーンエリアにおける抽出時刻, 下段：循環水エリアにおける抽出時刻

\*3：照査用ひずみ=発生ひずみ×構造解析係数  $\gamma_a$

表 6-23(10) 曲げ・軸力系の破壊に対する評価結果 (全応力解析)

(CCb 工法の適用範囲内の確認：主筋ひずみ)

解析 ケース	地震動		評価位置*1		時刻 (s) *2	照査用	限界	照査値 $\epsilon_d / \epsilon_R$
						ひずみ*3 $\epsilon_d$	ひずみ $\epsilon_R$	
④	S s - N 1	++	底版	1	7.65	453 $\mu$	1725 $\mu$	0.27
					7.63			
			中床版	11	7.65	879 $\mu$	1725 $\mu$	0.51
					7.63			
			側壁	43	7.52	314 $\mu$	1725 $\mu$	0.19
					7.52			
隔壁	111	7.65	309 $\mu$	1725 $\mu$	0.18			
		7.63						
導流壁	63	7.65	968 $\mu$	1725 $\mu$	0.57			
		7.63						
妻壁	78	7.65	306 $\mu$	1725 $\mu$	0.18			
		7.63						
④	S s - N 1	-+	底版	2	7.53	484 $\mu$	1725 $\mu$	0.29
					7.52			
			中床版	14	7.64	1016 $\mu$	1725 $\mu$	0.59
					7.63			
			側壁	53	7.52	266 $\mu$	1725 $\mu$	0.16
					7.52			
隔壁	112	7.64	507 $\mu$	1725 $\mu$	0.30			
		7.63						
導流壁	64	7.64	968 $\mu$	1725 $\mu$	0.57			
		7.63						
妻壁	78	7.64	304 $\mu$	1725 $\mu$	0.18			
		7.63						

注記\*1：評価位置は図 6-28 に示す。

\*2：上段：スクリーンエリアにおける抽出時刻, 下段：循環水エリアにおける抽出時刻

\*3：照査用ひずみ=発生ひずみ×構造解析係数  $\gamma_a$

表 6-23(11) 曲げ・軸力系の破壊に対する評価結果 (有効応力解析)

(CCb 工法の適用範囲内の確認：主筋ひずみ)

解析 ケース	地震動		評価位置*1		時刻 (s) *2	照査用	限界	照査値 $\epsilon_d / \epsilon_R$
						ひずみ*3 $\epsilon_d$	ひずみ $\epsilon_R$	
⑥	S s - D 1	++	底版	2	45.44 45.43	707 $\mu$	1725 $\mu$	0.41
			中床版	14	45.44 45.43	1380 $\mu$	1725 $\mu$	0.80
			側壁	53	45.44 45.43	558 $\mu$	1725 $\mu$	0.33
			隔壁	112	45.44 45.43	534 $\mu$	1725 $\mu$	0.31
			導流壁	62	45.44 45.43	1522 $\mu$	1725 $\mu$	0.89
			妻壁	73	45.45 45.44	474 $\mu$	1725 $\mu$	0.28
		-+	底版	1	45.44 45.43	641 $\mu$	1725 $\mu$	0.38
			中床版	11	45.44 45.43	1354 $\mu$	1725 $\mu$	0.79
			側壁	43	45.44 45.43	630 $\mu$	1725 $\mu$	0.37
			隔壁	111	45.44 45.43	524 $\mu$	1725 $\mu$	0.31
			導流壁	64	45.44 45.43	1515 $\mu$	1725 $\mu$	0.88
			妻壁	74	45.44 45.43	496 $\mu$	1725 $\mu$	0.29

注記\*1：評価位置は図 6-28 に示す。

\*2：上段：スクリーンエリアにおける抽出時刻, 下段：循環水エリアにおける抽出時刻

\*3：照査用ひずみ=発生ひずみ×構造解析係数  $\gamma_a$

表 6-23(12) 曲げ・軸力系の破壊に対する評価結果 (有効応力解析)

(CCb 工法の適用範囲内の確認：主筋ひずみ)

解析 ケース	地震動	評価位置*1	時刻 (s) *2	照査用	限界	照査値 $\epsilon_d / \epsilon_R$	
				ひずみ*3 $\epsilon_d$	ひずみ $\epsilon_R$		
⑥	S s - D 2	++	底版 [2]	13.47	800 $\mu$	1725 $\mu$	0.47
				13.45			
			中床版 [14]	13.47	1433 $\mu$	1725 $\mu$	0.84
				13.45			
			側壁 [53]	13.44	838 $\mu$	1725 $\mu$	0.49
				13.43			
		隔壁 [112]	13.44	556 $\mu$	1725 $\mu$	0.33	
			13.43				
		導流壁 [62]	13.44	1667 $\mu$	1725 $\mu$	0.97	
			13.43				
		妻壁 [82]	13.44	839 $\mu$	1725 $\mu$	0.49	
			13.43				
-+	底版 [1]	13.46	642 $\mu$	1725 $\mu$	0.38		
		13.44					
	中床版 [11]	13.46	1396 $\mu$	1725 $\mu$	0.81		
		13.44					
	側壁 [43]	13.44	792 $\mu$	1725 $\mu$	0.46		
		13.43					
隔壁 [112]	13.44	657 $\mu$	1725 $\mu$	0.39			
	13.43						
導流壁 [62]	25.29	1216 $\mu$	1725 $\mu$	0.71			
	25.29						
妻壁 [76]	13.46	519 $\mu$	1725 $\mu$	0.31			
	13.44						

注記\*1：評価位置は図 6-28 に示す。

\*2：上段：スクリーンエリアにおける抽出時刻, 下段：循環水エリアにおける抽出時刻

\*3：照査用ひずみ=発生ひずみ×構造解析係数  $\gamma_a$

表 6-23(13) 曲げ・軸力系の破壊に対する評価結果 (有効応力解析)

(CCb 工法の適用範囲内の確認：主筋ひずみ)

解析 ケース	地震動		評価位置*1		時刻 (s) *2	照査用	限界	照査値 $\epsilon_d / \epsilon_R$
						ひずみ*3 $\epsilon_d$	ひずみ $\epsilon_R$	
⑥	S s - D 3	++	底版	2	15.63 ----- 15.62	280 $\mu$	1725 $\mu$	0.17
			中床版	14	15.63 ----- 15.62	414 $\mu$	1725 $\mu$	0.24
			側壁	53	15.63 ----- 15.62	287 $\mu$	1725 $\mu$	0.17
			隔壁	112	15.61 ----- 15.61	182 $\mu$	1725 $\mu$	0.11
			導流壁	63	15.61 ----- 15.61	600 $\mu$	1725 $\mu$	0.35
			妻壁	77	15.61 ----- 15.61	180 $\mu$	1725 $\mu$	0.11
		-+	底版	1	15.62 ----- 15.61	408 $\mu$	1725 $\mu$	0.24
			中床版	11	15.62 ----- 15.61	779 $\mu$	1725 $\mu$	0.46
			側壁	43	15.63 ----- 15.63	297 $\mu$	1725 $\mu$	0.18
			隔壁	114	15.62 ----- 15.61	401 $\mu$	1725 $\mu$	0.24
			導流壁	64	15.62 ----- 15.61	880 $\mu$	1725 $\mu$	0.52
			妻壁	78	15.62 ----- 15.61	287 $\mu$	1725 $\mu$	0.17

注記\*1：評価位置は図 6-28 に示す。

\*2：上段：スクリーンエリアにおける抽出時刻, 下段：循環水エリアにおける抽出時刻

\*3：照査用ひずみ=発生ひずみ×構造解析係数  $\gamma_a$

表 6-23(14) 曲げ・軸力系の破壊に対する評価結果 (有効応力解析)

(CCb 工法の適用範囲内の確認：主筋ひずみ)

解析 ケース	地震動		評価位置*1		時刻 (s) *2	照査用	限界	照査値 $\epsilon_d / \epsilon_R$
						ひずみ *3 $\epsilon_d$	ひずみ $\epsilon_R$	
⑥	S s - F 1	++	底版	2	22.30	485 $\mu$	1725 $\mu$	0.29
					22.29			
			中床版	14	22.30	939 $\mu$	1725 $\mu$	0.55
					22.29			
			側壁	43	26.10	333 $\mu$	1725 $\mu$	0.20
					26.08			
		隔壁	114	26.06	408 $\mu$	1725 $\mu$	0.24	
				26.06				
		導流壁	64	26.06	942 $\mu$	1725 $\mu$	0.55	
				26.06				
		妻壁	73	22.30	347 $\mu$	1725 $\mu$	0.21	
				22.29				
		-+	底版	2	26.10	489 $\mu$	1725 $\mu$	0.29
					26.09			
中床版	14		26.10	1011 $\mu$	1725 $\mu$	0.59		
			26.09					
側壁	53		26.10	513 $\mu$	1725 $\mu$	0.30		
			26.09					
隔壁	113	18.92	417 $\mu$	1725 $\mu$	0.25			
		18.92						
導流壁	62	18.92	1091 $\mu$	1725 $\mu$	0.64			
		18.92						
妻壁	74	26.10	364 $\mu$	1725 $\mu$	0.22			
		26.09						

注記\*1：評価位置は図 6-28 に示す。

\*2：上段：スクリーンエリアにおける抽出時刻, 下段：循環水エリアにおける抽出時刻

\*3：照査用ひずみ=発生ひずみ×構造解析係数  $\gamma_a$

表 6-23(15) 曲げ・軸力系の破壊に対する評価結果 (有効応力解析)

(CCb 工法の適用範囲内の確認：主筋ひずみ)

解析 ケース	地震動		評価位置*1		時刻 (s) *2	照査用	限界	照査値 $\epsilon_d / \epsilon_R$
						ひずみ*3 $\epsilon_d$	ひずみ $\epsilon_R$	
⑥	S s - F 2	++	底版	2	28.46 28.46	568 $\mu$	1725 $\mu$	0.33
			中床版	14	28.49 28.49	1066 $\mu$	1725 $\mu$	0.62
			側壁	53	28.47 28.46	370 $\mu$	1725 $\mu$	0.22
			隔壁	112	28.47 28.46	467 $\mu$	1725 $\mu$	0.28
			導流壁	62	28.49 28.49	942 $\mu$	1725 $\mu$	0.55
			妻壁	74	28.49 28.49	382 $\mu$	1725 $\mu$	0.23
		-+	底版	1	28.46 28.45	682 $\mu$	1725 $\mu$	0.40
			中床版	11	28.47 28.46	984 $\mu$	1725 $\mu$	0.58
			側壁	43	28.46 28.45	423 $\mu$	1725 $\mu$	0.25
			隔壁	111	28.47 28.46	605 $\mu$	1725 $\mu$	0.36
			導流壁	63	28.46 28.45	940 $\mu$	1725 $\mu$	0.55
			妻壁	74	28.47 28.46	380 $\mu$	1725 $\mu$	0.23

注記\*1：評価位置は図 6-28 に示す。

\*2：上段：スクリーンエリアにおける抽出時刻, 下段：循環水エリアにおける抽出時刻

\*3：照査用ひずみ=発生ひずみ×構造解析係数  $\gamma_a$



表 6-23(16) 曲げ・軸力系の破壊に対する評価結果 (有効応力解析)

(CCb 工法の適用範囲内の確認：主筋ひずみ)

解析 ケース	地震動		評価位置*1		時刻 (s) *2	照査用	限界	照査値 $\epsilon_d / \epsilon_R$
						ひずみ *3 $\epsilon_d$	ひずみ $\epsilon_R$	
⑥	S s - F 3	++	底版	2	26.87 26.86	454 $\mu$	1725 $\mu$	0.27
			中床版	14	26.90 26.88	834 $\mu$	1725 $\mu$	0.49
			側壁	53	26.87 26.86	420 $\mu$	1725 $\mu$	0.25
			隔壁	113	26.87 26.86	419 $\mu$	1725 $\mu$	0.25
			導流壁	62	26.87 26.86	1242 $\mu$	1725 $\mu$	0.72
			妻壁	77	26.87 26.86	286 $\mu$	1725 $\mu$	0.17
		-+	底版	1	26.87 26.86	450 $\mu$	1725 $\mu$	0.27
			中床版	11	26.87 26.86	749 $\mu$	1725 $\mu$	0.44
			側壁	43	26.87 26.86	406 $\mu$	1725 $\mu$	0.24
			隔壁	114	26.87 26.86	459 $\mu$	1725 $\mu$	0.27
			導流壁	64	26.87 26.86	1158 $\mu$	1725 $\mu$	0.68
			妻壁	78	26.87 26.86	329 $\mu$	1725 $\mu$	0.20

注記\*1：評価位置は図 6-28 に示す。

\*2：上段：スクリーンエリアにおける抽出時刻, 下段：循環水エリアにおける抽出時刻

\*3：照査用ひずみ=発生ひずみ×構造解析係数  $\gamma_a$

表 6-23(17) 曲げ・軸力系の破壊に対する評価結果 (有効応力解析)

(CCb 工法の適用範囲内の確認：主筋ひずみ)

解析 ケース	地震動		評価位置*1		時刻 (s) *2	照査用	限界	照査値 $\epsilon_d / \epsilon_R$
						ひずみ*3 $\epsilon_d$	ひずみ $\epsilon_R$	
⑥	S s - N 1	++	底版	1	7.56 7.55	898 $\mu$	1725 $\mu$	0.53
			中床版	11	7.56 7.55	1239 $\mu$	1725 $\mu$	0.72
			側壁	43	7.56 7.55	1030 $\mu$	1725 $\mu$	0.60
			隔壁	112	7.56 7.55	708 $\mu$	1725 $\mu$	0.42
			導流壁	64	7.56 7.55	1005 $\mu$ *4	1725 $\mu$	0.59*4
			妻壁	82	7.56 7.55	1017 $\mu$	1725 $\mu$	0.59
		-+	底版	2	7.55 7.55	791 $\mu$	1725 $\mu$	0.46
			中床版	14	7.59 7.53	1191 $\mu$	1725 $\mu$	0.70
			側壁	53	7.55 7.55	921 $\mu$	1725 $\mu$	0.54
			隔壁	112	7.55 7.55	676 $\mu$	1725 $\mu$	0.40
			導流壁	62	7.55 7.55	1125 $\mu$ *4	1725 $\mu$	0.66*4
			妻壁	82	7.55 7.55	1007 $\mu$	1725 $\mu$	0.59

注記\*1：評価位置は図 6-28 に示す。

\*2：上段：スクリーンエリアにおける抽出時刻, 下段：循環水エリアにおける抽出時刻

\*3：照査用ひずみ=発生ひずみ×構造解析係数  $\gamma_a$

\*4：要素平均化後の値を示す。

表 6-23(18) 曲げ・軸力系の破壊に対する評価結果 (有効応力解析)

(CCb 工法の適用範囲内の確認：主筋ひずみ)

解析 ケース	地震動		評価位置*1		時刻 (s) *2	照査用	限界	照査値 $\epsilon_d / \epsilon_R$
						ひずみ*3 $\epsilon_d$	ひずみ $\epsilon_R$	
⑦	S s - N 1	++	底版	2	13.47	796 $\mu$	1725 $\mu$	0.47
					13.45			
			中床版	14	13.47	1434 $\mu$	1725 $\mu$	0.84
					13.45			
			側壁	53	13.44	820 $\mu$	1725 $\mu$	0.48
					13.43			
隔壁	112	13.44	568 $\mu$	1725 $\mu$	0.33			
		13.43						
導流壁	62	13.44	1667 $\mu$	1725 $\mu$	0.97			
		13.43						
妻壁	82	13.44	884 $\mu$	1725 $\mu$	0.52			
		13.43						
⑦	S s - N 1	- +	底版	2	7.55	791 $\mu$	1725 $\mu$	0.46
					7.55			
			中床版	14	7.55	1168 $\mu$	1725 $\mu$	0.68
					7.55			
			側壁	43	7.55	868 $\mu$	1725 $\mu$	0.51
					7.55			
隔壁	112	7.55	686 $\mu$	1725 $\mu$	0.40			
		7.55						
導流壁	62	7.55	1141 $\mu$ *4	1725 $\mu$	0.67 *4			
		7.55						
妻壁	82	7.55	975 $\mu$	1725 $\mu$	0.57			
		7.55						

注記\*1：評価位置は図 6-28 に示す。

\*2：上段：スクリーンエリアにおける抽出時刻, 下段：循環水エリアにおける抽出時刻

\*3：照査用ひずみ=発生ひずみ×構造解析係数  $\gamma_a$

\*4：要素平均化後の値を示す。

表 6-23(19) 曲げ・軸力系の破壊に対する評価結果 (有効応力解析)

(CCb 工法の適用範囲内の確認：主筋ひずみ)

解析 ケース	地震動		評価位置*1		時刻 (s) *2	照査用	限界	照査値 $\epsilon_d / \epsilon_R$
						ひずみ*3 $\epsilon_d$	ひずみ $\epsilon_R$	
⑧	S s - N 1	++	底版	2	13.47 13.45	856 $\mu$	1725 $\mu$	0.50
			中床版	14	13.47 13.45	1475 $\mu$	1725 $\mu$	0.86
			側壁	53	13.44 13.43	836 $\mu$	1725 $\mu$	0.49
			隔壁	112	13.44 13.43	562 $\mu$	1725 $\mu$	0.33
			導流壁	62	13.44 13.43	1650 $\mu$	1725 $\mu$	0.96
			妻壁	82	13.44 13.43	856 $\mu$	1725 $\mu$	0.50
⑧	S s - N 1	- +	底版	2	7.55 7.54	828 $\mu$	1725 $\mu$	0.48
			中床版	14	7.59 7.53	1320 $\mu$	1725 $\mu$	0.77
			側壁	53	7.55 7.54	878 $\mu$	1725 $\mu$	0.51
			隔壁	112	7.55 7.54	740 $\mu$	1725 $\mu$	0.43
			導流壁	62	7.55 7.54	1009 $\mu$ *4	1725 $\mu$	0.59*4
			妻壁	82	7.55 7.54	1002 $\mu$	1725 $\mu$	0.59

注記\*1：評価位置は図 6-28 に示す。

\*2：上段：スクリーンエリアにおける抽出時刻, 下段：循環水エリアにおける抽出時刻

\*3：照査用ひずみ=発生ひずみ×構造解析係数  $\gamma_a$

\*4：要素平均化後の値を示す。

表 6-23(20) 曲げ・軸力系の破壊に対する評価結果 (有効応力解析)

(CCb 工法の適用範囲内の確認：主筋ひずみ)

解析 ケース	地震動		評価位置*1		時刻 (s) *2	照査用	限界	照査値 $\epsilon_d / \epsilon_R$
						ひずみ*3 $\epsilon_d$	ひずみ $\epsilon_R$	
⑨	S s - N 1	++	底版	2	13.43	380 $\mu$	1725 $\mu$	0.23
					13.43			
			中床版	14	13.45	606 $\mu$	1725 $\mu$	0.36
					13.44			
			側壁	53	13.43	376 $\mu$	1725 $\mu$	0.22
					13.43			
隔壁	113	13.43	177 $\mu$	1725 $\mu$	0.11			
		13.43						
導流壁	62	13.43	879 $\mu$	1725 $\mu$	0.51			
		13.43						
妻壁	77	13.43	244 $\mu$	1725 $\mu$	0.15			
		13.43						
⑨	S s - N 1	-+	底版	2	7.55	467 $\mu$	1725 $\mu$	0.28
					7.54			
			中床版	14	7.55	635 $\mu$	1725 $\mu$	0.37
					7.54			
			側壁	53	7.55	363 $\mu$	1725 $\mu$	0.22
					7.54			
隔壁	112	7.58	172 $\mu$	1725 $\mu$	0.10			
		7.53						
導流壁	63	7.55	917 $\mu$	1725 $\mu$	0.54			
		7.54						
妻壁	77	7.55	243 $\mu$	1725 $\mu$	0.15			
		7.54						

注記\*1：評価位置は図 6-28 に示す。

\*2：上段：スクリーンエリアにおける抽出時刻, 下段：循環水エリアにおける抽出時刻

\*3：照査用ひずみ=発生ひずみ×構造解析係数  $\gamma_a$

(2) 止水機能

鉄筋コンクリート部材の曲げ・軸力系の破壊に対する各部材での最大照査値について、表 6-24 及び表 6-25 に解析ケース・地震動ごとに示す。

同表より、コンクリートの圧縮ひずみ及び主筋ひずみが、全ケースにおいて許容限界（コンクリートの圧縮ひずみ： $2000\mu$ ，主筋ひずみ： $1725\mu$ ）を下回ることを確認した。

表 6-24(1) 曲げ・軸力系の破壊に対する評価結果 (全応力解析)  
(コンクリートの圧縮ひずみ)

解析 ケース	地震動		評価位置*1, 2		時刻 (s) *3	照査用 ひずみ *4 $\epsilon_d$	限界 ひずみ $\epsilon_R$	照査値 $\epsilon_d / \epsilon_R$
①	S s - D 1	++	底版	—	—	—	—	—
			中床版	20	32.30 32.30	341 $\mu$	2000 $\mu$	0.18
			側壁	—	—	—	—	—
			隔壁	114	32.30 32.29	568 $\mu$	2000 $\mu$	0.29
			導流壁	—	—	—	—	—
			妻壁	—	—	—	—	—
		-+	底版	—	—	—	—	—
			中床版	19	32.30 32.29	321 $\mu$	2000 $\mu$	0.17
			側壁	—	—	—	—	—
			隔壁	113	32.30 32.29	550 $\mu$	2000 $\mu$	0.28
			導流壁	—	—	—	—	—
			妻壁	—	—	—	—	—
	S s - D 2	++	底版	—	—	—	—	—
			中床版	19	13.41 13.40	306 $\mu$	2000 $\mu$	0.16
			側壁	—	—	—	—	—
			隔壁	114	13.41 13.40	479 $\mu$	2000 $\mu$	0.24
			導流壁	—	—	—	—	—
			妻壁	—	—	—	—	—
		-+	底版	—	—	—	—	—
			中床版	20	13.56 13.56	298 $\mu$	2000 $\mu$	0.15
			側壁	—	—	—	—	—
			隔壁	114	13.56 13.56	470 $\mu$	2000 $\mu$	0.24
			導流壁	—	—	—	—	—
			妻壁	—	—	—	—	—

注記\*1：評価位置は図 6-28 に示す。

\*2：止水機能が要求される部材の範囲は図 6-41 に示す。

\*3：上段：スクリーンエリアにおける抽出時刻, 下段：循環水エリアにおける抽出時刻

\*4：照査用ひずみ=発生ひずみ×構造解析係数  $\gamma_a$

表 6-24(2) 曲げ・軸力系の破壊に対する評価結果 (全応力解析)  
(コンクリートの圧縮ひずみ)

解析 ケース	地震動		評価位置*1, 2		時刻 (s) *3	照査用 ひずみ *4 $\epsilon_d$	限界 ひずみ $\epsilon_R$	照査値 $\epsilon_d / \epsilon_R$
①	S s - D 3	++	底版	—	—	—	—	—
			中床版	20	30.17 30.15	273 $\mu$	2000 $\mu$	0.14
			側壁	—	—	—	—	—
			隔壁	114	15.59 15.59	393 $\mu$	2000 $\mu$	0.20
			導流壁	—	—	—	—	—
			妻壁	—	—	—	—	—
		-+	底版	—	—	—	—	—
			中床版	20	13.25 13.25	290 $\mu$	2000 $\mu$	0.15
			側壁	—	—	—	—	—
			隔壁	113	30.16 30.15	384 $\mu$	2000 $\mu$	0.20
			導流壁	—	—	—	—	—
			妻壁	—	—	—	—	—
	S s - F 1	++	底版	—	—	—	—	—
			中床版	20	20.17 20.18	231 $\mu$	2000 $\mu$	0.12
			側壁	—	—	—	—	—
			隔壁	114	15.96 15.95	291 $\mu$	2000 $\mu$	0.15
			導流壁	—	—	—	—	—
			妻壁	—	—	—	—	—
		-+	底版	—	—	—	—	—
			中床版	20	22.31 22.32	238 $\mu$	2000 $\mu$	0.12
			側壁	—	—	—	—	—
			隔壁	114	22.70 22.69	383 $\mu$	2000 $\mu$	0.20
			導流壁	—	—	—	—	—
			妻壁	—	—	—	—	—

注記\*1：評価位置は図 6-28 に示す。

\*2：止水機能が要求される部材の範囲は図 6-41 に示す。

\*3：上段：スクリーンエリアにおける抽出時刻, 下段：循環水エリアにおける抽出時刻

\*4：照査用ひずみ=発生ひずみ×構造解析係数  $\gamma_a$



表 6-24(3) 曲げ・軸力系の破壊に対する評価結果 (全応力解析)  
(コンクリートの圧縮ひずみ)

解析 ケース	地震動		評価位置*1, 2		時刻 (s) *3	照査用 ひずみ *4 $\epsilon_d$	限界 ひずみ $\epsilon_R$	照査値 $\epsilon_d / \epsilon_R$
①	S s - F 2	++	底版	-	-	-	-	-
			中床版	20	28.49 28.48	359 $\mu$	2000 $\mu$	0.18
			側壁	-	-	-	-	-
			隔壁	114	28.49 28.48	508 $\mu$	2000 $\mu$	0.26
			導流壁	-	-	-	-	-
			妻壁	-	-	-	-	-
		-+	底版	-	-	-	-	-
			中床版	19	28.49 28.48	345 $\mu$	2000 $\mu$	0.18
			側壁	-	-	-	-	-
			隔壁	113	28.49 28.48	526 $\mu$	2000 $\mu$	0.27
			導流壁	-	-	-	-	-
			妻壁	-	-	-	-	-
	S s - F 3	++	底版	-	-	-	-	-
			中床版	19	26.84 26.83	304 $\mu$	2000 $\mu$	0.16
			側壁	-	-	-	-	-
			隔壁	114	26.84 26.83	483 $\mu$	2000 $\mu$	0.25
			導流壁	-	-	-	-	-
			妻壁	-	-	-	-	-
		-+	底版	-	-	-	-	-
			中床版	20	26.84 26.83	294 $\mu$	2000 $\mu$	0.15
			側壁	-	-	-	-	-
			隔壁	113	26.84 26.83	459 $\mu$	2000 $\mu$	0.23
			導流壁	-	-	-	-	-
			妻壁	-	-	-	-	-

注記\*1：評価位置は図 6-28 に示す。

\*2：止水機能が要求される部材の範囲は図 6-41 に示す。

\*3：上段：スクリーンエリアにおける抽出時刻, 下段：循環水エリアにおける抽出時刻

\*4：照査用ひずみ=発生ひずみ×構造解析係数  $\gamma_a$

表 6-24(4) 曲げ・軸力系の破壊に対する評価結果 (全応力解析)  
(コンクリートの圧縮ひずみ)

解析 ケース	地震動	評価位置*1, 2	時刻 (s) *3	照査用	限界	照査値 $\epsilon_d / \epsilon_R$		
				ひずみ *4 $\epsilon_d$	ひずみ $\epsilon_R$			
①	S s - N 1	++	底版	—	—	—	—	
			中床版	19	7.66 7.65	472 $\mu$	2000 $\mu$	0.24
			側壁	—	—	—	—	—
			隔壁	113	7.66 7.65	620 $\mu$	2000 $\mu$	0.31
			導流壁	—	—	—	—	—
			妻壁	—	—	—	—	—
		-+	底版	—	—	—	—	—
			中床版	20	7.65 7.64	515 $\mu$	2000 $\mu$	0.26
			側壁	—	—	—	—	—
			隔壁	114	7.53 7.53	617 $\mu$	2000 $\mu$	0.31
			導流壁	—	—	—	—	—
			妻壁	—	—	—	—	—

注記\*1：評価位置は図 6-28 に示す。

\*2：止水機能が要求される部材の範囲は図 6-41 に示す。

\*3：上段：スクリーンエリアにおける抽出時刻, 下段：循環水エリアにおける抽出時刻

\*4：照査用ひずみ=発生ひずみ×構造解析係数  $\gamma_a$

表 6-24(5) 曲げ・軸力系の破壊に対する評価結果 (全応力解析)  
(コンクリートの圧縮ひずみ)

解析 ケース	地震動		評価位置 <sup>*1, 2</sup>		時刻 (s) <sup>*3</sup>	照査用	限界	照査値
						ひずみ <sup>*4</sup> $\epsilon_d$	ひずみ $\epsilon_R$	$\epsilon_d / \epsilon_R$
②	S s - N 1	++	底版	—	—	—	—	—
			中床版	19	$\frac{7.66}{7.65}$	471 $\mu$	2000 $\mu$	0.24
			側壁	—	—	—	—	—
			隔壁	113	$\frac{7.66}{7.65}$	630 $\mu$	2000 $\mu$	0.32
			導流壁	—	—	—	—	—
			妻壁	—	—	—	—	—
②	S s - N 1	-+	底版	—	—	—	—	—
			中床版	20	$\frac{7.65}{7.64}$	496 $\mu$	2000 $\mu$	0.25
			側壁	—	—	—	—	—
			隔壁	114	$\frac{7.53}{7.52}$	611 $\mu$	2000 $\mu$	0.31
			導流壁	—	—	—	—	—
			妻壁	—	—	—	—	—
③	S s - N 1	++	底版	—	—	—	—	—
			中床版	19	$\frac{7.67}{7.65}$	458 $\mu$	2000 $\mu$	0.23
			側壁	—	—	—	—	—
			隔壁	113	$\frac{7.67}{7.65}$	622 $\mu$	2000 $\mu$	0.32
			導流壁	—	—	—	—	—
			妻壁	—	—	—	—	—
③	S s - N 1	-+	底版	—	—	—	—	—
			中床版	20	$\frac{7.65}{7.64}$	514 $\mu$	2000 $\mu$	0.26
			側壁	—	—	—	—	—
			隔壁	114	$\frac{7.53}{7.53}$	621 $\mu$	2000 $\mu$	0.32
			導流壁	—	—	—	—	—
			妻壁	—	—	—	—	—

注記\*1：評価位置は図 6-28 に示す。

\*2：止水機能が要求される部材の範囲は図 6-41 に示す。

\*3：上段：スクリーンエリアにおける抽出時刻, 下段：循環水エリアにおける抽出時刻

\*4：照査用ひずみ=発生ひずみ×構造解析係数  $\gamma_a$

表 6-24(6) 曲げ・軸力系の破壊に対する評価結果 (全応力解析)  
(コンクリートの圧縮ひずみ)

解析 ケース	地震動		評価位置*1, 2		時刻 (s) *3	照査用	限界	照査値 $\epsilon_d / \epsilon_R$
						ひずみ*4 $\epsilon_d$	ひずみ $\epsilon_R$	
④	S s - N 1	++	底版	—	—	—	—	—
			中床版	19	$\frac{7.65}{7.64}$	312 $\mu$	2000 $\mu$	0.16
			側壁	—	—	—	—	—
			隔壁	113	$\frac{7.65}{7.63}$	348 $\mu$	2000 $\mu$	0.18
			導流壁	—	—	—	—	—
			妻壁	—	—	—	—	—
④	S s - N 1	-+	底版	—	—	—	—	—
			中床版	20	$\frac{7.64}{7.63}$	339 $\mu$	2000 $\mu$	0.17
			側壁	—	—	—	—	—
			隔壁	114	$\frac{7.64}{7.63}$	334 $\mu$	2000 $\mu$	0.17
			導流壁	—	—	—	—	—
			妻壁	—	—	—	—	—

注記\*1：評価位置は図 6-28 に示す。

\*2：止水機能が要求される部材の範囲は図 6-41 に示す。

\*3：上段：スクリーンエリアにおける抽出時刻，下段：循環水エリアにおける抽出時刻

\*4：照査用ひずみ＝発生ひずみ×構造解析係数  $\gamma_a$

表 6-24(7) 曲げ・軸力系の破壊に対する評価結果 (有効応力解析)  
(コンクリートの圧縮ひずみ)

解析 ケース	地震動		評価位置*1, 2		時刻 (s) *3	照査用 ひずみ *4 $\epsilon_d$	限界 ひずみ $\epsilon_R$	照査値 $\epsilon_d / \epsilon_R$
⑥	S s - D 1	++	底版	—	—	—	—	—
			中床版	20	45.44 45.43	425 $\mu$	2000 $\mu$	0.22
			側壁	—	—	—	—	—
			隔壁	114	45.44 45.43	635 $\mu$	2000 $\mu$	0.32
			導流壁	—	—	—	—	—
			妻壁	—	—	—	—	—
		-+	底版	—	—	—	—	—
			中床版	19	45.44 45.43	429 $\mu$	2000 $\mu$	0.22
			側壁	—	—	—	—	—
			隔壁	113	45.44 45.43	622 $\mu$	2000 $\mu$	0.32
			導流壁	—	—	—	—	—
			妻壁	—	—	—	—	—
	S s - D 2	++	底版	—	—	—	—	—
			中床版	20	13.47 13.45	378 $\mu$	2000 $\mu$	0.19
			側壁	—	—	—	—	—
			隔壁	114	13.44 13.43	560 $\mu$	2000 $\mu$	0.28
			導流壁	—	—	—	—	—
			妻壁	—	—	—	—	—
		-+	底版	—	—	—	—	—
			中床版	19	13.46 13.44	338 $\mu$	2000 $\mu$	0.17
			側壁	—	—	—	—	—
			隔壁	113	13.46 13.44	550 $\mu$	2000 $\mu$	0.28
			導流壁	—	—	—	—	—
			妻壁	—	—	—	—	—

注記\*1：評価位置は図 6-28 に示す。

\*2：止水機能が要求される部材の範囲は図 6-41 に示す。

\*3：上段：スクリーンエリアにおける抽出時刻, 下段：循環水エリアにおける抽出時刻

\*4：照査用ひずみ=発生ひずみ×構造解析係数  $\gamma_a$

表 6-24(8) 曲げ・軸力系の破壊に対する評価結果 (有効応力解析)  
(コンクリートの圧縮ひずみ)

解析 ケース	地震動		評価位置*1, 2		時刻 (s) *3	照査用 ひずみ *4 $\epsilon_d$	限界 ひずみ $\epsilon_R$	照査値 $\epsilon_d / \epsilon_R$
⑥	S s - D 3	++	底版	—	—	—	—	—
			中床版	19	13.26 13.25	244 $\mu$	2000 $\mu$	0.13
			側壁	—	—	—	—	—
			隔壁	114	15.63 15.62	292 $\mu$	2000 $\mu$	0.15
			導流壁	—	—	—	—	—
			妻壁	—	—	—	—	—
		-+	底版	—	—	—	—	—
			中床版	20	13.25 13.25	263 $\mu$	2000 $\mu$	0.14
			側壁	—	—	—	—	—
			隔壁	113	15.62 15.61	425 $\mu$	2000 $\mu$	0.22
			導流壁	—	—	—	—	—
			妻壁	—	—	—	—	—
	S s - F 1	++	底版	—	—	—	—	—
			中床版	20	22.30 22.29	299 $\mu$	2000 $\mu$	0.15
			側壁	—	—	—	—	—
			隔壁	114	22.30 22.29	447 $\mu$	2000 $\mu$	0.23
			導流壁	—	—	—	—	—
			妻壁	—	—	—	—	—
		-+	底版	—	—	—	—	—
			中床版	20	18.92 18.92	330 $\mu$	2000 $\mu$	0.17
			側壁	—	—	—	—	—
			隔壁	114	18.92 18.92	470 $\mu$	2000 $\mu$	0.24
			導流壁	—	—	—	—	—
			妻壁	—	—	—	—	—

注記\*1：評価位置は図 6-28 に示す。

\*2：止水機能が要求される部材の範囲は図 6-41 に示す。

\*3：上段：スクリーンエリアにおける抽出時刻, 下段：循環水エリアにおける抽出時刻

\*4：照査用ひずみ=発生ひずみ×構造解析係数  $\gamma_a$

表 6-24(9) 曲げ・軸力系の破壊に対する評価結果 (有効応力解析)  
(コンクリートの圧縮ひずみ)

解析 ケース	地震動		評価位置*1, 2		時刻 (s) *3	照査用 ひずみ *4 $\epsilon_d$	限界 ひずみ $\epsilon_R$	照査値 $\epsilon_d / \epsilon_R$
⑥	S s - F 2	++	底版	—	—	—	—	—
			中床版	20	28.49 28.49	314 $\mu$	2000 $\mu$	0.16
			側壁	—	—	—	—	—
			隔壁	114	28.47 28.46	491 $\mu$	2000 $\mu$	0.25
			導流壁	—	—	—	—	—
			妻壁	—	—	—	—	—
		-+	底版	—	—	—	—	—
			中床版	20	28.47 28.46	293 $\mu$	2000 $\mu$	0.15
			側壁	—	—	—	—	—
			隔壁	113	28.46 28.45	522 $\mu$	2000 $\mu$	0.27
			導流壁	—	—	—	—	—
			妻壁	—	—	—	—	—
	S s - F 3	++	底版	—	—	—	—	—
			中床版	20	26.87 26.86	303 $\mu$	2000 $\mu$	0.16
			側壁	—	—	—	—	—
			隔壁	114	26.87 26.86	456 $\mu$	2000 $\mu$	0.23
			導流壁	—	—	—	—	—
			妻壁	—	—	—	—	—
		-+	底版	—	—	—	—	—
			中床版	20	26.87 26.85	308 $\mu$	2000 $\mu$	0.16
			側壁	—	—	—	—	—
			隔壁	113	26.87 26.86	486 $\mu$	2000 $\mu$	0.25
			導流壁	—	—	—	—	—
			妻壁	—	—	—	—	—

注記\*1：評価位置は図 6-28 に示す。

\*2：止水機能が要求される部材の範囲は図 6-41 に示す。

\*3：上段：スクリーンエリアにおける抽出時刻, 下段：循環水エリアにおける抽出時刻

\*4：照査用ひずみ=発生ひずみ×構造解析係数  $\gamma_a$

表 6-24(10) 曲げ・軸力系の破壊に対する評価結果 (有効応力解析)

(コンクリートの圧縮ひずみ)

解析 ケース	地震動		評価位置*1, 2		時刻 (s) *3	照査用 ひずみ *4 $\epsilon_d$	限界 ひずみ $\epsilon_R$	照査値 $\epsilon_d / \epsilon_R$
⑥	S s - N 1	++	底版	—	—	—	—	—
			中床版	19	$\frac{7.56}{7.55}$	358 $\mu$	2000 $\mu$	0.18
			側壁	—	—	—	—	—
			隔壁	113	$\frac{7.56}{7.55}$	648 $\mu$	2000 $\mu$	0.33
			導流壁	—	—	—	—	—
			妻壁	—	—	—	—	—
		-+	底版	—	—	—	—	—
			中床版	20	$\frac{7.55}{7.55}$	374 $\mu$	2000 $\mu$	0.19
			側壁	—	—	—	—	—
			隔壁	114	$\frac{7.55}{7.55}$	616 $\mu$	2000 $\mu$	0.31
			導流壁	—	—	—	—	—
			妻壁	—	—	—	—	—

注記\*1：評価位置は図 6-28 に示す。

\*2：止水機能が要求される部材の範囲は図 6-41 に示す。

\*3：上段：スクリーンエリアにおける抽出時刻, 下段：循環水エリアにおける抽出時刻

\*4：照査用ひずみ=発生ひずみ×構造解析係数  $\gamma_a$



表 6-24(11) 曲げ・軸力系の破壊に対する評価結果 (有効応力解析)

(コンクリートの圧縮ひずみ)

解析 ケース	地震動		評価位置 <sup>*1, 2</sup>		時刻 (s) <sup>*3</sup>	照査用	限界	照査値
						ひずみ <sup>*4</sup> $\epsilon_d$	ひずみ $\epsilon_R$	$\epsilon_d / \epsilon_R$
⑦	S s - D 2	++	底版	—	—	—	—	—
			中床版	20	$\frac{13.47}{13.45}$	380 $\mu$	2000 $\mu$	0.19
			側壁	—	—	—	—	—
			隔壁	114	$\frac{13.44}{13.43}$	566 $\mu$	2000 $\mu$	0.29
			導流壁	—	—	—	—	—
			妻壁	—	—	—	—	—
⑦	S s - N 1	-+	底版	—	—	—	—	—
			中床版	20	$\frac{7.55}{7.55}$	374 $\mu$	2000 $\mu$	0.19
			側壁	—	—	—	—	—
			隔壁	114	$\frac{7.55}{7.55}$	615 $\mu$	2000 $\mu$	0.31
			導流壁	—	—	—	—	—
			妻壁	—	—	—	—	—
⑧	S s - D 2	++	底版	—	—	—	—	—
			中床版	20	$\frac{13.47}{13.45}$	380 $\mu$	2000 $\mu$	0.19
			側壁	—	—	—	—	—
			隔壁	114	$\frac{13.44}{13.43}$	566 $\mu$	2000 $\mu$	0.29
			導流壁	—	—	—	—	—
			妻壁	—	—	—	—	—
⑧	S s - N 1	-+	底版	—	—	—	—	—
			中床版	20	$\frac{7.55}{7.54}$	389 $\mu$	2000 $\mu$	0.20
			側壁	—	—	—	—	—
			隔壁	114	$\frac{7.55}{7.54}$	644 $\mu$	2000 $\mu$	0.33
			導流壁	—	—	—	—	—
			妻壁	—	—	—	—	—

注記\*1：評価位置は図 6-28 に示す。

\*2：止水機能が要求される部材の範囲は図 6-41 に示す。

\*3：上段：スクリーンエリアにおける抽出時刻, 下段：循環水エリアにおける抽出時刻

\*4：照査用ひずみ=発生ひずみ×構造解析係数  $\gamma_a$

表 6-24(12) 曲げ・軸力系の破壊に対する評価結果 (有効応力解析)

(コンクリートの圧縮ひずみ)

解析 ケース	地震動		評価位置*1, 2		時刻 (s) *3	照査用	限界	照査値 $\epsilon_d / \epsilon_R$
						ひずみ*4 $\epsilon_d$	ひずみ $\epsilon_R$	
⑨	S s - D 2	++	底版	—	—	—	—	—
			中床版	19	$\frac{13.43}{13.43}$	242 $\mu$	2000 $\mu$	0.13
			側壁	—	—	—	—	—
			隔壁	113	$\frac{13.43}{13.43}$	305 $\mu$	2000 $\mu$	0.16
			導流壁	—	—	—	—	—
			妻壁	—	—	—	—	—
⑨	S s - N 1	-+	底版	—	—	—	—	—
			中床版	19	$\frac{7.55}{7.54}$	232 $\mu$	2000 $\mu$	0.12
			側壁	—	—	—	—	—
			隔壁	114	$\frac{7.55}{7.54}$	326 $\mu$	2000 $\mu$	0.17
			導流壁	—	—	—	—	—
			妻壁	—	—	—	—	—

注記\*1：評価位置は図 6-28 に示す。

\*2：止水機能が要求される部材の範囲は図 6-41 に示す。

\*3：上段：スクリーンエリアにおける抽出時刻，下段：循環水エリアにおける抽出時刻

\*4：照査用ひずみ＝発生ひずみ×構造解析係数  $\gamma_a$

表 6-25(1) 曲げ・軸力系の破壊に対する評価結果 (全応力解析) (主筋ひずみ)

解析 ケース	地震動		評価位置*1, 2		時刻 (s) *3	照査用	限界	照査値 $\epsilon_d / \epsilon_R$
						ひずみ*4 $\epsilon_d$	ひずみ $\epsilon_R$	
①	S s - D 1	++	底版	—	—	—	—	—
			中床版	19	32.30 32.29	615 $\mu$	1725 $\mu$	0.36
			側壁	—	—	—	—	—
			隔壁	113	32.30 32.30	438 $\mu$	1725 $\mu$	0.26
			導流壁	—	—	—	—	—
			妻壁	—	—	—	—	—
		-+	底版	—	—	—	—	—
			中床版	20	32.30 32.29	616 $\mu$	1725 $\mu$	0.36
			側壁	—	—	—	—	—
			隔壁	114	32.31 32.30	414 $\mu$	1725 $\mu$	0.24
			導流壁	—	—	—	—	—
			妻壁	—	—	—	—	—
	S s - D 2	++	底版	—	—	—	—	—
			中床版	20	13.56 13.56	622 $\mu$	1725 $\mu$	0.37
			側壁	—	—	—	—	—
		-+	隔壁	113	13.41 13.40	414 $\mu$	1725 $\mu$	0.24
			導流壁	—	—	—	—	—
			妻壁	—	—	—	—	—
-+	底版	—	—	—	—	—		
	中床版	19	13.56 13.56	591 $\mu$	1725 $\mu$	0.35		
	側壁	—	—	—	—	—		
	隔壁	113	13.56 13.56	411 $\mu$	1725 $\mu$	0.24		
	導流壁	—	—	—	—	—		
	妻壁	—	—	—	—	—		

注記\*1：評価位置は図 6-28 に示す。

\*2：止水機能が要求される部材の範囲は図 6-41 に示す。

\*3：上段：スクリーンエリアにおける抽出時刻，下段：循環水エリアにおける抽出時刻

\*4：照査用ひずみ＝発生ひずみ×構造解析係数  $\gamma_a$

表 6-25(2) 曲げ・軸力系の破壊に対する評価結果（全応力解析）（主筋ひずみ）

解析 ケース	地震動		評価位置*1, 2		時刻 (s) *3	照査用	限界	照査値 $\epsilon_d / \epsilon_R$
						ひずみ*4 $\epsilon_d$	ひずみ $\epsilon_R$	
①	S s - D 3	++	底版	-	-	-	-	-
			中床版	20	15.63 ----- 15.57	305 $\mu$	1725 $\mu$	0.18
			側壁	-	-	-	-	-
			隔壁	113	15.59 ----- 15.59	347 $\mu$	1725 $\mu$	0.21
			導流壁	-	-	-	-	-
			妻壁	-	-	-	-	-
		-+	底版	-	-	-	-	-
			中床版	20	30.16 ----- 30.15	348 $\mu$	1725 $\mu$	0.21
			側壁	-	-	-	-	-
			隔壁	113	29.73 ----- 29.71	354 $\mu$	1725 $\mu$	0.21
			導流壁	-	-	-	-	-
			妻壁	-	-	-	-	-
	S s - F 1	++	底版	-	-	-	-	-
			中床版	20	15.96 ----- 15.95	195 $\mu$	1725 $\mu$	0.12
			側壁	-	-	-	-	-
			隔壁	113	15.96 ----- 15.95	104 $\mu$	1725 $\mu$	0.07
			導流壁	-	-	-	-	-
			妻壁	-	-	-	-	-
		-+	底版	-	-	-	-	-
			中床版	20	22.70 ----- 22.69	281 $\mu$	1725 $\mu$	0.17
			側壁	-	-	-	-	-
			隔壁	113	22.69 ----- 22.68	317 $\mu$	1725 $\mu$	0.19
			導流壁	-	-	-	-	-
			妻壁	-	-	-	-	-

注記\*1：評価位置は図 6-28 に示す。

\*2：止水機能が要求される部材の範囲は図 6-41 に示す。

\*3：上段：スクリーンエリアにおける抽出時刻，下段：循環水エリアにおける抽出時刻

\*4：照査用ひずみ＝発生ひずみ×構造解析係数  $\gamma_a$

表 6-25 (3) 曲げ・軸力系の破壊に対する評価結果 (全応力解析) (主筋ひずみ)

解析 ケース	地震動	評価位置*1, 2	時刻 (s) *3	照査用	限界	照査値 $\epsilon_d / \epsilon_R$		
				ひずみ*4 $\epsilon_d$	ひずみ $\epsilon_R$			
①	S s - F 2	++	底版	-	-	-	-	
			中床版	20	28.49 28.49	362 $\mu$	1725 $\mu$	0.21
			側壁	-	-	-	-	-
			隔壁	113	28.49 28.48	437 $\mu$	1725 $\mu$	0.26
			導流壁	-	-	-	-	-
			妻壁	-	-	-	-	-
		-+	底版	-	-	-	-	-
			中床版	19	28.49 28.48	352 $\mu$	1725 $\mu$	0.21
			側壁	-	-	-	-	-
			隔壁	114	28.49 28.48	450 $\mu$	1725 $\mu$	0.27
			導流壁	-	-	-	-	-
			妻壁	-	-	-	-	-
	S s - F 3	++	底版	-	-	-	-	
			中床版	19	26.84 26.83	489 $\mu$	1725 $\mu$	0.29
			側壁	-	-	-	-	-
			隔壁	113	26.91 26.84	399 $\mu$	1725 $\mu$	0.24
			導流壁	-	-	-	-	-
			妻壁	-	-	-	-	-
-+		底版	-	-	-	-	-	
		中床版	20	26.84 26.83	411 $\mu$	1725 $\mu$	0.24	
		側壁	-	-	-	-	-	
		隔壁	114	26.85 26.83	383 $\mu$	1725 $\mu$	0.23	
		導流壁	-	-	-	-	-	
		妻壁	-	-	-	-	-	

注記\*1：評価位置は図 6-28 に示す。

\*2：止水機能が要求される部材の範囲は図 6-41 に示す。

\*3：上段：スクリーンエリアにおける抽出時刻，下段：循環水エリアにおける抽出時刻

\*4：照査用ひずみ=発生ひずみ×構造解析係数  $\gamma_a$

表 6-25(4) 曲げ・軸力系の破壊に対する評価結果 (全応力解析) (主筋ひずみ)

解析 ケース	地震動		評価位置*1, 2		時刻 (s) *3	照査用	限界	照査値 $\epsilon_d / \epsilon_R$
						ひずみ *4 $\epsilon_d$	ひずみ $\epsilon_R$	
①	S s - N 1	++	底版	—	—	—	—	—
			中床版	20	7.53 7.52	586 $\mu$	1725 $\mu$	0.34
			側壁	—	—	—	—	—
			隔壁	114	7.66 7.65	455 $\mu$	1725 $\mu$	0.27
			導流壁	—	—	—	—	—
			妻壁	—	—	—	—	—
		-+	底版	—	—	—	—	—
			中床版	19	7.53 7.53	598 $\mu$	1725 $\mu$	0.35
			側壁	—	—	—	—	—
			隔壁	113	7.53 7.53	470 $\mu$	1725 $\mu$	0.28
			導流壁	—	—	—	—	—
			妻壁	—	—	—	—	—

注記\*1：評価位置は図 6-28 に示す。

\*2：止水機能が要求される部材の範囲は図 6-41 に示す。

\*3：上段：スクリーンエリアにおける抽出時刻, 下段：循環水エリアにおける抽出時刻

\*4：照査用ひずみ = 発生ひずみ  $\times$  構造解析係数  $\gamma_a$

表 6-25 (5) 曲げ・軸力系の破壊に対する評価結果 (全応力解析) (主筋ひずみ)

解析 ケース	地震動		評価位置*1, 2		時刻 (s) *3	照査用	限界	照査値 $\epsilon_d / \epsilon_R$
						ひずみ*4 $\epsilon_d$	ひずみ $\epsilon_R$	
②	S s - N 1	++	底版	—	—	—	—	—
			中床版	20	$\frac{7.54}{7.53}$	594 $\mu$	1725 $\mu$	0.35
			側壁	—	—	—	—	—
			隔壁	114	$\frac{7.67}{7.65}$	452 $\mu$	1725 $\mu$	0.27
			導流壁	—	—	—	—	—
			妻壁	—	—	—	—	—
②	S s - N 1	-+	底版	—	—	—	—	—
			中床版	19	$\frac{7.53}{7.53}$	598 $\mu$	1725 $\mu$	0.35
			側壁	—	—	—	—	—
			隔壁	113	$\frac{7.53}{7.53}$	468 $\mu$	1725 $\mu$	0.28
			導流壁	—	—	—	—	—
			妻壁	—	—	—	—	—
③	S s - N 1	++	底版	—	—	—	—	—
			中床版	20	$\frac{7.54}{7.53}$	588 $\mu$	1725 $\mu$	0.35
			側壁	—	—	—	—	—
			隔壁	114	$\frac{7.67}{7.65}$	454 $\mu$	1725 $\mu$	0.27
			導流壁	—	—	—	—	—
			妻壁	—	—	—	—	—
③	S s - N 1	-+	底版	—	—	—	—	—
			中床版	19	$\frac{7.53}{7.53}$	586 $\mu$	1725 $\mu$	0.34
			側壁	—	—	—	—	—
			隔壁	113	$\frac{7.53}{7.53}$	464 $\mu$	1725 $\mu$	0.27
			導流壁	—	—	—	—	—
			妻壁	—	—	—	—	—

注記\*1：評価位置は図 6-28 に示す。

\*2：止水機能が要求される部材の範囲は図 6-41 に示す。

\*3：上段：スクリーンエリアにおける抽出時刻，下段：循環水エリアにおける抽出時刻

\*4：照査用ひずみ=発生ひずみ×構造解析係数  $\gamma_a$

表 6-25(6) 曲げ・軸力系の破壊に対する評価結果 (全応力解析) (主筋ひずみ)

解析 ケース	地震動		評価位置*1, 2		時刻 (s) *3	照査用	限界	照査値 $\epsilon_d / \epsilon_R$
						ひずみ*4 $\epsilon_d$	ひずみ $\epsilon_R$	
④	S s - N 1	++	底版	—	—	—	—	—
			中床版	20	$\frac{7.52}{7.52}$	316 $\mu$	1725 $\mu$	0.19
			側壁	—	—	—	—	—
			隔壁	114	$\frac{7.65}{7.63}$	124 $\mu$	1725 $\mu$	0.08
			導流壁	—	—	—	—	—
			妻壁	—	—	—	—	—
④	S s - N 1	-+	底版	—	—	—	—	—
			中床版	20	$\frac{7.53}{7.52}$	305 $\mu$	1725 $\mu$	0.18
			側壁	—	—	—	—	—
			隔壁	113	$\frac{7.53}{7.52}$	114 $\mu$	1725 $\mu$	0.07
			導流壁	—	—	—	—	—
			妻壁	—	—	—	—	—

注記\*1：評価位置は図 6-28 に示す。

\*2：止水機能が要求される部材の範囲は図 6-41 に示す。

\*3：上段：スクリーンエリアにおける抽出時刻, 下段：循環水エリアにおける抽出時刻

\*4：照査用ひずみ = 発生ひずみ × 構造解析係数  $\gamma_a$



表 6-25(7) 曲げ・軸力系の破壊に対する評価結果 (有効応力解析) (主筋ひずみ)

解析 ケース	地震動		評価位置*1, 2		時刻 (s) *3	照査用 ひずみ*4 $\epsilon_d$	限界 ひずみ $\epsilon_R$	照査値 $\epsilon_d / \epsilon_R$
⑥	S s - D 1	++	底版	—	—	—	—	—
			中床版	20	45.45 45.44	345 $\mu$	1725 $\mu$	0.20
			側壁	—	—	—	—	—
			隔壁	113	45.46 45.45	478 $\mu$	1725 $\mu$	0.28
			導流壁	—	—	—	—	—
			妻壁	—	—	—	—	—
		-+	底版	—	—	—	—	—
			中床版	19	45.45 45.44	366 $\mu$	1725 $\mu$	0.22
			側壁	—	—	—	—	—
			隔壁	114	45.45 45.45	473 $\mu$	1725 $\mu$	0.28
			導流壁	—	—	—	—	—
			妻壁	—	—	—	—	—
	S s - D 2	++	底版	—	—	—	—	—
			中床版	20	13.44 13.43	359 $\mu$	1725 $\mu$	0.21
			側壁	—	—	—	—	—
			隔壁	113	13.44 13.43	502 $\mu$	1725 $\mu$	0.30
			導流壁	—	—	—	—	—
			妻壁	—	—	—	—	—
-+		底版	—	—	—	—	—	
		中床版	20	13.44 13.43	388 $\mu$	1725 $\mu$	0.23	
		側壁	—	—	—	—	—	
		隔壁	114	13.41 13.41	466 $\mu$	1725 $\mu$	0.28	
		導流壁	—	—	—	—	—	
		妻壁	—	—	—	—	—	

注記\*1：評価位置は図 6-28 に示す。

\*2：止水機能が要求される部材の範囲は図 6-41 に示す。

\*3：上段：スクリーンエリアにおける抽出時刻，下段：循環水エリアにおける抽出時刻

\*4：照査用ひずみ=発生ひずみ×構造解析係数  $\gamma_a$

表 6-25(8) 曲げ・軸力系の破壊に対する評価結果 (有効応力解析) (主筋ひずみ)

解析 ケース	地震動		評価位置*1, 2		時刻 (s) *3	照査用 ひずみ *4 $\epsilon_d$	限界 ひずみ $\epsilon_R$	照査値 $\epsilon_d / \epsilon_R$
⑥	S s - D 3	++	底版	—	—	—	—	—
			中床版	19	8.82 8.82	94 $\mu$	1725 $\mu$	0.06
			側壁	—	—	—	—	—
			隔壁	113	15.63 15.62	108 $\mu$	1725 $\mu$	0.07
			導流壁	—	—	—	—	—
			妻壁	—	—	—	—	—
		-+	底版	—	—	—	—	—
			中床版	19	13.25 13.25	216 $\mu$	1725 $\mu$	0.13
			側壁	—	—	—	—	—
			隔壁	114	15.62 15.61	401 $\mu$	1725 $\mu$	0.24
			導流壁	—	—	—	—	—
			妻壁	—	—	—	—	—
	S s - F 1	++	底版	—	—	—	—	—
			中床版	20	22.30 22.30	216 $\mu$	1725 $\mu$	0.13
			側壁	—	—	—	—	—
			隔壁	114	26.06 26.06	408 $\mu$	1725 $\mu$	0.24
			導流壁	—	—	—	—	—
			妻壁	—	—	—	—	—
		-+	底版	—	—	—	—	—
			中床版	20	18.92 18.92	159 $\mu$	1725 $\mu$	0.10
			側壁	—	—	—	—	—
			隔壁	113	18.92 18.92	417 $\mu$	1725 $\mu$	0.25
			導流壁	—	—	—	—	—
			妻壁	—	—	—	—	—

注記\*1：評価位置は図 6-28 に示す。

\*2：止水機能が要求される部材の範囲は図 6-41 に示す。

\*3：上段：スクリーンエリアにおける抽出時刻, 下段：循環水エリアにおける抽出時刻

\*4：照査用ひずみ=発生ひずみ×構造解析係数  $\gamma_a$

表 6-25(9) 曲げ・軸力系の破壊に対する評価結果 (有効応力解析) (主筋ひずみ)

解析 ケース	地震動		評価位置*1, 2		時刻 (s) *3	照査用	限界	照査値 $\epsilon_d / \epsilon_R$
						ひずみ*4 $\epsilon_d$	ひずみ $\epsilon_R$	
⑥	S s - F 2	++	底版	-	-	-	-	-
			中床版	20	28.47 28.46	344 $\mu$	1725 $\mu$	0.20
			側壁	-	-	-	-	-
			隔壁	113	28.47 28.46	437 $\mu$	1725 $\mu$	0.26
			導流壁	-	-	-	-	-
			妻壁	-	-	-	-	-
		-+	底版	-	-	-	-	-
			中床版	20	28.47 28.46	448 $\mu$	1725 $\mu$	0.26
			側壁	-	-	-	-	-
			隔壁	114	28.49 28.48	428 $\mu$	1725 $\mu$	0.25
			導流壁	-	-	-	-	-
			妻壁	-	-	-	-	-
	S s - F 3	++	底版	-	-	-	-	-
			中床版	20	26.90 26.89	100 $\mu$	1725 $\mu$	0.06
			側壁	-	-	-	-	-
			隔壁	113	26.87 26.86	419 $\mu$	1725 $\mu$	0.25
			導流壁	-	-	-	-	-
			妻壁	-	-	-	-	-
		-+	底版	-	-	-	-	-
			中床版	19	26.87 26.85	184 $\mu$	1725 $\mu$	0.11
			側壁	-	-	-	-	-
			隔壁	114	26.87 26.86	459 $\mu$	1725 $\mu$	0.27
			導流壁	-	-	-	-	-
			妻壁	-	-	-	-	-

注記\*1：評価位置は図 6-28 に示す。

\*2：止水機能が要求される部材の範囲は図 6-41 に示す。

\*3：上段：スクリーンエリアにおける抽出時刻, 下段：循環水エリアにおける抽出時刻

\*4：照査用ひずみ=発生ひずみ×構造解析係数  $\gamma_a$

表 6-25(10) 曲げ・軸力系の破壊に対する評価結果 (有効応力解析) (主筋ひずみ)

解析 ケース	地震動	評価位置*1, 2		時刻 (s) *3	照査用	限界	照査値 $\epsilon_d / \epsilon_R$	
					ひずみ*4 $\epsilon_d$	ひずみ $\epsilon_R$		
⑥	S s - N 1	++	底版	—	—	—	—	—
			中床版	20	$\frac{7.56}{7.55}$	460 $\mu$	1725 $\mu$	0.27
			側壁	—	—	—	—	—
			隔壁	114	$\frac{7.56}{7.55}$	552 $\mu$	1725 $\mu$	0.32
			導流壁	—	—	—	—	—
			妻壁	—	—	—	—	—
		-+	底版	—	—	—	—	—
			中床版	19	$\frac{7.55}{7.55}$	365 $\mu$	1725 $\mu$	0.22
			側壁	—	—	—	—	—
			隔壁	113	$\frac{7.55}{7.55}$	543 $\mu$	1725 $\mu$	0.32
			導流壁	—	—	—	—	—
			妻壁	—	—	—	—	—

注記\*1：評価位置は図 6-28 に示す。

\*2：止水機能が要求される部材の範囲は図 6-41 に示す。

\*3：上段：スクリーンエリアにおける抽出時刻, 下段：循環水エリアにおける抽出時刻

\*4：照査用ひずみ=発生ひずみ×構造解析係数  $\gamma_a$

表 6-25(11) 曲げ・軸力系の破壊に対する評価結果（有効応力解析）（主筋ひずみ）

解析 ケース	地震動		評価位置*1, 2		時刻 (s) *3	照査用	限界	照査値
						ひずみ*4	ひずみ	
						$\epsilon_d$	$\epsilon_R$	$\epsilon_d / \epsilon_R$
⑦	S s - D 2	++	底版	—	—	—	—	—
			中床版	20	$\frac{13.44}{13.43}$	366 $\mu$	1725 $\mu$	0.22
			側壁	—	—	—	—	—
			隔壁	113	$\frac{13.45}{13.44}$	515 $\mu$	1725 $\mu$	0.30
			導流壁	—	—	—	—	—
			妻壁	—	—	—	—	—
⑦	S s - N 1	-+	底版	—	—	—	—	—
			中床版	19	$\frac{7.55}{7.55}$	352 $\mu$	1725 $\mu$	0.21
			側壁	—	—	—	—	—
			隔壁	113	$\frac{7.55}{7.55}$	544 $\mu$	1725 $\mu$	0.32
			導流壁	—	—	—	—	—
			妻壁	—	—	—	—	—
⑧	S s - D 2	++	底版	—	—	—	—	—
			中床版	20	$\frac{13.44}{13.43}$	369 $\mu$	1725 $\mu$	0.22
			側壁	—	—	—	—	—
			隔壁	113	$\frac{13.44}{13.43}$	504 $\mu$	1725 $\mu$	0.30
			導流壁	—	—	—	—	—
			妻壁	—	—	—	—	—
⑧	S s - N 1	-+	底版	—	—	—	—	—
			中床版	19	$\frac{7.55}{7.54}$	437 $\mu$	1725 $\mu$	0.26
			側壁	—	—	—	—	—
			隔壁	113	$\frac{7.55}{7.54}$	536 $\mu$	1725 $\mu$	0.32
			導流壁	—	—	—	—	—
			妻壁	—	—	—	—	—

注記\*1：評価位置は図 6-28 に示す。

\*2：止水機能が要求される部材の範囲は図 6-41 に示す。

\*3：上段：スクリーンエリアにおける抽出時刻, 下段：循環水エリアにおける抽出時刻

\*4：照査用ひずみ=発生ひずみ×構造解析係数  $\gamma_a$

表 6-25(12) 曲げ・軸力系の破壊に対する評価結果 (有効応力解析) (主筋ひずみ)

解析 ケース	地震動		評価位置*1, 2		時刻 (s) *3	照査用	限界	照査値 $\epsilon_d / \epsilon_R$
						ひずみ*4 $\epsilon_d$	ひずみ $\epsilon_R$	
⑨	S s - D 2	++	底版	—	—	—	—	—
			中床版	20	$\frac{13.43}{13.43}$	99 $\mu$	1725 $\mu$	0.06
			側壁	—	—	—	—	—
			隔壁	113	$\frac{13.43}{13.43}$	177 $\mu$	1725 $\mu$	0.11
			導流壁	—	—	—	—	—
			妻壁	—	—	—	—	—
⑨	S s - N 1	-+	底版	—	—	—	—	—
			中床版	20	$\frac{7.55}{7.54}$	83 $\mu$	1725 $\mu$	0.05
			側壁	—	—	—	—	—
			隔壁	113	$\frac{7.55}{7.54}$	167 $\mu$	1725 $\mu$	0.10
			導流壁	—	—	—	—	—
			妻壁	—	—	—	—	—

注記\*1：評価位置は図 6-28 に示す。

\*2：止水機能が要求される部材の範囲は図 6-41 に示す。

\*3：上段：スクリーンエリアにおける抽出時刻, 下段：循環水エリアにおける抽出時刻

\*4：照査用ひずみ=発生ひずみ×構造解析係数  $\gamma_a$

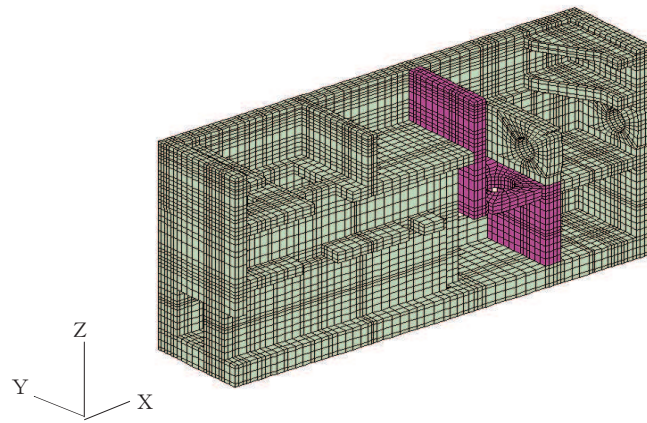
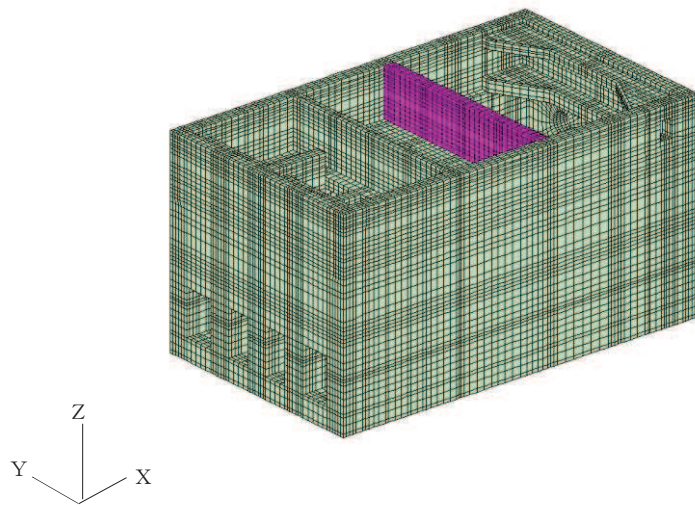


図 6-41 止水機能が要求される部材の範囲

(3) Sクラスの施設を支持する機能

鉄筋コンクリート部材の曲げ・軸力系の破壊に対する各部材での最大照査値について、表 6-26 及び表 6-27 に解析ケース・地震動ごとに示す。

同表より、コンクリートの圧縮ひずみ及び主筋ひずみが、全ケースにおいて許容限界（コンクリートの圧縮ひずみ： $2000\mu$ ，主筋ひずみ： $1725\mu$ ）を下回ることを確認した。



表 6-26(1) 曲げ・軸力系の破壊に対する評価結果 (全応力解析)  
(コンクリートの圧縮ひずみ)

解析 ケース	地震動		評価位置*1, 2		時刻 (s) *3	照査用 ひずみ *4 $\epsilon_d$	限界 ひずみ $\epsilon_R$	照査値 $\epsilon_d / \epsilon_R$
①	S s - D 1	++	底版	—	—	—	—	—
			中床版	—	—	—	—	—
			側壁	—	—	—	—	—
			隔壁	103	32.30 32.29	363 $\mu$	2000 $\mu$	0.19
			導流壁	—	—	—	—	—
			妻壁	—	—	—	—	—
		-+	底版	—	—	—	—	—
			中床版	—	—	—	—	—
			側壁	—	—	—	—	—
			隔壁	104	32.30 32.29	360 $\mu$	2000 $\mu$	0.18
			導流壁	—	—	—	—	—
			妻壁	—	—	—	—	—
	S s - D 2	++	底版	—	—	—	—	—
			中床版	—	—	—	—	—
			側壁	—	—	—	—	—
			隔壁	104	13.56 13.56	328 $\mu$	2000 $\mu$	0.17
			導流壁	—	—	—	—	—
			妻壁	—	—	—	—	—
		-+	底版	—	—	—	—	—
			中床版	—	—	—	—	—
			側壁	—	—	—	—	—
			隔壁	103	13.56 13.56	309 $\mu$	2000 $\mu$	0.16
			導流壁	—	—	—	—	—
			妻壁	—	—	—	—	—

注記\*1：評価位置は図 6-28 に示す。

\*2：支持機能が要求される部材の範囲は図 6-42 に示す。

\*3：上段：スクリーンエリアにおける抽出時刻, 下段：循環水エリアにおける抽出時刻

\*4：照査用ひずみ=発生ひずみ×構造解析係数  $\gamma_a$

表 6-26(2) 曲げ・軸力系の破壊に対する評価結果 (全応力解析)  
(コンクリートの圧縮ひずみ)

解析 ケース	地震動		評価位置*1, 2		時刻 (s) *3	照査用	限界	照査値 $\epsilon_d / \epsilon_R$
						ひずみ *4 $\epsilon_d$	ひずみ $\epsilon_R$	
①	S s - D 3	++	底版	—	—	—	—	—
			中床版	—	—	—	—	—
			側壁	—	—	—	—	—
			隔壁	105	$\frac{30.17}{30.15}$	244 $\mu$	2000 $\mu$	0.13
			導流壁	—	—	—	—	—
			妻壁	—	—	—	—	—
		-+	底版	—	—	—	—	—
			中床版	—	—	—	—	—
			側壁	—	—	—	—	—
			隔壁	103	$\frac{30.16}{30.15}$	249 $\mu$	2000 $\mu$	0.13
			導流壁	—	—	—	—	—
			妻壁	—	—	—	—	—
	S s - F 1	++	底版	—	—	—	—	—
			中床版	—	—	—	—	—
			側壁	—	—	—	—	—
			隔壁	105	$\frac{22.30}{22.32}$	208 $\mu$	2000 $\mu$	0.11
			導流壁	—	—	—	—	—
			妻壁	—	—	—	—	—
		-+	底版	—	—	—	—	—
			中床版	—	—	—	—	—
			側壁	—	—	—	—	—
			隔壁	104	$\frac{22.70}{22.69}$	208 $\mu$	2000 $\mu$	0.11
			導流壁	—	—	—	—	—
			妻壁	—	—	—	—	—

注記\*1：評価位置は図 6-28 に示す。

\*2：支持機能が要求される部材の範囲は図 6-42 に示す。

\*3：上段：スクリーンエリアにおける抽出時刻, 下段：循環水エリアにおける抽出時刻

\*4：照査用ひずみ=発生ひずみ×構造解析係数  $\gamma_a$

表 6-26(3) 曲げ・軸力系の破壊に対する評価結果 (全応力解析)  
(コンクリートの圧縮ひずみ)

解析 ケース	地震動		評価位置*1, 2		時刻 (s) *3	照査用	限界	照査値 $\epsilon_d / \epsilon_R$
						ひずみ *4 $\epsilon_d$	ひずみ $\epsilon_R$	
①	S s - F 2	++	底版	—	—	—	—	—
			中床版	—	—	—	—	—
			側壁	—	—	—	—	—
			隔壁	105	$\frac{28.49}{28.49}$	326 $\mu$	2000 $\mu$	0.17
			導流壁	—	—	—	—	—
			妻壁	—	—	—	—	—
		-+	底版	—	—	—	—	—
			中床版	—	—	—	—	—
			側壁	—	—	—	—	—
			隔壁	103	$\frac{28.49}{28.48}$	311 $\mu$	2000 $\mu$	0.16
			導流壁	—	—	—	—	—
			妻壁	—	—	—	—	—
	S s - F 3	++	底版	—	—	—	—	—
			中床版	—	—	—	—	—
			側壁	—	—	—	—	—
			隔壁	104	$\frac{26.84}{26.83}$	269 $\mu$	2000 $\mu$	0.14
			導流壁	—	—	—	—	—
			妻壁	—	—	—	—	—
		-+	底版	—	—	—	—	—
			中床版	—	—	—	—	—
			側壁	—	—	—	—	—
			隔壁	103	$\frac{26.84}{26.83}$	234 $\mu$	2000 $\mu$	0.12
			導流壁	—	—	—	—	—
			妻壁	—	—	—	—	—

注記\*1：評価位置は図 6-28 に示す。

\*2：支持機能が要求される部材の範囲は図 6-42 に示す。

\*3：上段：スクリーンエリアにおける抽出時刻, 下段：循環水エリアにおける抽出時刻

\*4：照査用ひずみ=発生ひずみ×構造解析係数  $\gamma_a$

表 6-26(4) 曲げ・軸力系の破壊に対する評価結果 (全応力解析)  
(コンクリートの圧縮ひずみ)

解析 ケース	地震動		評価位置*1, 2		時刻 (s) *3	照査用 ひずみ *4 $\epsilon_d$	限界 ひずみ $\epsilon_R$	照査値 $\epsilon_d / \epsilon_R$
①	S s - N 1	++	底版	—	—	—	—	—
			中床版	—	—	—	—	—
			側壁	—	—	—	—	—
			隔壁	102	7.66 7.65	516 $\mu$	2000 $\mu$	0.26
			導流壁	—	—	—	—	—
			妻壁	—	—	—	—	—
			底版	—	—	—	—	—
		-+	中床版	—	—	—	—	—
			側壁	—	—	—	—	—
			隔壁	105	7.65 7.64	576 $\mu$	2000 $\mu$	0.29
			導流壁	—	—	—	—	—
			妻壁	—	—	—	—	—
			底版	—	—	—	—	—
			中床版	—	—	—	—	—

注記\*1：評価位置は図 6-28 に示す。

\*2：支持機能が要求される部材の範囲は図 6-42 に示す。

\*3：上段：スクリーンエリアにおける抽出時刻, 下段：循環水エリアにおける抽出時刻

\*4：照査用ひずみ=発生ひずみ×構造解析係数  $\gamma_a$

表 6-26(5) 曲げ・軸力系の破壊に対する評価結果 (全応力解析)  
(コンクリートの圧縮ひずみ)

解析 ケース	地震動		評価位置*1, 2		時刻 (s) *3	照査用	限界	照査値 $\epsilon_d / \epsilon_R$
						ひずみ *4 $\epsilon_d$	ひずみ $\epsilon_R$	
②	S s - N 1	++	底版	—	—	—	—	—
			中床版	—	—	—	—	—
			側壁	—	—	—	—	—
			隔壁	102	$\frac{7.66}{7.65}$	521 $\mu$	2000 $\mu$	0.27
			導流壁	—	—	—	—	—
			妻壁	—	—	—	—	—
②	S s - N 1	-+	底版	—	—	—	—	—
			中床版	—	—	—	—	—
			側壁	—	—	—	—	—
			隔壁	105	$\frac{7.65}{7.64}$	555 $\mu$	2000 $\mu$	0.28
			導流壁	—	—	—	—	—
			妻壁	—	—	—	—	—
③	S s - N 1	++	底版	—	—	—	—	—
			中床版	—	—	—	—	—
			側壁	—	—	—	—	—
			隔壁	102	$\frac{7.67}{7.65}$	494 $\mu$	2000 $\mu$	0.25
			導流壁	—	—	—	—	—
			妻壁	—	—	—	—	—
③	S s - N 1	-+	底版	—	—	—	—	—
			中床版	—	—	—	—	—
			側壁	—	—	—	—	—
			隔壁	105	$\frac{7.65}{7.64}$	576 $\mu$	2000 $\mu$	0.29
			導流壁	—	—	—	—	—
			妻壁	—	—	—	—	—

注記\*1：評価位置は図 6-28 に示す。

\*2：支持機能が要求される部材の範囲は図 6-42 に示す。

\*3：上段：スクリーンエリアにおける抽出時刻, 下段：循環水エリアにおける抽出時刻

\*4：照査用ひずみ=発生ひずみ×構造解析係数  $\gamma_a$

表 6-26(6) 曲げ・軸力系の破壊に対する評価結果 (全応力解析)  
(コンクリートの圧縮ひずみ)

解析 ケース	地震動		評価位置*1, 2		時刻 (s) *3	照査用	限界	照査値 $\epsilon_d / \epsilon_R$
						ひずみ*4 $\epsilon_d$	ひずみ $\epsilon_R$	
④	S s - N 1	++	底版	—	—	—	—	—
			中床版	—	—	—	—	—
			側壁	—	—	—	—	—
			隔壁	102	$\frac{7.65}{7.64}$	270 $\mu$	2000 $\mu$	0.14
			導流壁	—	—	—	—	—
			妻壁	—	—	—	—	—
④	S s - N 1	-+	底版	—	—	—	—	—
			中床版	—	—	—	—	—
			側壁	—	—	—	—	—
			隔壁	105	$\frac{7.64}{7.63}$	297 $\mu$	2000 $\mu$	0.15
			導流壁	—	—	—	—	—
			妻壁	—	—	—	—	—

注記\*1：評価位置は図 6-28 に示す。

\*2：支持機能が要求される部材の範囲は図 6-42 に示す。

\*3：上段：スクリーンエリアにおける抽出時刻, 下段：循環水エリアにおける抽出時刻

\*4：照査用ひずみ=発生ひずみ×構造解析係数  $\gamma_a$

表 6-26(7) 曲げ・軸力系の破壊に対する評価結果 (有効応力解析)

(コンクリートの圧縮ひずみ)

解析 ケース	地震動		評価位置*1, 2		時刻 (s) *3	照査用 ひずみ *4 $\epsilon_d$	限界 ひずみ $\epsilon_R$	照査値 $\epsilon_d / \epsilon_R$
⑥	S s - D 1	++	底版	—	—	—	—	—
			中床版	—	—	—	—	—
			側壁	—	—	—	—	—
			隔壁	105	45.45 45.44	440 $\mu$	2000 $\mu$	0.22
			導流壁	—	—	—	—	—
			妻壁	—	—	—	—	—
		-+	底版	—	—	—	—	—
			中床版	—	—	—	—	—
			側壁	—	—	—	—	—
			隔壁	102	45.44 45.43	426 $\mu$	2000 $\mu$	0.22
			導流壁	—	—	—	—	—
			妻壁	—	—	—	—	—
	S s - D 2	++	底版	—	—	—	—	—
			中床版	—	—	—	—	—
			側壁	—	—	—	—	—
			隔壁	105	13.47 13.45	358 $\mu$	2000 $\mu$	0.18
			導流壁	—	—	—	—	—
			妻壁	—	—	—	—	—
		-+	底版	—	—	—	—	—
			中床版	—	—	—	—	—
			側壁	—	—	—	—	—
			隔壁	102	13.46 13.44	316 $\mu$	2000 $\mu$	0.16
			導流壁	—	—	—	—	—
			妻壁	—	—	—	—	—

注記\*1：評価位置は図 6-28 に示す。

\*2：支持機能が要求される部材の範囲は図 6-42 に示す。

\*3：上段：スクリーンエリアにおける抽出時刻, 下段：循環水エリアにおける抽出時刻

\*4：照査用ひずみ=発生ひずみ×構造解析係数  $\gamma_a$

表 6-26(8) 曲げ・軸力系の破壊に対する評価結果 (有効応力解析)  
(コンクリートの圧縮ひずみ)

解析 ケース	地震動		評価位置*1, 2		時刻 (s) *3	照査用 ひずみ*4 $\epsilon_d$	限界 ひずみ $\epsilon_R$	照査値 $\epsilon_d / \epsilon_R$
⑥	S s - D 3	++	底版	—	—	—	—	—
			中床版	—	—	—	—	—
			側壁	—	—	—	—	—
			隔壁	101	15.70 15.69	206 $\mu$	2000 $\mu$	0.11
			導流壁	—	—	—	—	—
			妻壁	—	—	—	—	—
		-+	底版	—	—	—	—	—
			中床版	—	—	—	—	—
			側壁	—	—	—	—	—
			隔壁	102	15.62 15.61	231 $\mu$	2000 $\mu$	0.12
			導流壁	—	—	—	—	—
			妻壁	—	—	—	—	—
	S s - F 1	++	底版	—	—	—	—	—
			中床版	—	—	—	—	—
			側壁	—	—	—	—	—
			隔壁	105	22.30 22.29	274 $\mu$	2000 $\mu$	0.14
			導流壁	—	—	—	—	—
			妻壁	—	—	—	—	—
		-+	底版	—	—	—	—	—
			中床版	—	—	—	—	—
			側壁	—	—	—	—	—
			隔壁	105	26.10 26.09	300 $\mu$	2000 $\mu$	0.15
			導流壁	—	—	—	—	—
			妻壁	—	—	—	—	—

注記\*1：評価位置は図 6-28 に示す。

\*2：支持機能が要求される部材の範囲は図 6-42 に示す。

\*3：上段：スクリーンエリアにおける抽出時刻, 下段：循環水エリアにおける抽出時刻

\*4：照査用ひずみ=発生ひずみ×構造解析係数  $\gamma_a$



表 6-26(9) 曲げ・軸力系の破壊に対する評価結果 (有効応力解析)

(コンクリートの圧縮ひずみ)

解析 ケース	地震動		評価位置*1, 2		時刻 (s) *3	照査用 ひずみ*4 $\epsilon_d$	限界 ひずみ $\epsilon_R$	照査値 $\epsilon_d / \epsilon_R$
⑥	S s - F 2	++	底版	—	—	—	—	—
			中床版	—	—	—	—	—
			側壁	—	—	—	—	—
			隔壁	105	28.49 28.49	292 $\mu$	2000 $\mu$	0.15
			導流壁	—	—	—	—	—
			妻壁	—	—	—	—	—
		-+	底版	—	—	—	—	—
			中床版	—	—	—	—	—
			側壁	—	—	—	—	—
			隔壁	103	28.49 28.48	278 $\mu$	2000 $\mu$	0.14
			導流壁	—	—	—	—	—
			妻壁	—	—	—	—	—
	S s - F 3	++	底版	—	—	—	—	—
			中床版	—	—	—	—	—
			側壁	—	—	—	—	—
			隔壁	105	26.90 26.88	264 $\mu$	2000 $\mu$	0.14
			導流壁	—	—	—	—	—
			妻壁	—	—	—	—	—
		-+	底版	—	—	—	—	—
			中床版	—	—	—	—	—
			側壁	—	—	—	—	—
			隔壁	102	26.87 26.85	260 $\mu$	2000 $\mu$	0.13
			導流壁	—	—	—	—	—
			妻壁	—	—	—	—	—

注記\*1：評価位置は図 6-28 に示す。

\*2：支持機能が要求される部材の範囲は図 6-42 に示す。

\*3：上段：スクリーンエリアにおける抽出時刻, 下段：循環水エリアにおける抽出時刻

\*4：照査用ひずみ=発生ひずみ×構造解析係数  $\gamma_a$

表 6-26(10) 曲げ・軸力系の破壊に対する評価結果 (有効応力解析)

(コンクリートの圧縮ひずみ)

解析 ケース	地震動		評価位置*1, 2		時刻 (s) *3	照査用 ひずみ*4 $\epsilon_d$	限界 ひずみ $\epsilon_R$	照査値 $\epsilon_d / \epsilon_R$
⑥	S s - N 1	++	底版	—	—	—	—	—
			中床版	—	—	—	—	—
			側壁	—	—	—	—	—
			隔壁	103	7.56 7.55	336 $\mu$	2000 $\mu$	0.17
			導流壁	—	—	—	—	—
			妻壁	—	—	—	—	—
		-+	底版	—	—	—	—	—
			中床版	—	—	—	—	—
			側壁	—	—	—	—	—
			隔壁	105	7.55 7.55	318 $\mu$	2000 $\mu$	0.16
			導流壁	—	—	—	—	—
			妻壁	—	—	—	—	—

注記\*1：評価位置は図 6-28 に示す。

\*2：支持機能が要求される部材の範囲は図 6-42 に示す。

\*3：上段：スクリーンエリアにおける抽出時刻, 下段：循環水エリアにおける抽出時刻

\*4：照査用ひずみ=発生ひずみ×構造解析係数  $\gamma_a$

表 6-26(11) 曲げ・軸力系の破壊に対する評価結果 (有効応力解析)

(コンクリートの圧縮ひずみ)

解析 ケース	地震動		評価位置*1, 2		時刻 (s) *3	照査用	限界	照査値
						ひずみ *4	ひずみ	
						$\epsilon_d$	$\epsilon_R$	$\epsilon_d / \epsilon_R$
⑦	S s - D 2	++	底版	—	—	—	—	—
			中床版	—	—	—	—	—
			側壁	—	—	—	—	—
			隔壁	105	$\frac{13.47}{13.45}$	359 $\mu$	2000 $\mu$	0.18
			導流壁	—	—	—	—	—
			妻壁	—	—	—	—	—
⑦	S s - N 1	-+	底版	—	—	—	—	—
			中床版	—	—	—	—	—
			側壁	—	—	—	—	—
			隔壁	105	$\frac{7.55}{7.55}$	318 $\mu$	2000 $\mu$	0.16
			導流壁	—	—	—	—	—
			妻壁	—	—	—	—	—
⑧	S s - D 2	++	底版	—	—	—	—	—
			中床版	—	—	—	—	—
			側壁	—	—	—	—	—
			隔壁	105	$\frac{13.47}{13.45}$	362 $\mu$	2000 $\mu$	0.19
			導流壁	—	—	—	—	—
			妻壁	—	—	—	—	—
⑧	S s - N 1	-+	底版	—	—	—	—	—
			中床版	—	—	—	—	—
			側壁	—	—	—	—	—
			隔壁	105	$\frac{7.55}{7.54}$	358 $\mu$	2000 $\mu$	0.18
			導流壁	—	—	—	—	—
			妻壁	—	—	—	—	—

注記\*1：評価位置は図 6-28 に示す。

\*2：支持機能が要求される部材の範囲は図 6-42 に示す。

\*3：上段：スクリーンエリアにおける抽出時刻, 下段：循環水エリアにおける抽出時刻

\*4：照査用ひずみ=発生ひずみ×構造解析係数  $\gamma_a$

表 6-26(12) 曲げ・軸力系の破壊に対する評価結果 (有効応力解析)

(コンクリートの圧縮ひずみ)

解析 ケース	地震動		評価位置*1, 2		時刻 (s) *3	照査用	限界	照査値 $\epsilon_d / \epsilon_R$
						ひずみ *4 $\epsilon_d$	ひずみ $\epsilon_R$	
⑨	S s - D 2	++	底版	—	—	—	—	—
			中床版	—	—	—	—	—
			側壁	—	—	—	—	—
			隔壁	105	$\frac{13.43}{13.43}$	214 $\mu$	2000 $\mu$	0.11
			導流壁	—	—	—	—	—
			妻壁	—	—	—	—	—
⑨	S s - N 1	-+	底版	—	—	—	—	—
			中床版	—	—	—	—	—
			側壁	—	—	—	—	—
			隔壁	101	$\frac{7.78}{7.78}$	203 $\mu$	2000 $\mu$	0.11
			導流壁	—	—	—	—	—
			妻壁	—	—	—	—	—

注記\*1：評価位置は図 6-28 に示す。

\*2：支持機能が要求される部材の範囲は図 6-42 に示す。

\*3：上段：スクリーンエリアにおける抽出時刻, 下段：循環水エリアにおける抽出時刻

\*4：照査用ひずみ=発生ひずみ×構造解析係数  $\gamma_a$

表 6-27(1) 曲げ・軸力系の破壊に対する評価結果 (全応力解析) (主筋ひずみ)

解析 ケース	地震動		評価位置*1, 2		時刻 (s) *3	照査用	限界	照査値 $\epsilon_d / \epsilon_R$
						ひずみ*4 $\epsilon_d$	ひずみ $\epsilon_R$	
①	S s - D 1	++	底版	—	—	—	—	—
			中床版	—	—	—	—	—
			側壁	—	—	—	—	—
			隔壁	104	32.30 32.29	339 $\mu$	1725 $\mu$	0.20
			導流壁	—	—	—	—	—
			妻壁	—	—	—	—	—
		-+	底版	—	—	—	—	—
			中床版	—	—	—	—	—
			側壁	—	—	—	—	—
			隔壁	103	32.30 32.29	309 $\mu$	1725 $\mu$	0.18
			導流壁	—	—	—	—	—
			妻壁	—	—	—	—	—
	S s - D 2	++	底版	—	—	—	—	—
			中床版	—	—	—	—	—
			側壁	—	—	—	—	—
			隔壁	105	13.56 13.56	354 $\mu$	1725 $\mu$	0.21
			導流壁	—	—	—	—	—
			妻壁	—	—	—	—	—
		-+	底版	—	—	—	—	—
			中床版	—	—	—	—	—
			側壁	—	—	—	—	—
			隔壁	102	13.54 13.55	270 $\mu$	1725 $\mu$	0.16
			導流壁	—	—	—	—	—
			妻壁	—	—	—	—	—

注記\*1：評価位置は図 6-28 に示す。

\*2：支持機能が要求される部材の範囲は図 6-42 に示す。

\*3：上段：スクリーンエリアにおける抽出時刻，下段：循環水エリアにおける抽出時刻

\*4：照査用ひずみ＝発生ひずみ×構造解析係数  $\gamma_a$

表 6-27(2) 曲げ・軸力系の破壊に対する評価結果 (全応力解析) (主筋ひずみ)

解析 ケース	地震動		評価位置*1, 2		時刻 (s) *3	照査用	限界	照査値 $\epsilon_d / \epsilon_R$
						ひずみ*4 $\epsilon_d$	ひずみ $\epsilon_R$	
①	S s - D 3	++	底版	—	—	—	—	—
			中床版	—	—	—	—	—
			側壁	—	—	—	—	—
			隔壁	102	30.17 30.15	75 $\mu$	1725 $\mu$	0.05
			導流壁	—	—	—	—	—
			妻壁	—	—	—	—	—
		-+	底版	—	—	—	—	—
			中床版	—	—	—	—	—
			側壁	—	—	—	—	—
			隔壁	105	30.16 30.15	95 $\mu$	1725 $\mu$	0.06
			導流壁	—	—	—	—	—
			妻壁	—	—	—	—	—
	S s - F 1	++	底版	—	—	—	—	—
			中床版	—	—	—	—	—
			側壁	—	—	—	—	—
			隔壁	105	18.91 18.93	47 $\mu$	1725 $\mu$	0.03
			導流壁	—	—	—	—	—
			妻壁	—	—	—	—	—
		-+	底版	—	—	—	—	—
			中床版	—	—	—	—	—
			側壁	—	—	—	—	—
			隔壁	102	22.70 22.69	58 $\mu$	1725 $\mu$	0.04
			導流壁	—	—	—	—	—
			妻壁	—	—	—	—	—

注記\*1：評価位置は図 6-28 に示す。

\*2：支持機能が要求される部材の範囲は図 6-42 に示す。

\*3：上段：スクリーンエリアにおける抽出時刻, 下段：循環水エリアにおける抽出時刻

\*4：照査用ひずみ=発生ひずみ×構造解析係数  $\gamma_a$

表 6-27(3) 曲げ・軸力系の破壊に対する評価結果 (全応力解析) (主筋ひずみ)

解析 ケース	地震動		評価位置*1, 2		時刻 (s) *3	照査用	限界	照査値 $\epsilon_d / \epsilon_R$
						ひずみ*4 $\epsilon_d$	ひずみ $\epsilon_R$	
①	S <sub>s</sub> -F2	++	底版	—	—	—	—	—
			中床版	—	—	—	—	—
			側壁	—	—	—	—	—
			隔壁	104	28.49 28.49	140 $\mu$	1725 $\mu$	0.09
			導流壁	—	—	—	—	—
			妻壁	—	—	—	—	—
		-+	底版	—	—	—	—	—
			中床版	—	—	—	—	—
			側壁	—	—	—	—	—
			隔壁	103	28.49 28.48	117 $\mu$	1725 $\mu$	0.07
			導流壁	—	—	—	—	—
			妻壁	—	—	—	—	—
	S <sub>s</sub> -F3	++	底版	—	—	—	—	—
			中床版	—	—	—	—	—
			側壁	—	—	—	—	—
			隔壁	102	26.84 26.83	124 $\mu$	1725 $\mu$	0.08
			導流壁	—	—	—	—	—
			妻壁	—	—	—	—	—
		-+	底版	—	—	—	—	—
			中床版	—	—	—	—	—
			側壁	—	—	—	—	—
			隔壁	105	26.84 26.83	117 $\mu$	1725 $\mu$	0.07
			導流壁	—	—	—	—	—
			妻壁	—	—	—	—	—

注記\*1：評価位置は図 6-28 に示す。

\*2：支持機能が要求される部材の範囲は図 6-42 に示す。

\*3：上段：スクリーンエリアにおける抽出時刻，下段：循環水エリアにおける抽出時刻

\*4：照査用ひずみ＝発生ひずみ×構造解析係数  $\gamma_a$

表 6-27(4) 曲げ・軸力系の破壊に対する評価結果 (全応力解析) (主筋ひずみ)

解析 ケース	地震動		評価位置*1, 2		時刻 (s) *3	照査用	限界	照査値 $\epsilon_d / \epsilon_R$
						ひずみ*4 $\epsilon_d$	ひずみ $\epsilon_R$	
①	S s - N 1	++	底版	—	—	—	—	—
			中床版	—	—	—	—	—
			側壁	—	—	—	—	—
			隔壁	103	7.67 7.65	446 $\mu$	1725 $\mu$	0.26
			導流壁	—	—	—	—	—
			妻壁	—	—	—	—	—
		-+	底版	—	—	—	—	—
			中床版	—	—	—	—	—
			側壁	—	—	—	—	—
			隔壁	104	7.65 7.64	414 $\mu$	1725 $\mu$	0.24
			導流壁	—	—	—	—	—
			妻壁	—	—	—	—	—

注記\*1：評価位置は図 6-28 に示す。

\*2：支持機能が要求される部材の範囲は図 6-42 に示す。

\*3：上段：スクリーンエリアにおける抽出時刻, 下段：循環水エリアにおける抽出時刻

\*4：照査用ひずみ=発生ひずみ×構造解析係数  $\gamma_a$



表 6-27(5) 曲げ・軸力系の破壊に対する評価結果 (全応力解析) (主筋ひずみ)

解析 ケース	地震動		評価位置*1, 2		時刻 (s) *3	照査用	限界	照査値 $\epsilon_d / \epsilon_R$
						ひずみ*4 $\epsilon_d$	ひずみ $\epsilon_R$	
②	S s - N 1	++	底版	—	—	—	—	—
			中床版	—	—	—	—	—
			側壁	—	—	—	—	—
			隔壁	103	$\frac{7.67}{7.65}$	449 $\mu$	1725 $\mu$	0.27
			導流壁	—	—	—	—	—
			妻壁	—	—	—	—	—
②	S s - N 1	-+	底版	—	—	—	—	—
			中床版	—	—	—	—	—
			側壁	—	—	—	—	—
			隔壁	104	$\frac{7.65}{7.64}$	423 $\mu$	1725 $\mu$	0.25
			導流壁	—	—	—	—	—
			妻壁	—	—	—	—	—
③	S s - N 1	++	底版	—	—	—	—	—
			中床版	—	—	—	—	—
			側壁	—	—	—	—	—
			隔壁	103	$\frac{7.67}{7.65}$	443 $\mu$	1725 $\mu$	0.26
			導流壁	—	—	—	—	—
			妻壁	—	—	—	—	—
③	S s - N 1	-+	底版	—	—	—	—	—
			中床版	—	—	—	—	—
			側壁	—	—	—	—	—
			隔壁	104	$\frac{7.65}{7.64}$	416 $\mu$	1725 $\mu$	0.25
			導流壁	—	—	—	—	—
			妻壁	—	—	—	—	—

注記\*1：評価位置は図 6-28 に示す。

\*2：支持機能が要求される部材の範囲は図 6-42 に示す。

\*3：上段：スクリーンエリアにおける抽出時刻，下段：循環水エリアにおける抽出時刻

\*4：照査用ひずみ＝発生ひずみ×構造解析係数  $\gamma_a$

表 6-27(6) 曲げ・軸力系の破壊に対する評価結果 (全応力解析) (主筋ひずみ)

解析 ケース	地震動		評価位置*1, 2		時刻 (s) *3	照査用	限界	照査値 $\epsilon_d / \epsilon_R$
						ひずみ*4 $\epsilon_d$	ひずみ $\epsilon_R$	
④	S s - N 1	++	底版	—	—	—	—	—
			中床版	—	—	—	—	—
			側壁	—	—	—	—	—
			隔壁	105	7.52 ----- 7.52	56 $\mu$	1725 $\mu$	0.04
			導流壁	—	—	—	—	—
			妻壁	—	—	—	—	—
④	S s - N 1	-+	底版	—	—	—	—	—
			中床版	—	—	—	—	—
			側壁	—	—	—	—	—
			隔壁	104	7.64 ----- 7.63	56 $\mu$	1725 $\mu$	0.04
			導流壁	—	—	—	—	—
			妻壁	—	—	—	—	—

注記\*1：評価位置は図 6-28 に示す。

\*2：支持機能が要求される部材の範囲は図 6-42 に示す。

\*3：上段：スクリーンエリアにおける抽出時刻, 下段：循環水エリアにおける抽出時刻

\*4：照査用ひずみ=発生ひずみ×構造解析係数  $\gamma_a$

表 6-27(7) 曲げ・軸力系の破壊に対する評価結果 (有効応力解析) (主筋ひずみ)

解析 ケース	地震動		評価位置*1, 2		時刻 (s) *3	照査用	限界	照査値 $\epsilon_d / \epsilon_R$
						ひずみ *4 $\epsilon_d$	ひずみ $\epsilon_R$	
⑥	S s - D 1	++	底版	—	—	—	—	—
			中床版	—	—	—	—	—
			側壁	—	—	—	—	—
			隔壁	104	45.45 45.44	363 $\mu$	1725 $\mu$	0.22
			導流壁	—	—	—	—	—
			妻壁	—	—	—	—	—
		-+	底版	—	—	—	—	—
			中床版	—	—	—	—	—
			側壁	—	—	—	—	—
			隔壁	103	45.44 45.43	345 $\mu$	1725 $\mu$	0.20
			導流壁	—	—	—	—	—
			妻壁	—	—	—	—	—
	S s - D 2	++	底版	—	—	—	—	—
			中床版	—	—	—	—	—
			側壁	—	—	—	—	—
			隔壁	104	13.44 13.43	192 $\mu$	1725 $\mu$	0.12
			導流壁	—	—	—	—	—
			妻壁	—	—	—	—	—
		-+	底版	—	—	—	—	—
			中床版	—	—	—	—	—
			側壁	—	—	—	—	—
			隔壁	104	13.44 13.43	206 $\mu$	1725 $\mu$	0.12
			導流壁	—	—	—	—	—
			妻壁	—	—	—	—	—

注記\*1：評価位置は図 6-28 に示す。

\*2：支持機能が要求される部材の範囲は図 6-42 に示す。

\*3：上段：スクリーンエリアにおける抽出時刻, 下段：循環水エリアにおける抽出時刻

\*4：照査用ひずみ=発生ひずみ×構造解析係数  $\gamma_a$

表 6-27(8) 曲げ・軸力系の破壊に対する評価結果 (有効応力解析) (主筋ひずみ)

解析 ケース	地震動		評価位置*1, 2		時刻 (s) *3	照査用	限界	照査値 $\epsilon_d / \epsilon_R$
						ひずみ *4 $\epsilon_d$	ひずみ $\epsilon_R$	
⑥	S s - D 3	++	底版	—	—	—	—	—
			中床版	—	—	—	—	—
			側壁	—	—	—	—	—
			隔壁	101	$\frac{15.70}{15.69}$	48 $\mu$	1725 $\mu$	0.03
			導流壁	—	—	—	—	—
			妻壁	—	—	—	—	—
		-+	底版	—	—	—	—	—
			中床版	—	—	—	—	—
			側壁	—	—	—	—	—
			隔壁	105	$\frac{13.25}{13.25}$	56 $\mu$	1725 $\mu$	0.04
			導流壁	—	—	—	—	—
			妻壁	—	—	—	—	—
	S s - F 1	++	底版	—	—	—	—	—
			中床版	—	—	—	—	—
			側壁	—	—	—	—	—
			隔壁	101	$\frac{26.10}{26.10}$	64 $\mu$	1725 $\mu$	0.04
			導流壁	—	—	—	—	—
			妻壁	—	—	—	—	—
		-+	底版	—	—	—	—	—
			中床版	—	—	—	—	—
			側壁	—	—	—	—	—
-+	-+	底版	—	—	—	—	—	
		中床版	—	—	—	—	—	
		側壁	—	—	—	—	—	
		隔壁	101	$\frac{26.11}{26.11}$	70 $\mu$	1725 $\mu$	0.05	
		導流壁	—	—	—	—	—	
		妻壁	—	—	—	—	—	

注記\*1：評価位置は図 6-28 に示す。

\*2：支持機能が要求される部材の範囲は図 6-42 に示す。

\*3：上段：スクリーンエリアにおける抽出時刻, 下段：循環水エリアにおける抽出時刻

\*4：照査用ひずみ=発生ひずみ×構造解析係数  $\gamma_a$

表 6-27(9) 曲げ・軸力系の破壊に対する評価結果 (有効応力解析) (主筋ひずみ)

解析 ケース	地震動		評価位置*1, 2		時刻 (s) *3	照査用	限界	照査値 $\epsilon_d / \epsilon_R$
						ひずみ*4 $\epsilon_d$	ひずみ $\epsilon_R$	
⑥	S <sub>s</sub> -F2	++	底版	—	—	—	—	—
			中床版	—	—	—	—	—
			側壁	—	—	—	—	—
			隔壁	104	28.49 28.49	66 $\mu$	1725 $\mu$	0.04
			導流壁	—	—	—	—	—
			妻壁	—	—	—	—	—
		-+	底版	—	—	—	—	—
			中床版	—	—	—	—	—
			側壁	—	—	—	—	—
			隔壁	105	28.47 28.46	99 $\mu$	1725 $\mu$	0.06
			導流壁	—	—	—	—	—
			妻壁	—	—	—	—	—
	S <sub>s</sub> -F3	++	底版	—	—	—	—	—
			中床版	—	—	—	—	—
			側壁	—	—	—	—	—
			隔壁	104	26.90 26.89	54 $\mu$	1725 $\mu$	0.04
			導流壁	—	—	—	—	—
			妻壁	—	—	—	—	—
		-+	底版	—	—	—	—	—
			中床版	—	—	—	—	—
			側壁	—	—	—	—	—
			隔壁	105	26.87 26.85	52 $\mu$	1725 $\mu$	0.04
			導流壁	—	—	—	—	—
			妻壁	—	—	—	—	—

注記\*1：評価位置は図 6-28 に示す。

\*2：支持機能が要求される部材の範囲は図 6-42 に示す。

\*3：上段：スクリーンエリアにおける抽出時刻, 下段：循環水エリアにおける抽出時刻

\*4：照査用ひずみ=発生ひずみ×構造解析係数  $\gamma_a$

表 6-27(10) 曲げ・軸力系の破壊に対する評価結果（有効応力解析）（主筋ひずみ）

解析 ケース	地震動		評価位置*1, 2		時刻 (s) *3	照査用	限界	照査値 $\epsilon_d / \epsilon_R$
						ひずみ*4 $\epsilon_d$	ひずみ $\epsilon_R$	
⑥	S s - N 1	++	底版	—	—	—	—	—
			中床版	—	—	—	—	—
			側壁	—	—	—	—	—
			隔壁	104	7.56 7.55	261 $\mu$	1725 $\mu$	0.16
			導流壁	—	—	—	—	—
			妻壁	—	—	—	—	—
		-+	底版	—	—	—	—	—
			中床版	—	—	—	—	—
			側壁	—	—	—	—	—
			隔壁	104	7.55 7.55	80 $\mu$	1725 $\mu$	0.05
			導流壁	—	—	—	—	—
			妻壁	—	—	—	—	—

注記\*1：評価位置は図 6-28 に示す。

\*2：支持機能が要求される部材の範囲は図 6-42 に示す。

\*3：上段：スクリーンエリアにおける抽出時刻, 下段：循環水エリアにおける抽出時刻

\*4：照査用ひずみ=発生ひずみ×構造解析係数  $\gamma_a$

表 6-27(11) 曲げ・軸力系の破壊に対する評価結果（有効応力解析）（主筋ひずみ）

解析 ケース	地震動		評価位置*1, 2		時刻 (s) *3	照査用	限界	照査値 $\epsilon_d / \epsilon_R$
						ひずみ*4 $\epsilon_d$	ひずみ $\epsilon_R$	
⑦	S s - N 1	++	底版	—	—	—	—	—
			中床版	—	—	—	—	—
			側壁	—	—	—	—	—
			隔壁	104	$\frac{13.44}{13.43}$	243 $\mu$	1725 $\mu$	0.15
			導流壁	—	—	—	—	—
			妻壁	—	—	—	—	—
⑦	S s - N 1	-+	底版	—	—	—	—	—
			中床版	—	—	—	—	—
			側壁	—	—	—	—	—
			隔壁	104	$\frac{7.55}{7.55}$	80 $\mu$	1725 $\mu$	0.05
			導流壁	—	—	—	—	—
			妻壁	—	—	—	—	—
⑧	S s - N 1	++	底版	—	—	—	—	—
			中床版	—	—	—	—	—
			側壁	—	—	—	—	—
			隔壁	104	$\frac{13.44}{13.43}$	192 $\mu$	1725 $\mu$	0.12
			導流壁	—	—	—	—	—
			妻壁	—	—	—	—	—
⑧	S s - N 1	-+	底版	—	—	—	—	—
			中床版	—	—	—	—	—
			側壁	—	—	—	—	—
			隔壁	104	$\frac{7.55}{7.54}$	261 $\mu$	1725 $\mu$	0.16
			導流壁	—	—	—	—	—
			妻壁	—	—	—	—	—

注記\*1：評価位置は図 6-28 に示す。

\*2：支持機能が要求される部材の範囲は図 6-42 に示す。

\*3：上段：スクリーンエリアにおける抽出時刻，下段：循環水エリアにおける抽出時刻

\*4：照査用ひずみ＝発生ひずみ×構造解析係数  $\gamma_a$

表 6-27(12) 曲げ・軸力系の破壊に対する評価結果（有効応力解析）（主筋ひずみ）

解析 ケース	地震動		評価位置*1, 2		時刻 (s) *3	照査用	限界	照査値 $\epsilon_d / \epsilon_R$
						ひずみ*4 $\epsilon_d$	ひずみ $\epsilon_R$	
⑨	S s - N 1	++	底版	—	—	—	—	—
			中床版	—	—	—	—	—
			側壁	—	—	—	—	—
			隔壁	102	13.43 ----- 13.43	45 $\mu$	1725 $\mu$	0.03
			導流壁	—	—	—	—	—
			妻壁	—	—	—	—	—
⑨	S s - N 1	-+	底版	—	—	—	—	—
			中床版	—	—	—	—	—
			側壁	—	—	—	—	—
			隔壁	101	7.78 ----- 7.77	47 $\mu$	1725 $\mu$	0.03
			導流壁	—	—	—	—	—
			妻壁	—	—	—	—	—

注記\*1：評価位置は図 6-28 に示す。

\*2：支持機能が要求される部材の範囲は図 6-42 に示す。

\*3：上段：スクリーンエリアにおける抽出時刻, 下段：循環水エリアにおける抽出時刻

\*4：照査用ひずみ＝発生ひずみ×構造解析係数  $\gamma_a$



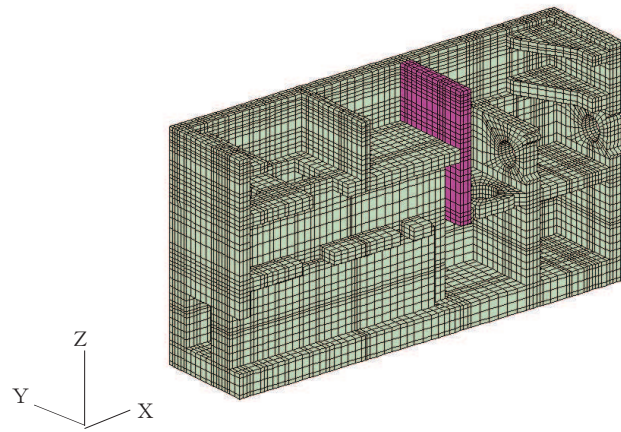
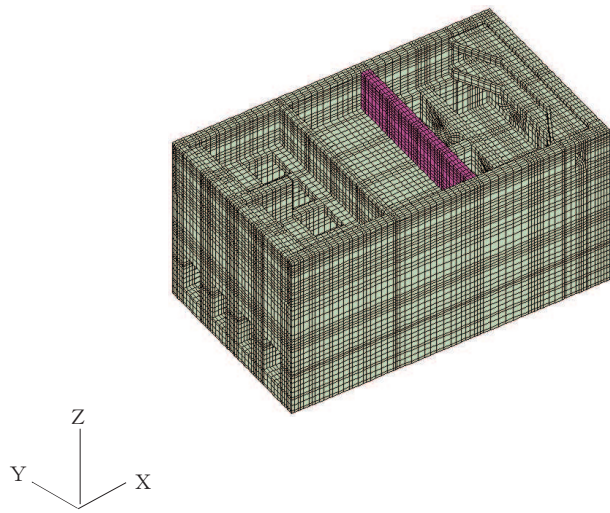


図 6-42 支持機能が要求される部材の範囲

### 6.3.2 せん断破壊に対する評価結果

#### (1) 構造強度を有することに対する評価結果

鉄筋コンクリート部材のせん断破壊に対する各部材での最大照査値について、表 6-28 に解析ケース・地震動ごとに示す。

同表より、全ケースにおいて照査用せん断力が、せん断耐力を下回ることを確認した。

表 6-28(1) せん断破壊に対する評価結果 (全応力解析)

解析 ケース	地震動		評価位置*1		時刻*2 (s)	照査用 せん断力*3 $V_d$ (kN/m)	せん断 耐力 $V_{y d}$ (kN/m)	照査値 $V_d/V_{y d}$
①	S s - D 1	++	底版	2	32.30	5647	9864	0.58
					32.30			
			中床板	13	32.30	2589	3998	0.65
					32.30			
			側壁	43	32.30	5162	8296	0.63
					32.30			
			隔壁	103	32.30	1057	1774	0.60
		32.29						
		導流壁	64	32.30	7878	12418	0.64	
				32.30				
		妻壁	71	32.30	773	1503	0.52	
				32.30				
		-+	底版	1	32.30	5394	9845	0.55
					32.29			
中床板	12		32.30	2504	3999	0.63		
			32.29					
側壁	53		32.30	5149	8334	0.62		
			32.29					
隔壁	104		32.30	1016	1791	0.57		
		32.29						
導流壁	62	32.30	7605	12418	0.62			
		32.29						
妻壁	71	32.30	786	1496	0.53			
		32.29						

注記\*1：評価位置は図 6-28 に示す。

\*2：上段：スクリーンエリアにおける抽出時刻, 下段：循環水エリアにおける抽出時刻

\*3：照査用せん断力=発生せん断力×構造解析係数  $\gamma_a$

表 6-28(2) せん断破壊に対する評価結果 (全応力解析)

解析 ケース	地震動		評価位置*1		時刻*2 (s)	照査用 せん断力*3 $V_d$ (kN/m)	せん断 耐力 $V_{y d}$ (kN/m)	照査値 $V_d/V_{y d}$
①	S s - D 2	++	底板	2	13.41	4938	9979	0.50
					13.40			
			中床板	18	13.55	1332	2376	0.57
					13.55			
			側壁	53	13.41	3166	4406	0.72
					13.40			
			隔壁	104	13.56	923	1802	0.52
		13.56						
		導流壁	64	13.55	901	1580	0.58	
				13.55				
		妻壁	81	13.50	3488	5272	0.67	
				13.41				
		-+	底板	2	13.56	4737	9784	0.49
					13.56			
中床板	15		13.54	994	1795	0.56		
			13.55					
側壁	53		13.50	1275	2157	0.60		
			13.41					
隔壁	103		13.56	919	1801	0.52		
		13.56						
導流壁	62	13.56	873	1499	0.59			
		13.56						
妻壁	81	8.40	3808	5749	0.67			
		8.31						

注記\*1：評価位置は図 6-28 に示す。

\*2：上段：スクリーンエリアにおける抽出時刻, 下段：循環水エリアにおける抽出時刻

\*3：照査用せん断力=発生せん断力×構造解析係数  $\gamma_a$

表 6-28(3) せん断破壊に対する評価結果 (全応力解析)

解析 ケース	地震動		評価位置*1		時刻*2 (s)	照査用 せん断力*3 $V_d$ (kN/m)	せん断 耐力 $V_{y d}$ (kN/m)	照査値 $V_d/V_{y d}$
①	S s - D 3	++	底版	2	15.59	4321	10024	0.44
					15.59			
			中床板	13	15.59	1950	4001	0.49
					15.59			
			側壁	53	13.25	2556	4419	0.58
					13.25			
		隔壁	105	15.63	800	2079	0.39	
				15.57				
		導流壁	64	15.59	6168	12418	0.50	
				15.59				
		妻壁	81	13.24	2828	5285	0.54	
				13.25				
-+	底版	1	30.16	4150	10025	0.42		
			30.15					
	中床板	12	30.16	1986	4016	0.50		
			30.15					
	側壁	53	8.82	2873	4474	0.65		
			8.82					
隔壁	103	29.73	705	1857	0.38			
		29.71						
導流壁	64	30.16	767	1560	0.50			
		30.15						
妻壁	81	13.23	3190	5756	0.56			
		13.25						

注記\*1：評価位置は図 6-28 に示す。

\*2：上段：スクリーンエリアにおける抽出時刻, 下段：循環水エリアにおける抽出時刻

\*3：照査用せん断力=発生せん断力×構造解析係数  $\gamma_a$

表 6-28(4) せん断破壊に対する評価結果 (全応力解析)

解析 ケース	地震動		評価位置*1		時刻*2 (s)	照査用	せん断	照査値 $V_d/V_{y d}$
						せん断力*3 $V_d$ (kN/m)	耐力 $V_{y d}$ (kN/m)	
①	S s - F 1	++	底版	2	15.96	4046	10025	0.41
					15.95			
			中床板	13	15.96	1781	3999	0.45
					15.95			
			側壁	53	17.23	2270	4430	0.52
					17.24			
		隔壁	103	15.96	425	1179	0.37	
				15.95				
		導流壁	64	15.96	5640	12418	0.46	
				15.95				
		妻壁	81	20.17	2786	5762	0.49	
				20.18				
-+	底版	2	22.70	4098	9940	0.42		
			22.69					
	中床板	13	22.70	1766	3978	0.45		
			22.69					
	側壁	53	22.49	1478	2910	0.51		
			22.49					
隔壁	103	22.70	695	1831	0.38			
		22.69						
導流壁	64	22.70	5945	12418	0.48			
		22.69						
妻壁	81	18.92	2610	5285	0.50			
		18.93						

注記\*1：評価位置は図 6-28 に示す。

\*2：上段：スクリーンエリアにおける抽出時刻, 下段：循環水エリアにおける抽出時刻

\*3：照査用せん断力=発生せん断力×構造解析係数  $\gamma_a$

表 6-28(5) せん断破壊に対する評価結果 (全応力解析)

解析 ケース	地震動		評価位置*1		時刻*2 (s)	照査用 せん断力*3 $V_d$ (kN/m)	せん断 耐力 $V_{y d}$ (kN/m)	照査値 $V_d / V_{y d}$
①	S s - F 2	++	底版	2	28.49	5025	9975	0.51
					28.48			
			中床板	13	28.49	2401	4018	0.60
					28.48			
			側壁	53	28.49	2573	4312	0.60
					28.48			
		隔壁	103	28.49	876	2018	0.44	
				28.49				
		導流壁	63	28.49	2367	4048	0.59	
				28.48				
		妻壁	81	28.49	2834	5033	0.57	
				28.48				
-+	底版	1	28.49	5301	9891	0.54		
			28.48					
	中床板	12	28.49	2500	4011	0.63		
			28.48					
	側壁	43	28.51	1834	2852	0.65		
			28.5					
隔壁	104	28.49	957	1959	0.49			
		28.48						
導流壁	63	28.51	942	1545	0.61			
		28.50						
妻壁	71	28.51	1494	2631	0.57			
		28.50						

注記\*1：評価位置は図 6-28 に示す。

\*2：上段：スクリーンエリアにおける抽出時刻, 下段：循環水エリアにおける抽出時刻

\*3：照査用せん断力=発生せん断力×構造解析係数  $\gamma_a$

表 6-28(6) せん断破壊に対する評価結果 (全応力解析)

解析 ケース	地震動		評価位置*1		時刻*2 (s)	照査用 せん断力*3 $V_d$ (kN/m)	せん断 耐力 $V_{y d}$ (kN/m)	照査値 $V_d/V_{y d}$
①	S s - F 3	++	底版	2	26.86	4956	10025	0.50
					26.84			
			中床板	11	26.84	1909	3446	0.56
					26.83			
			側壁	53	26.86	2932	4411	0.67
					26.84			
		隔壁	103	26.84	782	1904	0.42	
				26.83				
		導流壁	64	26.84	6589	12418	0.54	
				26.83				
		妻壁	81	26.92	2925	5276	0.56	
				26.84				
-+	底版	1	26.84	4638	9876	0.47		
			26.83					
	中床板	14	26.84	1925	3449	0.56		
			26.83					
	側壁	43	26.84	1653	2756	0.60		
			26.83					
隔壁	104	26.84	751	1912	0.40			
		26.83						
導流壁	62	26.84	6413	12418	0.52			
		26.83						
妻壁	81	26.92	3180	5749	0.56			
		26.84						

注記\*1：評価位置は図 6-28 に示す。

\*2：上段：スクリーンエリアにおける抽出時刻, 下段：循環水エリアにおける抽出時刻

\*3：照査用せん断力=発生せん断力×構造解析係数  $\gamma_a$



表 6-28(7) せん断破壊に対する評価結果 (全応力解析)

解析 ケース	地震動		評価位置*1		時刻*2 (s)	照査用	せん断	照査値 $V_d/V_{y,d}$
						せん断力*3 $V_d$ (kN/m)	耐力 $V_{y,d}$ (kN/m)	
①	S s - N 1	++	底版	1	7.67	6708	10367	0.65
					7.65			
			中床板	12	7.66	2989	4009	0.75
					7.65			
			側壁	53	7.66	6375	8408	0.76
					7.65			
			隔壁	104	7.66	1275	1967	0.65
		7.65						
		導流壁	63	7.66	3228	4104	0.79	
				7.65				
		妻壁	71	7.67	3272	4859	0.68	
				7.65				
		-+	底版	2	7.65	7102	10606	0.67
					7.64			
中床板	17		7.65	850	1087	0.79		
			7.64					
側壁	43		7.65	6269	8425	0.75		
			7.64					
隔壁	103		7.53	1154	1784	0.65		
		7.53						
導流壁	63	7.65	3285	4140	0.80			
		7.64						
妻壁	71	7.65	2408	3751	0.65			
		7.64						

注記\*1：評価位置は図 6-28 に示す。

\*2：上段：スクリーンエリアにおける抽出時刻, 下段：循環水エリアにおける抽出時刻

\*3：照査用せん断力=発生せん断力×構造解析係数  $\gamma_a$

表 6-28(8) せん断破壊に対する評価結果 (全応力解析)

解析 ケース	地震動		評価位置*1		時刻*2 (s)	照査用	せん断	照査値 $V_d/V_{y d}$
						せん断力*3 $V_d$ (kN/m)	耐力 $V_{y d}$ (kN/m)	
②	S s - N 1	++	底版	1	7.66	6320	9845	0.65
					7.65			
			中床板	12	7.66	2971	4007	0.75
					7.65			
			側壁	53	7.66	6339	8397	0.76
					7.65			
			隔壁	104	7.66	1300	1958	0.67
					7.65			
			導流壁	63	7.66	3249	4104	0.80
					7.65			
			妻壁	71	7.66	3312	4855	0.69
					7.65			
②	S s - N 1	-+	底版	2	7.65	6826	10606	0.65
					7.64			
			中床板	13	7.65	2971	4009	0.75
					7.64			
			側壁	52	7.65	1509	2057	0.74
					7.64			
			隔壁	103	7.53	1129	1778	0.64
					7.53			
			導流壁	63	7.65	3211	4128	0.78
					7.64			
			妻壁	71	7.65	3157	4843	0.66
					7.64			

注記\*1：評価位置は図 6-28 に示す。

\*2：上段：スクリーンエリアにおける抽出時刻, 下段：循環水エリアにおける抽出時刻

\*3：照査用せん断力=発生せん断力×構造解析係数  $\gamma_a$

表 6-28(9) せん断破壊に対する評価結果 (全応力解析)

解析 ケース	地震動		評価位置*1		時刻*2 (s)	照査用 せん断力*3 $V_d$ (kN/m)	せん断 耐力 $V_{y d}$ (kN/m)	照査値 $V_d / V_{y d}$
③	S s - N 1	++	底版	1	7.67	6730	10367	0.65
					7.65			
			中床板	12	7.67	2861	4001	0.72
					7.65			
			側壁	43	7.67	2140	2873	0.75
					7.65			
隔壁	104	7.67	1229	1941	0.64			
		7.65						
導流壁	63	7.67	3157	4097	0.78			
		7.65						
妻壁	71	7.67	3278	4858	0.68			
		7.65						
③	S s - N 1	- +	底版	2	7.65	7103	10606	0.67
					7.64			
			中床板	17	7.65	845	1103	0.77
					7.64			
			側壁	43	7.65	6276	8425	0.75
					7.64			
隔壁	103	7.53	1145	1785	0.65			
		7.53						
導流壁	63	7.65	3278	4139	0.80			
		7.64						
妻壁	81	7.65	4088	6352	0.65			
		7.64						

注記\*1：評価位置は図 6-28 に示す。

\*2：上段：スクリーンエリアにおける抽出時刻, 下段：循環水エリアにおける抽出時刻

\*3：照査用せん断力=発生せん断力×構造解析係数  $\gamma_a$

表 6-28(10) せん断破壊に対する評価結果 (全応力解析)

解析 ケース	地震動		評価位置*1		時刻*2 (s)	照査用	せん断	照査値 $V_d/V_{y d}$
						せん断力*3 $V_d$ (kN/m)	耐力 $V_{y d}$ (kN/m)	
④	S s - N 1	++	底版	1	7.65	7163	10025	0.72
					7.63			
			中床板	12	7.65	3114	4010	0.78
					7.63			
			側壁	53	7.65	6375	8480	0.76
					7.63			
			隔壁	104	7.65	775	1179	0.66
					7.63			
			導流壁	62	7.65	10292	12418	0.83
					7.63			
			妻壁	71	7.65	3032	4840	0.63
					7.63			
④	S s - N 1	- +	底版	2	7.64	8013	10606	0.76
					7.63			
			中床板	13	7.64	3105	4011	0.78
					7.63			
			側壁	43	7.64	6372	8425	0.76
					7.63			
			隔壁	103	7.64	708	1179	0.61
					7.63			
			導流壁	64	7.64	10203	12418	0.83
					7.63			
			妻壁	71	7.64	492	740	0.67
					7.63			

注記\*1：評価位置は図 6-28 に示す。

\*2：上段：スクリーンエリアにおける抽出時刻, 下段：循環水エリアにおける抽出時刻

\*3：照査用せん断力=発生せん断力×構造解析係数  $\gamma_a$

表 6-28(11) せん断破壊に対する評価結果 (有効応力解析)

解析 ケース	地震動		評価位置*1		時刻*2 (s)	照査用	せん断	照査値 $V_d/V_{y d}$
						せん断力*3 $V_d$ (kN/m)	耐力 $V_{y d}$ (kN/m)	
⑥	S s - D 1	++	底板	2	45.44	6684	10606	0.64
					45.43			
			中床板	13	45.44	2965	4017	0.74
					45.43			
			側壁	43	45.44	5857	8425	0.70
					45.43			
			隔壁	103	45.45	1124	1912	0.59
		45.45						
		導流壁	63	45.44	3126	4119	0.76	
				45.43				
		妻壁	81	45.45	4016	6352	0.64	
				45.44				
		-+	底板	1	45.44	6299	9921	0.64
					45.43			
中床板	12		45.44	3010	4018	0.75		
			45.43					
側壁	53		45.44	6431	8419	0.77		
			45.43					
隔壁	104		45.44	1170	1940	0.61		
		45.43						
導流壁	63	45.44	3170	4106	0.78			
		45.43						
妻壁	81	45.45	3645	5460	0.67			
		45.44						

注記\*1：評価位置は図 6-28 に示す。

\*2：上段：スクリーンエリアにおける抽出時刻, 下段：循環水エリアにおける抽出時刻

\*3：照査用せん断力=発生せん断力×構造解析係数  $\gamma_a$

表 6-28(12) せん断破壊に対する評価結果 (有効応力解析)

解析 ケース	地震動		評価位置*1		時刻*2 (s)	照査用	せん断	照査値 $V_d/V_{y d}$
						せん断力*3 $V_d$ (kN/m)	耐力 $V_{y d}$ (kN/m)	
⑥	S s - D 2	++	底版	1	25.29	5440	10025	0.55
					25.29			
			中床板	13	13.44	2642	4017	0.66
					13.43			
			側壁	53	13.42	3125	4190	0.75
					13.41			
			隔壁	103	13.44	1072	1961	0.55
		13.43						
		導流壁	63	13.47	2244	2785	0.81	
				13.45				
		妻壁	81	13.46	3098	5027	0.62	
				13.44				
		-+	底版	1	13.41	5496	9966	0.56
					13.41			
中床板	12		13.46	2574	3999	0.65		
			13.44					
側壁	53		25.29	2988	4418	0.68		
			25.29					
隔壁	104		13.44	1005	1919	0.53		
		13.43						
導流壁	63	13.46	3054	4119	0.75			
		13.44						
妻壁	81	25.34	3149	5281	0.60			
		25.29						

注記\*1：評価位置は図 6-28 に示す。

\*2：上段：スクリーンエリアにおける抽出時刻, 下段：循環水エリアにおける抽出時刻

\*3：照査用せん断力=発生せん断力×構造解析係数  $\gamma_a$

表 6-28(13) せん断破壊に対する評価結果 (有効応力解析)

解析 ケース	地震動		評価位置*1		時刻*2 (s)	照査用 せん断力*3 $V_d$ (kN/m)	せん断 耐力 $V_{y d}$ (kN/m)	照査値 $V_d / V_{y d}$
⑥	S s - D 3	++	底版	2	15.63	3925	10025	0.40
					15.62			
			中床板	13	15.63	1716	4003	0.43
					15.62			
			側壁	53	15.63	2496	4428	0.57
					15.62			
		隔壁	103	15.63	418	1179	0.36	
				15.62				
		導流壁	64	15.63	5379	12418	0.44	
				15.62				
		妻壁	81	11.86	3224	5752	0.57	
				11.89				
-+	底版	1	15.62	4991	10025	0.50		
			15.61					
	中床板	12	15.62	2049	4007	0.52		
			15.61					
	側壁	43	13.30	978	1932	0.51		
			13.29					
隔壁	104	15.62	480	1179	0.41			
		15.61						
導流壁	62	15.62	6493	12418	0.53			
		15.61						
妻壁	81	13.30	3258	5761	0.57			
		13.29						

注記\*1：評価位置は図 6-28 に示す。

\*2：上段：スクリーンエリアにおける抽出時刻, 下段：循環水エリアにおける抽出時刻

\*3：照査用せん断力=発生せん断力×構造解析係数  $\gamma_a$

表 6-28(14) せん断破壊に対する評価結果 (有効応力解析)

解析 ケース	地震動		評価位置*1		時刻*2 (s)	照査用	せん断	照査値 $V_d/V_{y d}$
						せん断力*3 $V_d$ (kN/m)	耐力 $V_{y d}$ (kN/m)	
⑥	S s - F 1	++	底版	1	26.06	4991	10025	0.50
					26.06			
			中床板	13	22.30	2169	4003	0.55
					22.29			
			側壁	43	26.10	1890	2853	0.67
					26.08			
		隔壁	103	22.30	846	2018	0.42	
				22.30				
		導流壁	63	26.10	1671	2773	0.61	
				26.08				
		妻壁	71	26.10	2708	4849	0.56	
				26.08				
-+	底版	2	18.92	5079	10025	0.51		
			18.92					
	中床板	13	18.92	2285	4025	0.57		
			18.92					
	側壁	53	26.11	2032	2910	0.70		
			26.11					
隔壁	103	18.92	493	1179	0.42			
		18.92						
導流壁	63	26.10	1708	2790	0.62			
		26.09						
妻壁	81	26.11	3631	6352	0.58			
		26.10						

注記\*1：評価位置は図 6-28 に示す。

\*2：上段：スクリーンエリアにおける抽出時刻, 下段：循環水エリアにおける抽出時刻

\*3：照査用せん断力=発生せん断力×構造解析係数  $\gamma_a$



表 6-28(15) せん断破壊に対する評価結果 (有効応力解析)

解析 ケース	地震動		評価位置*1		時刻*2 (s)	照査用 せん断力*3 $V_d$ (kN/m)	せん断 耐力 $V_{y d}$ (kN/m)	照査値 $V_d/V_{y d}$
⑥	S s - F 2	++	底版	2	28.49	5795	10606	0.55
					28.49			
			中床板	13	28.49	2280	4008	0.57
					28.49			
			側壁	53	28.46	2851	4384	0.66
					28.46			
			隔壁	103	28.47	869	1890	0.46
		28.46						
		導流壁	64	28.49	7016	12418	0.57	
				28.49				
		妻壁	81	28.25	3497	5749	0.61	
				28.16				
		-+	底版	1	28.46	5375	9918	0.55
					28.45			
中床板	12		28.47	2277	3995	0.57		
			28.46					
側壁	43		28.50	1804	2858	0.64		
			28.51					
隔壁	104		28.47	922	1860	0.50		
		28.46						
導流壁	62	28.46	7197	12418	0.58			
		28.45						
妻壁	81	28.27	3168	5280	0.60			
		28.18						

注記\*1：評価位置は図 6-28 に示す。

\*2：上段：スクリーンエリアにおける抽出時刻, 下段：循環水エリアにおける抽出時刻

\*3：照査用せん断力=発生せん断力×構造解析係数  $\gamma_a$

表 6-28(16) せん断破壊に対する評価結果 (有効応力解析)

解析 ケース	地震動		評価位置*1		時刻*2 (s)	照査用	せん断	照査値 $V_d/V_{y d}$
						せん断力*3 $V_d$ (kN/m)	耐力 $V_{y d}$ (kN/m)	
⑥	S s - F 3	++	底版	2	26.87	5048	10025	0.51
					26.86			
			中床板	13	26.87	2236	4028	0.56
					26.86			
			側壁	53	26.87	3209	4475	0.72
					26.86			
		隔壁	103	26.87	490	1179	0.42	
				26.86				
		導流壁	64	26.87	6607	12418	0.54	
				26.86				
		妻壁	81	26.90	2950	5284	0.56	
				26.88				
-+	底版	1	26.87	5160	10025	0.52		
			26.86					
	中床板	12	26.87	2276	4021	0.57		
			26.86					
	側壁	53	26.87	4618	8369	0.56		
			26.86					
隔壁	104	26.87	501	1179	0.43			
		26.86						
導流壁	62	26.87	6857	12418	0.56			
		26.86						
妻壁	81	26.91	3490	5750	0.61			
		26.87						

注記\*1：評価位置は図 6-28 に示す。

\*2：上段：スクリーンエリアにおける抽出時刻, 下段：循環水エリアにおける抽出時刻

\*3：照査用せん断力=発生せん断力×構造解析係数  $\gamma_a$

表 6-28(17) せん断破壊に対する評価結果 (有効応力解析)

解析 ケース	地震動		評価位置*1		時刻*2 (s)	照査用	せん断	照査値 $V_d/V_{y d}$
						せん断力*3 $V_d$ (kN/m)	耐力 $V_{y d}$ (kN/m)	
⑥	S s - N 1	++	底版	1	7.56	6428	10367	0.63
					7.55			
			中床板	12	7.56	2782	4005	0.70
					7.55			
			側壁	43	7.69	1332	1920	0.70
					7.68			
			隔壁	104	7.56	1150	1812	0.64
		7.55						
		導流壁	62	7.56	3937	5777	0.69	
				7.55				
		妻壁	81	7.69	3637	6612	0.56	
				7.68				
		-+	底版	2	7.59	3348	5491	0.61
					7.53			
中床板	13		7.55	2747	4014	0.69		
			7.55					
側壁	53		7.55	3048	4163	0.74		
			7.55					
隔壁	103		7.55	1056	1857	0.57		
		7.55						
導流壁	64	7.55	3848	5769	0.67			
		7.55						
妻壁	81	7.78	2907	5305	0.55			
		7.69						

注記\*1：評価位置は図 6-28 に示す。

\*2：上段：スクリーンエリアにおける抽出時刻, 下段：循環水エリアにおける抽出時刻

\*3：照査用せん断力=発生せん断力×構造解析係数  $\gamma_a$

表 6-28(18) せん断破壊に対する評価結果 (有効応力解析)

解析 ケース	地震動		評価位置*1		時刻*2 (s)	照査用	せん断	照査値 $V_d/V_{y,d}$
						せん断力*3 $V_d$ (kN/m)	耐力 $V_{y,d}$ (kN/m)	
⑦	S s - D 2	++	底版	1	25.29	5518	10025	0.56
					25.29			
			中床板	13	13.44	2669	4017	0.67
					13.43			
			側壁	53	13.42	3121	4164	0.75
					13.41			
	隔壁	103	13.44	1098	1940	0.57		
			13.43					
	導流壁	63	13.47	2198	2790	0.79		
			13.45					
	妻壁	81	13.45	3091	5028	0.62		
			13.44					
⑦	S s - N 1	-+	底版	2	7.55	6209	10336	0.61
					7.55			
			中床板	13	7.55	2743	4013	0.69
					7.55			
			側壁	53	7.55	3065	4151	0.74
					7.55			
	隔壁	103	7.55	1040	1857	0.57		
			7.55					
	導流壁	63	7.44	1879	2770	0.68		
			7.41					
	妻壁	81	7.78	4208	6785	0.63		
			7.78					

注記\*1：評価位置は図 6-28 に示す。

\*2：上段：スクリーンエリアにおける抽出時刻, 下段：循環水エリアにおける抽出時刻

\*3：照査用せん断力=発生せん断力×構造解析係数  $\gamma_a$

表 6-28(19) せん断破壊に対する評価結果 (有効応力解析)

解析 ケース	地震動		評価位置*1		時刻*2 (s)	照査用	せん断	照査値 $V_d/V_{y d}$
						せん断力*3 $V_d$ (kN/m)	耐力 $V_{y d}$ (kN/m)	
⑧	S s - D 2	++	底版	2	13.47	5964	10606	0.57
					13.45			
			中床板	13	13.44	2656	4016	0.67
					13.43			
			側壁	53	13.42	3138	4219	0.75
					13.41			
隔壁	103	13.44	1073	1954	0.55			
		13.43						
導流壁	63	13.47	2246	2787	0.81			
		13.45						
妻壁	81	13.46	3093	5027	0.62			
		13.44						
⑧	S s - N 1	- +	底版	2	7.59	5608	8859	0.64
					7.53			
			中床板	13	7.55	2839	4013	0.71
					7.54			
			側壁	53	7.55	3116	4199	0.75
					7.54			
隔壁	103	7.55	1141	1792	0.64			
		7.54						
導流壁	64	7.55	3921	5766	0.69			
		7.54						
妻壁	81	7.79	2939	5300	0.56			
		7.70						

注記\*1：評価位置は図 6-28 に示す。

\*2：上段：スクリーンエリアにおける抽出時刻, 下段：循環水エリアにおける抽出時刻

\*3：照査用せん断力=発生せん断力×構造解析係数  $\gamma_a$

表 6-28(20) せん断破壊に対する評価結果 (有効応力解析)

解析 ケース	地震動		評価位置*1		時刻*2 (s)	照査用	せん断	照査値 $V_d/V_{y d}$
						せん断力*3 $V_d$ (kN/m)	耐力 $V_{y d}$ (kN/m)	
⑨	S s - D 2	++	底版	2	13.44	5951	10022	0.60
					13.43			
			中床板	13	13.44	2714	3996	0.68
					13.43			
			側壁	53	25.29	3354	4251	0.79
					25.29			
	隔壁	103	13.44	749	1179	0.64		
			13.43					
	導流壁	64	13.44	8709	12418	0.71		
			13.43					
	妻壁	79	13.44	707	1179	0.60		
			13.43					
⑨	S s - N 1	-+	底版	2	7.55	6393	10025	0.64
					7.54			
			中床板	13	7.55	2732	3993	0.69
					7.54			
			側壁	53	7.78	2139	2910	0.74
					7.69			
	隔壁	103	7.55	723	1179	0.62		
			7.54					
	導流壁	64	7.55	9024	12352	0.74		
			7.54					
	妻壁	79	7.55	725	1179	0.62		
			7.54					

注記\*1：評価位置は図 6-28 に示す。

\*2：上段：スクリーンエリアにおける抽出時刻, 下段：循環水エリアにおける抽出時刻

\*3：照査用せん断力=発生せん断力×構造解析係数  $\gamma_a$

(2) 止水機能

鉄筋コンクリート部材のせん断破壊に対する各部材での最大照査値について、表 6-29 に解析ケース・地震動ごとに示す。

同表より、全ケースにおいて照査用せん断力が、せん断耐力を下回ることを確認した。

表 6-29(1) せん断破壊に対する評価結果 (全応力解析)

解析 ケース	地震動		評価位置*1, 2		時刻*3 (s)	照査用	せん断	照査値 $V_d/V_{y d}$
						せん断力*4 $V_d$ (kN/m)	耐力 $V_{y d}$ (kN/m)	
①	S s - D 1	++	底版	—	—	—	—	—
			中床板	20	32.30	1547	3132	0.50
					32.30			
			側壁	—	—	—	—	—
			隔壁	103	32.30	1057	1774	0.60
					32.29			
		導流壁	—	—	—	—	—	
		妻壁	—	—	—	—	—	
		-+	底版	—	—	—	—	—
			中床板	19	32.30	1382	3152	0.44
					32.29			
			側壁	—	—	—	—	—
隔壁	104		32.30	1016	1791	0.57		
			32.29					
導流壁	—	—	—	—	—			
妻壁	—	—	—	—	—			

注記\*1：評価位置は図 6-28 に示す。

\*2：止水機能が要求される部材の範囲は図 6-41 に示す。

\*3：上段：スクリーンエリアにおける抽出時刻, 下段：循環水エリアにおける抽出時刻

\*4：照査用ひずみ=発生ひずみ×構造解析係数  $\gamma_a$



表 6-29(2) せん断破壊に対する評価結果 (全応力解析)

解析 ケース	地震動	評価位置*1, 2		時刻*3 (s)	照査用 せん断力*4 $V_d$ (kN/m)	せん断 耐力 $V_{y d}$ (kN/m)	照査値 $V_d/V_{y d}$	
①	S s - D 2	++	底版	—	—	—	—	—
			中床板	20	13.56	1176	2308	0.51
					13.56			
			側壁	—	—	—	—	—
			隔壁	104	13.56	923	1802	0.52
					13.56			
			導流壁	—	—	—	—	—
		妻壁	—	—	—	—	—	
		-+	底版	—	—	—	—	—
			中床板	19	13.56	1103	2308	0.48
					13.56			
			側壁	—	—	—	—	—
			隔壁	103	13.56	919	1801	0.52
					13.56			
導流壁	—		—	—	—	—		
妻壁	—	—	—	—	—			

注記\*1：評価位置は図 6-28 に示す。

\*2：止水機能が要求される部材の範囲は図 6-41 に示す。

\*3：上段：スクリーンエリアにおける抽出時刻, 下段：循環水エリアにおける抽出時刻

\*4：照査用ひずみ=発生ひずみ×構造解析係数  $\gamma_a$

表 6-29(3) せん断破壊に対する評価結果 (全応力解析)

解析 ケース	地震動		評価位置*1, 2		時刻*3 (s)	照査用	せん断	照査値 $V_d/V_{y d}$
						せん断力*4 $V_d$ (kN/m)	耐力 $V_{y d}$ (kN/m)	
①	S s - D 3	++	底版	—	—	—	—	—
			中床板	20	15.59	1075	3266	0.33
					15.59			
			側壁	—	—	—	—	—
			隔壁	105	15.63	800	2079	0.39
					15.57			
		導流壁	—	—	—	—	—	
		妻壁	—	—	—	—	—	
		-+	底版	—	—	—	—	—
			中床板	20	30.16	1366	4242	0.33
					30.15			
			側壁	—	—	—	—	—
隔壁	103		29.73	705	1857	0.38		
			29.71					
導流壁	—	—	—	—	—			
妻壁	—	—	—	—	—			

注記\*1：評価位置は図 6-28 に示す。

\*2：止水機能が要求される部材の範囲は図 6-41 に示す。

\*3：上段：スクリーンエリアにおける抽出時刻, 下段：循環水エリアにおける抽出時刻

\*4：照査用ひずみ=発生ひずみ×構造解析係数  $\gamma_a$

表 6-29(4) せん断破壊に対する評価結果 (全応力解析)

解析 ケース	地震動	評価位置*1, 2		時刻*3 (s)	照査用 せん断力*4 $V_d$ (kN/m)	せん断 耐力 $V_{y d}$ (kN/m)	照査値 $V_d/V_{y d}$	
①	S s - F 1	++	底版	—	—	—	—	—
			中床板	20	18.91	905	3162	0.29
					18.93			
			側壁	—	—	—	—	—
			隔壁	103	15.96	425	1179	0.37
					15.95			
			導流壁	—	—	—	—	—
		妻壁	—	—	—	—	—	
		-+	底版	—	—	—	—	—
			中床板	20	22.70	1017	3128	0.33
					22.69			
			側壁	—	—	—	—	—
			隔壁	103	22.70	695	1831	0.38
					22.69			
導流壁	—		—	—	—	—		
妻壁	—	—	—	—	—			

注記\*1：評価位置は図 6-28 に示す。

\*2：止水機能が要求される部材の範囲は図 6-41 に示す。

\*3：上段：スクリーンエリアにおける抽出時刻, 下段：循環水エリアにおける抽出時刻

\*4：照査用ひずみ=発生ひずみ×構造解析係数  $\gamma_a$

表 6-29(5) せん断破壊に対する評価結果 (全応力解析)

解析 ケース	地震動		評価位置*1, 2		時刻*3 (s)	照査用	せん断	照査値 $V_d/V_{y d}$
						せん断力*4 $V_d$ (kN/m)	耐力 $V_{y d}$ (kN/m)	
①	S s - F 2	++	底版	—	—	—	—	—
			中床板	20	28.49	1384	3266	0.43
					28.48			
			側壁	—	—	—	—	—
			隔壁	103	28.49	876	2018	0.44
					28.49			
		導流壁	—	—	—	—	—	
		妻壁	—	—	—	—	—	
		-+	底版	—	—	—	—	—
			中床板	19	28.49	1409	3266	0.44
					28.48			
			側壁	—	—	—	—	—
隔壁	104		28.49	957	1959	0.49		
			28.48					
導流壁	—	—	—	—	—			
妻壁	—	—	—	—	—			

注記\*1：評価位置は図 6-28 に示す。

\*2：止水機能が要求される部材の範囲は図 6-41 に示す。

\*3：上段：スクリーンエリアにおける抽出時刻, 下段：循環水エリアにおける抽出時刻

\*4：照査用ひずみ=発生ひずみ×構造解析係数  $\gamma_a$

表 6-29(6) せん断破壊に対する評価結果 (全応力解析)

解析 ケース	地震動	評価位置*1, 2		時刻*3 (s)	照査用 せん断力*4 $V_d$ (kN/m)	せん断 耐力 $V_{y d}$ (kN/m)	照査値 $V_d/V_{y d}$	
①	S s - F 3	++	底版	—	—	—	—	—
			中床板	20	26.84	1166	3266	0.36
					26.83			
			側壁	—	—	—	—	—
			隔壁	103	26.84	782	1904	0.42
					26.83			
			導流壁	—	—	—	—	—
		妻壁	—	—	—	—	—	
		-+	底版	—	—	—	—	—
			中床板	19	26.84	1103	3266	0.34
					26.83			
			側壁	—	—	—	—	—
			隔壁	104	26.84	751	1912	0.40
					26.83			
導流壁	—		—	—	—	—		
妻壁	—	—	—	—	—			

注記\*1：評価位置は図 6-28 に示す。

\*2：止水機能が要求される部材の範囲は図 6-41 に示す。

\*3：上段：スクリーンエリアにおける抽出時刻, 下段：循環水エリアにおける抽出時刻

\*4：照査用ひずみ=発生ひずみ×構造解析係数  $\gamma_a$

表 6-29(7) せん断破壊に対する評価結果 (全応力解析)

解析 ケース	地震動		評価位置*1, 2		時刻*3 (s)	照査用	せん断	照査値 $V_d/V_{y d}$
						せん断力*4 $V_d$ (kN/m)	耐力 $V_{y d}$ (kN/m)	
①	S s - N 1	++	底版	—	—	—	—	—
			中床板	19	7.67	1837	3266	0.57
					7.65			
			側壁	—	—	—	—	—
			隔壁	104	7.66	1275	1967	0.65
					7.65			
		導流壁	—	—	—	—	—	
		妻壁	—	—	—	—	—	
		-+	底版	—	—	—	—	—
			中床板	20	7.65	2634	4420	0.60
					7.64			
			側壁	—	—	—	—	—
隔壁	103		7.53	1154	1784	0.65		
			7.53					
導流壁	—	—	—	—	—			
妻壁	—	—	—	—	—			

注記\*1：評価位置は図 6-28 に示す。

\*2：止水機能が要求される部材の範囲は図 6-41 に示す。

\*3：上段：スクリーンエリアにおける抽出時刻, 下段：循環水エリアにおける抽出時刻

\*4：照査用ひずみ=発生ひずみ×構造解析係数  $\gamma_a$

表 6-29(8) せん断破壊に対する評価結果 (全応力解析)

解析 ケース	地震動		評価位置*1, 2		時刻*3 (s)	照査用	せん断	照査値 $V_d/V_{y d}$
						せん断力*4 $V_d$ (kN/m)	耐力 $V_{y d}$ (kN/m)	
②	S s - N 1	++	底版	—	—	—	—	—
			中床板	19	7.66	1868	3266	0.58
					7.65			
			側壁	—	—	—	—	—
			隔壁	104	7.66	1300	1958	0.67
					7.65			
			導流壁	—	—	—	—	—
妻壁	—	—	—	—	—			
②	S s - N 1	-+	底版	—	—	—	—	—
			中床板	20	7.65	2532	4423	0.58
					7.64			
			側壁	—	—	—	—	—
			隔壁	103	7.53	1129	1778	0.64
					7.53			
			導流壁	—	—	—	—	—
妻壁	—	—	—	—	—			

注記\*1：評価位置は図 6-28 に示す。

\*2：止水機能が要求される部材の範囲は図 6-41 に示す。

\*3：上段：スクリーンエリアにおける抽出時刻, 下段：循環水エリアにおける抽出時刻

\*4：照査用ひずみ=発生ひずみ×構造解析係数  $\gamma_a$

表 6-29(9) せん断破壊に対する評価結果 (全応力解析)

解析 ケース	地震動		評価位置*1, 2		時刻*3 (s)	照査用	せん断	照査値 $V_d/V_{y d}$
						せん断力*4 $V_d$ (kN/m)	耐力 $V_{y d}$ (kN/m)	
③	S s - N 1	++	底版	—	—	—	—	—
			中床板	19	7.67	1860	3266	0.57
					7.65			
			側壁	—	—	—	—	—
			隔壁	104	7.67	1229	1941	0.64
					7.65			
			導流壁	—	—	—	—	—
妻壁	—	—	—	—	—			
③	S s - N 1	-+	底版	—	—	—	—	—
			中床板	20	7.65	2628	4420	0.60
					7.64			
			側壁	—	—	—	—	—
			隔壁	103	7.53	1145	1785	0.65
					7.53			
			導流壁	—	—	—	—	—
妻壁	—	—	—	—	—			

注記\*1：評価位置は図 6-28 に示す。

\*2：止水機能が要求される部材の範囲は図 6-41 に示す。

\*3：上段：スクリーンエリアにおける抽出時刻, 下段：循環水エリアにおける抽出時刻

\*4：照査用ひずみ＝発生ひずみ×構造解析係数  $\gamma_a$



表 6-29(10) せん断破壊に対する評価結果 (全応力解析)

解析 ケース	地震動		評価位置*1, 2		時刻*3 (s)	照査用	せん断	照査値 $V_d/V_{y d}$
						せん断力*4 $V_d$ (kN/m)	耐力 $V_{y d}$ (kN/m)	
④	S s - N 1	++	底版	—	—	—	—	—
			中床板	19	7.65	1770	3232	0.55
					7.63			
			側壁	—	—	—	—	—
			隔壁	104	7.65	775	1179	0.66
					7.63			
			導流壁	—	—	—	—	—
妻壁	—	—	—	—	—			
④	S s - N 1	-+	底版	—	—	—	—	—
			中床板	20	7.64	1700	3266	0.53
					7.63			
			側壁	—	—	—	—	—
			隔壁	103	7.64	708	1179	0.61
					7.63			
			導流壁	—	—	—	—	—
妻壁	—	—	—	—	—			

注記\*1：評価位置は図 6-28 に示す。

\*2：止水機能が要求される部材の範囲は図 6-41 に示す。

\*3：上段：スクリーンエリアにおける抽出時刻, 下段：循環水エリアにおける抽出時刻

\*4：照査用ひずみ=発生ひずみ×構造解析係数  $\gamma_a$

表 6-29(11) せん断破壊に対する評価結果 (有効応力解析)

解析 ケース	地震動		評価位置*1, 2		時刻*3 (s)	照査用	せん断	照査値 $V_d/V_{y d}$
						せん断力*4 $V_d$ (kN/m)	耐力 $V_{y d}$ (kN/m)	
⑥	S s - D 1	++	底版	—	—	—	—	—
			中床板	20	45.45	1778	3266	0.55
					45.44			
			側壁	—	—	—	—	—
			隔壁	103	45.45	1124	1912	0.59
					45.45			
		導流壁	—	—	—	—	—	
		妻壁	—	—	—	—	—	
		-+	底版	—	—	—	—	—
			中床板	19	45.44	1796	3266	0.55
					45.43			
			側壁	—	—	—	—	—
隔壁	104		45.44	1170	1940	0.61		
			45.43					
導流壁	—	—	—	—	—			
妻壁	—	—	—	—	—			

注記\*1：評価位置は図 6-28 に示す。

\*2：止水機能が要求される部材の範囲は図 6-41 に示す。

\*3：上段：スクリーンエリアにおける抽出時刻, 下段：循環水エリアにおける抽出時刻

\*4：照査用ひずみ = 発生ひずみ × 構造解析係数  $\gamma_a$

表 6-29(12) せん断破壊に対する評価結果 (有効応力解析)

解析 ケース	地震動		評価位置*1, 2		時刻*3 (s)	照査用	せん断	照査値 $V_d/V_{y d}$
						せん断力*4 $V_d$ (kN/m)	耐力 $V_{y d}$ (kN/m)	
⑥	S s - D 2	++	底版	—	—	—	—	—
			中床板	20	13.47	1613	3118	0.52
					13.45			
			側壁	—	—	—	—	—
			隔壁	103	13.44	1072	1961	0.55
					13.43			
		導流壁	—	—	—	—	—	
		妻壁	—	—	—	—	—	
		-+	底版	—	—	—	—	—
			中床板	19	13.44	1683	2989	0.57
					13.43			
			側壁	—	—	—	—	—
隔壁	104		13.44	1140	1818	0.63		
			13.43					
導流壁	—	—	—	—	—			
妻壁	—	—	—	—	—			

注記\*1：評価位置は図 6-28 に示す。

\*2：止水機能が要求される部材の範囲は図 6-41 に示す。

\*3：上段：スクリーンエリアにおける抽出時刻, 下段：循環水エリアにおける抽出時刻

\*4：照査用ひずみ=発生ひずみ×構造解析係数  $\gamma_a$

表 6-29(13) せん断破壊に対する評価結果 (有効応力解析)

解析 ケース	地震動		評価位置*1, 2		時刻*3 (s)	照査用	せん断	照査値 $V_d/V_{y d}$
						せん断力*4 $V_d$ (kN/m)	耐力 $V_{y d}$ (kN/m)	
⑥	S s - D 3	++	底版	—	—	—	—	—
			中床板	20	8.82	901	3044	0.30
					8.82			
			側壁	—	—	—	—	—
			隔壁	103	15.63	418	1179	0.36
					15.62			
		導流壁	—	—	—	—	—	
		妻壁	—	—	—	—	—	
		-+	底版	—	—	—	—	—
			中床板	19	15.62	1143	3266	0.35
					15.61			
			側壁	—	—	—	—	—
隔壁	104		15.62	480	1179	0.41		
			15.61					
導流壁	—	—	—	—	—			
妻壁	—	—	—	—	—			

注記\*1：評価位置は図 6-28 に示す。

\*2：止水機能が要求される部材の範囲は図 6-41 に示す。

\*3：上段：スクリーンエリアにおける抽出時刻, 下段：循環水エリアにおける抽出時刻

\*4：照査用ひずみ=発生ひずみ×構造解析係数  $\gamma_a$

表 6-29(14) せん断破壊に対する評価結果 (有効応力解析)

解析 ケース	地震動		評価位置*1, 2		時刻*3 (s)	照査用	せん断	照査値 $V_d/V_{y d}$
						せん断力*4 $V_d$ (kN/m)	耐力 $V_{y d}$ (kN/m)	
⑥	S s - F 1	++	底版	—	—	—	—	—
			中床板	20	22.30	1268	3259	0.39
					22.29			
			側壁	—	—	—	—	—
			隔壁	103	22.30	846	2018	0.42
					22.30			
			導流壁	—	—	—	—	—
		妻壁	—	—	—	—	—	
		-+	底版	—	—	—	—	—
			中床板	20	18.92	1293	3266	0.40
					18.92			
			側壁	—	—	—	—	—
			隔壁	103	18.92	493	1179	0.42
					18.92			
導流壁	—		—	—	—	—		
妻壁	—	—	—	—	—			

注記\*1：評価位置は図 6-28 に示す。

\*2：止水機能が要求される部材の範囲は図 6-41 に示す。

\*3：上段：スクリーンエリアにおける抽出時刻, 下段：循環水エリアにおける抽出時刻

\*4：照査用ひずみ=発生ひずみ×構造解析係数  $\gamma_a$

表 6-29(15) せん断破壊に対する評価結果 (有効応力解析)

解析 ケース	地震動		評価位置*1, 2		時刻*3 (s)	照査用	せん断	照査値 $V_d/V_{y d}$
						せん断力*4 $V_d$ (kN/m)	耐力 $V_{y d}$ (kN/m)	
⑥	S s - F 2	++	底版	—	—	—	—	—
			中床板	20	28.49	1283	3190	0.41
					28.49			
			側壁	—	—	—	—	—
			隔壁	103	28.47	869	1890	0.46
					28.46			
		導流壁	—	—	—	—	—	
		妻壁	—	—	—	—	—	
		-+	底版	—	—	—	—	—
			中床板	19	28.47	1280	3183	0.41
					28.46			
			側壁	—	—	—	—	—
隔壁	104		28.47	922	1860	0.50		
			28.46					
導流壁	—	—	—	—	—			
妻壁	—	—	—	—	—			

注記\*1：評価位置は図 6-28 に示す。

\*2：止水機能が要求される部材の範囲は図 6-41 に示す。

\*3：上段：スクリーンエリアにおける抽出時刻, 下段：循環水エリアにおける抽出時刻

\*4：照査用ひずみ=発生ひずみ×構造解析係数  $\gamma_a$

表 6-29(16) せん断破壊に対する評価結果 (有効応力解析)

解析 ケース	地震動		評価位置*1, 2		時刻*3 (s)	照査用	せん断	照査値 $V_d/V_{y d}$
						せん断力*4 $V_d$ (kN/m)	耐力 $V_{y d}$ (kN/m)	
⑥	S s - F 3	++	底版	—	—	—	—	—
			中床板	20	26.90	1227	3266	0.38
					26.88			
			側壁	—	—	—	—	—
			隔壁	103	26.87	490	1179	0.42
					26.86			
			導流壁	—	—	—	—	—
		妻壁	—	—	—	—	—	
		-+	底版	—	—	—	—	—
			中床板	19	26.87	1256	3266	0.39
					26.86			
			側壁	—	—	—	—	—
			隔壁	104	26.87	501	1179	0.43
					26.86			
導流壁	—		—	—	—	—		
妻壁	—	—	—	—	—			

注記\*1：評価位置は図 6-28 に示す。

\*2：止水機能が要求される部材の範囲は図 6-41 に示す。

\*3：上段：スクリーンエリアにおける抽出時刻, 下段：循環水エリアにおける抽出時刻

\*4：照査用ひずみ=発生ひずみ×構造解析係数  $\gamma_a$

表 6-29(17) せん断破壊に対する評価結果 (有効応力解析)

解析 ケース	地震動		評価位置*1, 2		時刻*3 (s)	照査用	せん断	照査値 $V_d/V_{y d}$
						せん断力*4 $V_d$ (kN/m)	耐力 $V_{y d}$ (kN/m)	
⑥	S s - N 1	++	底版	—	—	—	—	—
			中床板	19	7.60	1599	3164	0.51
					7.53			
			側壁	—	—	—	—	—
			隔壁	104	7.56	1150	1812	0.64
					7.55			
		導流壁	—	—	—	—	—	
		妻壁	—	—	—	—	—	
		-+	底版	—	—	—	—	—
			中床板	20	7.59	1621	3191	0.51
					7.53			
			側壁	—	—	—	—	—
隔壁	103		7.55	1056	1857	0.57		
			7.55					
導流壁	—	—	—	—	—			
妻壁	—	—	—	—	—			

注記\*1：評価位置は図 6-28 に示す。

\*2：止水機能が要求される部材の範囲は図 6-41 に示す。

\*3：上段：スクリーンエリアにおける抽出時刻, 下段：循環水エリアにおける抽出時刻

\*4：照査用ひずみ=発生ひずみ×構造解析係数  $\gamma_a$



表 6-29(18) せん断破壊に対する評価結果 (有効応力解析)

解析 ケース	地震動		評価位置*1, 2		時刻*3 (s)	照査用	せん断	照査値 $V_d/V_{y d}$
						せん断力*4 $V_d$ (kN/m)	耐力 $V_{y d}$ (kN/m)	
⑦	S s - D 2	++	底版	—	—	—	—	—
			中床板	20	13.47	1615	3119	0.52
					13.45			
			側壁	—	—	—	—	—
			隔壁	103	13.44	1098	1940	0.57
					13.43			
導流壁	—	—	—	—	—			
妻壁	—	—	—	—	—			
⑦	S s - N 1	-+	底版	—	—	—	—	—
			中床板	20	7.59	1619	3205	0.51
					7.53			
			側壁	—	—	—	—	—
			隔壁	103	7.55	1040	1857	0.57
					7.55			
導流壁	—	—	—	—	—			
妻壁	—	—	—	—	—			

注記\*1：評価位置は図 6-28 に示す。

\*2：止水機能が要求される部材の範囲は図 6-41 に示す。

\*3：上段：スクリーンエリアにおける抽出時刻, 下段：循環水エリアにおける抽出時刻

\*4：照査用ひずみ=発生ひずみ×構造解析係数  $\gamma_a$

表 6-29(19) せん断破壊に対する評価結果 (有効応力解析)

解析 ケース	地震動		評価位置*1, 2		時刻*3 (s)	照査用	せん断	照査値 $V_d/V_{y d}$
						せん断力*4 $V_d$ (kN/m)	耐力 $V_{y d}$ (kN/m)	
⑧	S s - D 2	++	底版	—	—	—	—	—
			中床板	20	13.47	1644	3120	0.53
					13.45			
			側壁	—	—	—	—	—
			隔壁	103	13.44	1073	1954	0.55
					13.43			
導流壁	—	—	—	—	—			
妻壁	—	—	—	—	—			
⑧	S s - N 1	-+	底版	—	—	—	—	—
			中床板	20	7.59	1674	3166	0.53
					7.53			
			側壁	—	—	—	—	—
			隔壁	103	7.55	1141	1792	0.64
					7.54			
導流壁	—	—	—	—	—			
妻壁	—	—	—	—	—			

注記\*1：評価位置は図 6-28 に示す。

\*2：止水機能が要求される部材の範囲は図 6-41 に示す。

\*3：上段：スクリーンエリアにおける抽出時刻, 下段：循環水エリアにおける抽出時刻

\*4：照査用ひずみ=発生ひずみ×構造解析係数  $\gamma_a$

表 6-29(20) せん断破壊に対する評価結果 (有効応力解析)

解析 ケース	地震動		評価位置*1, 2		時刻*3 (s)	照査用	せん断	照査値 $V_d/V_{y d}$
						せん断力*4 $V_d$ (kN/m)	耐力 $V_{y d}$ (kN/m)	
⑨	S s - D 2	++	底版	—	—	—	—	—
			中床板	20	13.44	1504	3261	0.47
					13.43			
			側壁	—	—	—	—	—
			隔壁	103	13.44	749	1179	0.64
					13.43			
導流壁	—	—	—	—	—			
妻壁	—	—	—	—	—			
⑨	S s - N 1	-+	底版	—	—	—	—	—
			中床板	20	7.55	1524	3196	0.48
					7.54			
			側壁	—	—	—	—	—
			隔壁	103	7.55	723	1179	0.62
					7.54			
導流壁	—	—	—	—	—			
妻壁	—	—	—	—	—			

注記\*1：評価位置は図 6-28 に示す。

\*2：止水機能が要求される部材の範囲は図 6-41 に示す。

\*3：上段：スクリーンエリアにおける抽出時刻, 下段：循環水エリアにおける抽出時刻

\*4：照査用ひずみ=発生ひずみ×構造解析係数  $\gamma_a$

(3) Sクラスの施設を支持する機能

鉄筋コンクリート部材のせん断破壊に対する各部材での最大照査値について、表 6-30 に解析ケース・地震動ごとに示す。

同表より、全ケースにおいて照査用せん断力が、せん断耐力を下回ることを確認した。

表 6-30(1) せん断破壊に対する評価結果 (全応力解析)

解析 ケース	地震動		評価位置*1, 2		時刻*3 (s)	照査用	せん断	照査値 $V_d/V_{y d}$
						せん断力*4 $V_d$ (kN/m)	耐力 $V_{y d}$ (kN/m)	
①	S s - D 1	++	底版	—	—	—	—	—
			中床板	—	—	—	—	—
			側壁	—	—	—	—	—
			隔壁	103	32.30 32.29	1057	1774	0.60
			導流壁	—	—	—	—	—
			妻壁	—	—	—	—	—
			底版	—	—	—	—	—
		-+	中床板	—	—	—	—	—
			側壁	—	—	—	—	—
			隔壁	104	32.30 32.29	1016	1791	0.57
			導流壁	—	—	—	—	—
			妻壁	—	—	—	—	—
			底版	—	—	—	—	—
			中床板	—	—	—	—	—

注記\*1：評価位置は図 6-28 に示す。

\*2：支持機能が要求される部材の範囲は図 6-42 に示す。

\*3：上段：スクリーンエリアにおける抽出時刻, 下段：循環水エリアにおける抽出時刻

\*4：照査用せん断力=発生せん断力×構造解析係数  $\gamma_a$

表 6-30(2) せん断破壊に対する評価結果 (全応力解析)

解析 ケース	地震動		評価位置*1, 2		時刻 (s) *3	照査用	せん断	照査値 $V_d/V_{y d}$
						せん断力*4 $V_d$ (kN/m)	耐力 $V_{y d}$ (kN/m)	
①	S s-D 2	++	底版	—	—	—	—	—
			中床板	—	—	—	—	—
			側壁	—	—	—	—	—
			隔壁	104	13.56 ----- 13.56	923	1802	0.52
			導流壁	—	—	—	—	—
			妻壁	—	—	—	—	—
			底版	—	—	—	—	—
		-+	中床板	—	—	—	—	—
			側壁	—	—	—	—	—
			隔壁	103	13.56 ----- 13.56	919	1801	0.52
			導流壁	—	—	—	—	—
			妻壁	—	—	—	—	—

注記\*1：評価位置は図 6-28 に示す。

\*2：支持機能が要求される部材の範囲は図 6-42 に示す。

\*3：上段：スクリーンエリアにおける抽出時刻, 下段：循環水エリアにおける抽出時刻

\*4：照査用せん断力=発生せん断力×構造解析係数  $\gamma_a$

表 6-30(3) せん断破壊に対する評価結果 (全応力解析)

解析 ケース	地震動		評価位置*1, 2		時刻*3 (s)	照査用	せん断	照査値 $V_d/V_{y d}$
						せん断力*4 $V_d$ (kN/m)	耐力 $V_{y d}$ (kN/m)	
①	S s - D 3	++	底版	—	—	—	—	—
			中床板	—	—	—	—	—
			側壁	—	—	—	—	—
			隔壁	105	15.63 15.57	800	2079	0.39
			導流壁	—	—	—	—	—
			妻壁	—	—	—	—	—
			底版	—	—	—	—	—
		-+	中床板	—	—	—	—	—
			側壁	—	—	—	—	—
			隔壁	103	29.73 29.71	705	1857	0.38
			導流壁	—	—	—	—	—
			妻壁	—	—	—	—	—
			底版	—	—	—	—	—
			中床板	—	—	—	—	—

注記\*1：評価位置は図 6-28 に示す。

\*2：支持機能が要求される部材の範囲は図 6-42 に示す。

\*3：上段：スクリーンエリアにおける抽出時刻, 下段：循環水エリアにおける抽出時刻

\*4：照査用せん断力=発生せん断力×構造解析係数  $\gamma_a$

表 6-30(4) せん断破壊に対する評価結果 (全応力解析)

解析 ケース	地震動		評価位置*1, 2		時刻 (s) *3	照査用	せん断	照査値 $V_d/V_{y d}$
						せん断力*4 $V_d$ (kN/m)	耐力 $V_{y d}$ (kN/m)	
①	S s - F 1	++	底版	—	—	—	—	—
			中床板	—	—	—	—	—
			側壁	—	—	—	—	—
			隔壁	103	15.96 ----- 15.95	425	1179	0.37
			導流壁	—	—	—	—	—
			妻壁	—	—	—	—	—
			底版	—	—	—	—	—
		-+	中床板	—	—	—	—	—
			側壁	—	—	—	—	—
			隔壁	103	22.70 ----- 22.69	695	1831	0.38
			導流壁	—	—	—	—	—
			妻壁	—	—	—	—	—
			底版	—	—	—	—	—
			中床板	—	—	—	—	—

注記\*1：評価位置は図 6-28 に示す。

\*2：支持機能が要求される部材の範囲は図 6-42 に示す。

\*3：上段：スクリーンエリアにおける抽出時刻, 下段：循環水エリアにおける抽出時刻

\*4：照査用せん断力=発生せん断力×構造解析係数  $\gamma_a$



表 6-30(5) せん断破壊に対する評価結果 (全応力解析)

解析 ケース	地震動		評価位置*1, 2		時刻 (s) *3	照査用	せん断	照査値 $V_d/V_{y d}$
						せん断力*4 $V_d$ (kN/m)	耐力 $V_{y d}$ (kN/m)	
①	S s - F 2	++	底版	—	—	—	—	—
			中床板	—	—	—	—	—
			側壁	—	—	—	—	—
			隔壁	103	28.49 ----- 28.49	876	2018	0.44
			導流壁	—	—	—	—	—
			妻壁	—	—	—	—	—
		-+	底版	—	—	—	—	—
			中床板	—	—	—	—	—
			側壁	—	—	—	—	—
			隔壁	104	28.49 ----- 28.48	957	1959	0.49
			導流壁	—	—	—	—	—
			妻壁	—	—	—	—	—

注記\*1：評価位置は図 6-28 に示す。

\*2：支持機能が要求される部材の範囲は図 6-42 に示す。

\*3：上段：スクリーンエリアにおける抽出時刻, 下段：循環水エリアにおける抽出時刻

\*4：照査用せん断力=発生せん断力×構造解析係数  $\gamma_a$

表 6-30(6) せん断破壊に対する評価結果 (全応力解析)

解析 ケース	地震動		評価位置*1, 2		時刻*3 (s)	照査用	せん断	照査値 $V_d/V_{y d}$
						せん断力*4 $V_d$ (kN/m)	耐力 $V_{y d}$ (kN/m)	
S s - F 3	++	底版	—	—	—	—	—	—
		中床板	—	—	—	—	—	—
		側壁	—	—	—	—	—	—
		隔壁	103	26.84 26.83	782	1904	0.42	
		導流壁	—	—	—	—	—	
		妻壁	—	—	—	—	—	
		底版	—	—	—	—	—	
	-+	中床板	—	—	—	—	—	
		側壁	—	—	—	—	—	
		隔壁	104	26.84 26.83	751	1912	0.40	
		導流壁	—	—	—	—	—	
		妻壁	—	—	—	—	—	
		底版	—	—	—	—	—	
		中床板	—	—	—	—	—	

注記\*1：評価位置は図 6-28 に示す。

\*2：支持機能が要求される部材の範囲は図 6-42 に示す。

\*3：上段：スクリーンエリアにおける抽出時刻, 下段：循環水エリアにおける抽出時刻

\*4：照査用せん断力=発生せん断力×構造解析係数  $\gamma_a$

表 6-30(7) せん断破壊に対する評価結果 (全応力解析)

解析 ケース	地震動		評価位置*1, 2		時刻*3 (s)	照査用	せん断	照査値 $V_d/V_{y d}$
						せん断力*4 $V_d$ (kN/m)	耐力 $V_{y d}$ (kN/m)	
①	S s - N 1	++	底版	—	—	—	—	—
			中床板	—	—	—	—	—
			側壁	—	—	—	—	—
			隔壁	104	7.66 7.65	1275	1967	0.65
			導流壁	—	—	—	—	—
			妻壁	—	—	—	—	—
			底版	—	—	—	—	—
		-+	中床板	—	—	—	—	—
			側壁	—	—	—	—	—
			隔壁	103	7.53 7.53	1154	1784	0.65
			導流壁	—	—	—	—	—
			妻壁	—	—	—	—	—
			底版	—	—	—	—	—
			中床板	—	—	—	—	—

注記\*1：評価位置は図 6-28 に示す。

\*2：支持機能が要求される部材の範囲は図 6-42 に示す。

\*3：上段：スクリーンエリアにおける抽出時刻, 下段：循環水エリアにおける抽出時刻

\*4：照査用せん断力=発生せん断力×構造解析係数  $\gamma_a$

表 6-30 (8) せん断破壊に対する評価結果 (全応力解析)

解析 ケース	地震動		評価位置*1, 2		時刻*3 (s)	照査用	せん断	照査値 $V_d/V_{y d}$
						せん断力*4 $V_d$ (kN/m)	耐力 $V_{y d}$ (kN/m)	
②	S s - N 1	++	底版	—	—	—	—	—
			中床板	—	—	—	—	—
			側壁	—	—	—	—	—
			隔壁	104	7.66 7.65	1300	1958	0.67
			導流壁	—	—	—	—	—
			妻壁	—	—	—	—	—
			底版	—	—	—	—	—
②	S s - N 1	-+	底版	—	—	—	—	—
			中床板	—	—	—	—	—
			側壁	—	—	—	—	—
			隔壁	103	7.53 7.53	1129	1778	0.64
			導流壁	—	—	—	—	—
			妻壁	—	—	—	—	—
			底版	—	—	—	—	—

注記\*1：評価位置は図 6-28 に示す。

\*2：支持機能が要求される部材の範囲は図 6-42 に示す。

\*3：上段：スクリーンエリアにおける抽出時刻, 下段：循環水エリアにおける抽出時刻

\*4：照査用せん断力=発生せん断力×構造解析係数  $\gamma_a$

表 6-30(9) せん断破壊に対する評価結果 (全応力解析)

解析 ケース	地震動		評価位置*1, 2		時刻*3 (s)	照査用	せん断	照査値 $V_d/V_{y d}$
						せん断力*4 $V_d$ (kN/m)	耐力 $V_{y d}$ (kN/m)	
③	S s - N 1	++	底版	—	—	—	—	—
			中床板	—	—	—	—	—
			側壁	—	—	—	—	—
			隔壁	104	7.67 7.65	1229	1941	0.64
			導流壁	—	—	—	—	—
			妻壁	—	—	—	—	—
			—	—	—	—	—	—
③	S s - N 1	-+	底版	—	—	—	—	—
			中床板	—	—	—	—	—
			側壁	—	—	—	—	—
			隔壁	103	7.53 7.53	1145	1785	0.65
			導流壁	—	—	—	—	—
			妻壁	—	—	—	—	—
			—	—	—	—	—	—

注記\*1：評価位置は図 6-28 に示す。

\*2：支持機能が要求される部材の範囲は図 6-42 に示す。

\*3：上段：スクリーンエリアにおける抽出時刻, 下段：循環水エリアにおける抽出時刻

\*4：照査用せん断力=発生せん断力×構造解析係数  $\gamma_a$

表 6-30(10) せん断破壊に対する評価結果 (全応力解析)

解析 ケース	地震動		評価位置*1, 2		時刻*3 (s)	照査用	せん断	照査値 $V_d/V_{y d}$
						せん断力*4 $V_d$ (kN/m)	耐力 $V_{y d}$ (kN/m)	
④	S s - N 1	++	底版	—	—	—	—	—
			中床板	—	—	—	—	—
			側壁	—	—	—	—	—
			隔壁	104	7.65 7.63	775	1179	0.66
			導流壁	—	—	—	—	—
			妻壁	—	—	—	—	—
			底版	—	—	—	—	—
④	S s - N 1	-+	底版	—	—	—	—	—
			中床板	—	—	—	—	—
			側壁	—	—	—	—	—
			隔壁	103	7.64 7.63	708	1179	0.61
			導流壁	—	—	—	—	—
			妻壁	—	—	—	—	—
			底版	—	—	—	—	—

注記\*1：評価位置は図 6-28 に示す。

\*2：支持機能が要求される部材の範囲は図 6-42 に示す。

\*3：上段：スクリーンエリアにおける抽出時刻, 下段：循環水エリアにおける抽出時刻

\*4：照査用せん断力=発生せん断力×構造解析係数  $\gamma_a$

表 6-30(11) せん断破壊に対する評価結果 (有効応力解析)

解析 ケース	地震動		評価位置*1, 2		時刻*3 (s)	照査用	せん断	照査値 $V_d/V_{y d}$
						せん断力*4 $V_d$ (kN/m)	耐力 $V_{y d}$ (kN/m)	
⑥	S s - D 1	++	底版	—	—	—	—	—
			中床板	—	—	—	—	—
			側壁	—	—	—	—	—
			隔壁	103	45.45 45.45	1124	1912	0.59
			導流壁	—	—	—	—	—
			妻壁	—	—	—	—	—
			底版	—	—	—	—	—
		-+	中床板	—	—	—	—	—
			側壁	—	—	—	—	—
			隔壁	104	45.44 45.43	1170	1940	0.61
			導流壁	—	—	—	—	—
			妻壁	—	—	—	—	—
			底版	—	—	—	—	—
			中床板	—	—	—	—	—

注記\*1: 評価位置は図 6-28 に示す。

\*2: 支持機能が要求される部材の範囲は図 6-42 に示す。

\*3: 上段: スクリーンエリアにおける抽出時刻, 下段: 循環水エリアにおける抽出時刻

\*4: 照査用せん断力 = 発生せん断力 × 構造解析係数  $\gamma_a$

表 6-30(12) せん断破壊に対する評価結果 (有効応力解析)

解析 ケース	地震動		評価位置*1, 2		時刻*3 (s)	照査用	せん断	照査値 $V_d/V_{y d}$
						せん断力*4 $V_d$ (kN/m)	耐力 $V_{y d}$ (kN/m)	
⑥	S s - D 2	++	底版	—	—	—	—	—
			中床板	—	—	—	—	—
			側壁	—	—	—	—	—
			隔壁	103	13.44 ----- 13.43	1072	1961	0.55
			導流壁	—	—	—	—	—
			妻壁	—	—	—	—	—
		-+	底版	—	—	—	—	—
			中床板	—	—	—	—	—
			側壁	—	—	—	—	—
			隔壁	104	13.44 ----- 13.43	1140	1818	0.63
			導流壁	—	—	—	—	—
			妻壁	—	—	—	—	—

注記\*1：評価位置は図 6-28 に示す。

\*2：支持機能が要求される部材の範囲は図 6-42 に示す。

\*3：上段：スクリーンエリアにおける抽出時刻, 下段：循環水エリアにおける抽出時刻

\*4：照査用せん断力 = 発生せん断力 × 構造解析係数  $\gamma_a$



表 6-30(13) せん断破壊に対する評価結果 (有効応力解析)

解析 ケース	地震動		評価位置*1, 2		時刻*3 (s)	照査用	せん断	照査値 $V_d/V_{y d}$
						せん断力*4 $V_d$ (kN/m)	耐力 $V_{y d}$ (kN/m)	
⑥	S s - D 3	++	底版	—	—	—	—	—
			中床板	—	—	—	—	—
			側壁	—	—	—	—	—
			隔壁	103	15.63	418	1179	0.36
					15.62			
			導流壁	—	—	—	—	—
		妻壁	—	—	—	—	—	
		-+	底版	—	—	—	—	—
			中床板	—	—	—	—	—
			側壁	—	—	—	—	—
			隔壁	104	15.62	480	1179	0.41
					15.61			
導流壁	—		—	—	—	—		
妻壁	—	—	—	—	—			

注記\*1：評価位置は図 6-28 に示す。

\*2：支持機能が要求される部材の範囲は図 6-42 に示す。

\*3：上段：スクリーンエリアにおける抽出時刻, 下段：循環水エリアにおける抽出時刻

\*4：照査用せん断力 = 発生せん断力 × 構造解析係数  $\gamma_a$

表 6-30(14) せん断破壊に対する評価結果 (有効応力解析)

解析 ケース	地震動		評価位置*1, 2		時刻*3 (s)	照査用	せん断	照査値 $V_d/V_{y d}$
						せん断力*4 $V_d$ (kN/m)	耐力 $V_{y d}$ (kN/m)	
⑥	S s - F 1	++	底版	—	—	—	—	—
			中床板	—	—	—	—	—
			側壁	—	—	—	—	—
			隔壁	103	22.30 ----- 22.30	846	2018	0.42
			導流壁	—	—	—	—	—
			妻壁	—	—	—	—	—
		-+	底版	—	—	—	—	—
			中床板	—	—	—	—	—
			側壁	—	—	—	—	—
			隔壁	103	18.92 ----- 18.92	493	1179	0.42
			導流壁	—	—	—	—	—
			妻壁	—	—	—	—	—

注記\*1：評価位置は図 6-28 に示す。

\*2：支持機能が要求される部材の範囲は図 6-42 に示す。

\*3：上段：スクリーンエリアにおける抽出時刻, 下段：循環水エリアにおける抽出時刻

\*4：照査用せん断力=発生せん断力×構造解析係数  $\gamma_a$

表 6-30(15) せん断破壊に対する評価結果 (有効応力解析)

解析 ケース	地震動		評価位置*1, 2		時刻*3 (s)	照査用	せん断	照査値 $V_d/V_{y,d}$
						せん断力*4 $V_d$ (kN/m)	耐力 $V_{y,d}$ (kN/m)	
⑥	S s - F 2	++	底版	—	—	—	—	—
			中床板	—	—	—	—	—
			側壁	—	—	—	—	—
			隔壁	103	28.47	869	1890	0.46
					28.46			
			導流壁	—	—	—	—	—
		妻壁	—	—	—	—	—	
		-+	底版	—	—	—	—	—
			中床板	—	—	—	—	—
			側壁	—	—	—	—	—
			隔壁	104	28.47	922	1860	0.50
					28.46			
導流壁	—		—	—	—	—		
妻壁	—	—	—	—	—			

注記\*1：評価位置は図 6-28 に示す。

\*2：支持機能が要求される部材の範囲は図 6-42 に示す。

\*3：上段：スクリーンエリアにおける抽出時刻, 下段：循環水エリアにおける抽出時刻

\*4：照査用せん断力 = 発生せん断力 × 構造解析係数  $\gamma_a$

表 6-30(16) せん断破壊に対する評価結果 (有効応力解析)

解析 ケース	地震動		評価位置*1, 2		時刻*3 (s)	照査用	せん断	照査値 $V_d/V_{y d}$
						せん断力*4 $V_d$ (kN/m)	耐力 $V_{y d}$ (kN/m)	
⑥	S s - F 3	++	底版	—	—	—	—	—
			中床板	—	—	—	—	—
			側壁	—	—	—	—	—
			隔壁	103	26.87	490	1179	0.42
					26.86			
			導流壁	—	—	—	—	—
			妻壁	—	—	—	—	—
		-+	底版	—	—	—	—	—
			中床板	—	—	—	—	—
			側壁	—	—	—	—	—
			隔壁	104	26.87	501	1179	0.43
					26.86			
			導流壁	—	—	—	—	—
			妻壁	—	—	—	—	—

注記\*1：評価位置は図 6-28 に示す。

\*2：支持機能が要求される部材の範囲は図 6-42 に示す。

\*3：上段：スクリーンエリアにおける抽出時刻, 下段：循環水エリアにおける抽出時刻

\*4：照査用せん断力 = 発生せん断力 × 構造解析係数  $\gamma_a$

表 6-30(17) せん断破壊に対する評価結果 (有効応力解析)

解析 ケース	地震動		評価位置*1, 2		時刻*3 (s)	照査用	せん断	照査値 $V_d/V_{y d}$
						せん断力*4 $V_d$ (kN/m)	耐力 $V_{y d}$ (kN/m)	
⑥	S s - N 1	++	底版	—	—	—	—	—
			中床板	—	—	—	—	—
			側壁	—	—	—	—	—
			隔壁	104	7.56	1150	1812	0.64
					7.55			
			導流壁	—	—	—	—	—
		妻壁	—	—	—	—	—	
		-+	底版	—	—	—	—	—
			中床板	—	—	—	—	—
			側壁	—	—	—	—	—
			隔壁	103	7.55	1056	1857	0.57
					7.55			
導流壁	—		—	—	—	—		
妻壁	—	—	—	—	—			

注記\*1：評価位置は図 6-28 に示す。

\*2：支持機能が要求される部材の範囲は図 6-42 に示す。

\*3：上段：スクリーンエリアにおける抽出時刻, 下段：循環水エリアにおける抽出時刻

\*4：照査用せん断力 = 発生せん断力 × 構造解析係数  $\gamma_a$

表 6-30(18) せん断破壊に対する評価結果 (有効応力解析)

解析 ケース	地震動		評価位置*1, 2		時刻*3 (s)	照査用	せん断	照査値 $V_d/V_{y d}$
						せん断力*4 $V_d$ (kN/m)	耐力 $V_{y d}$ (kN/m)	
⑦	S s - D 2	++	底版	—	—	—	—	—
			中床板	—	—	—	—	—
			側壁	—	—	—	—	—
			隔壁	103	13.44 13.43	1098	1940	0.57
			導流壁	—	—	—	—	—
			妻壁	—	—	—	—	—
			—	—	—	—	—	—
⑦	S s - N 1	-+	底版	—	—	—	—	—
			中床板	—	—	—	—	—
			側壁	—	—	—	—	—
			隔壁	103	7.55 7.55	1040	1857	0.57
			導流壁	—	—	—	—	—
			妻壁	—	—	—	—	—
			—	—	—	—	—	—

注記\*1: 評価位置は図 6-28 に示す。

\*2: 支持機能が要求される部材の範囲は図 6-42 に示す。

\*3: 上段: スクリーンエリアにおける抽出時刻, 下段: 循環水エリアにおける抽出時刻

\*4: 照査用せん断力 = 発生せん断力 × 構造解析係数  $\gamma_a$

表 6-30(19) せん断破壊に対する評価結果 (有効応力解析)

解析 ケース	地震動		評価位置*1, 2		時刻*3 (s)	照査用	せん断	照査値 $V_d/V_{y d}$
						せん断力*4 $V_d$ (kN/m)	耐力 $V_{y d}$ (kN/m)	
⑧	S s-D 2	++	底版	—	—	—	—	—
			中床板	—	—	—	—	—
			側壁	—	—	—	—	—
			隔壁	103	13.44 13.43	1073	1954	0.55
			導流壁	—	—	—	—	—
			妻壁	—	—	—	—	—
			—	—	—	—	—	—
⑧	S s-N 1	-+	底版	—	—	—	—	—
			中床板	—	—	—	—	—
			側壁	—	—	—	—	—
			隔壁	103	7.55 7.54	1141	1792	0.64
			導流壁	—	—	—	—	—
			妻壁	—	—	—	—	—
			—	—	—	—	—	—

注記\*1：評価位置は図 6-28 に示す。

\*2：支持機能が要求される部材の範囲は図 6-42 に示す。

\*3：上段：スクリーンエリアにおける抽出時刻, 下段：循環水エリアにおける抽出時刻

\*4：照査用せん断力=発生せん断力×構造解析係数  $\gamma_a$

表 6-30(20) せん断破壊に対する評価結果 (有効応力解析)

解析 ケース	地震動		評価位置*1, 2		時刻*3 (s)	照査用	せん断	照査値 $V_d/V_{y d}$
						せん断力*4 $V_d$ (kN/m)	耐力 $V_{y d}$ (kN/m)	
⑨	S s - D 2	++	底版	—	—	—	—	—
			中床板	—	—	—	—	—
			側壁	—	—	—	—	—
			隔壁	103	13.44 13.43	749	1179	0.64
			導流壁	—	—	—	—	—
			妻壁	—	—	—	—	—
			底版	—	—	—	—	—
⑨	S s - N 1	-+	中床板	—	—	—	—	—
			側壁	—	—	—	—	—
			隔壁	103	7.55 7.54	723	1179	0.62
			導流壁	—	—	—	—	—
			妻壁	—	—	—	—	—
			底版	—	—	—	—	—
			中床板	—	—	—	—	—

注記\*1: 評価位置は図 6-28 に示す。

\*2: 支持機能が要求される部材の範囲は図 6-42 に示す。

\*3: 上段: スクリーンエリアにおける抽出時刻, 下段: 循環水エリアにおける抽出時刻

\*4: 照査用せん断力 = 発生せん断力 × 構造解析係数  $\gamma_a$



### 6.3.3 壁部材の面内せん断に対する評価結果

#### (1) 構造強度を有することに対する評価結果

各壁部材の面内せん断（面内せん断ひずみ）に対する最大照査値について、表 6-31 に解析ケース・地震動ごとに示す。

同表より、全ケースにおいて面内せん断ひずみが、構造部材の健全性に対する許容限界（限界せん断ひずみ： $2000\mu$ ）を下回ることを確認した。

また、同表より、全部材において、面内せん断ひずみは  $750\mu$  に至っておらず、CC b 工法の適用範囲内であることを確認した。

表 6-31(1) 壁部材の面内せん断照査結果 (全応力解析)

解析 ケース	地震動		評価位置*1		時刻*2 (s)	照査用	限界	照査値 $\gamma_d / \gamma_R$
						面内ひずみ*3 $\gamma_d$	せん断ひずみ $\gamma_R$	
①	S s - D 1	++	底版	—	—	—	—	—
			中床板	—	—	—	—	—
			側壁	—	—	—	—	—
			隔壁	110	32.30 ----- 32.29	427 $\mu$	2000 $\mu$	0.22
			導流壁	—	—	—	—	—
			妻壁	70	32.30 ----- 32.30	323 $\mu$	2000 $\mu$	0.17
		-+	底版	—	—	—	—	—
			中床板	—	—	—	—	—
			側壁	—	—	—	—	—
			隔壁	110	32.30 ----- 32.29	411 $\mu$	2000 $\mu$	0.21
			導流壁	—	—	—	—	—
			妻壁	70	32.30 ----- 32.29	305 $\mu$	2000 $\mu$	0.16

注記\*1：評価位置は図 6-28 に示す。

\*2：上段：スクリーンエリアにおける抽出時刻, 下段：循環水エリアにおける抽出時刻

\*3：照査用面内せん断ひずみ=発生する面内せん断ひずみ×構造解析係数  $\gamma_a$

表 6-31(2) 壁部材の面内せん断照査結果 (全応力解析)

解析 ケース	地震動		評価位置*1		時刻*2 (s)	照査用	限界	照査値 $\gamma_d / \gamma_R$
						面内ひずみ*3 $\gamma_d$	せん断ひずみ $\gamma_R$	
①	S s - D 2	++	底版	—	—	—	—	—
			中床板	—	—	—	—	—
			側壁	—	—	—	—	—
			隔壁	110	13.56 13.56	381 $\mu$	2000 $\mu$	0.20
			導流壁	—	—	—	—	—
			妻壁	70	13.56 13.56	279 $\mu$	2000 $\mu$	0.14
		-+	底版	—	—	—	—	—
			中床板	—	—	—	—	—
			側壁	—	—	—	—	—
			隔壁	110	13.56 13.56	375 $\mu$	2000 $\mu$	0.19
			導流壁	—	—	—	—	—
			妻壁	70	13.56 13.56	279 $\mu$	2000 $\mu$	0.14

注記\*1：評価位置は図 6-28 に示す。

\*2：上段：スクリーンエリアにおける抽出時刻, 下段：循環水エリアにおける抽出時刻

\*3：照査用面内せん断ひずみ＝発生する面内せん断ひずみ×構造解析係数  $\gamma_a$

表 6-31(3) 壁部材の面内せん断照査結果 (全応力解析)

解析 ケース	地震動		評価位置*1		時刻*2 (s)	照査用	限界	照査値 $\gamma_d / \gamma_R$
						面内ひずみ*3 $\gamma_d$	せん断ひずみ $\gamma_R$	
①	S s - D 3	++	底版	—	—	—	—	—
			中床板	—	—	—	—	—
			側壁	—	—	—	—	—
			隔壁	110	15.59 ----- 15.59	280 $\mu$	2000 $\mu$	0.14
			導流壁	—	—	—	—	—
			妻壁	70	15.59 ----- 15.59	188 $\mu$	2000 $\mu$	0.10
		-+	底版	—	—	—	—	—
			中床板	—	—	—	—	—
			側壁	—	—	—	—	—
			隔壁	110	30.16 ----- 30.15	295 $\mu$	2000 $\mu$	0.15
			導流壁	—	—	—	—	—
			妻壁	70	30.16 ----- 30.15	196 $\mu$	2000 $\mu$	0.10

注記\*1：評価位置は図 6-28 に示す。

\*2：上段：スクリーンエリアにおける抽出時刻, 下段：循環水エリアにおける抽出時刻

\*3：照査用面内せん断ひずみ＝発生する面内せん断ひずみ×構造解析係数  $\gamma_a$

表 6-31(4) 壁部材の面内せん断照査結果 (全応力解析)

解析 ケース	地震動		評価位置*1		時刻*2 (s)	照査用	限界	照査値 $\gamma_d / \gamma_R$
						面内ひずみ*3 $\gamma_d$	せん断ひずみ $\gamma_R$	
①	S s - F 1	++	底版	—	—	—	—	—
			中床板	—	—	—	—	—
			側壁	—	—	—	—	—
			隔壁	110	22.30 22.32	223 $\mu$	2000 $\mu$	0.12
			導流壁	—	—	—	—	—
			妻壁	70	18.91 18.93	144 $\mu$	2000 $\mu$	0.08
		-+	底版	—	—	—	—	—
			中床板	—	—	—	—	—
			側壁	—	—	—	—	—
			隔壁	110	22.70 22.69	260 $\mu$	2000 $\mu$	0.13
			導流壁	—	—	—	—	—
			妻壁	70	22.70 22.69	172 $\mu$	2000 $\mu$	0.09

注記\*1：評価位置は図 6-28 に示す。

\*2：上段：スクリーンエリアにおける抽出時刻, 下段：循環水エリアにおける抽出時刻

\*3：照査用面内せん断ひずみ＝発生する面内せん断ひずみ×構造解析係数  $\gamma_a$

表 6-31(5) 壁部材の面内せん断照査結果 (全応力解析)

解析 ケース	地震動		評価位置*1		時刻*2 (s)	照査用	限界	照査値 $\gamma_d / \gamma_R$
						面内ひずみ*3 $\gamma_d$	せん断ひずみ $\gamma_R$	
①	S s - F 2	++	底版	—	—	—	—	—
			中床板	—	—	—	—	—
			側壁	—	—	—	—	—
			隔壁	110	28.49 ----- 28.48	359 $\mu$	2000 $\mu$	0.18
			導流壁	—	—	—	—	—
			妻壁	70	28.49 ----- 28.48	235 $\mu$	2000 $\mu$	0.12
		-+	底版	—	—	—	—	—
			中床板	—	—	—	—	—
			側壁	—	—	—	—	—
			隔壁	110	28.49 ----- 28.48	365 $\mu$	2000 $\mu$	0.19
			導流壁	—	—	—	—	—
			妻壁	70	28.49 ----- 28.48	235 $\mu$	2000 $\mu$	0.12

注記\*1：評価位置は図 6-28 に示す。

\*2：上段：スクリーンエリアにおける抽出時刻, 下段：循環水エリアにおける抽出時刻

\*3：照査用面内せん断ひずみ＝発生する面内せん断ひずみ×構造解析係数  $\gamma_a$

表 6-31(6) 壁部材の面内せん断照査結果 (全応力解析)

解析 ケース	地震動		評価位置*1		時刻*2 (s)	照査用	限界	照査値 $\gamma_d / \gamma_R$
						面内ひずみ*3 $\gamma_d$	せん断ひずみ $\gamma_R$	
①	S s - F 3	++	底版	—	—	—	—	—
			中床板	—	—	—	—	—
			側壁	—	—	—	—	—
			隔壁	110	26.84 26.83	355 $\mu$	2000 $\mu$	0.18
			導流壁	—	—	—	—	—
			妻壁	70	26.84 26.83	211 $\mu$	2000 $\mu$	0.11
		-+	底版	—	—	—	—	—
			中床板	—	—	—	—	—
			側壁	—	—	—	—	—
			隔壁	110	26.84 26.83	337 $\mu$	2000 $\mu$	0.17
			導流壁	—	—	—	—	—
			妻壁	70	26.84 26.83	193 $\mu$	2000 $\mu$	0.10

注記\*1：評価位置は図 6-28 に示す。

\*2：上段：スクリーンエリアにおける抽出時刻, 下段：循環水エリアにおける抽出時刻

\*3：照査用面内せん断ひずみ＝発生する面内せん断ひずみ×構造解析係数  $\gamma_a$

表 6-31(7) 壁部材の面内せん断照査結果 (全応力解析)

解析 ケース	地震動		評価位置*1		時刻*2 (s)	照査用	限界	照査値 $\gamma_d / \gamma_R$
						面内ひずみ*3 $\gamma_d$	せん断ひずみ $\gamma_R$	
①	S s - N 1	++	底版	—	—	—	—	—
			中床板	—	—	—	—	—
			側壁	—	—	—	—	—
			隔壁	110	7.66 ----- 7.65	502 $\mu$	2000 $\mu$	0.26
			導流壁	—	—	—	—	—
			妻壁	70	7.66 ----- 7.65	369 $\mu$	2000 $\mu$	0.19
		-+	底版	—	—	—	—	—
			中床板	—	—	—	—	—
			側壁	—	—	—	—	—
			隔壁	110	7.53 ----- 7.53	512 $\mu$	2000 $\mu$	0.26
			導流壁	—	—	—	—	—
			妻壁	70	7.65 ----- 7.64	347 $\mu$	2000 $\mu$	0.18

注記\*1：評価位置は図 6-28 に示す。

\*2：上段：スクリーンエリアにおける抽出時刻, 下段：循環水エリアにおける抽出時刻

\*3：照査用面内せん断ひずみ＝発生する面内せん断ひずみ×構造解析係数  $\gamma_a$



表 6-31(8) 壁部材の面内せん断照査結果 (全応力解析)

解析 ケース	地震動		評価位置*1		時刻*2 (s)	照査用	限界	照査値 $\gamma_d / \gamma_R$
						面内ひずみ*3 $\gamma_d$	せん断ひずみ $\gamma_R$	
②	S s - N 1	++	底版	—	—	—	—	—
			中床板	—	—	—	—	—
			側壁	—	—	—	—	—
			隔壁	110	7.66 ----- 7.65	514 $\mu$	2000 $\mu$	0.26
			導流壁	—	—	—	—	—
			妻壁	70	7.66 ----- 7.65	377 $\mu$	2000 $\mu$	0.19
②	S s - N 1	-+	底版	—	—	—	—	—
			中床板	—	—	—	—	—
			側壁	—	—	—	—	—
			隔壁	110	7.53 ----- 7.53	492 $\mu$	2000 $\mu$	0.25
			導流壁	—	—	—	—	—
			妻壁	70	7.65 ----- 7.64	341 $\mu$	2000 $\mu$	0.18

注記\*1：評価位置は図 6-28 に示す。

\*2：上段：スクリーンエリアにおける抽出時刻, 下段：循環水エリアにおける抽出時刻

\*3：照査用面内せん断ひずみ=発生する面内せん断ひずみ×構造解析係数  $\gamma_a$

表 6-31(9) 壁部材の面内せん断照査結果 (全応力解析)

解析 ケース	地震動		評価位置*1		時刻*2 (s)	照査用	限界	照査値 $\gamma_d / \gamma_R$
						面内ひずみ*3 $\gamma_d$	せん断ひずみ $\gamma_R$	
③	S s - N 1	++	底版	—	—	—	—	—
			中床板	—	—	—	—	—
			側壁	—	—	—	—	—
			隔壁	110	7.67 7.65	505 $\mu$	2000 $\mu$	0.26
			導流壁	—	—	—	—	—
			妻壁	70	7.67 7.65	354 $\mu$	2000 $\mu$	0.18
③	S s - N 1	-+	底版	—	—	—	—	—
			中床板	—	—	—	—	—
			側壁	—	—	—	—	—
			隔壁	110	7.53 7.53	498 $\mu$	2000 $\mu$	0.25
			導流壁	—	—	—	—	—
			妻壁	70	7.65 7.64	345 $\mu$	2000 $\mu$	0.18

注記\*1：評価位置は図 6-28 に示す。

\*2：上段：スクリーンエリアにおける抽出時刻, 下段：循環水エリアにおける抽出時刻

\*3：照査用面内せん断ひずみ=発生する面内せん断ひずみ×構造解析係数  $\gamma_a$

表 6-31(10) 壁部材の面内せん断照査結果 (全応力解析)

解析 ケース	地震動		評価位置*1		時刻*2 (s)	照査用	限界	照査値 $\gamma_d / \gamma_R$
						面内ひずみ*3 $\gamma_d$	せん断ひずみ $\gamma_R$	
④	S s - N 1	++	底版	—	—	—	—	—
			中床板	—	—	—	—	—
			側壁	—	—	—	—	—
			隔壁	110	7.65 ----- 7.63	270 $\mu$	2000 $\mu$	0.14
			導流壁	—	—	—	—	—
			妻壁	70	7.65 ----- 7.63	187 $\mu$	2000 $\mu$	0.10
④	S s - N 1	-+	底版	—	—	—	—	—
			中床板	—	—	—	—	—
			側壁	—	—	—	—	—
			隔壁	110	7.64 ----- 7.63	256 $\mu$	2000 $\mu$	0.13
			導流壁	—	—	—	—	—
			妻壁	70	7.64 ----- 7.63	176 $\mu$	2000 $\mu$	0.09

注記\*1：評価位置は図 6-28 に示す。

\*2：上段：スクリーンエリアにおける抽出時刻, 下段：循環水エリアにおける抽出時刻

\*3：照査用面内せん断ひずみ＝発生する面内せん断ひずみ×構造解析係数  $\gamma_a$

表 6-31(11) 壁部材の面内せん断照査結果 (有効応力解析)

解析 ケース	地震動		評価位置*1		時刻*2 (s)	照査用	限界	照査値 $\gamma_d / \gamma_R$
						面内ひずみ*3 $\gamma_d$	せん断ひずみ $\gamma_R$	
⑥	S s - D 1	++	底版	—	—	—	—	—
			中床板	—	—	—	—	—
			側壁	—	—	—	—	—
			隔壁	110	45.44 45.43	440 $\mu$	2000 $\mu$	0.22
			導流壁	—	—	—	—	—
			妻壁	70	45.44 45.43	299 $\mu$	2000 $\mu$	0.15
		-+	底版	—	—	—	—	—
			中床板	—	—	—	—	—
			側壁	—	—	—	—	—
			隔壁	110	45.44 45.43	464 $\mu$	2000 $\mu$	0.24
			導流壁	—	—	—	—	—
			妻壁	70	45.44 45.43	323 $\mu$	2000 $\mu$	0.17

注記\*1：評価位置は図 6-28 に示す。

\*2：上段：スクリーンエリアにおける抽出時刻, 下段：循環水エリアにおける抽出時刻

\*3：照査用面内せん断ひずみ=発生する面内せん断ひずみ×構造解析係数  $\gamma_a$

表 6-31(12) 壁部材の面内せん断照査結果 (有効応力解析)

解析 ケース	地震動		評価位置*1		時刻*2 (s)	照査用	限界	照査値 $\gamma_d / \gamma_R$
						面内ひずみ*3 $\gamma_d$	せん断ひずみ $\gamma_R$	
⑥	S s - D 2	++	底版	—	—	—	—	—
			中床板	—	—	—	—	—
			側壁	—	—	—	—	—
			隔壁	110	13.44 13.43	455 $\mu$	2000 $\mu$	0.23
			導流壁	—	—	—	—	—
			妻壁	70	13.47 13.45	264 $\mu$	2000 $\mu$	0.14
		-+	底版	—	—	—	—	—
			中床板	—	—	—	—	—
			側壁	—	—	—	—	—
			隔壁	110	13.44 13.43	432 $\mu$	2000 $\mu$	0.22
			導流壁	—	—	—	—	—
			妻壁	70	13.46 13.44	270 $\mu$	2000 $\mu$	0.14

注記\*1：評価位置は図 6-28 に示す。

\*2：上段：スクリーンエリアにおける抽出時刻, 下段：循環水エリアにおける抽出時刻

\*3：照査用面内せん断ひずみ=発生する面内せん断ひずみ×構造解析係数  $\gamma_a$

表 6-31(13) 壁部材の面内せん断照査結果 (有効応力解析)

解析 ケース	地震動		評価位置*1		時刻*2 (s)	照査用	限界	照査値 $\gamma_d / \gamma_R$
						面内ひずみ*3 $\gamma_d$	せん断ひずみ $\gamma_R$	
⑥	S s - D 3	++	底版	—	—	—	—	—
			中床板	—	—	—	—	—
			側壁	—	—	—	—	—
			隔壁	110	15.61 ----- 15.61	218 $\mu$	2000 $\mu$	0.11
			導流壁	—	—	—	—	—
			妻壁	70	15.61 ----- 15.61	127 $\mu$	2000 $\mu$	0.07
		-+	底版	—	—	—	—	—
			中床板	—	—	—	—	—
			側壁	—	—	—	—	—
			隔壁	110	15.62 ----- 15.61	287 $\mu$	2000 $\mu$	0.15
			導流壁	—	—	—	—	—
			妻壁	70	15.62 ----- 15.61	173 $\mu$	2000 $\mu$	0.09

注記\*1：評価位置は図 6-28 に示す。

\*2：上段：スクリーンエリアにおける抽出時刻, 下段：循環水エリアにおける抽出時刻

\*3：照査用面内せん断ひずみ=発生する面内せん断ひずみ×構造解析係数  $\gamma_a$

表 6-31(14) 壁部材の面内せん断照査結果 (有効応力解析)

解析 ケース	地震動		評価位置*1		時刻*2 (s)	照査用	限界	照査値 $\gamma_d / \gamma_R$
						面内ひずみ*3 $\gamma_d$	せん断ひずみ $\gamma_R$	
⑥	S s - F 1	++	底版	—	—	—	—	—
			中床板	—	—	—	—	—
			側壁	—	—	—	—	—
			隔壁	110	22.30 22.29	305 $\mu$	2000 $\mu$	0.16
			導流壁	—	—	—	—	—
			妻壁	70	22.30 22.29	196 $\mu$	2000 $\mu$	0.10
		-+	底版	—	—	—	—	—
			中床板	—	—	—	—	—
			側壁	—	—	—	—	—
			隔壁	110	18.92 18.92	308 $\mu$	2000 $\mu$	0.16
			導流壁	—	—	—	—	—
			妻壁	70	26.10 26.09	189 $\mu$	2000 $\mu$	0.10

注記\*1：評価位置は図 6-28 に示す。

\*2：上段：スクリーンエリアにおける抽出時刻, 下段：循環水エリアにおける抽出時刻

\*3：照査用面内せん断ひずみ=発生する面内せん断ひずみ×構造解析係数  $\gamma_a$

表 6-31(15) 壁部材の面内せん断照査結果 (有効応力解析)

解析 ケース	地震動		評価位置*1		時刻*2 (s)	照査用	限界	照査値 $\gamma_d / \gamma_R$
						面内ひずみ*3 $\gamma_d$	せん断ひずみ $\gamma_R$	
⑥	S s - F 2	++	底版	—	—	—	—	—
			中床板	—	—	—	—	—
			側壁	—	—	—	—	—
			隔壁	110	28.47 28.46	328 $\mu$	2000 $\mu$	0.17
			導流壁	—	—	—	—	—
			妻壁	70	28.49 28.49	192 $\mu$	2000 $\mu$	0.10
		-+	底版	—	—	—	—	—
			中床板	—	—	—	—	—
			側壁	—	—	—	—	—
			隔壁	110	28.47 28.46	368 $\mu$	2000 $\mu$	0.19
			導流壁	—	—	—	—	—
			妻壁	70	28.47 28.46	226 $\mu$	2000 $\mu$	0.12

注記\*1：評価位置は図 6-28 に示す。

\*2：上段：スクリーンエリアにおける抽出時刻, 下段：循環水エリアにおける抽出時刻

\*3：照査用面内せん断ひずみ=発生する面内せん断ひずみ×構造解析係数  $\gamma_a$



表 6-31(16) 壁部材の面内せん断照査結果 (有効応力解析)

解析 ケース	地震動		評価位置*1		時刻*2 (s)	照査用	限界	照査値 $\gamma_d / \gamma_R$
						面内ひずみ*3 $\gamma_d$	せん断ひずみ $\gamma_R$	
⑥	S s - F 3	++	底版	—	—	—	—	—
			中床板	—	—	—	—	—
			側壁	—	—	—	—	—
			隔壁	110	26.87 26.86	278 $\mu$	2000 $\mu$	0.14
			導流壁	—	—	—	—	—
			妻壁	70	26.90 26.88	154 $\mu$	2000 $\mu$	0.08
		-+	底版	—	—	—	—	—
			中床板	—	—	—	—	—
			側壁	—	—	—	—	—
			隔壁	110	26.87 26.86	315 $\mu$	2000 $\mu$	0.16
			導流壁	—	—	—	—	—
			妻壁	70	26.87 26.86	182 $\mu$	2000 $\mu$	0.10

注記\*1：評価位置は図 6-28 に示す。

\*2：上段：スクリーンエリアにおける抽出時刻, 下段：循環水エリアにおける抽出時刻

\*3：照査用面内せん断ひずみ=発生する面内せん断ひずみ×構造解析係数  $\gamma_a$

表 6-31(17) 壁部材の面内せん断照査結果 (有効応力解析)

解析 ケース	地震動		評価位置*1		時刻*2 (s)	照査用	限界	照査値 $\gamma_d / \gamma_R$
						面内ひずみ*3 $\gamma_d$	せん断ひずみ $\gamma_R$	
⑥	S s - N 1	++	底版	—	—	—	—	—
			中床板	—	—	—	—	—
			側壁	—	—	—	—	—
			隔壁	110	7.56 ----- 7.55	543 $\mu$	2000 $\mu$	0.28
			導流壁	—	—	—	—	—
			妻壁	70	7.56 ----- 7.55	313 $\mu$	2000 $\mu$	0.16
		-+	底版	—	—	—	—	—
			中床板	—	—	—	—	—
			側壁	—	—	—	—	—
			隔壁	110	7.55 ----- 7.55	505 $\mu$	2000 $\mu$	0.26
			導流壁	—	—	—	—	—
			妻壁	70	7.55 ----- 7.55	285 $\mu$	2000 $\mu$	0.15

注記\*1：評価位置は図 6-28 に示す。

\*2：上段：スクリーンエリアにおける抽出時刻, 下段：循環水エリアにおける抽出時刻

\*3：照査用面内せん断ひずみ=発生する面内せん断ひずみ×構造解析係数  $\gamma_a$

表 6-31(18) 壁部材の面内せん断照査結果 (有効応力解析)

解析 ケース	地震動		評価位置*1		時刻*2 (s)	照査用	限界	照査値 $\gamma_d / \gamma_R$
						面内ひずみ*3 $\gamma_d$	せん断ひずみ $\gamma_R$	
⑦	S s - D 2	++	底版	—	—	—	—	—
			中床板	—	—	—	—	—
			側壁	—	—	—	—	—
			隔壁	110	13.44 ----- 13.43	464 $\mu$	2000 $\mu$	0.24
			導流壁	—	—	—	—	—
			妻壁	70	13.44 ----- 13.43	267 $\mu$	2000 $\mu$	0.14
⑦	S s - N 1	- +	底版	—	—	—	—	—
			中床板	—	—	—	—	—
			側壁	—	—	—	—	—
			隔壁	110	7.55 ----- 7.55	498 $\mu$	2000 $\mu$	0.25
			導流壁	—	—	—	—	—
			妻壁	70	7.55 ----- 7.55	283 $\mu$	2000 $\mu$	0.15

注記\*1：評価位置は図 6-28 に示す。

\*2：上段：スクリーンエリアにおける抽出時刻, 下段：循環水エリアにおける抽出時刻

\*3：照査用面内せん断ひずみ=発生する面内せん断ひずみ×構造解析係数  $\gamma_a$

表 6-31(19) 壁部材の面内せん断照査結果 (有効応力解析)

解析 ケース	地震動		評価位置*1		時刻*2 (s)	照査用	限界	照査値 $\gamma_d / \gamma_R$
						面内ひずみ*3 $\gamma_d$	せん断ひずみ $\gamma_R$	
⑧	S s - D 2	++	底版	—	—	—	—	—
			中床板	—	—	—	—	—
			側壁	—	—	—	—	—
			隔壁	110	13.44 13.43	459 $\mu$	2000 $\mu$	0.23
			導流壁	—	—	—	—	—
			妻壁	70	13.47 13.45	272 $\mu$	2000 $\mu$	0.14
⑧	S s - N 1	-+	底版	—	—	—	—	—
			中床板	—	—	—	—	—
			側壁	—	—	—	—	—
			隔壁	110	7.55 7.54	524 $\mu$	2000 $\mu$	0.27
			導流壁	—	—	—	—	—
			妻壁	70	7.55 7.54	294 $\mu$	2000 $\mu$	0.15

注記\*1：評価位置は図 6-28 に示す。

\*2：上段：スクリーンエリアにおける抽出時刻, 下段：循環水エリアにおける抽出時刻

\*3：照査用面内せん断ひずみ=発生する面内せん断ひずみ×構造解析係数  $\gamma_a$

表 6-31(20) 壁部材の面内せん断照査結果 (有効応力解析)

解析 ケース	地震動		評価位置*1		時刻*2 (s)	照査用	限界	照査値 $\gamma_d / \gamma_R$
						面内ひずみ*3 $\gamma_d$	せん断ひずみ $\gamma_R$	
⑨	S s - D 2	++	底版	—	—	—	—	—
			中床板	—	—	—	—	—
			側壁	—	—	—	—	—
			隔壁	110	13.43 ----- 13.43	236 $\mu$	2000 $\mu$	0.12
			導流壁	—	—	—	—	—
			妻壁	70	13.43 ----- 13.43	140 $\mu$	2000 $\mu$	0.07
⑨	S s - N 1	- +	底版	—	—	—	—	—
			中床板	—	—	—	—	—
			側壁	—	—	—	—	—
			隔壁	110	7.55 ----- 7.54	233 $\mu$	2000 $\mu$	0.12
			導流壁	—	—	—	—	—
			妻壁	70	7.55 ----- 7.54	136 $\mu$	2000 $\mu$	0.07

注記\*1：評価位置は図 6-28 に示す。

\*2：上段：スクリーンエリアにおける抽出時刻, 下段：循環水エリアにおける抽出時刻

\*3：照査用面内せん断ひずみ=発生する面内せん断ひずみ×構造解析係数  $\gamma_a$

(2) 止水機能

各壁部材の面内せん断（面内せん断ひずみ）に対する照査結果は，別途示す。

(3) Sクラスの施設を支持する機能

各壁部材の面内せん断（面内せん断ひずみ）に対する最大照査値について、表 6-32 に解析ケース・地震動ごとに示す。

同表より、全ケースにおいて照査用せん断力が、せん断耐力を下回ることを確認した。

表 6-32(1) 壁部材の面内せん断照査結果 (全応力解析)

解析 ケース	地震動		評価位置*1		時刻*2 (s)	照査用	限界	照査値 $\gamma_d / \gamma_R$
						面内ひずみ*3 $\gamma_d$	せん断ひずみ $\gamma_R$	
①	S <sub>s-D1</sub>	++	底版	—	—	—	—	—
			中床板	—	—	—	—	—
			側壁	—	—	—	—	—
			隔壁	100	32.30 32.29	233 $\mu$	2000 $\mu$	0.12
			導流壁	—	—	—	—	—
			妻壁	—	—	—	—	—
		-+	底版	—	—	—	—	—
			中床板	—	—	—	—	—
			側壁	—	—	—	—	—
			隔壁	100	32.30 32.29	231 $\mu$	2000 $\mu$	0.12
			導流壁	—	—	—	—	—
			妻壁	—	—	—	—	—
	S <sub>s-D2</sub>	++	底版	—	—	—	—	—
			中床板	—	—	—	—	—
			側壁	—	—	—	—	—
			隔壁	100	13.56 13.56	227 $\mu$	2000 $\mu$	0.12
			導流壁	—	—	—	—	—
			妻壁	—	—	—	—	—
		-+	底版	—	—	—	—	—
			中床板	—	—	—	—	—
			側壁	—	—	—	—	—
隔壁			100	13.56 13.56	215 $\mu$	2000 $\mu$	0.11	
導流壁			—	—	—	—	—	
妻壁			—	—	—	—	—	

注記\*1：評価位置は図 6-28 に示す。

\*2：上段：スクリーンエリアにおける抽出時刻, 下段：循環水エリアにおける抽出時刻

\*3：照査用面内せん断ひずみ=発生する面内せん断ひずみ×構造解析係数  $\gamma_a$



表 6-32(2) 壁部材の面内せん断照査結果 (全応力解析)

解析 ケース	地震動		評価位置*1		時刻 (s) *2	照査用	限界	照査値 $\gamma_d / \gamma_R$
						面内ひずみ*3 $\gamma_d$	せん断ひずみ $\gamma_R$	
①	S s - D 3	++	底版	-	-	-	-	-
			中床板	-	-	-	-	-
			側壁	-	-	-	-	-
			隔壁	100	30.17 ----- 30.15	157 $\mu$	2000 $\mu$	0.08
			導流壁	-	-	-	-	-
			妻壁	-	-	-	-	-
		-+	底版	-	-	-	-	-
			中床板	-	-	-	-	-
			側壁	-	-	-	-	-
			隔壁	100	30.16 ----- 30.15	171 $\mu$	2000 $\mu$	0.09
			導流壁	-	-	-	-	-
			妻壁	-	-	-	-	-
	S s - F 1	++	底版	-	-	-	-	-
			中床板	-	-	-	-	-
			側壁	-	-	-	-	-
			隔壁	100	22.30 ----- 22.32	136 $\mu$	2000 $\mu$	0.07
			導流壁	-	-	-	-	-
			妻壁	-	-	-	-	-
-+		底版	-	-	-	-	-	
		中床板	-	-	-	-	-	
		側壁	-	-	-	-	-	
		隔壁	100	22.70 ----- 22.69	139 $\mu$	2000 $\mu$	0.07	
		導流壁	-	-	-	-	-	
		妻壁	-	-	-	-	-	

注記\*1：評価位置は図 6-28 に示す。

\*2：上段：スクリーンエリアにおける抽出時刻, 下段：循環水エリアにおける抽出時刻

\*3：照査用面内せん断ひずみ=発生する面内せん断ひずみ×構造解析係数  $\gamma_a$

表 6-32(3) 壁部材の面内せん断照査結果 (全応力解析)

解析 ケース	地震動		評価位置*1		時刻 (s) *2	照査用	限界	照査値 $\gamma_d / \gamma_R$
						面内ひずみ*3 $\gamma_d$	せん断ひずみ $\gamma_R$	
①	S <sub>s</sub> -F 2	++	底版	—	—	—	—	—
			中床板	—	—	—	—	—
			側壁	—	—	—	—	—
			隔壁	100	28.49 ----- 28.49	203 $\mu$	2000 $\mu$	0.11
			導流壁	—	—	—	—	—
			妻壁	—	—	—	—	—
		-+	底版	—	—	—	—	—
			中床板	—	—	—	—	—
			側壁	—	—	—	—	—
			隔壁	100	28.51 ----- 28.50	202 $\mu$	2000 $\mu$	0.11
			導流壁	—	—	—	—	—
			妻壁	—	—	—	—	—
	S <sub>s</sub> -F 3	++	底版	—	—	—	—	—
			中床板	—	—	—	—	—
			側壁	—	—	—	—	—
			隔壁	100	26.84 ----- 26.83	174 $\mu$	2000 $\mu$	0.09
			導流壁	—	—	—	—	—
			妻壁	—	—	—	—	—
		-+	底版	—	—	—	—	—
			中床板	—	—	—	—	—
			側壁	—	—	—	—	—
-+	-+	底版	—	—	—	—	—	
		中床板	—	—	—	—	—	
		側壁	—	—	—	—	—	
		隔壁	100	26.84 ----- 26.83	152 $\mu$	2000 $\mu$	0.08	
		導流壁	—	—	—	—	—	
		妻壁	—	—	—	—	—	

注記\*1：評価位置は図 6-28 に示す。

\*2：上段：スクリーンエリアにおける抽出時刻, 下段：循環水エリアにおける抽出時刻

\*3：照査用面内せん断ひずみ=発生する面内せん断ひずみ×構造解析係数  $\gamma_a$

表 6-32(4) 壁部材の面内せん断照査結果 (全応力解析)

解析 ケース	地震動		評価位置*1		時刻 (s) *2	照査用	限界	照査値 $\gamma_d / \gamma_R$
						面内ひずみ*3 $\gamma_d$	せん断ひずみ $\gamma_R$	
①	S s - N 1	++	底版	—	—	—	—	—
			中床板	—	—	—	—	—
			側壁	—	—	—	—	—
			隔壁	100	7.66 7.65	312 $\mu$	2000 $\mu$	0.16
			導流壁	—	—	—	—	—
			妻壁	—	—	—	—	—
		-+	底版	—	—	—	—	—
			中床板	—	—	—	—	—
			側壁	—	—	—	—	—
			隔壁	100	7.65 7.64	301 $\mu$	2000 $\mu$	0.16
			導流壁	—	—	—	—	—
			妻壁	—	—	—	—	—

注記\*1：評価位置は図 6-28 に示す。

\*2：上段：スクリーンエリアにおける抽出時刻, 下段：循環水エリアにおける抽出時刻

\*3：照査用面内せん断ひずみ＝発生する面内せん断ひずみ×構造解析係数  $\gamma_a$

表 6-32(5) 壁部材の面内せん断照査結果 (全応力解析)

解析 ケース	地震動		評価位置*1		時刻 (s) *2	照査用	限界	照査値 $\gamma_d / \gamma_R$
						面内ひずみ*3 $\gamma_d$	せん断ひずみ $\gamma_R$	
②	S s - N 1	++	底版	—	—	—	—	—
			中床板	—	—	—	—	—
			側壁	—	—	—	—	—
			隔壁	100	7.66 7.65	315 $\mu$	2000 $\mu$	0.16
			導流壁	—	—	—	—	—
			妻壁	—	—	—	—	—
②	S s - N 1	-+	底版	—	—	—	—	—
			中床板	—	—	—	—	—
			側壁	—	—	—	—	—
			隔壁	100	7.65 7.64	298 $\mu$	2000 $\mu$	0.15
			導流壁	—	—	—	—	—
			妻壁	—	—	—	—	—
③	S s - N 1	++	底版	—	—	—	—	—
			中床板	—	—	—	—	—
			側壁	—	—	—	—	—
			隔壁	100	7.67 7.65	301 $\mu$	2000 $\mu$	0.16
			導流壁	—	—	—	—	—
			妻壁	—	—	—	—	—
③	S s - N 1	-+	底版	—	—	—	—	—
			中床板	—	—	—	—	—
			側壁	—	—	—	—	—
			隔壁	100	7.65 7.64	299 $\mu$	2000 $\mu$	0.15
			導流壁	—	—	—	—	—
			妻壁	—	—	—	—	—

注記\*1：評価位置は図 6-28 に示す。

\*2：上段：スクリーンエリアにおける抽出時刻, 下段：循環水エリアにおける抽出時刻

\*3：照査用面内せん断ひずみ=発生する面内せん断ひずみ×構造解析係数  $\gamma_a$

表 6-32(6) 壁部材の面内せん断照査結果 (全応力解析)

解析 ケース	地震動		評価位置*1		時刻 (s) *2	照査用	限界	照査値 $\gamma_d / \gamma_R$
						面内ひずみ*3 $\gamma_d$	せん断ひずみ $\gamma_R$	
④	S s - N 1	++	底版	—	—	—	—	—
			中床板	—	—	—	—	—
			側壁	—	—	—	—	—
			隔壁	100	7.65 ----- 7.64	170 $\mu$	2000 $\mu$	0.09
			導流壁	—	—	—	—	—
			妻壁	—	—	—	—	—
④	S s - N 1	-+	底版	—	—	—	—	—
			中床板	—	—	—	—	—
			側壁	—	—	—	—	—
			隔壁	100	7.64 ----- 7.63	165 $\mu$	2000 $\mu$	0.09
			導流壁	—	—	—	—	—
			妻壁	—	—	—	—	—

注記\*1：評価位置は図 6-28 に示す。

\*2：上段：スクリーンエリアにおける抽出時刻, 下段：循環水エリアにおける抽出時刻

\*3：照査用面内せん断ひずみ＝発生する面内せん断ひずみ×構造解析係数  $\gamma_a$

表 6-32(7) 壁部材の面内せん断照査結果 (有効応力解析)

解析 ケース	地震動		評価位置*1		時刻*2 (s)	照査用	限界	照査値 $\gamma_d / \gamma_R$
						面内ひずみ*3 $\gamma_d$	せん断ひずみ $\gamma_R$	
⑥	S s - D 1	++	底版	-	-	-	-	-
			中床板	-	-	-	-	-
			側壁	-	-	-	-	-
			隔壁	100	45.45 45.44	226 $\mu$	2000 $\mu$	0.12
			導流壁	-	-	-	-	-
			妻壁	-	-	-	-	-
		-+	底版	-	-	-	-	-
			中床板	-	-	-	-	-
			側壁	-	-	-	-	-
			隔壁	100	45.44 45.43	240 $\mu$	2000 $\mu$	0.12
			導流壁	-	-	-	-	-
			妻壁	-	-	-	-	-
	S s - D 2	++	底版	-	-	-	-	-
			中床板	-	-	-	-	-
			側壁	-	-	-	-	-
			隔壁	100	13.44 13.43	206 $\mu$	2000 $\mu$	0.11
			導流壁	-	-	-	-	-
			妻壁	-	-	-	-	-
		-+	底版	-	-	-	-	-
			中床板	-	-	-	-	-
			側壁	-	-	-	-	-
			隔壁	100	13.44 13.43	193 $\mu$	2000 $\mu$	0.10
			導流壁	-	-	-	-	-
			妻壁	-	-	-	-	-

注記\*1：評価位置は図 6-28 に示す。

\*2：上段：スクリーンエリアにおける抽出時刻, 下段：循環水エリアにおける抽出時刻

\*3：照査用面内せん断ひずみ=発生する面内せん断ひずみ×構造解析係数  $\gamma_a$

表 6-32(8) 壁部材の面内せん断照査結果 (有効応力解析)

解析 ケース	地震動		評価位置*1		時刻 (s) *2	照査用	限界	照査値 $\gamma_d / \gamma_R$
						面内ひずみ*3 $\gamma_d$	せん断ひずみ $\gamma_R$	
⑥	S s - D 3	++	底版	-	-	-	-	-
			中床板	-	-	-	-	-
			側壁	-	-	-	-	-
			隔壁	100	13.26 ----- 13.25	123 $\mu$	2000 $\mu$	0.07
			導流壁	-	-	-	-	-
			妻壁	-	-	-	-	-
		-+	底版	-	-	-	-	-
			中床板	-	-	-	-	-
			側壁	-	-	-	-	-
			隔壁	100	13.25 ----- 13.25	144 $\mu$	2000 $\mu$	0.08
			導流壁	-	-	-	-	-
			妻壁	-	-	-	-	-
	S s - F 1	++	底版	-	-	-	-	-
			中床板	-	-	-	-	-
			側壁	-	-	-	-	-
			隔壁	100	22.30 ----- 22.30	175 $\mu$	2000 $\mu$	0.09
			導流壁	-	-	-	-	-
			妻壁	-	-	-	-	-
		-+	底版	-	-	-	-	-
			中床板	-	-	-	-	-
			側壁	-	-	-	-	-
-+	-+	底版	-	-	-	-	-	
		中床板	-	-	-	-	-	
		側壁	-	-	-	-	-	
		隔壁	100	26.10 ----- 26.09	173 $\mu$	2000 $\mu$	0.09	
		導流壁	-	-	-	-	-	
		妻壁	-	-	-	-	-	

注記\*1：評価位置は図 6-28 に示す。

\*2：上段：スクリーンエリアにおける抽出時刻, 下段：循環水エリアにおける抽出時刻

\*3：照査用面内せん断ひずみ=発生する面内せん断ひずみ×構造解析係数  $\gamma_a$

表 6-32(9) 壁部材の面内せん断照査結果 (有効応力解析)

解析 ケース	地震動		評価位置*1		時刻 (s) *2	照査用	限界	照査値 $\gamma_d / \gamma_R$
						面内ひずみ*3 $\gamma_d$	せん断ひずみ $\gamma_R$	
⑥	S s - F 2	++	底版	-	-	-	-	-
			中床板	-	-	-	-	-
			側壁	-	-	-	-	-
			隔壁	100	28.49 28.49	162 $\mu$	2000 $\mu$	0.09
			導流壁	-	-	-	-	-
			妻壁	-	-	-	-	-
		-+	底版	-	-	-	-	-
			中床板	-	-	-	-	-
			側壁	-	-	-	-	-
			隔壁	100	28.49 28.48	181 $\mu$	2000 $\mu$	0.10
			導流壁	-	-	-	-	-
			妻壁	-	-	-	-	-
	S s - F 3	++	底版	-	-	-	-	-
			中床板	-	-	-	-	-
			側壁	-	-	-	-	-
			隔壁	100	26.90 26.89	144 $\mu$	2000 $\mu$	0.08
			導流壁	-	-	-	-	-
			妻壁	-	-	-	-	-
		-+	底版	-	-	-	-	-
			中床板	-	-	-	-	-
			側壁	-	-	-	-	-
			隔壁	100	26.87 26.85	136 $\mu$	2000 $\mu$	0.07
			導流壁	-	-	-	-	-
			妻壁	-	-	-	-	-

注記\*1：評価位置は図 6-28 に示す。

\*2：上段：スクリーンエリアにおける抽出時刻, 下段：循環水エリアにおける抽出時刻

\*3：照査用面内せん断ひずみ=発生する面内せん断ひずみ×構造解析係数  $\gamma_a$



表 6-32(10) 壁部材の面内せん断照査結果 (有効応力解析)

解析 ケース	地震動		評価位置*1		時刻 (s) *2	照査用	限界	照査値 $\gamma_d / \gamma_R$
						面内ひずみ*3 $\gamma_d$	せん断ひずみ $\gamma_R$	
⑥	S s - N 1	++	底版	—	—	—	—	—
			中床板	—	—	—	—	—
			側壁	—	—	—	—	—
			隔壁	100	7.56 ----- 7.55	194 $\mu$	2000 $\mu$	0.10
			導流壁	—	—	—	—	—
			妻壁	—	—	—	—	—
			底版	—	—	—	—	—
		-+	中床板	—	—	—	—	—
			側壁	—	—	—	—	—
			隔壁	100	7.55 ----- 7.55	174 $\mu$	2000 $\mu$	0.09
			導流壁	—	—	—	—	—
			妻壁	—	—	—	—	—
			底版	—	—	—	—	—
			中床板	—	—	—	—	—

注記\*1：評価位置は図 6-28 に示す。

\*2：上段：スクリーンエリアにおける抽出時刻, 下段：循環水エリアにおける抽出時刻

\*3：照査用面内せん断ひずみ=発生する面内せん断ひずみ×構造解析係数  $\gamma_a$

表 6-32(11) 壁部材の面内せん断照査結果 (有効応力解析)

解析 ケース	地震動		評価位置*1		時刻 (s) *2	照査用	限界	照査値 $\gamma_d / \gamma_R$
						面内ひずみ*3 $\gamma_d$	せん断ひずみ $\gamma_R$	
⑦	S s - D 2	++	底版	-	-	-	-	-
			中床板	-	-	-	-	-
			側壁	-	-	-	-	-
			隔壁	100	13.45 ----- 13.44	216 $\mu$	2000 $\mu$	0.11
			導流壁	-	-	-	-	-
			妻壁	-	-	-	-	-
⑦	S s - N 1	-+	底版	-	-	-	-	-
			中床板	-	-	-	-	-
			側壁	-	-	-	-	-
			隔壁	100	7.55 ----- 7.55	173 $\mu$	2000 $\mu$	0.09
			導流壁	-	-	-	-	-
			妻壁	-	-	-	-	-
⑧	S s - D 2	++	底版	-	-	-	-	-
			中床板	-	-	-	-	-
			側壁	-	-	-	-	-
			隔壁	100	13.44 ----- 13.43	204 $\mu$	2000 $\mu$	0.11
			導流壁	-	-	-	-	-
			妻壁	-	-	-	-	-
⑧	S s - N 1	-+	底版	-	-	-	-	-
			中床板	-	-	-	-	-
			側壁	-	-	-	-	-
			隔壁	100	7.55 ----- 7.54	195 $\mu$	2000 $\mu$	0.10
			導流壁	-	-	-	-	-
			妻壁	-	-	-	-	-

注記\*1：評価位置は図 6-28 に示す。

\*2：上段：スクリーンエリアにおける抽出時刻, 下段：循環水エリアにおける抽出時刻

\*3：照査用面内せん断ひずみ=発生する面内せん断ひずみ×構造解析係数  $\gamma_a$

表 6-32(12) 壁部材の面内せん断照査結果 (有効応力解析)

解析 ケース	地震動		評価位置*1		時刻 (s) *2	照査用	限界	照査値 $\gamma_d / \gamma_R$
						面内ひずみ*3 $\gamma_d$	せん断ひずみ $\gamma_R$	
⑨	S s - D 2	++	底版	-	-	-	-	-
			中床板	-	-	-	-	-
			側壁	-	-	-	-	-
			隔壁	100	13.43 ----- 13.43	131 $\mu$	2000 $\mu$	0.07
			導流壁	-	-	-	-	-
			妻壁	-	-	-	-	-
			導流壁	-	-	-	-	-
⑨	S s - N 1	-+	底版	-	-	-	-	-
			中床板	-	-	-	-	-
			側壁	-	-	-	-	-
			隔壁	100	7.55 ----- 7.54	105 $\mu$	2000 $\mu$	0.06
			導流壁	-	-	-	-	-
			妻壁	-	-	-	-	-
			導流壁	-	-	-	-	-

注記\*1：評価位置は図 6-28 に示す。

\*2：上段：スクリーンエリアにおける抽出時刻, 下段：循環水エリアにおける抽出時刻

\*3：照査用面内せん断ひずみ=発生する面内せん断ひずみ×構造解析係数  $\gamma_a$

#### 6.3.4 水平2方向載荷による評価結果

水平2方向載荷による評価は、すべての基準地震動 $S_s$ に対して実施する解析ケース①及び解析ケース②～④または解析ケース⑥及び解析ケース⑦～⑧の照査値の中で最大となる地震動に対し実施する。水平2方向載荷の評価において組合せる荷重は、主方向荷重を水平方向及び鉛直方向荷重、従方向荷重を水平方向荷重とし、従方向荷重は主方向荷重での地震時荷重算定時刻と同時刻の荷重を、位相を変えた地震動にて算出した荷重とする。

なお、水平2方向載荷に対する評価結果は、別途示す。

#### 6.4 基礎地盤の支持性能に対する評価結果

##### 6.4.1 基礎地盤（牧の浜部層）

基礎地盤の支持性能に対する評価結果を表 6-33 及び表 6-34 に示す。また、最大接地圧分布図を図 6-43 及び図 6-44 に示す。

同表より、基礎地盤（牧の浜部層）に発生する接地圧が極限支持力を下回ることを確認した。

表 6-33(1) 基礎地盤（牧の浜部層）の支持性能評価結果（スクリーンエリア）（全応力解析）

解析 ケース	地震動		接地圧 $R_a$ (N/mm <sup>2</sup> )	極限支持力 $R_u$ (N/mm <sup>2</sup> )	照査値 $R_a / R_u$
①	S s - D 1	++	5.2	11.4	0.46
		-+	5.0		0.44
	S s - D 2	++	4.7		0.42
		-+	5.0		0.44
	S s - D 3	++	4.4		0.39
		-+	4.4		0.39
	S s - F 1	++	3.7		0.33
		-+	4.5		0.40
	S s - F 2	++	4.5		0.40
		-+	4.8		0.43
	S s - F 3	++	3.6		0.32
		-+	4.2		0.37
	S s - N 1	++	6.1		0.54
		-+	5.5		0.49
②	S s - N 1	++	5.9	0.52	
		-+	5.3	0.47	
③	S s - N 1	++	6.1	0.54	
		-+	5.4	0.48	
④	S s - N 1	++	6.4	0.57	
		-+	6.0	0.53	

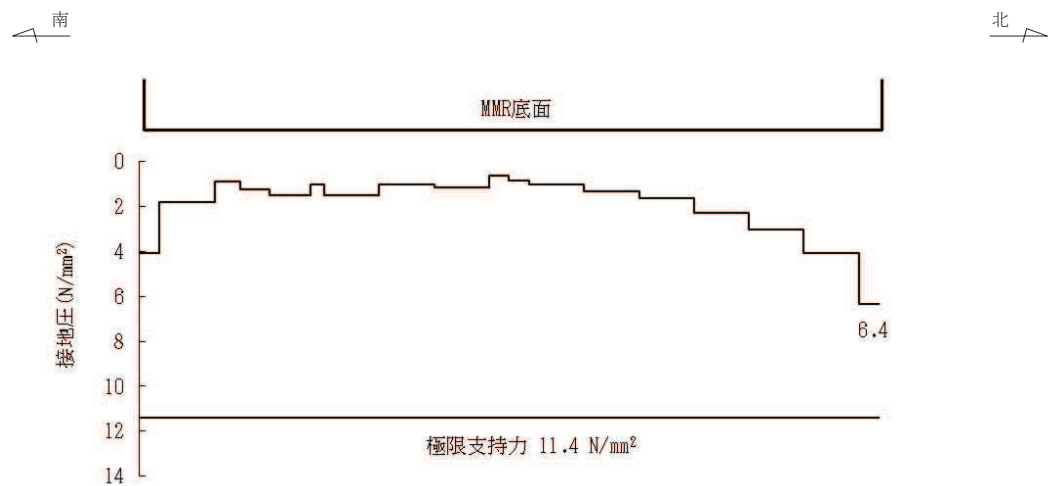


図 6-43(1) 基礎地盤の最大接地圧分布図  
 (解析ケース④, S s - N 1 (++) , スクリーンエリア) (全応力解析)

表 6-33(2) 基礎地盤（牧の浜部層）の支持性能評価結果（スクリーンエリア）（有効応力解析）

解析 ケース	地震動		接地圧 $R_a$ (N/mm <sup>2</sup> )	極限支持力 $R_u$ (N/mm <sup>2</sup> )	照査値 $R_a / R_u$
⑥	S s - D 1	++	5.5	11.4	0.49
		-+	4.6	11.4	0.41
	S s - D 2	++	4.9	11.4	0.43
		-+	4.2	11.4	0.37
	S s - D 3	++	3.8	11.4	0.34
		-+	3.4	11.4	0.30
	S s - F 1	++	4.0	11.4	0.36
		-+	4.6	11.4	0.41
	S s - F 2	++	5.0	11.4	0.44
		-+	4.7	11.4	0.42
	S s - F 3	++	3.8	11.4	0.34
		-+	3.4	11.4	0.30
	S s - N 1	++	5.1	11.4	0.45
		-+	5.8	11.4	0.51
⑦	S s - D 2	++	4.8	11.4	0.43
	S s - N 1	-+	5.8	11.4	0.51
⑧	S s - D 2	++	4.8	11.4	0.43
	S s - N 1	-+	5.9	11.4	0.52
⑨	S s - D 2	++	4.9	11.4	0.43
	S s - N 1	-+	5.7	11.4	0.50

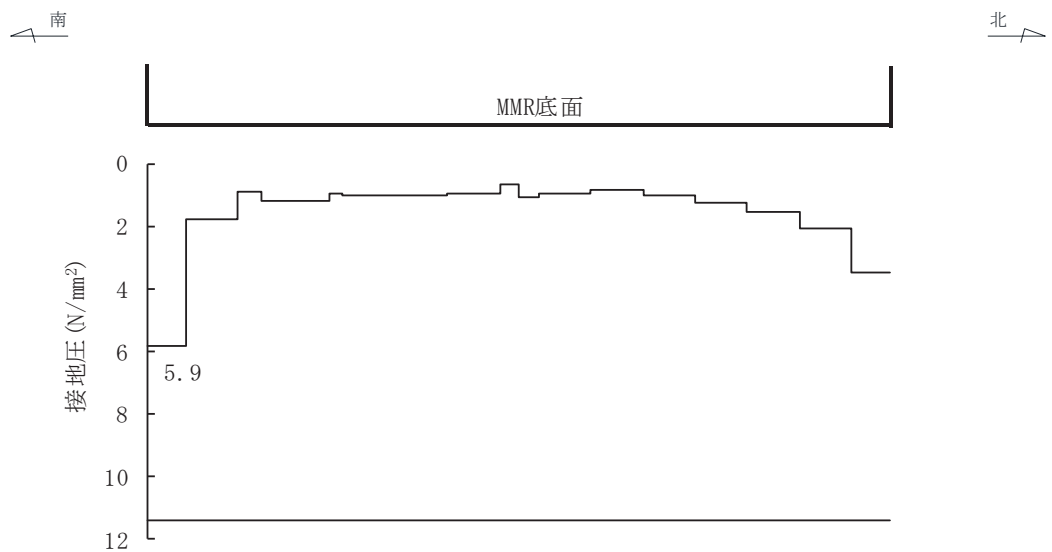


図 6-43(2) 基礎地盤の最大接地圧分布図

(解析ケース⑧, S s - N 1 (-+), スクリーンエリア) (有効応力解析)

表 6-34(1) 基礎地盤（牧の浜部層）の支持性能評価結果（循環水ポンプエリア）（全応力解析）

解析 ケース	地震動		接地圧	極限支持力	照査値	
			$R_a$ (N/mm <sup>2</sup> )	$R_u$ (N/mm <sup>2</sup> )	$R_a / R_u$	
①	S <sub>s</sub> -D 1	++	4.7	11.4	0.42	
		-+	5.0	11.4	0.44	
	S <sub>s</sub> -D 2	++	5.2	11.4	0.46	
		-+	5.3	11.4	0.47	
	S <sub>s</sub> -D 3	++	4.7	11.4	0.42	
		-+	4.1	11.4	0.36	
	S <sub>s</sub> -F 1	++	3.8	11.4	0.34	
		-+	5.0	11.4	0.44	
	S <sub>s</sub> -F 2	++	5.3	11.4	0.47	
		-+	4.9	11.4	0.43	
	S <sub>s</sub> -F 3	++	3.7	11.4	0.33	
		-+	3.9	11.4	0.35	
	S <sub>s</sub> -N 1	++	6.6	11.4	0.58	
		-+	5.5	11.4	0.49	
	②	S <sub>s</sub> -N 1	++	6.4	11.4	0.57
			-+	5.4	11.4	0.48
③	S <sub>s</sub> -N 1	++	6.6	11.4	0.58	
		-+	5.5	11.4	0.49	
④	S <sub>s</sub> -N 1	++	6.8	11.4	0.60	
		-+	5.5	11.4	0.49	

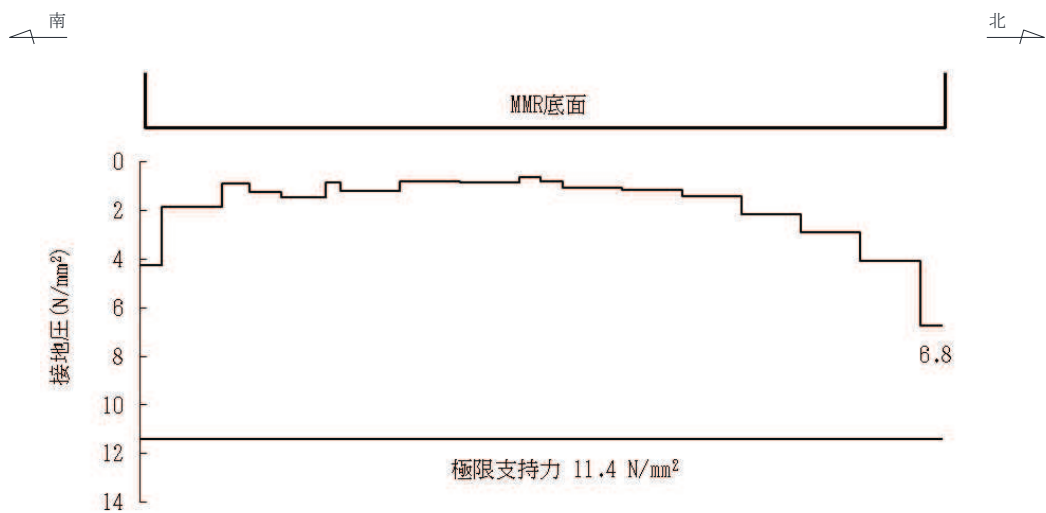


図 6-44(1) 基礎地盤の最大接地圧分布図  
 (解析ケース④, S<sub>s</sub>-N 1 (++) , 循環水ポンプエリア) (全応力解析)



表 6-34(2) 基礎地盤（牧の浜部層）の支持性能評価結果（循環水ポンプエリア）

（有効応力解析）

解析 ケース	地震動		接地圧 $R_a$ (N/mm <sup>2</sup> )	極限支持力 $R_u$ (N/mm <sup>2</sup> )	照査値 $R_a/R_u$
⑥	S s - D 1	++	5.8	11.4	0.51
		-+	4.8	11.4	0.43
	S s - D 2	++	5.2	11.4	0.46
		-+	4.5	11.4	0.40
	S s - D 3	++	4.0	11.4	0.36
		-+	3.6	11.4	0.32
	S s - F 1	++	4.1	11.4	0.36
		-+	5.0	11.4	0.44
	S s - F 2	++	5.2	11.4	0.46
		-+	4.7	11.4	0.42
	S s - F 3	++	3.9	11.4	0.35
		-+	3.3	11.4	0.29
	S s - N 1	++	5.0	11.4	0.44
		-+	6.0	11.4	0.53
⑦	S s - D 2	++	5.4	11.4	0.48
	S s - N 1	-+	6.1	11.4	0.54
⑧	S s - D 2	++	5.1	11.4	0.45
	S s - N 1	-+	6.1	11.4	0.54
⑨	S s - D 2	++	5.2	11.4	0.46
	S s - N 1	-+	5.8	11.4	0.51

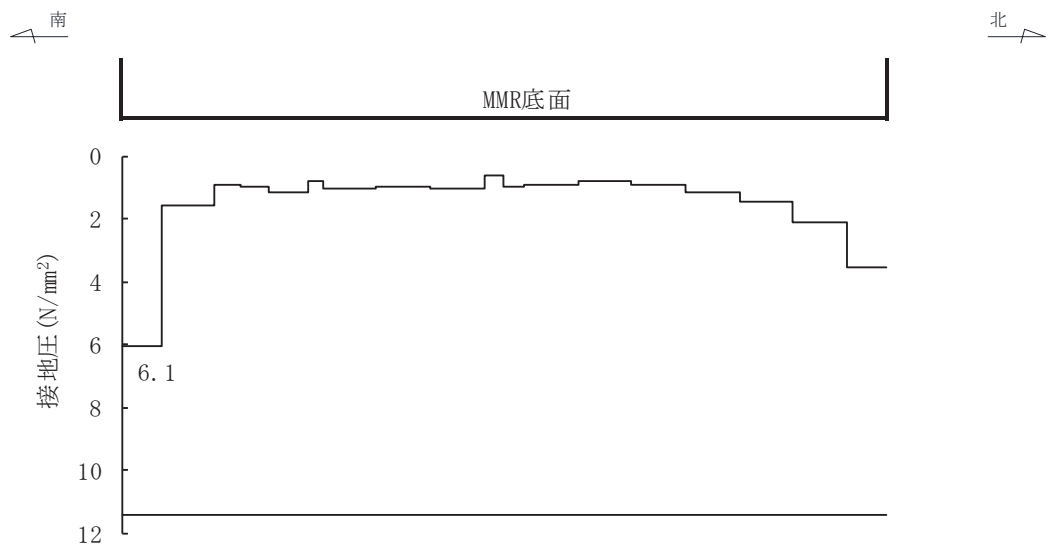


図 6-44(2) 基礎地盤の最大接地圧分布図

（解析ケース⑧，S s - N 1（-+），循環水ポンプエリア）（有効応力解析）

#### 6.4.2 MMR（既設）

##### (1) 接地圧に対する評価

MMR（既設）の支持性能に対する評価結果を表 6-35 及び表 6-36 に示す。また、最大接地圧分布図を図 6-45 及び図 6-46 に示す。

同表より、第 3 号機海水ポンプ室の MMR（既設）に発生する接地圧が支圧強度を下回ることを確認した。

表 6-35(1) MMR (既設) の支持性能評価結果 (スクリーンエリア) (全応力解析)

解析 ケース	地震動		接地圧 $R_a$ (N/mm <sup>2</sup> )	支圧強度 $f'_a$ (N/mm <sup>2</sup> )	照査値 $R_a / f'_a$
①	S s - D 1	++	4.3	15.6	0.28
		-+	4.3	15.6	0.28
	S s - D 2	++	4.4	15.6	0.29
		-+	4.0	15.6	0.26
	S s - D 3	++	3.5	15.6	0.23
		-+	3.4	15.6	0.22
	S s - F 1	++	3.3	15.6	0.22
		-+	3.4	15.6	0.22
	S s - F 2	++	3.3	15.6	0.22
		-+	3.9	15.6	0.25
	S s - F 3	++	3.6	15.6	0.24
		-+	3.8	15.6	0.25
	S s - N 1	++	4.9	15.6	0.32
		-+	4.9	15.6	0.32
②	S s - N 1	++	4.9	15.6	0.32
		-+	4.8	15.6	0.31
③	S s - N 1	++	4.9	15.6	0.32
		-+	4.9	15.6	0.32
④	S s - N 1	++	4.6	15.6	0.30
		-+	4.9	15.6	0.32

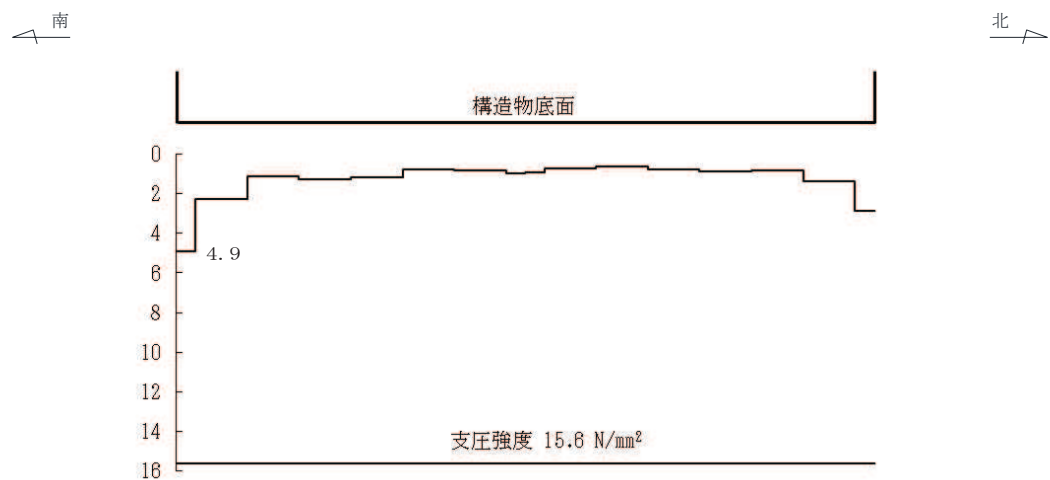


図 6-45(1) MMR (既設) の最大接地圧分布図  
(解析ケース①, S s - N 1 (-+), スクリーンエリア) (全応力解析)

表 6-35(2) MMR (既設) の支持性能評価結果 (スクリーンエリア) (有効応力解析)

解析 ケース	地震動		接地圧 $R_a$ (N/mm <sup>2</sup> )	支圧強度 $f'_a$ (N/mm <sup>2</sup> )	照査値 $R_a / f'_a$
⑥	S s - D 1	++	4.3	15.6	0.28
		-+	4.3	15.6	0.28
	S s - D 2	++	3.9	15.6	0.25
		-+	4.0	15.6	0.26
	S s - D 3	++	3.3	15.6	0.22
		-+	3.5	15.6	0.23
	S s - F 1	++	3.6	15.6	0.24
		-+	3.5	15.6	0.23
	S s - F 2	++	4.2	15.6	0.27
		-+	4.4	15.6	0.29
	S s - F 3	++	3.7	15.6	0.24
		-+	3.7	15.6	0.24
	S s - N 1	++	4.7	15.6	0.31
		-+	4.6	15.6	0.30
⑦	S s - D 2	++	3.9	15.6	0.25
	S s - N 1	-+	4.6	15.6	0.30
⑧	S s - D 2	++	4.0	15.6	0.26
	S s - N 1	-+	4.6	15.6	0.30
⑨	S s - D 2	++	3.7	15.6	0.24
	S s - N 1	-+	4.3	15.6	0.28

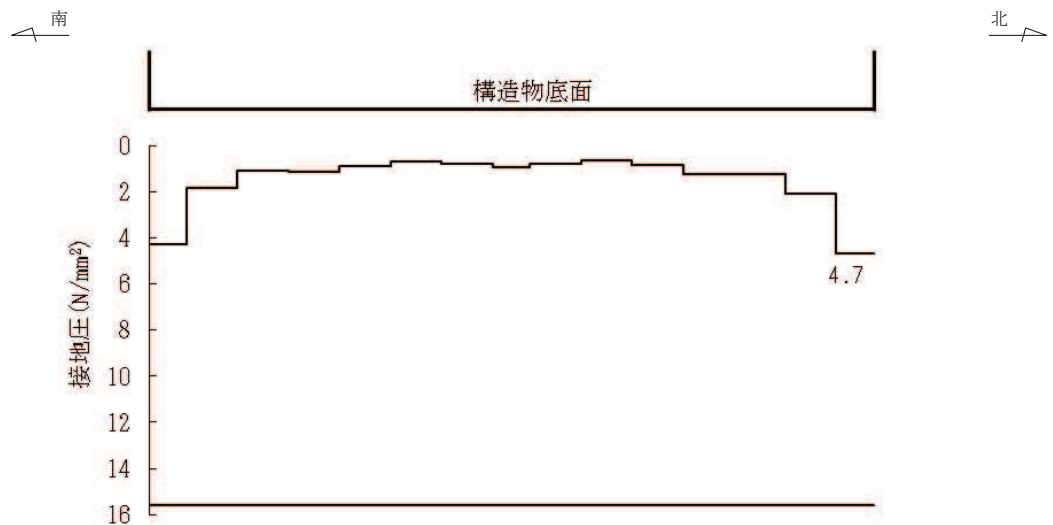


図 6-45(2) MMR (既設) の最大接地圧分布図

(解析ケース⑥, S s - N 1 (++) , スクリーンエリア) (有効応力解析)

表 6-36(1) MMR (既設) の支持性能照査結果 (循環水ポンプエリア) (全応力解析)

解析 ケース	地震動		接地圧 $R_a$ (N/mm <sup>2</sup> )	支圧強度 $f'_a$ (N/mm <sup>2</sup> )	照査値 $R_a / f'_a$
①	S s - D 1	++	4.3	15.6	0.28
		-+	4.5	15.6	0.29
	S s - D 2	++	5.0	15.6	0.33
		-+	4.2	15.6	0.27
	S s - D 3	++	4.0	15.6	0.26
		-+	4.0	15.6	0.26
	S s - F 1	++	3.6	15.6	0.24
		-+	3.8	15.6	0.25
	S s - F 2	++	3.9	15.6	0.25
		-+	4.4	15.6	0.29
	S s - F 3	++	3.7	15.6	0.24
		-+	4.0	15.6	0.26
	S s - N 1	++	5.5	15.6	0.36
		-+	4.7	15.6	0.31
②	S s - N 1	++	5.5	15.6	0.36
		-+	5.0	15.6	0.33
③	S s - N 1	++	5.5	15.6	0.36
		-+	4.7	15.6	0.31
④	S s - N 1	++	5.1	15.6	0.33
		-+	5.0	15.6	0.33

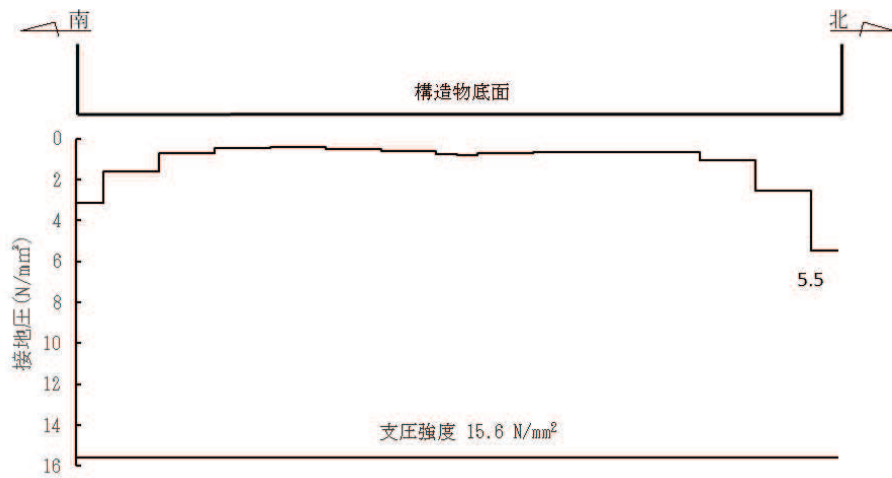


図 6-46(1) MMR (既設) の最大接地圧分布図 (全応力解析)  
(解析ケース③, S s - N 1 (++) , 循環水ポンプエリア)

表 6-36(2) MMR (既設) の支持性能照査結果 (循環水ポンプエリア) (有効応力解析)

解析 ケース	地震動		接地圧 $R_a$ (N/mm <sup>2</sup> )	支圧強度 $f'_a$ (N/mm <sup>2</sup> )	照査値 $R_a / f'_a$
⑥	S s - D 1	++	4.8	15.6	0.31
		-+	4.8	15.6	0.31
	S s - D 2	++	4.1	15.6	0.27
		-+	4.5	15.6	0.29
	S s - D 3	++	3.6	15.6	0.24
		-+	3.9	15.6	0.25
	S s - F 1	++	3.8	15.6	0.25
		-+	3.8	15.6	0.25
	S s - F 2	++	4.5	15.6	0.29
		-+	4.8	15.6	0.31
	S s - F 3	++	3.9	15.6	0.25
		-+	3.9	15.6	0.25
	S s - N 1	++	5.1	15.6	0.33
		-+	4.8	15.6	0.31
⑦	S s - D 2	++	4.2	15.6	0.27
	S s - N 1	-+	4.8	15.6	0.31
⑧	S s - D 2	++	4.1	15.6	0.27
	S s - N 1	-+	4.8	15.6	0.31
⑨	S s - D 2	++	3.9	15.6	0.25
	S s - N 1	-+	4.8	15.6	0.31

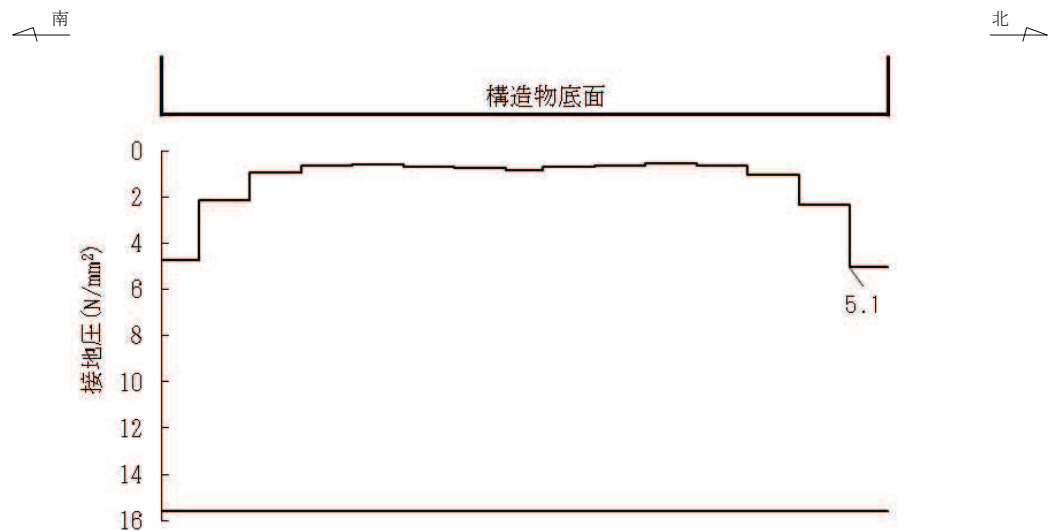


図 6-46(2) MMR (既設) の最大接地圧分布図 (有効応力解析)  
(解析ケース⑥, S s - N 1 (++) , 循環水ポンプエリア)

(2) 健全性評価

MMR（既設）のせん断破壊に対する局所安全係数を表 6-37 及び表 6-38 に、引張破壊に対する局所安全係数を表 6-39 及び 6-40 に示す。

また、せん断破壊及び引張破壊に対する局所安全係数が 1.0 を下回るケースについて、最大せん断応力発生時刻及び最大引張応力発生時刻の局所安全係数分布を図 6-47～図 6-138 に示す。

なお、せん断破壊又は引張破壊に対する局所安全係数が 1.0 を下回る要素が最も多いケースにおける主応力図を図 6-140 に、変形図を図 6-139 に示す。

$$f_s = R / S$$

ここに、 $f_s$ ：局所安全係数

R：せん断強度または引張強度

S：発生せん断応力または発生引張応力

図 6-114 に示すように、局所的に引張破壊とせん断破壊している要素が分布しているが、図 6-139 に示す変形図のとおり、当該時刻は循環水ポンプエリア全体が左向きに変形しており、局所的な引張破壊とせん断破壊はその影響によるものである。また、図 6-140 に示す主応力図より、ひび割れ面は鉛直下向きになるため、支持性能を損なうすべり線は想定されないことから、MMR（既設）の安定性に影響を及ぼすことはない。なお、第 3 号機海水ポンプ室と MMR（既設）間のジョイント要素においてすべりは発生していないことから、滑動に対しても安全である。

以上から、MMR（既設）の健全性を確認した。

表 6-37(1) MMR (既設) のせん断破壊に対する局所安全係数  
(スクリーンエリア) (全応力解析)

解析 ケース	地震動		せん断応力 S (N/mm <sup>2</sup> )	せん断強度 R (N/mm <sup>2</sup> )	照査値* R/S
①	S <sub>s</sub> -D 1	++	2.28	3.12	1.36
		-+	2.42	3.12	1.28
	S <sub>s</sub> -D 2	++	2.36	3.12	1.32
		-+	2.10	3.12	1.48
	S <sub>s</sub> -D 3	++	1.74	3.12	1.79
		-+	1.72	3.12	1.81
	S <sub>s</sub> -F 1	++	1.69	3.12	1.84
		-+	2.01	3.12	1.55
	S <sub>s</sub> -F 2	++	1.78	3.12	1.75
		-+	1.97	3.12	1.58
	S <sub>s</sub> -F 3	++	1.84	3.12	1.69
		-+	2.05	3.12	1.52
	S <sub>s</sub> -N 1	++	2.65	3.12	1.17
		-+	4.16	3.12	0.75
②	S <sub>s</sub> -N 1	++	2.66	3.12	1.17
		-+	4.29	3.12	0.72
③	S <sub>s</sub> -N 1	++	2.64	3.12	1.18
		-+	4.37	3.12	0.71
④	S <sub>s</sub> -N 1	++	2.87	3.12	1.08
		-+	3.99	3.12	0.78

注記\* : 最小安全率として最小値となる数値を記載。照査値R/S > 1.0であることを確認する。



表 6-37(2) MMR (既設) のせん断破壊に対する局所安全係数  
(スクリーンエリア) (有効応力解析)

解析 ケース	地震動		せん断応力 S (N/mm <sup>2</sup> )	せん断強度 R (N/mm <sup>2</sup> )	照査値* R/S
⑥	S <sub>s</sub> -D 1	++	2.09	3.12	1.49
		-+	2.24	3.12	1.39
	S <sub>s</sub> -D 2	++	1.90	3.12	1.64
		-+	2.13	3.12	1.46
	S <sub>s</sub> -D 3	++	1.56	3.12	2.00
		-+	1.78	3.12	1.75
	S <sub>s</sub> -F 1	++	1.83	3.12	1.70
		-+	1.85	3.12	1.68
	S <sub>s</sub> -F 2	++	2.15	3.12	1.45
		-+	2.51	3.12	1.24
	S <sub>s</sub> -F 3	++	1.66	3.12	1.87
		-+	1.76	3.12	1.77
	S <sub>s</sub> -N 1	++	2.66	3.12	1.17
		-+	2.37	3.12	1.31
⑦	S <sub>s</sub> -D 2	++	1.90	3.12	1.64
	S <sub>s</sub> -N 1	-+	2.37	3.12	1.31
⑧	S <sub>s</sub> -D 2	++	1.91	3.12	1.63
	S <sub>s</sub> -N 1	-+	2.40	3.12	1.30
⑨	S <sub>s</sub> -D 2	++	1.81	3.12	1.72
	S <sub>s</sub> -N 1	-+	2.16	3.12	1.44

注記\* : 最小安全率として最小値となる数値を記載。照査値R/S > 1.0であることを確認する。

表 6-38(1) MMR (既設) のせん断破壊に対する局所安全係数  
(循環水ポンプエリア) (全応力解析)

解析 ケース	地震動		せん断応力 S (N/mm <sup>2</sup> )	せん断強度 R (N/mm <sup>2</sup> )	照査値* R/S	
①	S <sub>s</sub> -D 1	++	2.36	3.12	1.32	
		-+	2.41	3.12	1.29	
	S <sub>s</sub> -D 2	++	2.70	3.12	1.15	
		-+	2.19	3.12	1.42	
	S <sub>s</sub> -D 3	++	2.02	3.12	1.54	
		-+	2.08	3.12	1.50	
	S <sub>s</sub> -F 1	++	1.92	3.12	1.62	
		-+	1.99	3.12	1.56	
	S <sub>s</sub> -F 2	++	2.08	3.12	1.50	
		-+	2.22	3.12	1.40	
	S <sub>s</sub> -F 3	++	2.24	3.12	1.39	
		-+	2.19	3.12	1.42	
	S <sub>s</sub> -N 1	++	2.98	3.12	1.04	
		-+	3.88	3.12	0.80	
	②	S <sub>s</sub> -N 1	++	2.98	3.12	1.04
			-+	3.60	3.12	0.86
③	S <sub>s</sub> -N 1	++	2.98	3.12	1.04	
		-+	3.84	3.12	0.81	
④	S <sub>s</sub> -N 1	++	3.13	3.12	0.99	
		-+	3.56	3.12	0.87	

注記\* : 最小安全率として最小値となる数値を記載。照査値R/S > 1.0であることを確認する。

表 6-38(2) MMR (既設) のせん断破壊に対する局所安全係数  
(循環水ポンプエリア) (有効応力解析)

解析 ケース	地震動		せん断応力 S (N/mm <sup>2</sup> )	せん断強度 R (N/mm <sup>2</sup> )	照査値* R/S
⑥	S <sub>s</sub> -D 1	++	2.29	3.12	1.36
		-+	2.48	3.12	1.25
	S <sub>s</sub> -D 2	++	2.00	3.12	1.56
		-+	2.35	3.12	1.32
	S <sub>s</sub> -D 3	++	1.70	3.12	1.83
		-+	1.97	3.12	1.58
	S <sub>s</sub> -F 1	++	1.94	3.12	1.60
		-+	1.98	3.12	1.57
	S <sub>s</sub> -F 2	++	2.28	3.12	1.36
		-+	2.63	3.12	1.18
	S <sub>s</sub> -F 3	++	1.84	3.12	1.69
		-+	1.81	3.12	1.72
	S <sub>s</sub> -N 1	++	2.80	3.12	1.11
		-+	2.44	3.12	1.27
⑦	S <sub>s</sub> -D 2	++	2.00	3.12	1.56
	S <sub>s</sub> -N 1	-+	2.44	3.12	1.27
⑧	S <sub>s</sub> -D 2	++	1.99	3.12	1.56
	S <sub>s</sub> -N 1	-+	2.45	3.12	1.27
⑨	S <sub>s</sub> -D 2	++	1.90	3.12	1.64
	S <sub>s</sub> -N 1	-+	2.25	3.12	1.38

注記\* : 最小安全率として最小値となる数値を記載。照査値R/S > 1.0であることを確認する。

表 6-39(1) MMR (既設) の引張破壊に対する局所安全係数 (スクリーンエリア) (全応力解析)

解析 ケース	地震動		引張応力 S (N/mm <sup>2</sup> )	引張強度 R (N/mm <sup>2</sup> )	照査値* R/S
①	S <sub>s</sub> -D 1	++	3.48	1.43	0.41
		-+	2.02	1.43	0.70
	S <sub>s</sub> -D 2	++	2.72	1.43	0.52
		-+	2.16	1.43	0.66
	S <sub>s</sub> -D 3	++	1.65	1.43	0.86
		-+	1.47	1.43	0.97
	S <sub>s</sub> -F 1	++	1.09	1.43	1.31
		-+	1.44	1.43	0.99
	S <sub>s</sub> -F 2	++	3.22	1.43	0.44
		-+	1.15	1.43	1.24
	S <sub>s</sub> -F 3	++	1.85	1.43	0.77
		-+	0.95	1.43	1.50
	S <sub>s</sub> -N 1	++	2.27	1.43	0.62
		-+	5.23	1.43	0.27
②	S <sub>s</sub> -N 1	++	2.24	1.43	0.63
		-+	5.10	1.43	0.28
③	S <sub>s</sub> -N 1	++	2.34	1.43	0.61
		-+	5.32	1.43	0.26
④	S <sub>s</sub> -N 1	++	1.41	1.43	1.01
		-+	4.90	1.43	0.29

注記\* : 最小安全率として最小値となる数値を記載。照査値R/S > 1.0であることを確認する。

表 6-39(2) MMR (既設) の引張破壊に対する局所安全係数  
(スクリーンエリア) (有効応力解析)

解析 ケース	地震動		引張応力 S (N/mm <sup>2</sup> )	引張強度 R (N/mm <sup>2</sup> )	照査値* R/S
⑥	S <sub>s</sub> -D 1	++	0.97	1.43	1.47
		-+	1.29	1.43	1.10
	S <sub>s</sub> -D 2	++	1.00	1.43	1.43
		-+	1.04	1.43	1.37
	S <sub>s</sub> -D 3	++	0.51	1.43	2.80
		-+	1.08	1.43	1.32
	S <sub>s</sub> -F 1	++	0.81	1.43	1.76
		-+	1.01	1.43	1.41
	S <sub>s</sub> -F 2	++	1.37	1.43	1.04
		-+	1.70	1.43	0.84
	S <sub>s</sub> -F 3	++	0.72	1.43	1.98
		-+	1.00	1.43	1.43
	S <sub>s</sub> -N 1	++	2.22	1.43	0.64
		-+	1.86	1.43	0.76
⑦	S <sub>s</sub> -D 2	++	1.00	1.43	1.43
	S <sub>s</sub> -N 1	-+	1.86	1.43	0.76
⑧	S <sub>s</sub> -D 2	++	1.05	1.43	1.36
	S <sub>s</sub> -N 1	-+	2.00	1.43	0.71
⑨	S <sub>s</sub> -D 2	++	0.98	1.43	1.45
	S <sub>s</sub> -N 1	-+	2.10	1.43	0.68

注記\* : 最小安全率として最小値となる数値を記載。照査値R/S > 1.0であることを確認する。

表 6-40(1) MMR (既設) の引張破壊に対する局所安全係数  
(循環水ポンプエリア) (全応力解析)

解析 ケース	地震動		引張応力 S (N/mm <sup>2</sup> )	引張強度 R (N/mm <sup>2</sup> )	照査値* R/S
①	S <sub>s</sub> -D 1	++	3.69	1.43	0.38
		-+	2.41	1.43	0.59
	S <sub>s</sub> -D 2	++	2.77	1.43	0.51
		-+	2.99	1.43	0.47
	S <sub>s</sub> -D 3	++	3.29	1.43	0.43
		-+	2.08	1.43	0.68
	S <sub>s</sub> -F 1	++	1.34	1.43	1.06
		-+	1.77	1.43	0.80
	S <sub>s</sub> -F 2	++	3.57	1.43	0.40
		-+	1.71	1.43	0.83
	S <sub>s</sub> -F 3	++	2.67	1.43	0.53
		-+	0.98	1.43	1.45
	S <sub>s</sub> -N 1	++	2.43	1.43	0.58
		-+	6.61	1.43	0.21
②	S <sub>s</sub> -N 1	++	1.83	1.43	0.78
		-+	5.52	1.43	0.25
③	S <sub>s</sub> -N 1	++	2.45	1.43	0.58
		-+	6.29	1.43	0.22
④	S <sub>s</sub> -N 1	++	2.81	1.43	0.50
		-+	6.27	1.43	0.22

注記\* : 最小安全率として最小値となる数値を記載。照査値R/S > 1.0であることを確認する。

表 6-40(2) MMR (既設) の引張破壊に対する局所安全係数  
(循環水ポンプエリア) (有効応力解析)

解析 ケース	地震動		引張応力 S (N/mm <sup>2</sup> )	引張強度 R (N/mm <sup>2</sup> )	照査値* R/S
⑥	S <sub>s</sub> -D 1	++	1.24	1.43	1.15
		-+	1.39	1.43	1.02
	S <sub>s</sub> -D 2	++	1.02	1.43	1.40
		-+	1.13	1.43	1.26
	S <sub>s</sub> -D 3	++	0.65	1.43	2.20
		-+	1.02	1.43	1.40
	S <sub>s</sub> -F 1	++	0.81	1.43	1.76
		-+	1.19	1.43	1.20
	S <sub>s</sub> -F 2	++	1.07	1.43	1.33
		-+	1.94	1.43	0.73
	S <sub>s</sub> -F 3	++	0.73	1.43	1.95
		-+	0.87	1.43	1.64
	S <sub>s</sub> -N 1	++	2.01	1.43	0.71
		-+	1.70	1.43	0.84
⑦	S <sub>s</sub> -D 2	++	1.02	1.43	1.40
	S <sub>s</sub> -N 1	-+	1.69	1.43	0.84
⑧	S <sub>s</sub> -D 2	++	1.01	1.43	1.41
	S <sub>s</sub> -N 1	-+	1.64	1.43	0.87
⑨	S <sub>s</sub> -D 2	++	1.02	1.43	1.40
	S <sub>s</sub> -N 1	-+	1.98	1.43	0.72

注記\* : 最小安全率として最小値となる数値を記載。照査値 R/S > 1.0 であることを確認する。

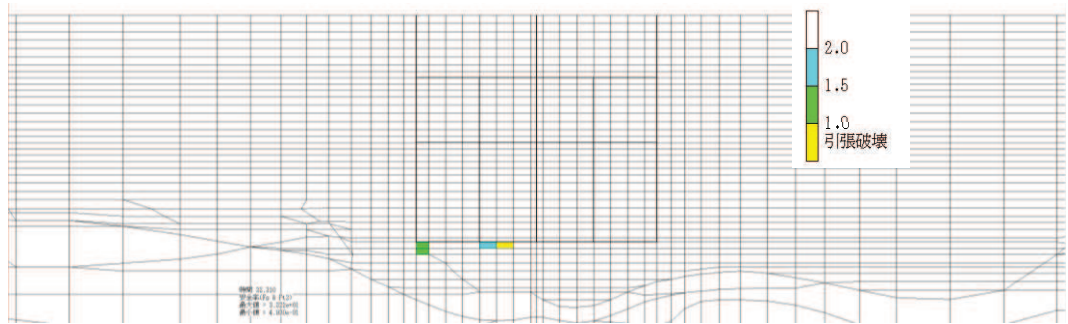


図 6-47 MMR (既設) のせん断応力最大時刻の局所安全係数 (引張破壊着目) (全応力解析)  
 (ケース①,  $S_s - D1$  (++) , スクリーンエリア,  $t = 32.31s$ )

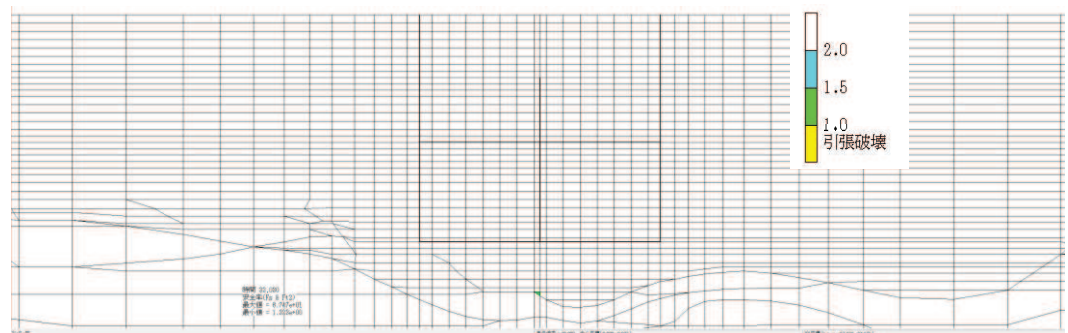


図 6-48 MMR (既設) のせん断応力最大時刻の局所安全係数 (引張破壊着目) (全応力解析)  
 (ケース①, 地震動  $S_s - D1$  (++) , 循環水ポンプエリア,  $t = 33.03s$ )

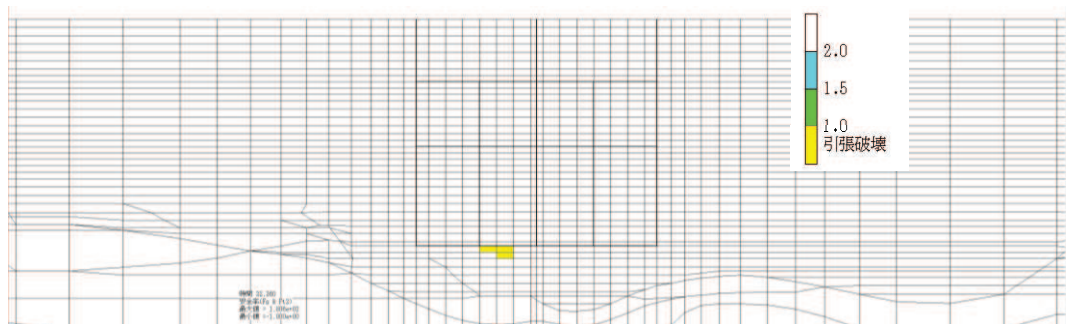


図 6-49 MMR (既設) の引張応力最大時刻の局所安全係数 (引張破壊着目) (全応力解析)  
 (ケース①, 地震動  $S_s - D1$  (++) , スクリーンエリア,  $t = 32.36s$ )

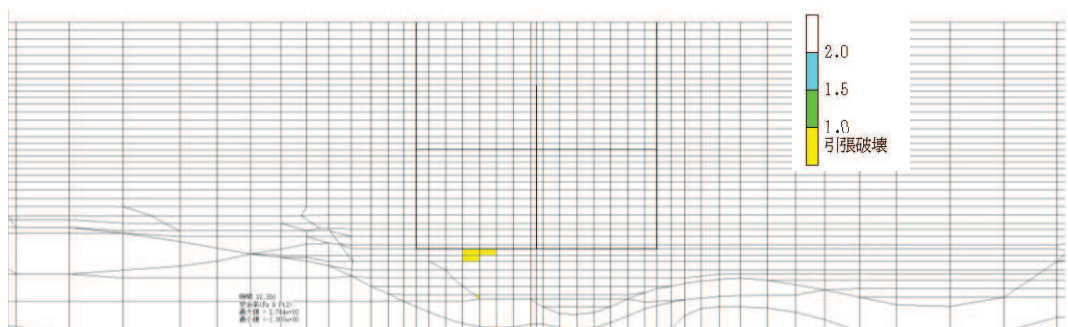


図 6-50 MMR (既設) の引張応力最大時刻の局所安全係数 (引張破壊着目) (全応力解析)  
 (ケース①, 地震動  $S_s - D1$  (++) , 循環水ポンプエリア,  $t = 32.35s$ )



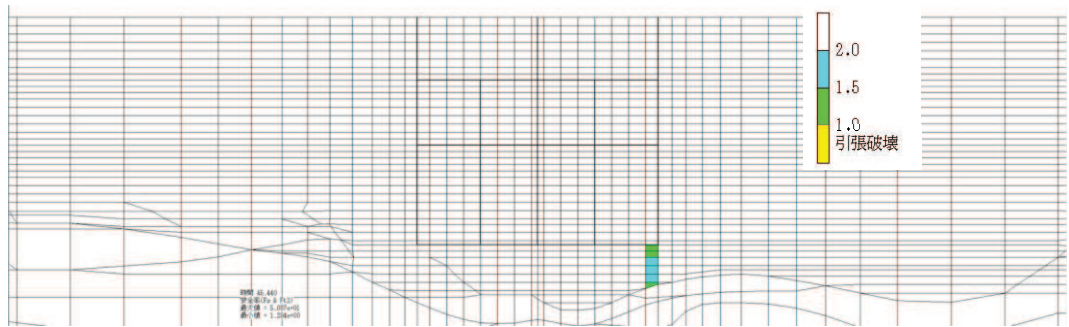


図 6-51 MMR（既設）のせん断応力最大時刻の局所安全係数（引張破壊着目）（全応力解析）  
 （ケース①，地震動  $S_s - D1$ （-+），スクリーンエリア， $t = 45.44s$ ）

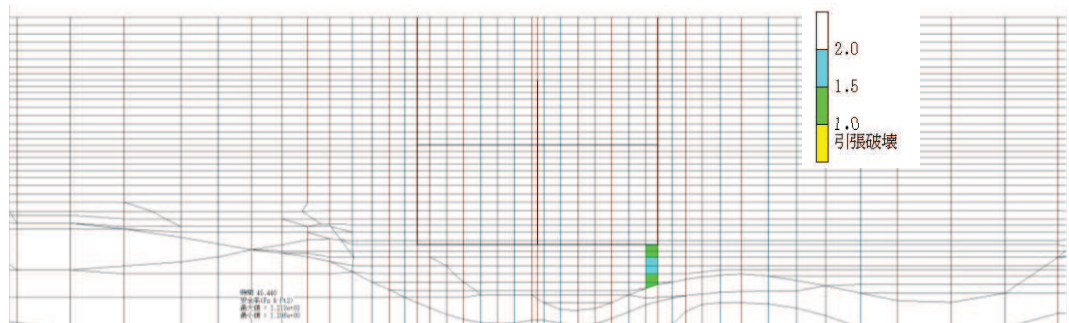


図 6-52 MMR（既設）のせん断応力最大時刻の局所安全係数（引張破壊着目）（全応力解析）  
 （ケース①，地震動  $S_s - D1$ （-+），循環水ポンプエリア， $t = 45.44s$ ）

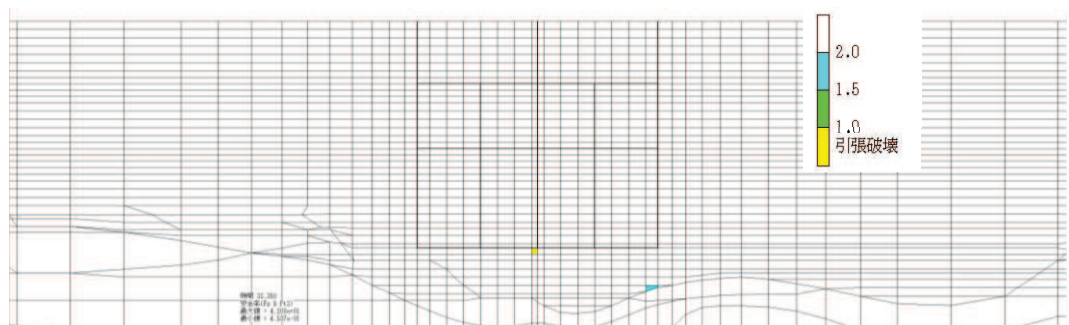


図 6-53 MMR（既設）の引張応力最大時刻の局所安全係数（引張破壊着目）（全応力解析）  
 （ケース①，地震動  $S_s - D1$ （-+），スクリーンエリア， $t = 32.35s$ ）

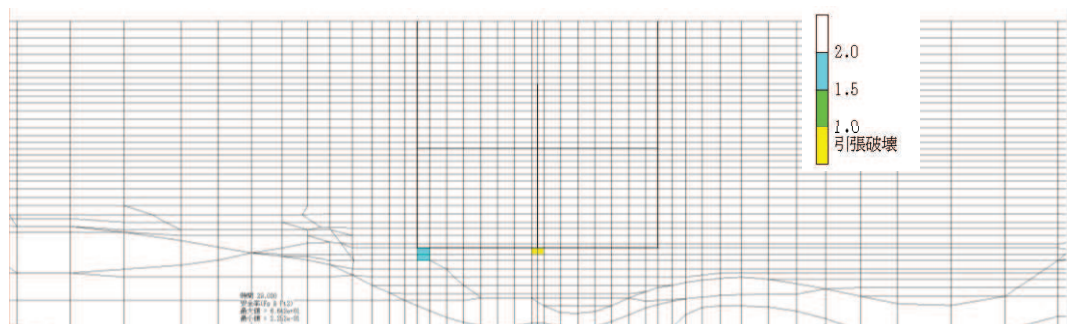


図 6-54 MMR（既設）の引張応力最大時刻の局所安全係数（引張破壊着目）（全応力解析）  
 （ケース①，地震動  $S_s - D1$ （-+），循環水ポンプエリア， $t = 29.03s$ ）

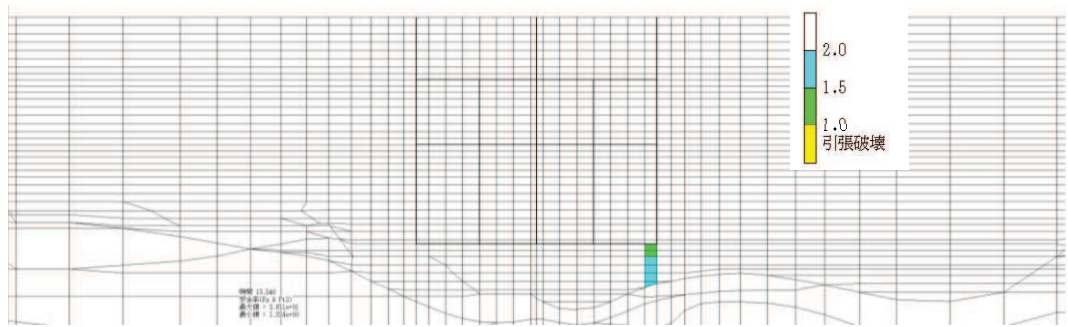


図 6-55 MMR (既設) のせん断応力最大時刻の局所安全係数 (引張破壊着目) (全応力解析)  
(ケース①, 地震動 S s - D 2 (++) , スクリーンエリア, t = 13.54s)

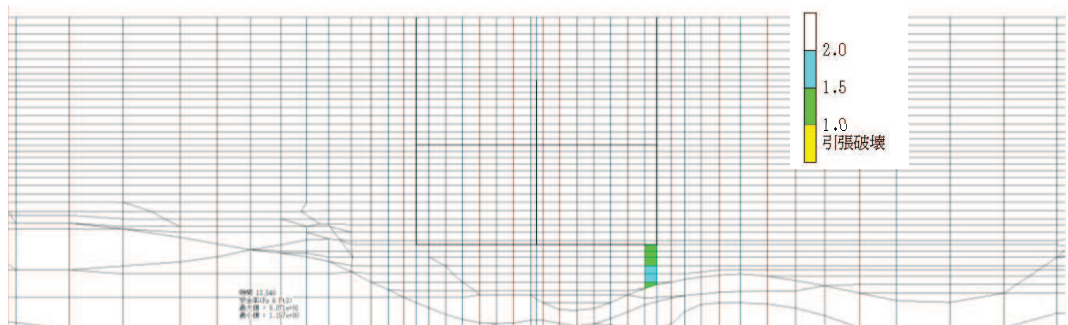


図 6-56 MMR (既設) のせん断応力最大時刻の局所安全係数 (引張破壊着目) (全応力解析)  
(ケース①, 地震動 S s - D 2 (++) , 循環水ポンプエリア, t = 13.54s)

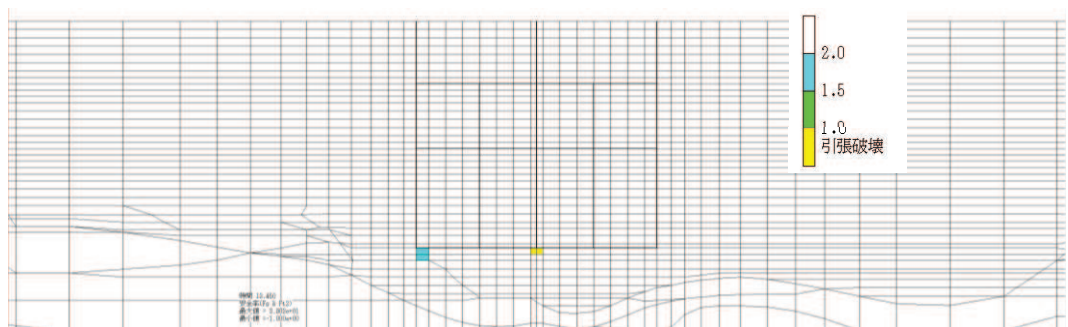


図 6-57 MMR (既設) の引張応力最大時刻の局所安全係数 (引張破壊着目) (全応力解析)  
(ケース①, 地震動 S s - D 2 (++) , スクリーンエリア, t = 13.45s)

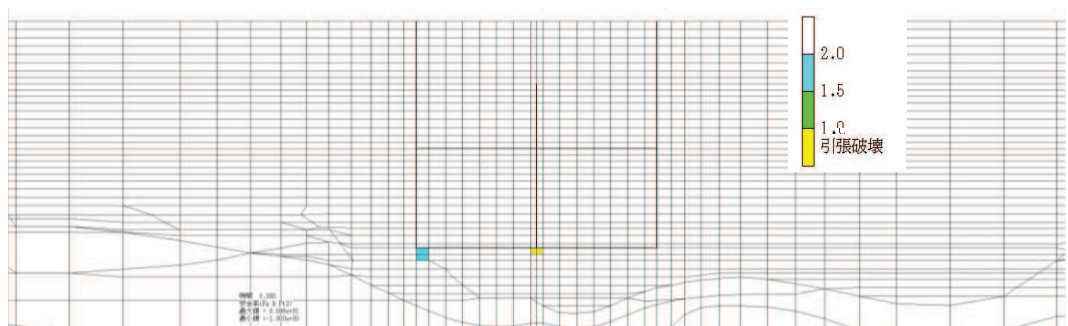


図 6-58 MMR (既設) の引張応力最大時刻の局所安全係数 (引張破壊着目) (全応力解析)  
(ケース①, 地震動 S s - D 2 (++) , 循環水ポンプエリア, t = 8.36s)



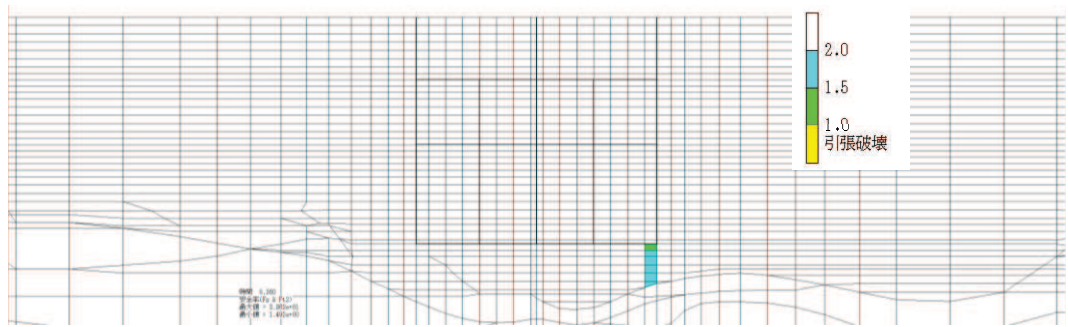


図 6-59 MMR（既設）のせん断応力最大時刻の局所安全係数（引張破壊着目）（全応力解析）  
 （ケース①，地震動 S s - D 2（-+），スクリーンエリア， t = 8.36s）

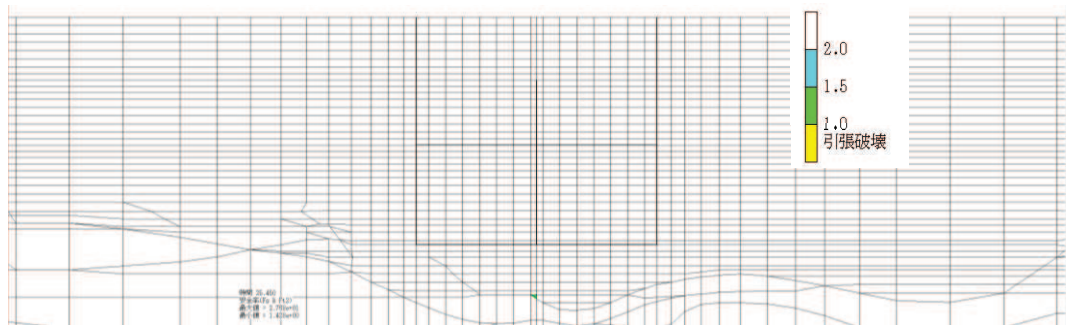


図 6-60 MMR（既設）のせん断応力最大時刻の局所安全係数（引張破壊着目）（全応力解析）  
 （ケース①，地震動 S s - D 2（-+），循環水ポンプエリア， t = 25.45s）

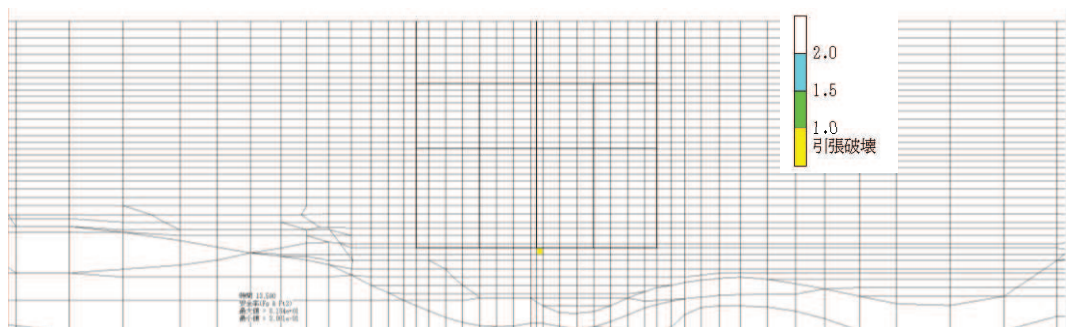


図 6-61 MMR（既設）の引張応力最大時刻の局所安全係数（引張破壊着目）（全応力解析）  
 （ケース①，地震動 S s - D 2（-+），スクリーンエリア， t = 13.59s）

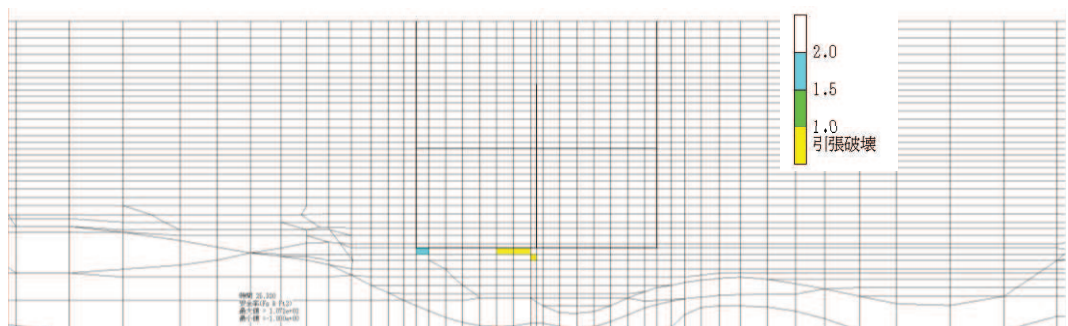


図 6-62 MMR（既設）の引張応力最大時刻の局所安全係数（引張破壊着目）（全応力解析）  
 （ケース①，地震動 S s - D 2（-+），循環水ポンプエリア， t = 25.32s）

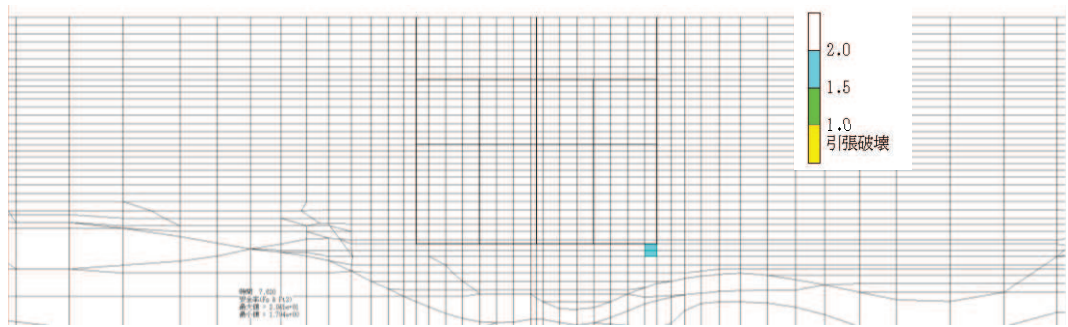


図 6-63 MMR (既設) のせん断応力最大時刻の局所安全係数 (引張破壊着目) (全応力解析)  
 (ケース①, 地震動 S s - D 3 (++) , スクリーンエリア, t = 7.62s)

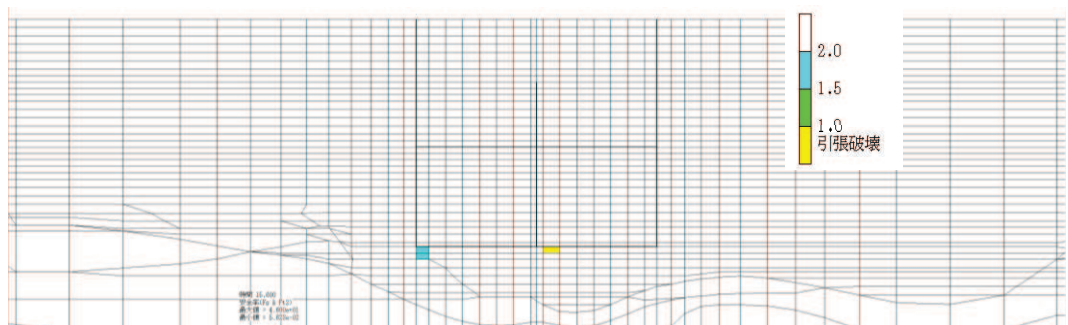


図 6-64 MMR (既設) のせん断応力最大時刻の局所安全係数 (引張破壊着目) (全応力解析)  
 (ケース①, 地震動 S s - D 3 (++) , 循環水ポンプエリア, t = 15.60s)

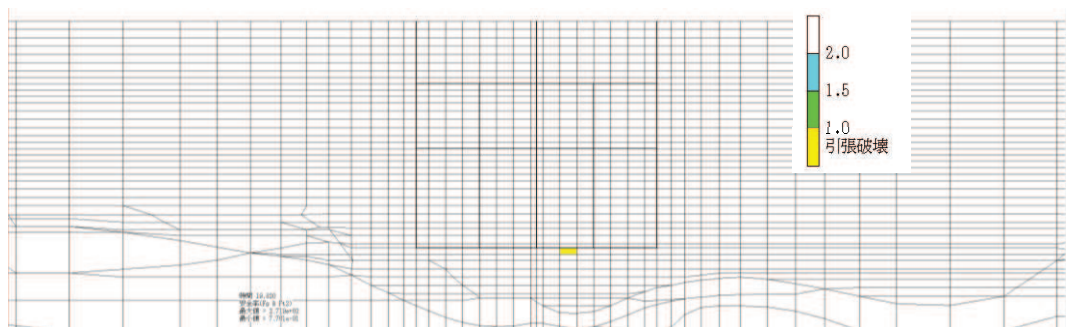


図 6-65 MMR (既設) の引張応力最大時刻の局所安全係数 (引張破壊着目) (全応力解析)  
 (ケース①, 地震動 S s - D 3 (++) , スクリーンエリア, t = 19.82s)

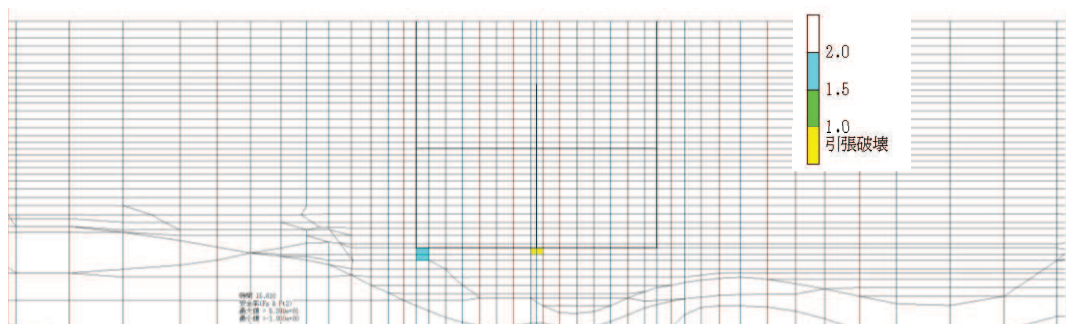


図 6-66 MMR (既設) の引張応力最大時刻の局所安全係数 (引張破壊着目) (全応力解析)  
 (ケース①, 地震動 S s - D 3 (++) , 循環水ポンプエリア, t = 15.61s)



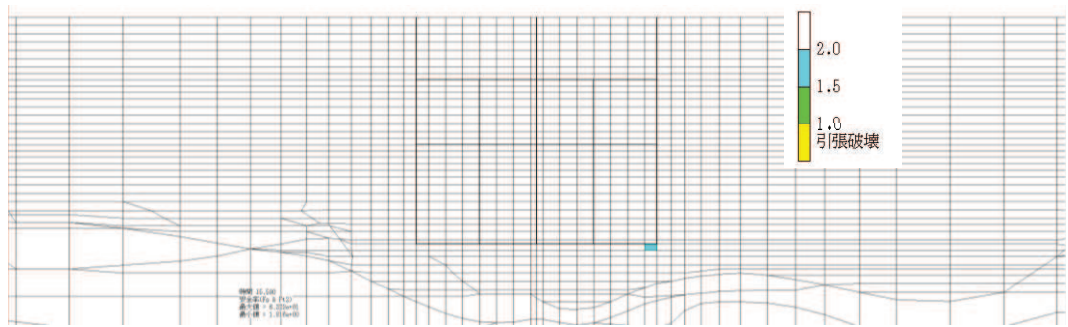


図 6-67 MMR（既設）のせん断応力最大時刻の局所安全係数（引張破壊着目）（全応力解析）  
 （ケース①，地震動  $S_s - D3$ （-+），スクリーンエリア， $t = 15.59s$ ）

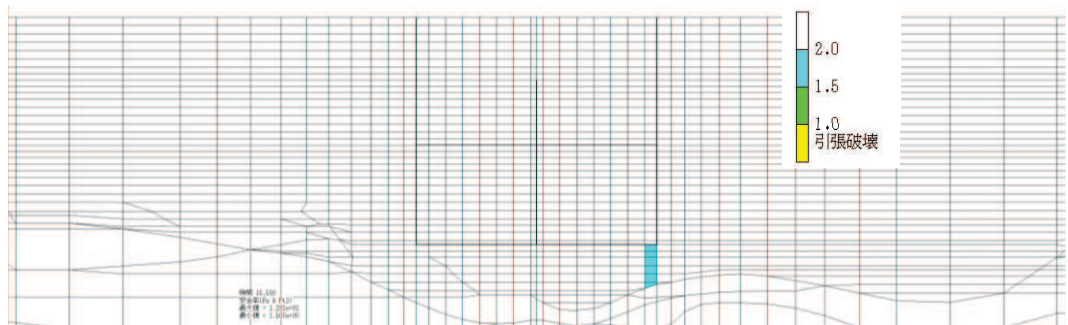


図 6-68 MMR（既設）のせん断応力最大時刻の局所安全係数（引張破壊着目）（全応力解析）  
 （ケース①，地震動  $S_s - D3$ （-+），循環水ポンプエリア， $t = 15.58s$ ）

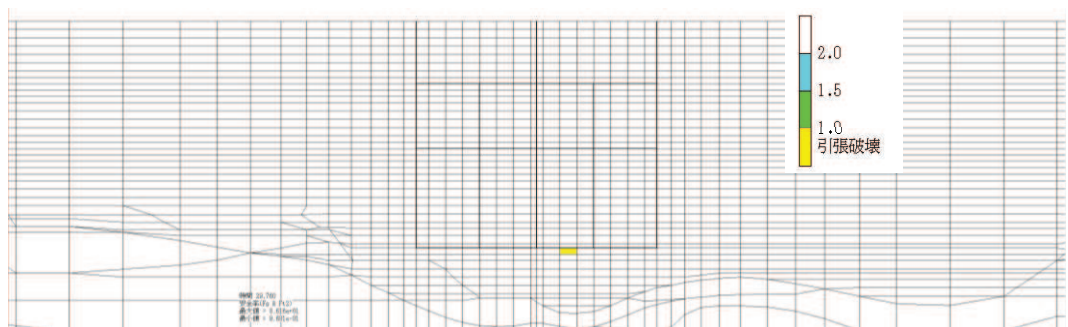


図 6-69 MMR（既設）の引張応力最大時刻の局所安全係数（引張破壊着目）（全応力解析）  
 （ケース①，地震動  $S_s - D3$ （-+），スクリーンエリア， $t = 29.76s$ ）

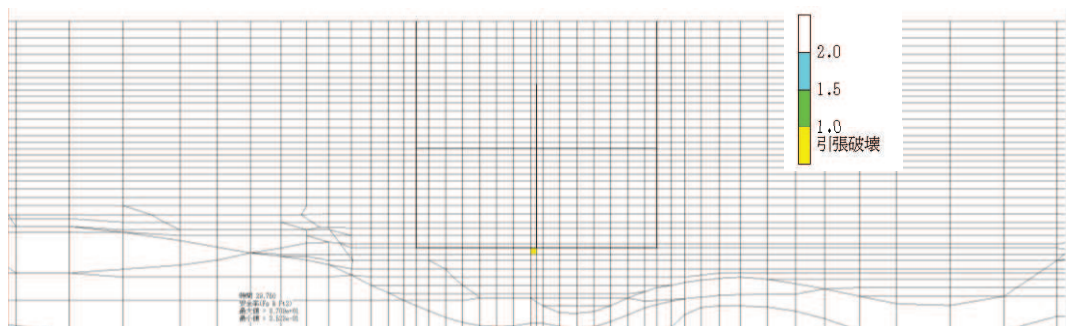


図 6-70 MMR（既設）の引張応力最大時刻の局所安全係数（引張破壊着目）（全応力解析）  
 （ケース①，地震動  $S_s - D3$ （-+），循環水ポンプエリア， $t = 29.75s$ ）

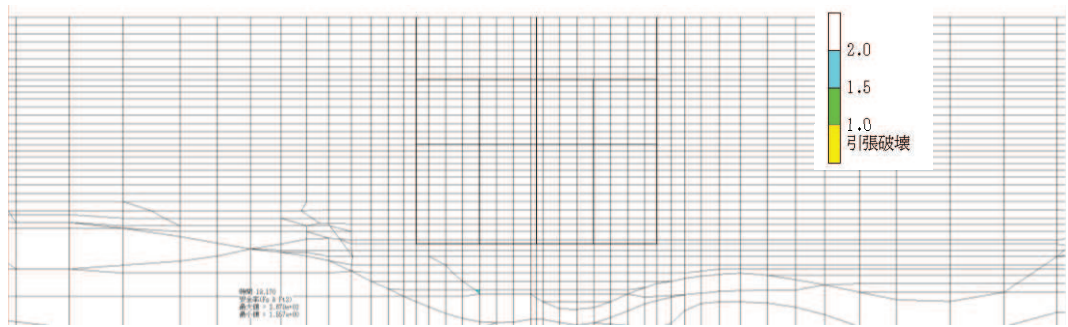


図 6-71 MMR (既設) のせん断応力最大時刻の局所安全係数 (引張破壊着目) (全応力解析)  
 (ケース①, 地震動  $S_s - F1 (-+)$ , スクリーンエリア,  $t = 19.17s$ )

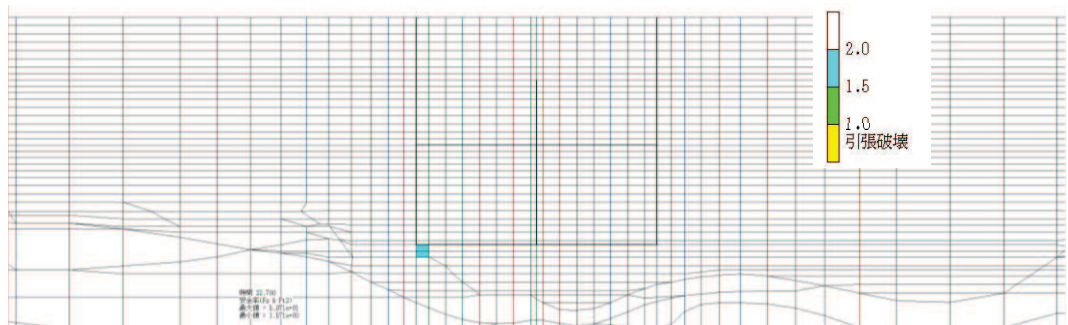


図 6-72 MMR (既設) のせん断応力最大時刻の局所安全係数 (引張破壊着目) (全応力解析)  
 (ケース①, 地震動  $S_s - F1 (-+)$ , 循環水ポンプエリア,  $t = 22.70s$ )

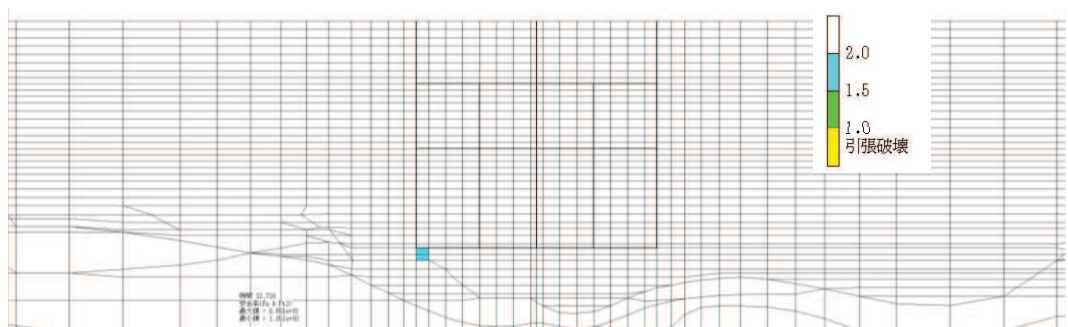


図 6-73 MMR (既設) の引張応力最大時刻の局所安全係数 (引張破壊着目) (全応力解析)  
 (ケース①, 地震動  $S_s - F1 (-+)$ , スクリーンエリア,  $t = 22.72s$ )

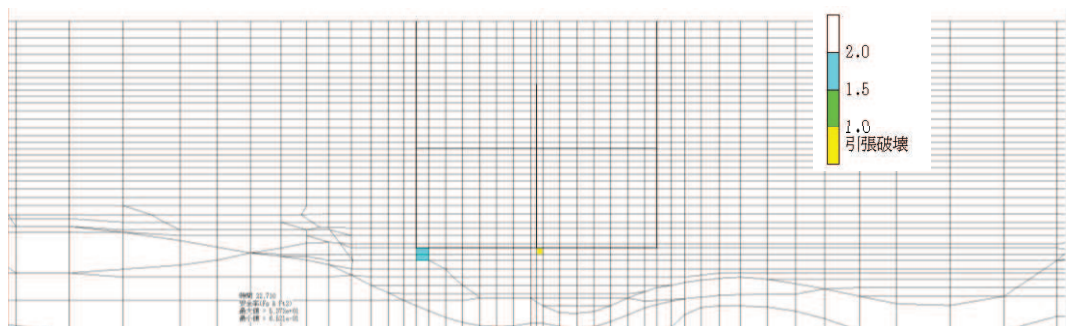


図 6-74 MMR (既設) の引張応力最大時刻の局所安全係数 (引張破壊着目) (全応力解析)  
 (ケース①, 地震動  $S_s - F1 (-+)$ , 循環水ポンプエリア,  $t = 22.71s$ )



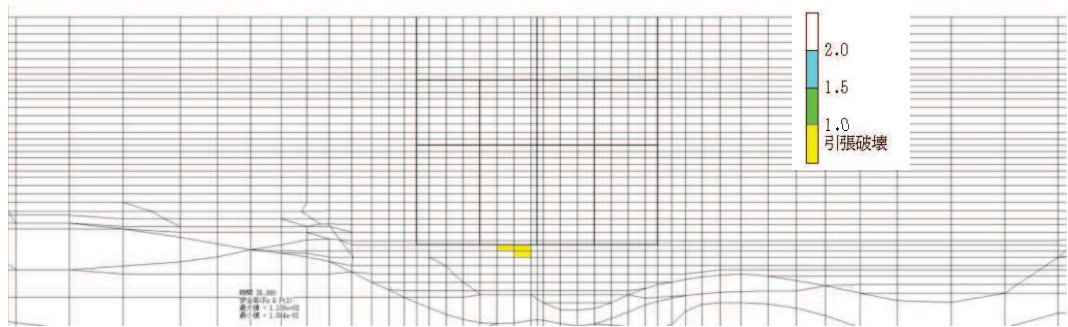


図 6-75 MMR (既設) のせん断応力最大時刻の局所安全係数 (引張破壊着目) (全応力解析)  
 (ケース①, 地震動  $S_s - F2(++)$ , スクリーンエリア,  $t = 35.99s$ )

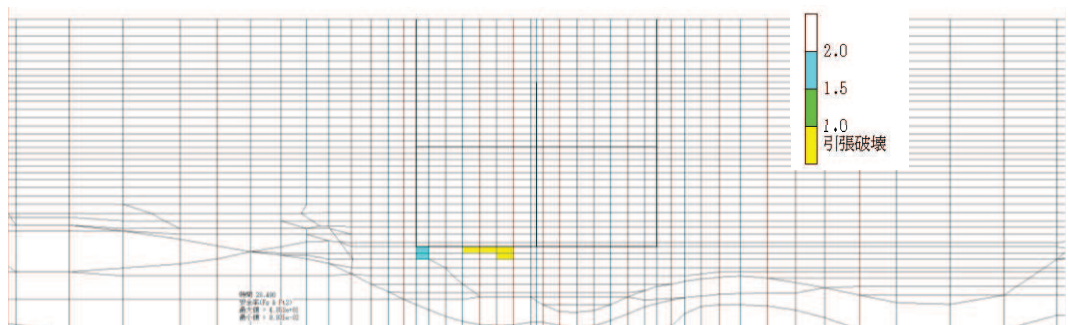


図 6-76 MMR (既設) のせん断応力最大時刻の局所安全係数 (引張破壊着目) (全応力解析)  
 (ケース①, 地震動  $S_s - F2(++)$ , 循環水ポンプエリア,  $t = 28.49s$ )

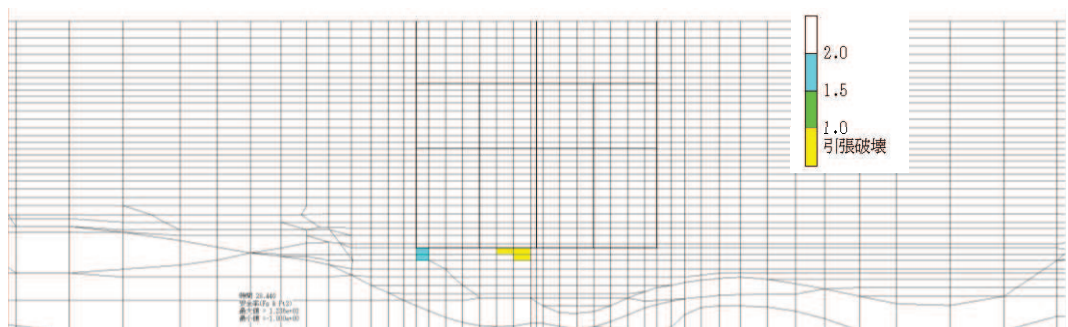


図 6-77 MMR (既設) の引張応力最大時刻の局所安全係数 (引張破壊着目) (全応力解析)  
 (ケース①, 地震動  $S_s - F2(++)$ , スクリーンエリア,  $t = 28.44s$ )

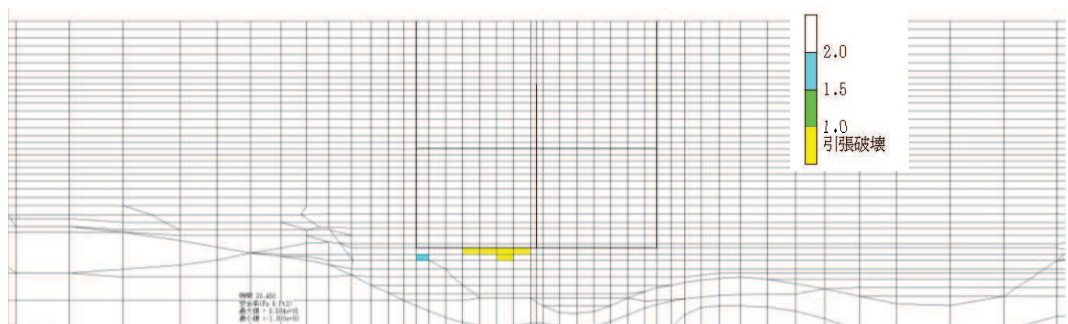


図 6-78 MMR (既設) の引張応力最大時刻の局所安全係数 (引張破壊着目) (全応力解析)  
 (ケース①, 地震動  $S_s - F2(++)$ , 循環水ポンプエリア,  $t = 28.45s$ )

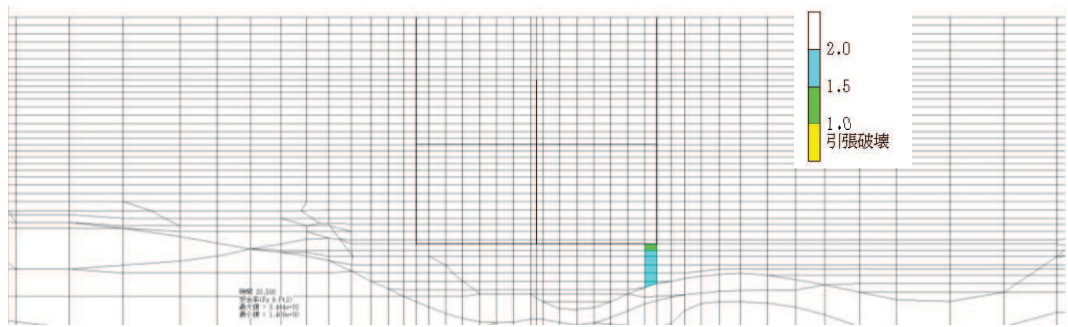


図 6-79 MMR (既設) のせん断応力最大時刻の局所安全係数 (引張破壊着目) (全応力解析)  
 (ケース①, 地震動  $S_s - F2 (-+)$ , 循環水ポンプエリア,  $t = 28.50s$ )

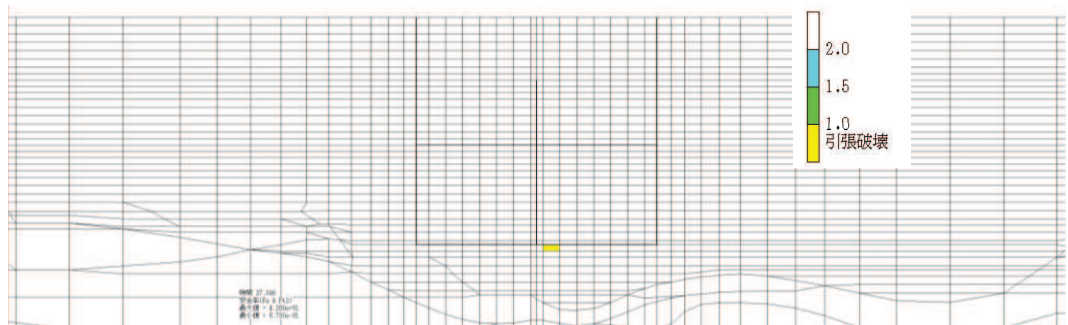


図 6-80 MMR (既設) の引張応力最大時刻の局所安全係数 (引張破壊着目) (全応力解析)  
 (ケース①, 地震動  $S_s - F2 (-+)$ , 循環水ポンプエリア,  $t = 27.89s$ )

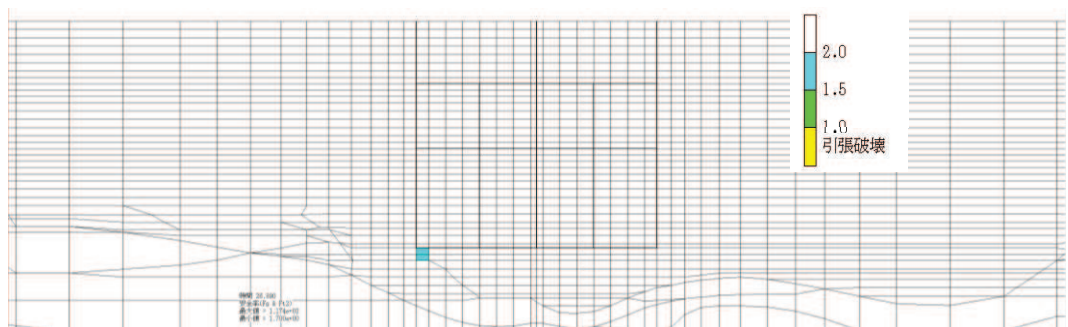


図 6-81 MMR (既設) のせん断応力最大時刻の局所安全係数 (引張破壊着目) (全応力解析)  
 (ケース①, 地震動  $S_s - F3 (++)$ , スクリーンエリア,  $t = 26.89s$ )

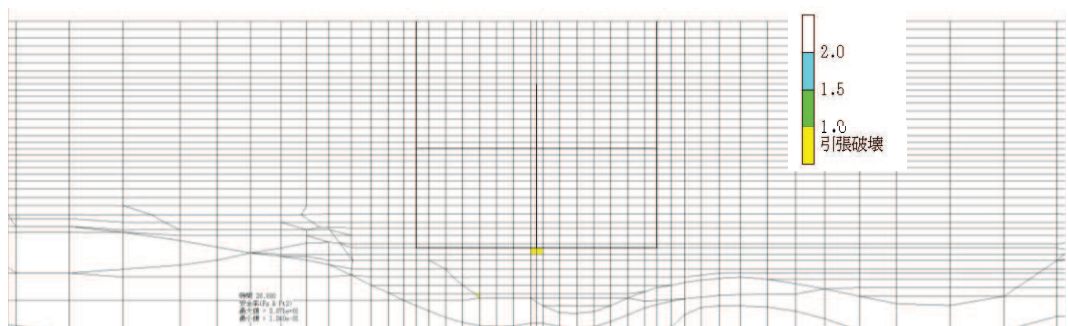


図 6-82 MMR (既設) のせん断応力最大時刻の局所安全係数 (引張破壊着目) (全応力解析)  
 (ケース①, 地震動  $S_s - F3 (++)$ , 循環水ポンプエリア,  $t = 26.88s$ )



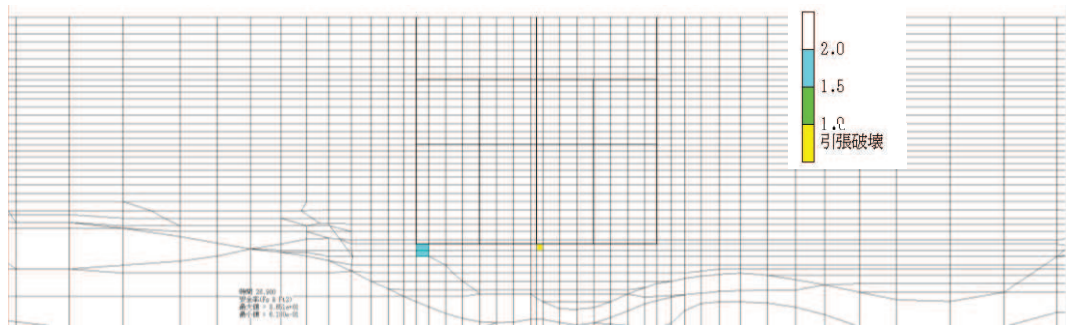


図 6-83 MMR (既設) の引張応力最大時刻の局所安全係数 (引張破壊着目) (全応力解析)  
 (ケース①, 地震動  $S_s - F3$  (++) , スクリーンエリア,  $t = 26.90s$ )

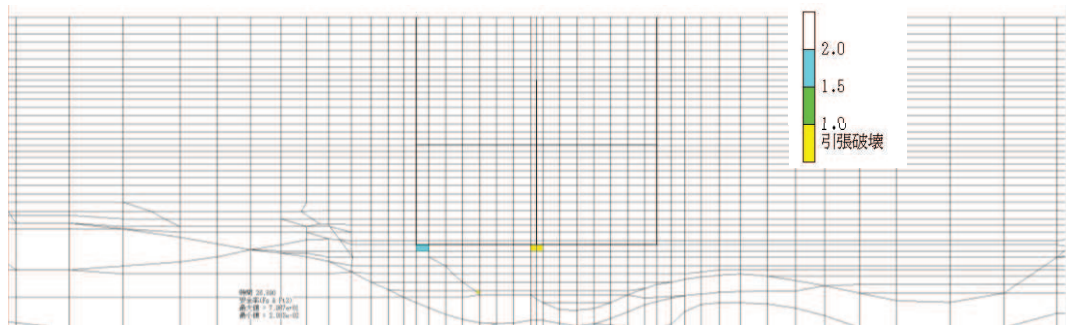


図 6-84 MMR (既設) の引張応力最大時刻の局所安全係数 (引張破壊着目) (全応力解析)  
 (ケース①, 地震動  $S_s - F3$  (++) , 循環水ポンプエリア,  $t = 26.89s$ )

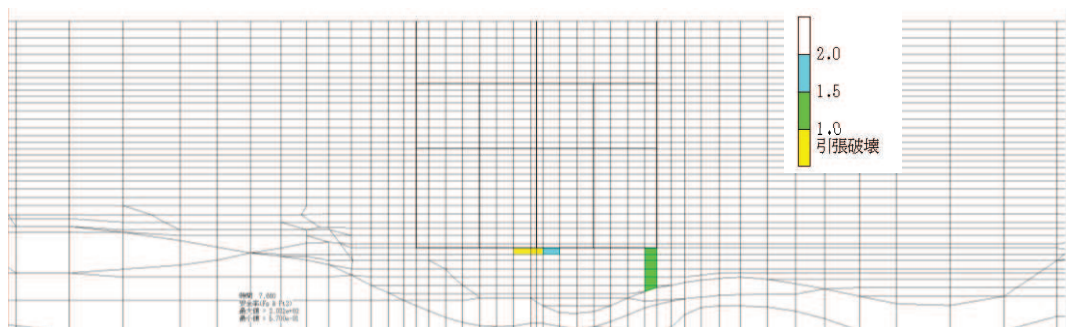


図 6-85 MMR (既設) のせん断応力最大時刻の局所安全係数 (引張破壊着目) (全応力解析)  
 (ケース①, 地震動  $S_s - N1$  (++) , スクリーンエリア,  $t = 7.66s$ )

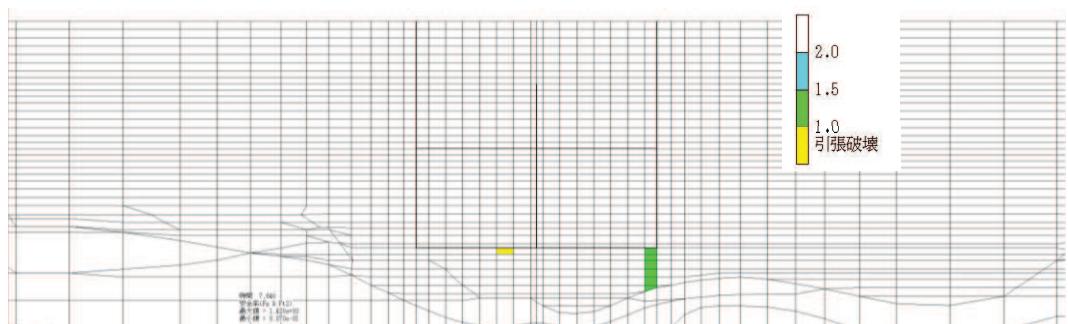


図 6-86 MMR (既設) のせん断応力最大時刻の局所安全係数 (引張破壊着目) (全応力解析)  
 (ケース①, 地震動  $S_s - N1$  (++) , 循環水ポンプエリア,  $t = 7.64s$ )

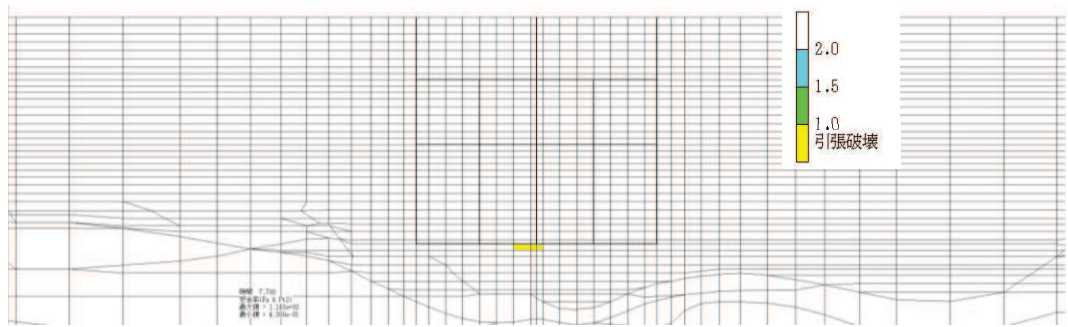


図 6-87 MMR (既設) の引張応力最大時刻の局所安全係数 (引張破壊着目) (全応力解析)  
 (ケース①, 地震動 S s - N 1 (+), スクリーンエリア, t = 7.78s)

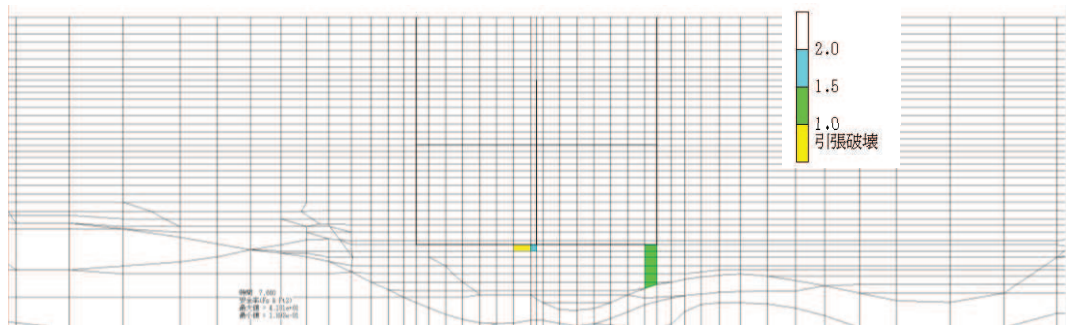


図 6-88 MMR (既設) の引張応力最大時刻の局所安全係数 (引張破壊着目) (全応力解析)  
 (ケース①, 地震動 S s - N 1 (+), 循環水ポンプエリア, t = 7.66s)

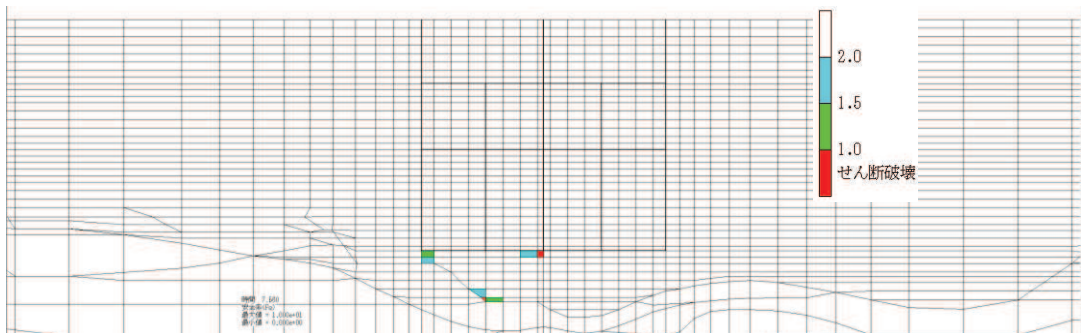


図 6-89 (1) MMR (既設) のせん断応力最大時刻の局所安全係数 (せん断破壊着目) (全応力解析)  
 (ケース①, 地震動 S s - N 1 (-), スクリーンエリア, t = 7.56s)

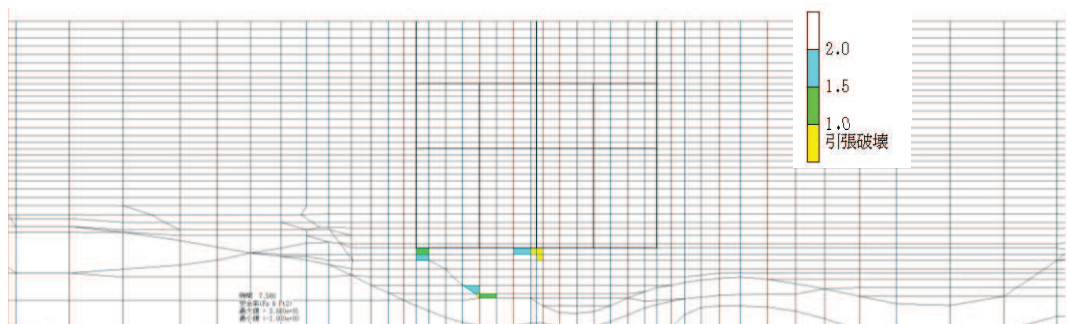


図 6-89 (2) MMR (既設) のせん断応力最大時刻の局所安全係数 (引張破壊着目) (全応力解析)  
 (ケース①, 地震動 S s - N 1 (-), スクリーンエリア, t = 7.56s)



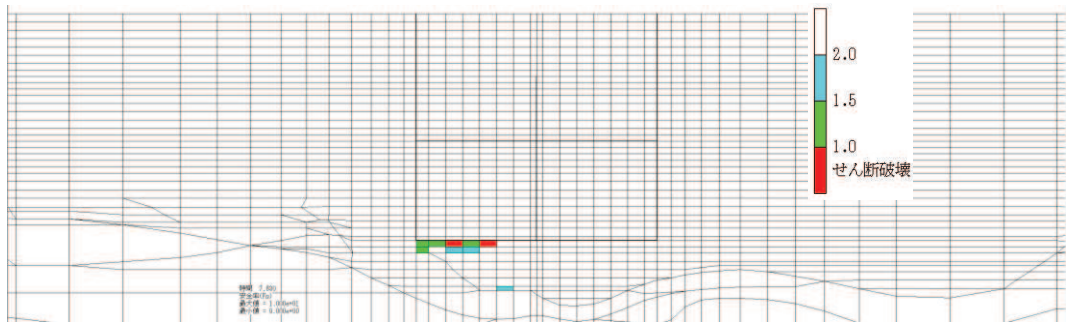


図 6-90 (1) MMR (既設) のせん断応力最大時刻の局所安全係数 (せん断破壊着目) (全応力解析)  
 (ケース①, 地震動 S s - N 1 (-+), 循環水ポンプエリア, t = 7.63s)

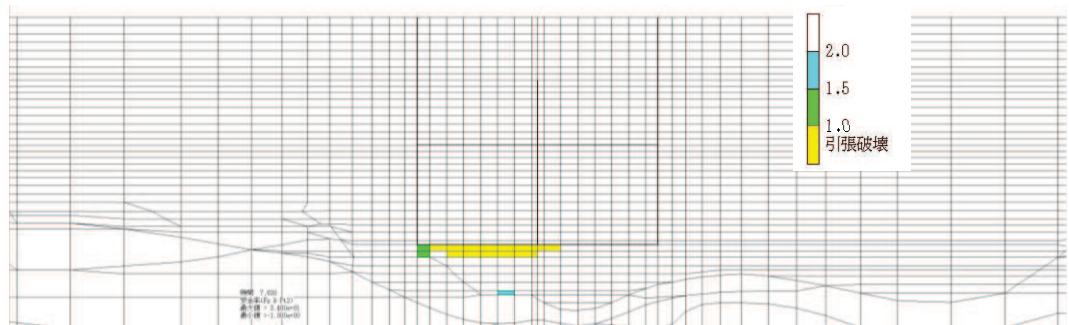


図 6-90 (2) MMR (既設) のせん断応力最大時刻の局所安全係数 (引張破壊着目) (全応力解析)  
 (ケース①, 地震動 S s - N 1 (-+), 循環水ポンプエリア, t = 7.63s)

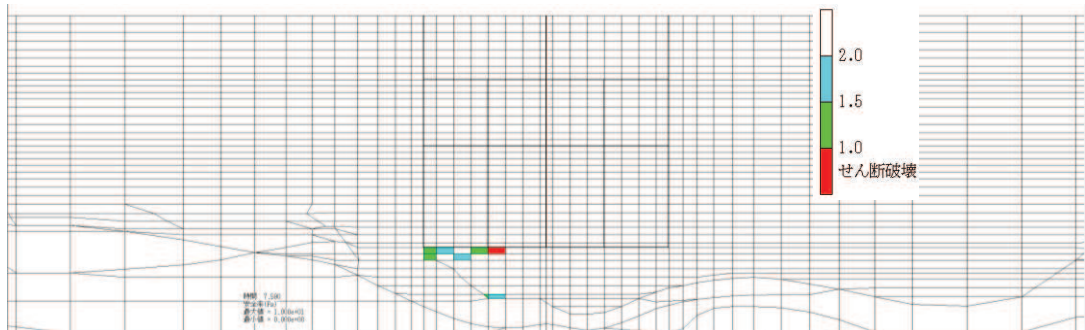


図 6-91 (1) MMR (既設) の引張応力最大時刻の局所安全係数 (せん断破壊着目) (全応力解析)  
 (ケース①, 地震動 S s - N 1 (-+), スクリーンエリア, t = 7.59s)

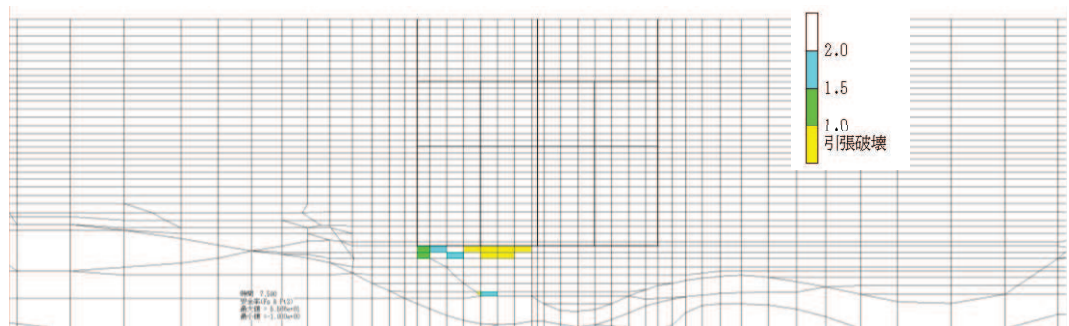


図 6-91 (2) MMR (既設) の引張応力最大時刻の局所安全係数 (引張破壊着目) (全応力解析)  
 (ケース①, 地震動 S s - N 1 (-+), スクリーンエリア, t = 7.59s)

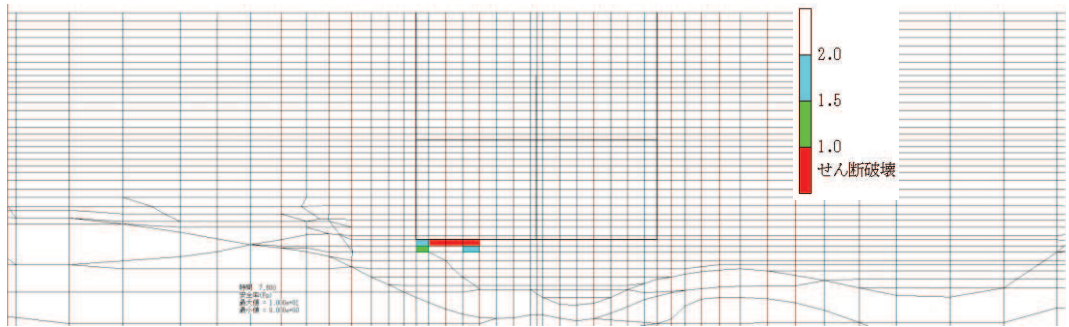


図 6-92 (1) MMR (既設) の引張応力最大時刻の局所安全係数 (せん断破壊着目) (全応力解析)  
 (ケース①, 地震動  $S_s - N1 (-+)$ , 循環水ポンプエリア,  $t = 7.60s$ )

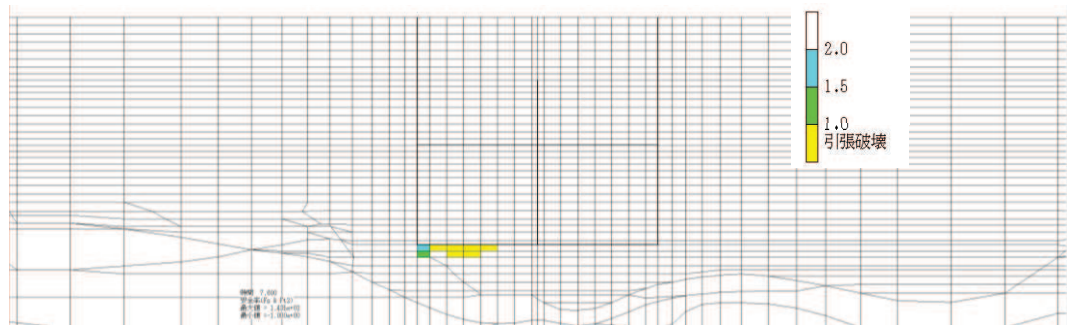


図 6-92 (2) MMR (既設) の引張応力最大時刻の局所安全係数 (引張破壊着目) (全応力解析)  
 (ケース①, 地震動  $S_s - N1 (-+)$ , 循環水ポンプエリア,  $t = 7.60s$ )

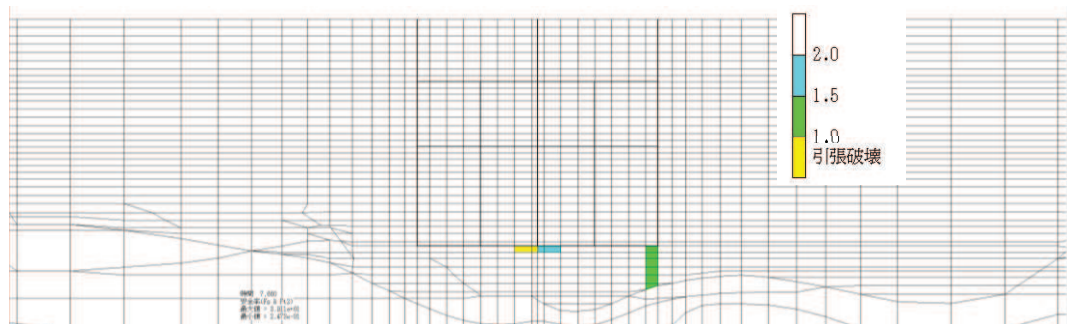


図 6-93 MMR (既設) のせん断応力最大時刻の局所安全係数 (引張破壊着目) (全応力解析)  
 (ケース②, 地震動  $S_s - N1 (++)$ , スクリーンエリア,  $t = 7.66s$ )

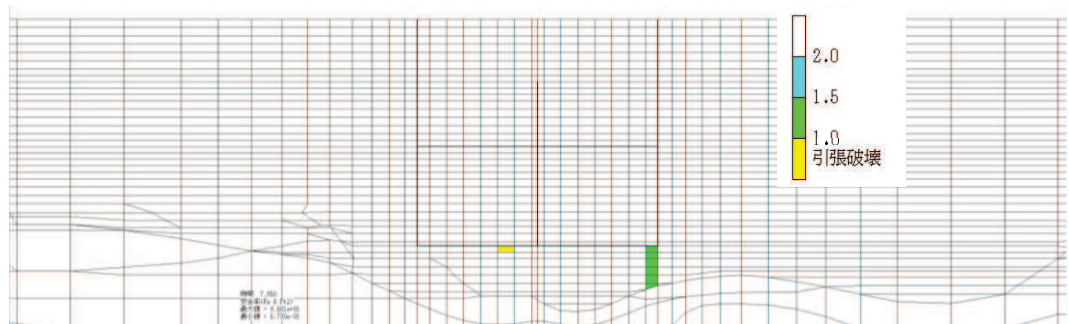


図 6-94 MMR (既設) のせん断応力最大時刻の局所安全係数 (引張破壊着目) (全応力解析)  
 (ケース②, 地震動  $S_s - N1 (++)$ , 循環水ポンプエリア,  $t = 7.65s$ )



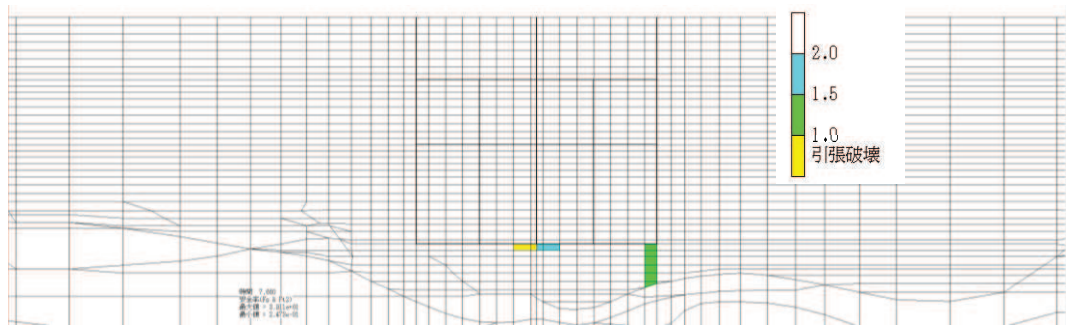


図 6-95 MMR (既設) の引張応力最大時刻の局所安全係数 (引張破壊着目) (全応力解析)  
 (ケース②, 地震動 S s - N 1 (++) , スクリーンエリア, t = 7.66s)

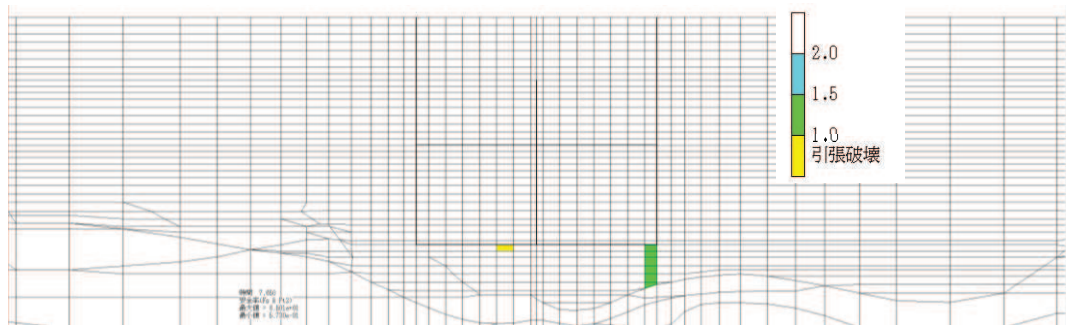


図 6-96 MMR (既設) の引張応力最大時刻の局所安全係数 (引張破壊着目) (全応力解析)  
 (ケース②, 地震動 S s - N 1 (++) , 循環水ポンプエリア, t = 7.65s)

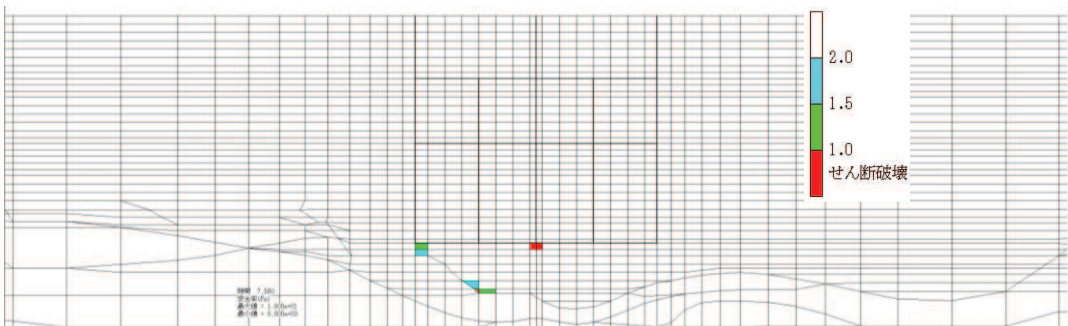


図 6-97 (1) MMR (既設) のせん断応力最大時刻の局所安全係数 (せん断破壊着目) (全応力解析)  
 (ケース②, 地震動 S s - N 1 (-+) , スクリーンエリア, t = 7.56s)

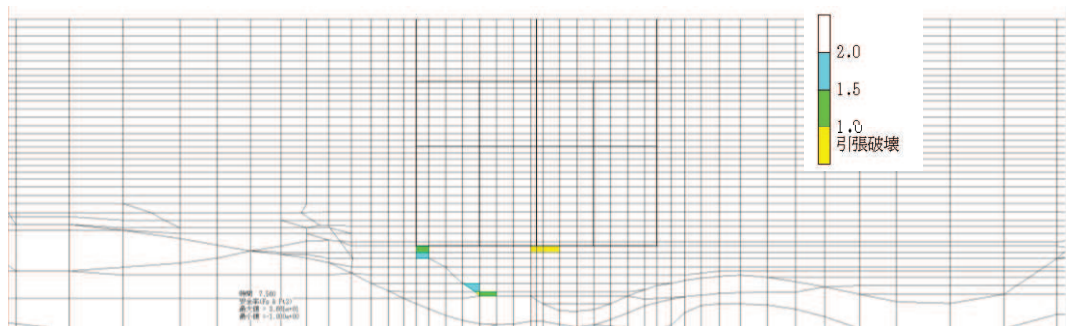


図 6-97 (2) MMR (既設) のせん断応力最大時刻の局所安全係数 (引張破壊着目) (全応力解析)  
 (ケース②, 地震動 S s - N 1 (-+) , スクリーンエリア, t = 7.56s)

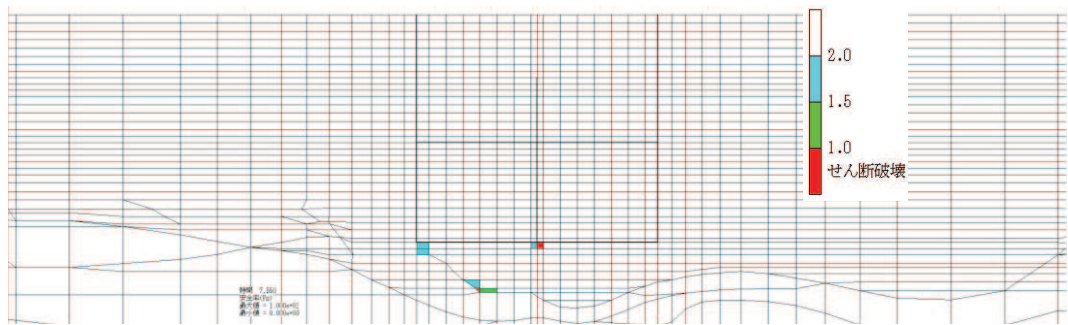


図 6-98 (1) MMR (既設) のせん断応力最大時刻の局所安全係数 (せん断破壊着目) (全応力解析)  
 (ケース②, 地震動  $S_s - N1 (-+)$ , 循環水ポンプエリア,  $t = 7.55s$ )

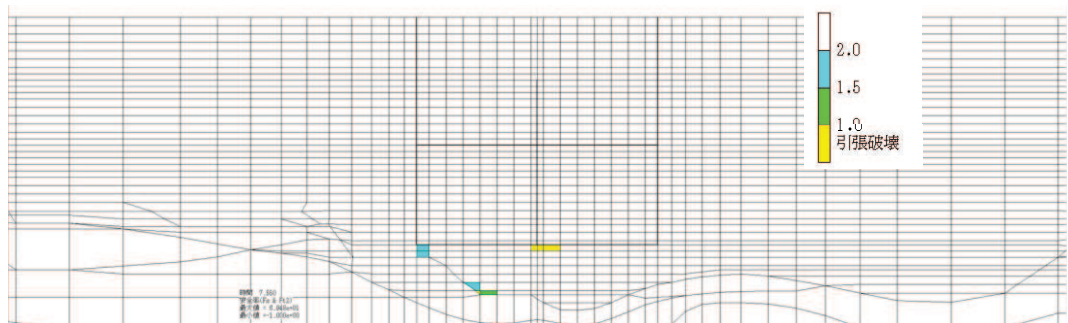


図 6-98 (2) MMR (既設) のせん断応力最大時刻の局所安全係数 (引張破壊着目) (全応力解析)  
 (ケース②, 地震動  $S_s - N1 (-+)$ , 循環水ポンプエリア,  $t = 7.55s$ )

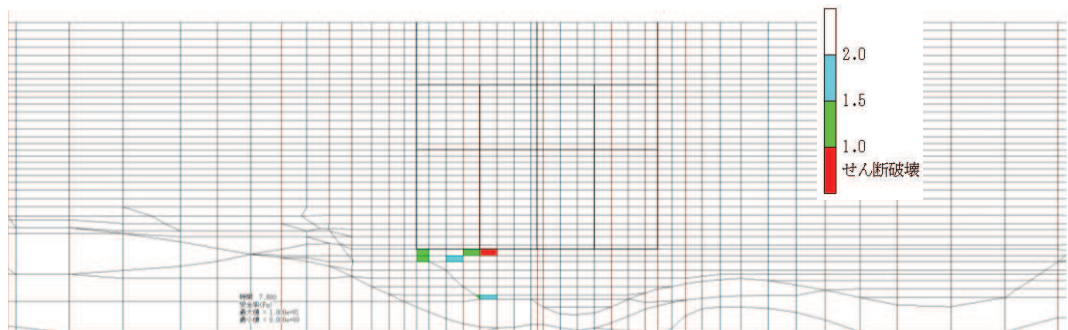


図 6-99 (1) MMR (既設) の引張応力最大時刻の局所安全係数 (せん断破壊着目) (全応力解析)  
 (ケース②, 地震動  $S_s - N1 (-+)$ , スクリーンエリア,  $t = 7.60s$ )

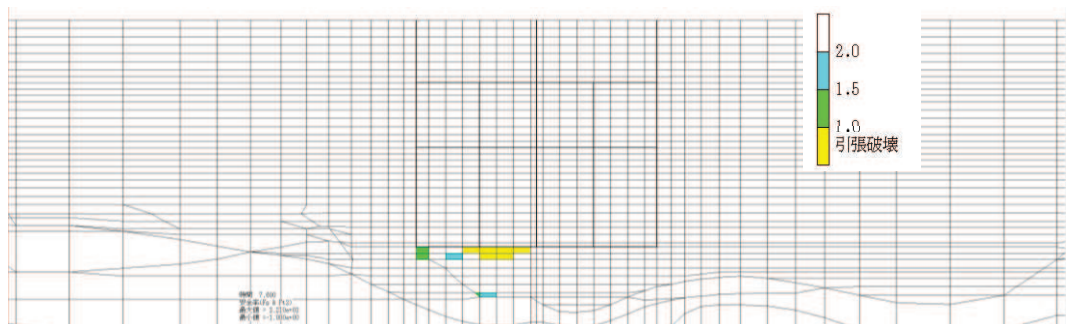


図 6-99 (2) MMR (既設) の引張応力最大時刻の局所安全係数 (引張破壊着目) (全応力解析)  
 (ケース②, 地震動  $S_s - N1 (-+)$ , スクリーンエリア,  $t = 7.60s$ )



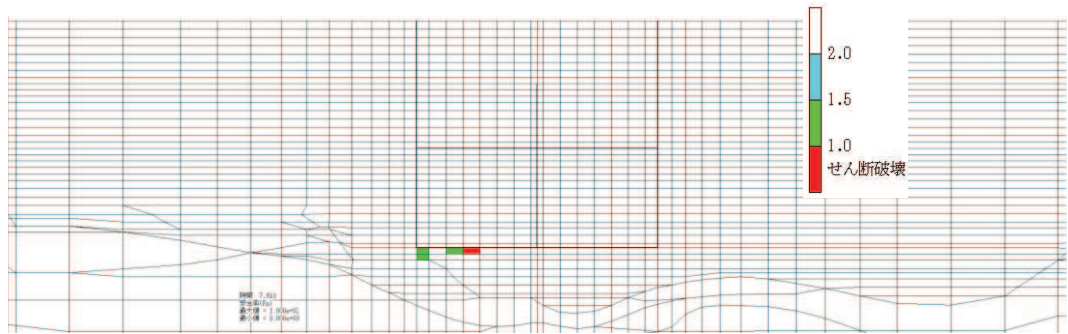


図 6-100 (1) MMR (既設) の引張応力最大時刻の局所安全係数 (せん断破壊着目) (全応力解析)  
 (ケース②, 地震動  $S_s - N1 (-+)$ , 循環水ポンプエリア,  $t = 7.61s$ )

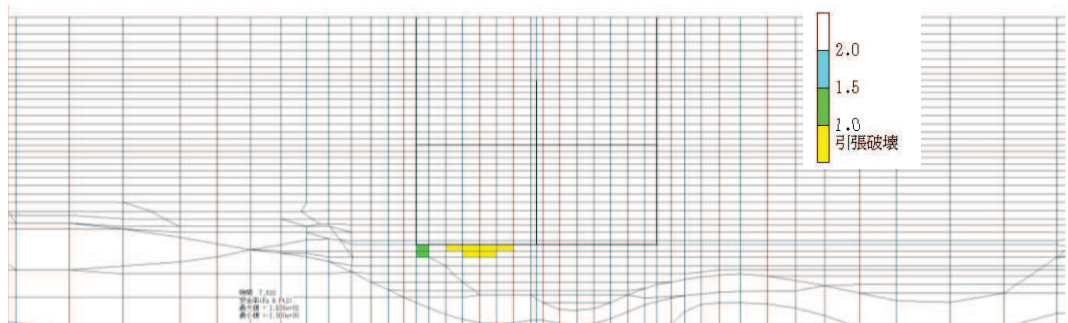


図 6-100 (2) MMR (既設) の引張応力最大時刻の局所安全係数 (引張破壊着目) (全応力解析)  
 (ケース②, 地震動  $S_s - N1 (-+)$ , 循環水ポンプエリア,  $t = 7.61s$ )

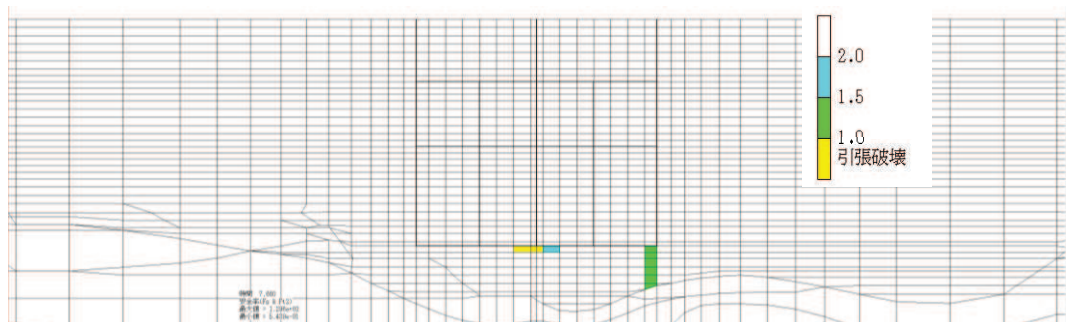


図 6-101 MMR (既設) のせん断応力最大時刻の局所安全係数 (引張破壊着目) (全応力解析)  
 (ケース③, 地震動  $S_s - N1 (++)$ , スクリーンエリア,  $t = 7.66s$ )

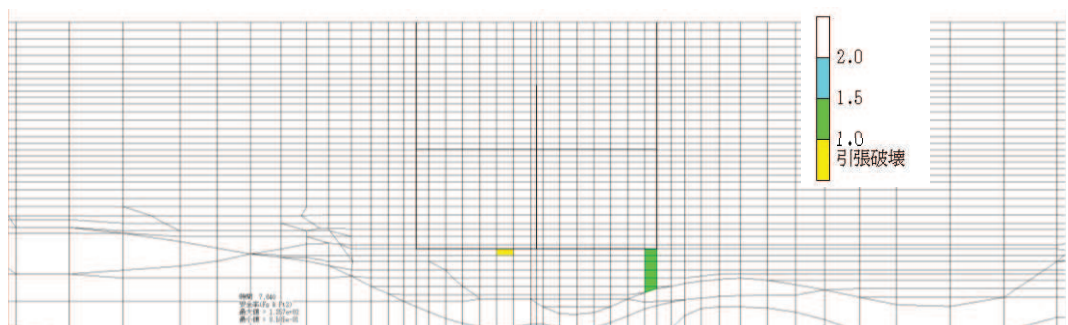


図 6-102 MMR (既設) のせん断応力最大時刻の局所安全係数 (引張破壊着目) (全応力解析)  
 (ケース③, 地震動  $S_s - N1 (++)$ , 循環水ポンプエリア,  $t = 7.64s$ )

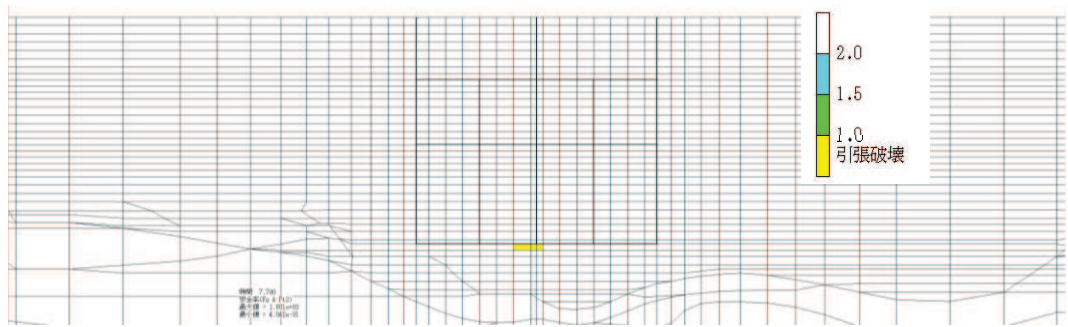


図 6-103 MMR (既設) の引張応力最大時刻の局所安全係数 (引張破壊着目) (全応力解析)  
 (ケース③, 地震動 S s - N 1 (+), スクリーンエリア, t = 7.79s)

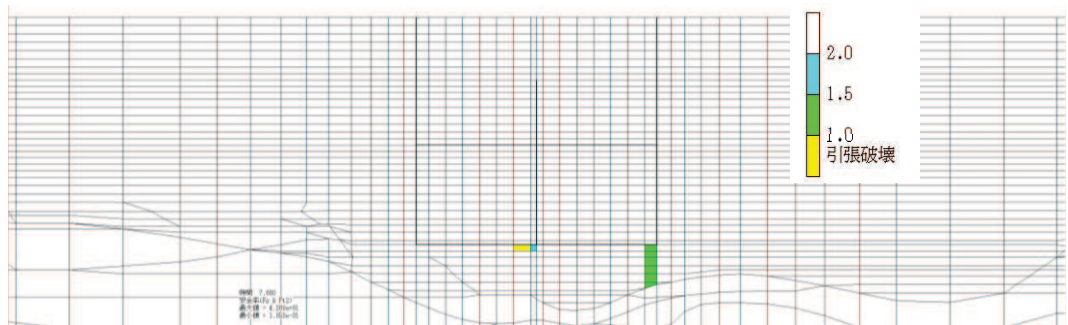


図 6-104 MMR (既設) の引張応力最大時刻の局所安全係数 (引張破壊着目) (全応力解析)  
 (ケース③, 地震動 S s - N 1 (+), 循環水ポンプエリア, t = 7.66s)

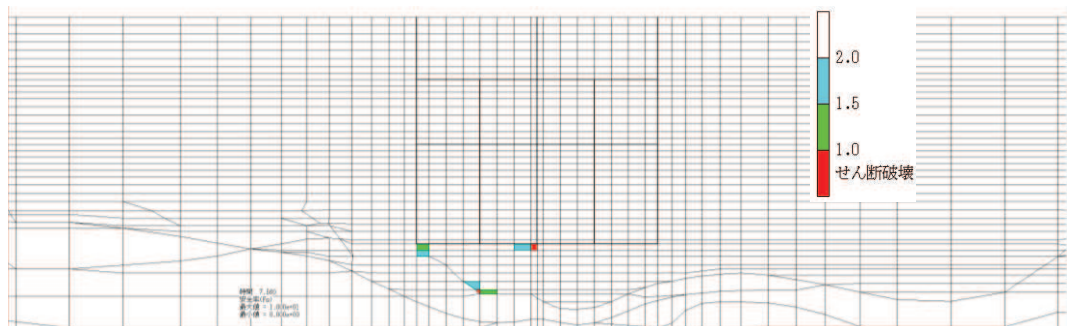


図 6-105 (1) MMR (既設) のせん断応力最大時刻の局所安全係数 (せん断破壊着目)  
 (全応力解析) (ケース③, 地震動 S s - N 1 (-), スクリーンエリア, t = 7.56s)

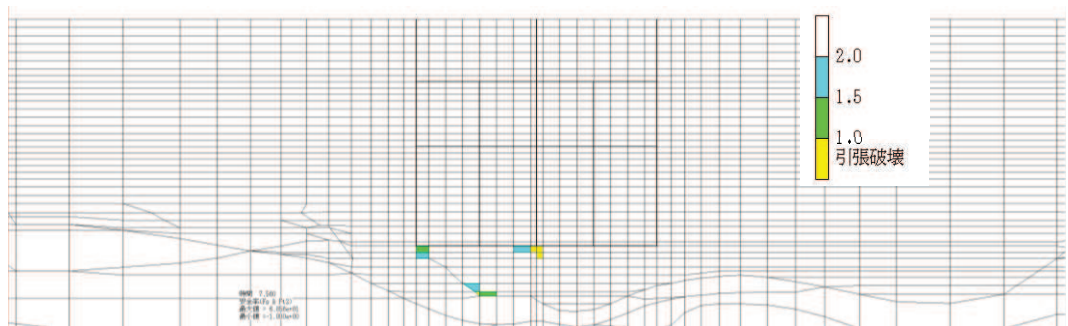


図 6-105 (2) MMR (既設) のせん断応力最大時刻の局所安全係数 (引張破壊着目)  
 (全応力解析) (ケース③, 地震動 S s - N 1 (-), スクリーンエリア, t = 7.56s)



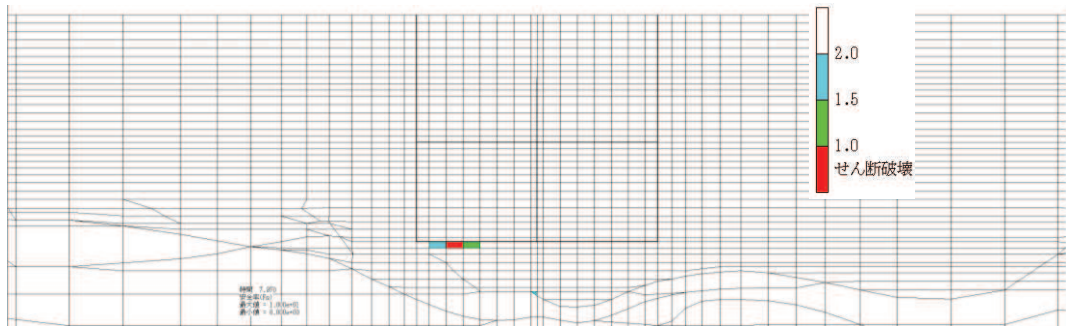


図 6-106 (1) MMR (既設) のせん断応力最大時刻の局所安全係数 (せん断破壊着目) (全応力解析) (ケース③, 地震動  $S_s - N1$  (-+), 循環水ポンプエリア,  $t = 7.97s$ )

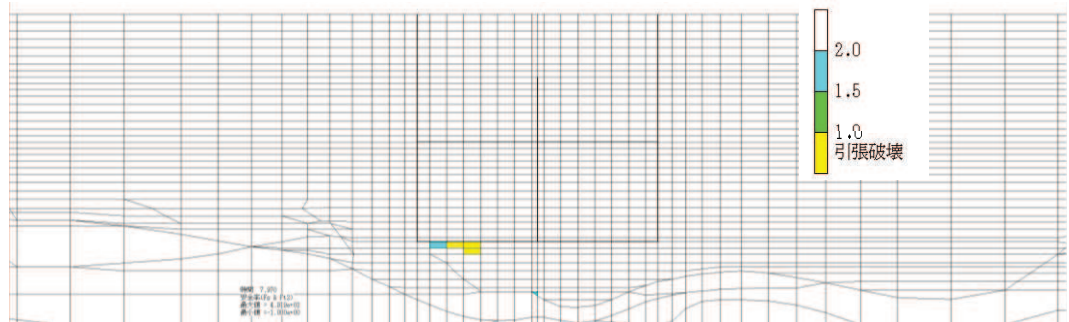


図 6-106 (2) MMR (既設) のせん断応力最大時刻の局所安全係数 (引張破壊着目) (全応力解析) (ケース③, 地震動  $S_s - N1$  (-+), 循環水ポンプエリア,  $t = 7.97s$ )

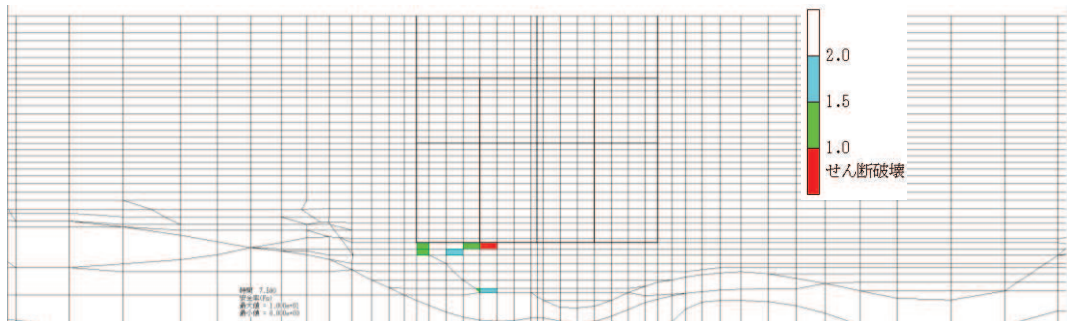


図 6-107 (1) MMR (既設) の引張応力最大時刻の局所安全係数 (せん断破壊着目) (全応力解析) (ケース③, 地震動  $S_s - N1$  (-+), スクリーンエリア,  $t = 7.59s$ )

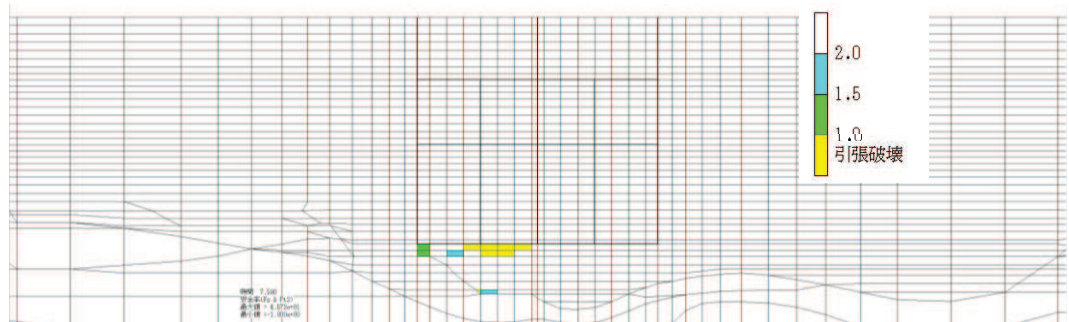


図 6-107 (2) MMR (既設) の引張応力最大時刻の局所安全係数 (引張破壊着目) (全応力解析) (ケース③, 地震動  $S_s - N1$  (-+), スクリーンエリア,  $t = 7.59s$ )

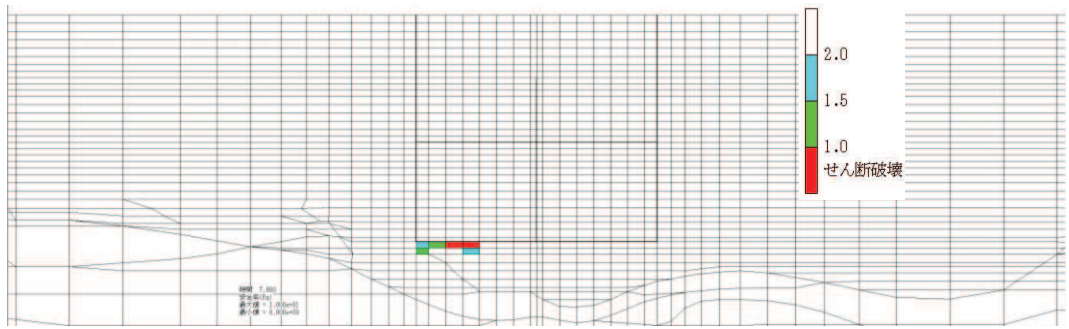


図 6-108 (1) MMR (既設) の引張応力最大時刻の局所安全係数 (せん断破壊着目)  
 (全応力解析) (ケース③, 地震動  $S_s - N1 (-+)$ , 循環水ポンプエリア,  $t = 7.60s$ )

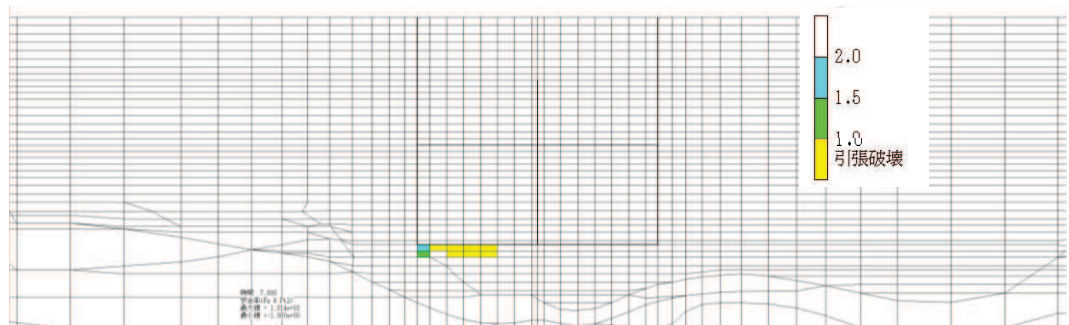


図 6-108 (2) MMR (既設) の引張応力最大時刻の局所安全係数 (引張破壊着目)  
 (全応力解析) (ケース③, 地震動  $S_s - N1 (-+)$ , 循環水ポンプエリア,  $t = 7.60s$ )

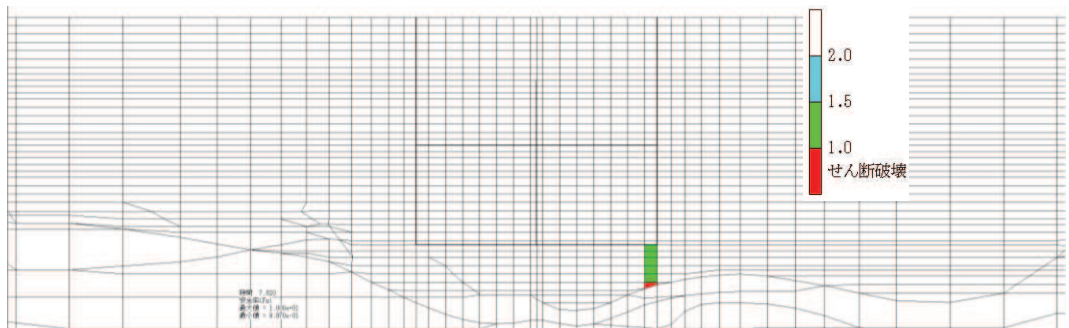


図 6-109 (1) MMR (既設) のせん断応力最大時刻の局所安全係数 (せん断破壊着目)  
 (全応力解析) (ケース④, 地震動  $S_s - N1 (++)$ , 循環水ポンプエリア,  $t = 7.62s$ )

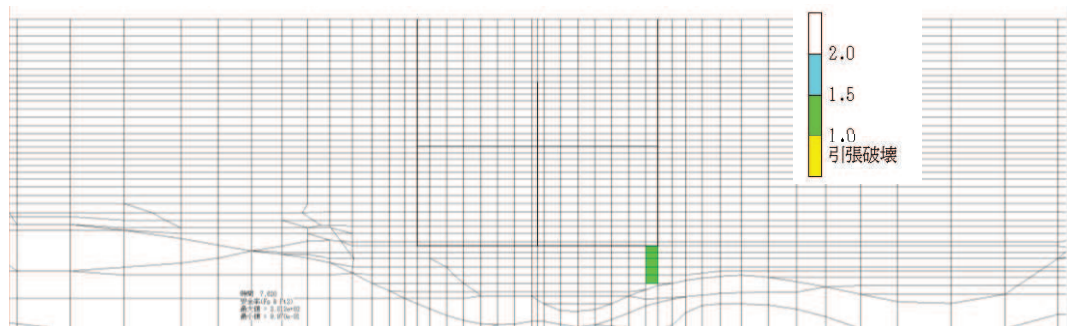


図 6-109 (2) MMR (既設) のせん断応力最大時刻の局所安全係数 (引張破壊着目)  
 (全応力解析) (ケース④, 地震動  $S_s - N1 (++)$ , 循環水ポンプエリア,  $t = 7.62s$ )



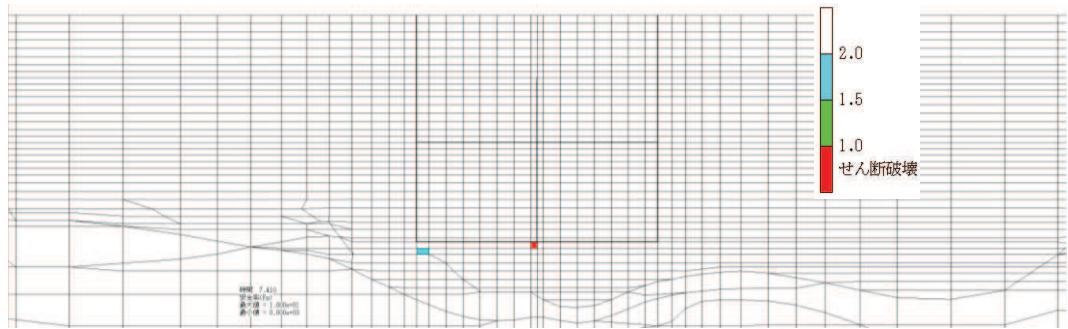


図 6-110 (1) MMR (既設) の引張応力最大時刻の局所安全係数 (せん断破壊着目)  
 (全応力解析) (ケース④, 地震動 S s - N 1 (++) , 循環水ポンプエリア, t = 7.41s)

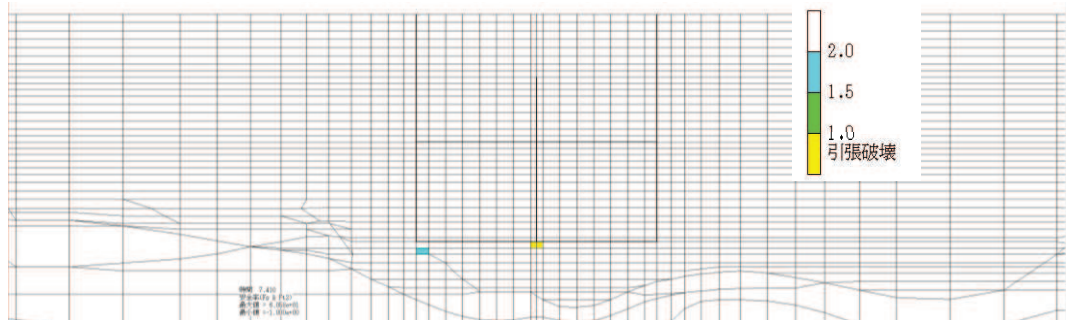


図 6-110 (2) MMR (既設) の引張応力最大時刻の局所安全係数 (引張破壊着目)  
 (全応力解析) (ケース④, 地震動 S s - N 1 (++) , 循環水ポンプエリア, t = 7.41s)

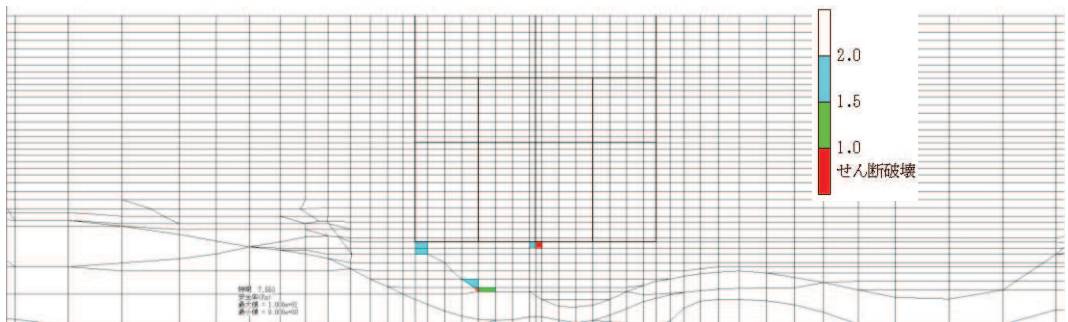


図 6-111 (1) MMR (既設) のせん断応力最大時刻の局所安全係数 (せん断破壊着目)  
 (全応力解析) (ケース④, 地震動 S s - N 1 (-+) , スクリーンエリア, t = 7.55s)

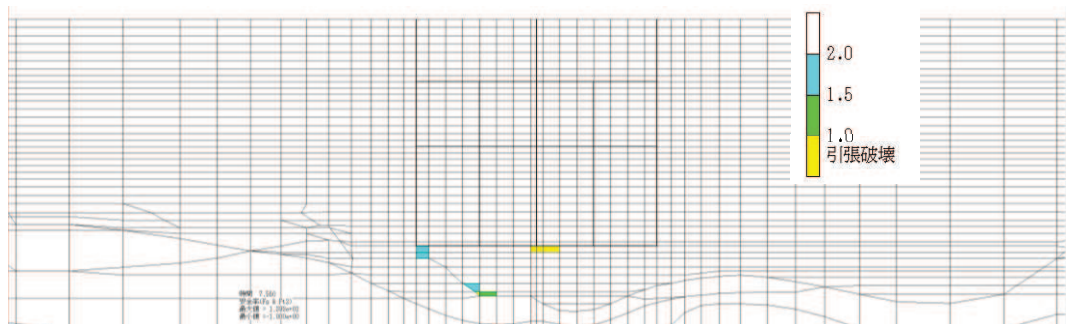


図 6-111 (2) MMR (既設) のせん断応力最大時刻の局所安全係数 (引張破壊着目)  
 (全応力解析) (ケース④, 地震動 S s - N 1 (-+) , スクリーンエリア, t = 7.55s)

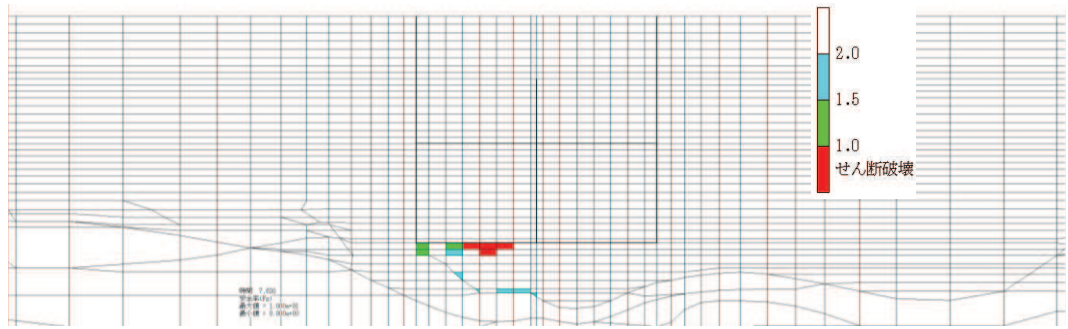


図 6-112 (1) MMR (既設) のせん断応力最大時刻の局所安全係数 (引張破壊着目) (全応力解析) (ケース④, 地震動  $S_s - N1 (-+)$ , 循環水ポンプエリア,  $t = 7.63s$ )

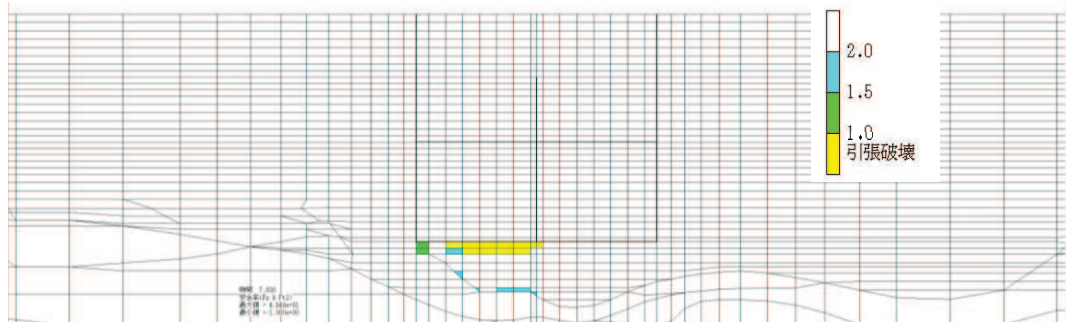


図 6-112 (2) MMR (既設) のせん断応力最大時刻の局所安全係数 (引張破壊着目) (全応力解析) (ケース④, 地震動  $S_s - N1 (-+)$ , 循環水ポンプエリア,  $t = 7.63s$ )

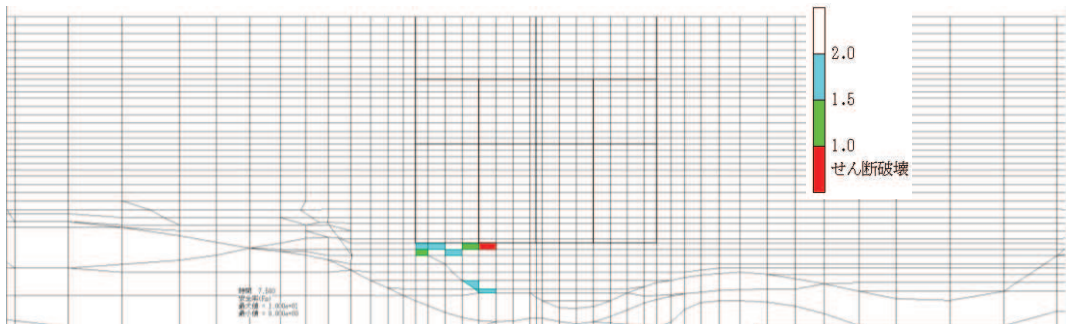


図 6-113 (1) MMR (既設) の引張応力最大時刻の局所安全係数 (せん断破壊着目) (全応力解析) (ケース④, 地震動  $S_s - N1 (-+)$ , スクリーンエリア,  $t = 7.58s$ )

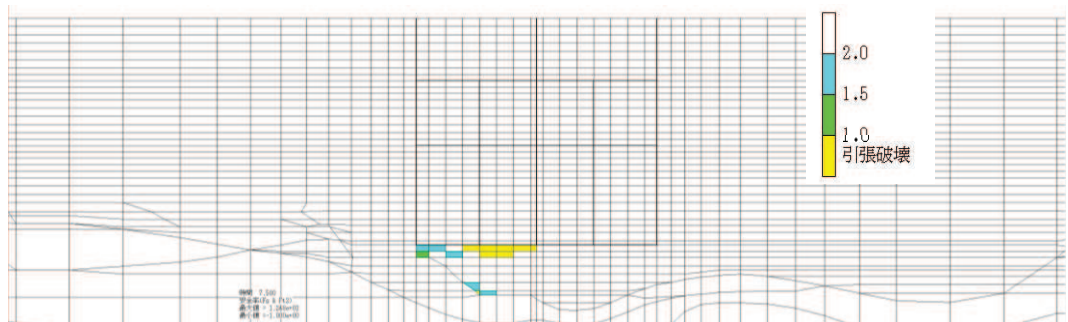


図 6-113 (2) MMR (既設) の引張応力最大時刻の局所安全係数 (引張破壊着目) (全応力解析) (ケース④, 地震動  $S_s - N1 (-+)$ , スクリーンエリア,  $t = 7.58s$ )

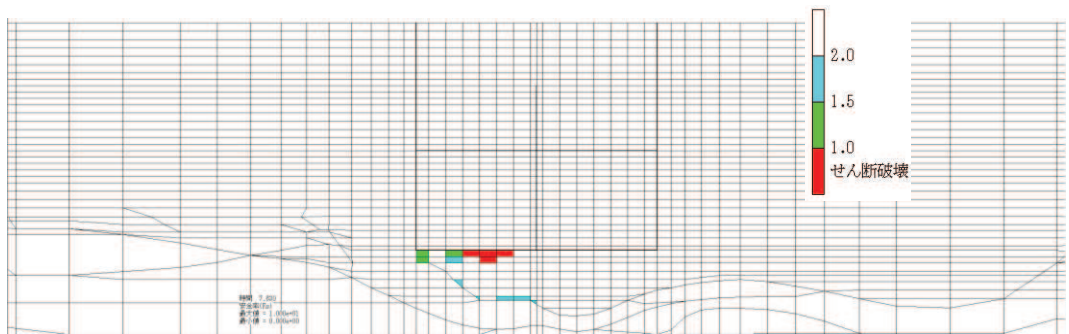


図 6-114 (1) MMR (既設) の引張応力最大時刻の局所安全係数 (せん断破壊着目)  
 (全応力解析) (ケース④, 地震動 S s - N 1 (-+), 循環水ポンプエリア, t = 7.63s)

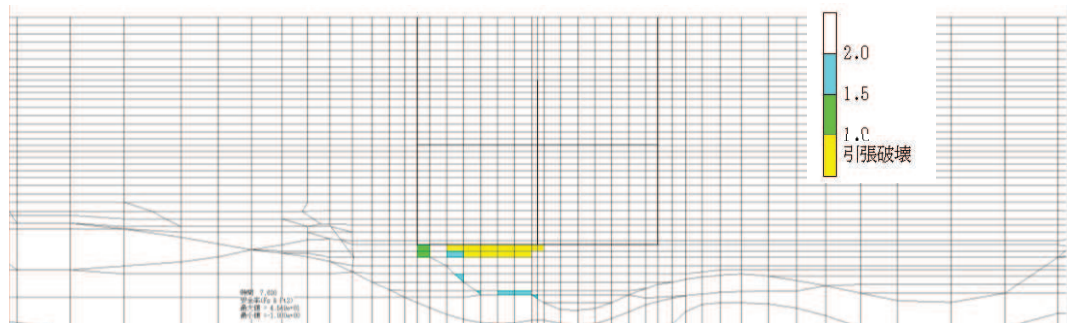


図 6-114 (2) MMR (既設) の引張応力最大時刻の局所安全係数 (引張破壊着目)  
 (全応力解析) (ケース④, 地震動 S s - N 1 (-+), 循環水ポンプエリア, t = 7.63s)



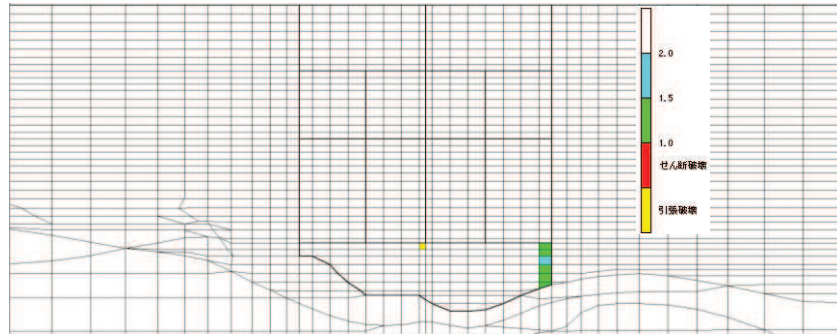


図 6-115 MMR (既設) のせん断応力最大時刻の局所安全係数 (有効応力解析)  
 (ケース⑥, 地震動  $S_s - F2 (-+)$ , スクリーンエリア,  $t = 28.47s$ )

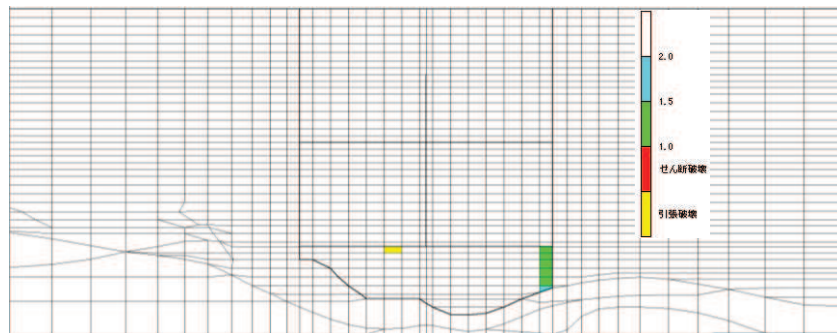


図 6-116 MMR (既設) のせん断応力最大時刻の局所安全係数 (有効応力解析)  
 (ケース⑥, 地震動  $S_s - F2 (-+)$ , 循環水ポンプエリア,  $t = 28.47s$ )

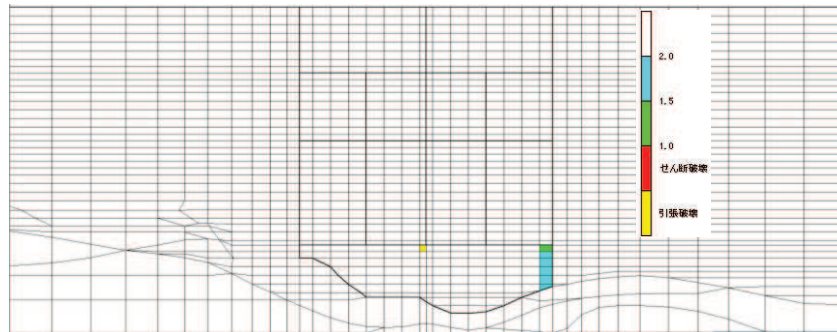


図 6-117 MMR (既設) の引張応力最大時刻の局所安全係数 (有効応力解析)  
 (ケース⑥, 地震動  $S_s - F2 (-+)$ , スクリーンエリア,  $t = 28.44s$ )

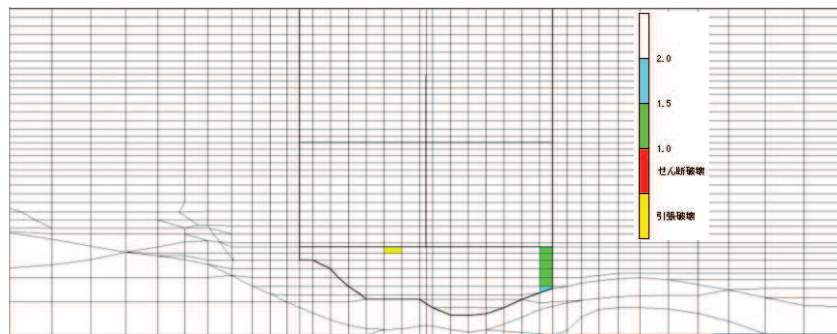


図 6-118 MMR (既設) の引張応力最大時刻の局所安全係数 (有効応力解析)  
 (ケース⑥, 地震動  $S_s - F2 (-+)$ , 循環水ポンプエリア,  $t = 28.47s$ )

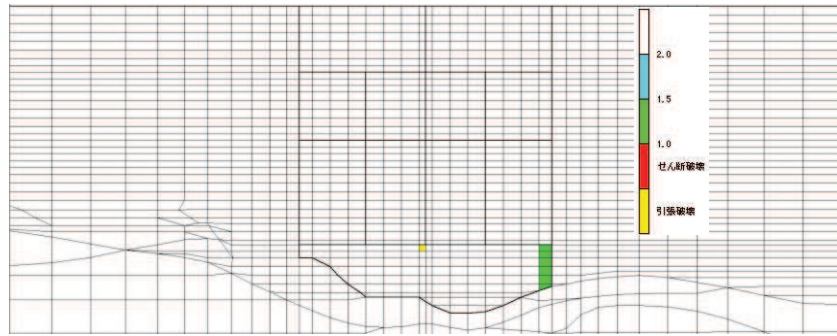


図 6-119 MMR (既設) のせん断応力最大時刻の局所安全係数 (有効応力解析)  
 (ケース⑥, 地震動 S s - N 1 (++) , スクリーンエリア, t = 7.60s)

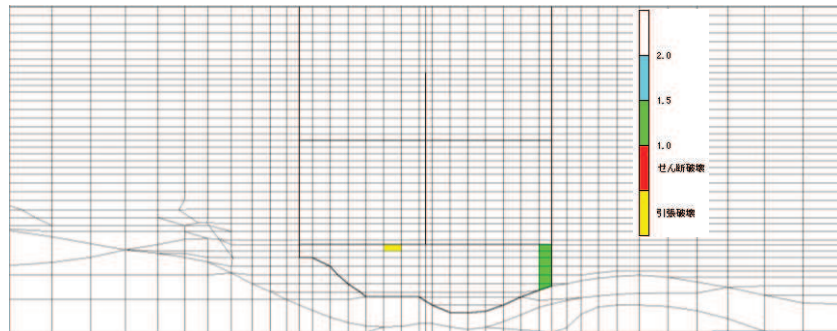


図 6-120 MMR (既設) のせん断応力最大時刻の局所安全係数 (有効応力解析)  
 (ケース⑥, 地震動 S s - N 1 (++) , 循環水ポンプエリア, t = 7.61s)

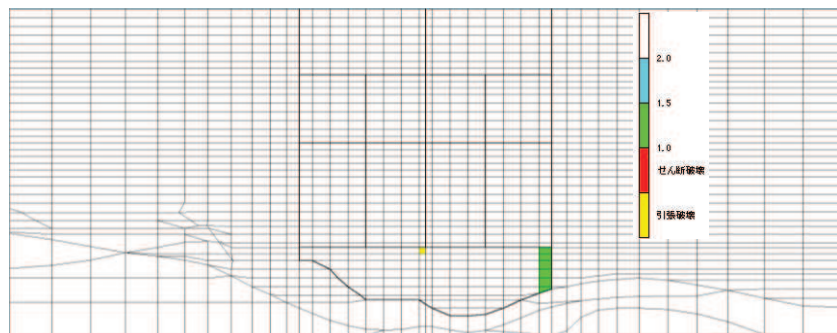


図 6-121 MMR (既設) の引張応力最大時刻の局所安全係数 (有効応力解析)  
 (ケース⑥, 地震動 S s - N 1 (++) , スクリーンエリア, t = 7.59s)

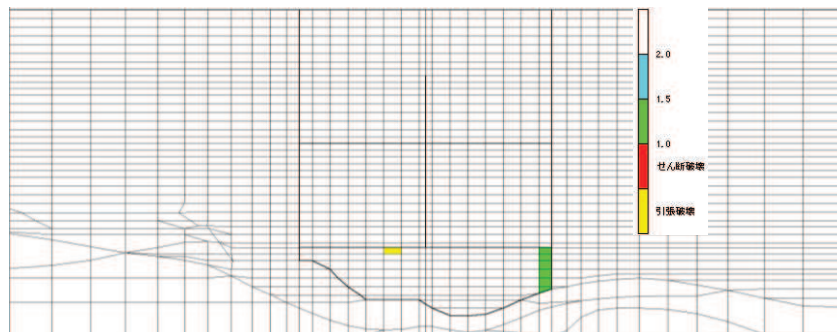


図 6-122 MMR (既設) の引張応力最大時刻の局所安全係数 (有効応力解析)  
 (ケース⑥, 地震動 S s - N 1 (++) , 循環水ポンプエリア, t = 7.60s)



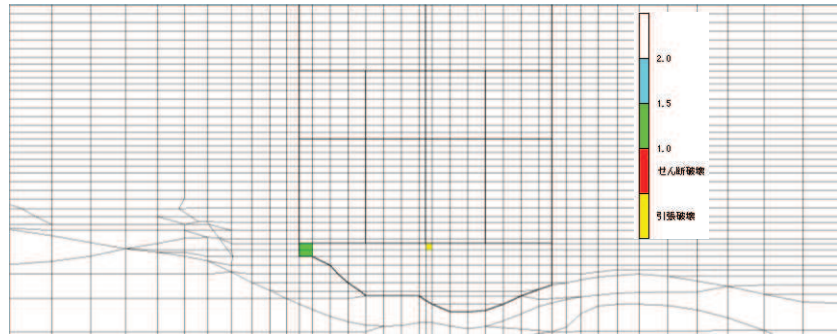


図 6-123 MMR (既設) のせん断応力最大時刻の局所安全係数 (有効応力解析)  
 (ケース⑥, 地震動 S s - N 1 (-+), スクリーンエリア, t = 7.60s)

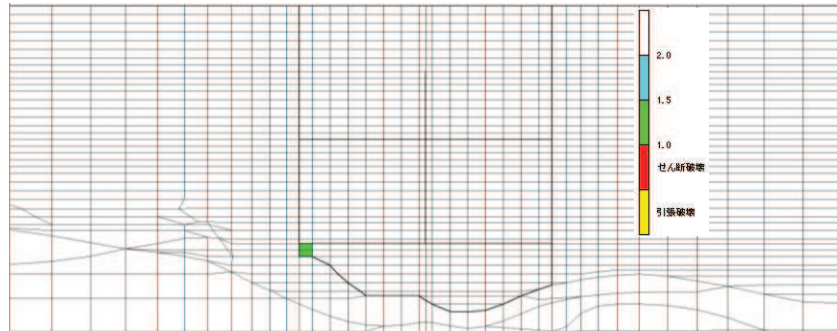


図 6-124 MMR (既設) のせん断応力最大時刻の局所安全係数 (有効応力解析)  
 (ケース⑥, 地震動 S s - N 1 (-+), 循環水ポンプエリア, t = 7.61s)

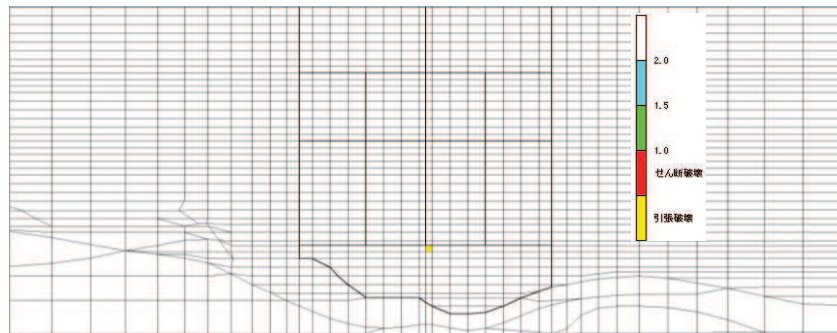


図 6-125 MMR (既設) の引張応力最大時刻の局所安全係数 (有効応力解析)  
 (ケース⑥, 地震動 S s - N 1 (-+), スクリーンエリア, t = 8.12s)

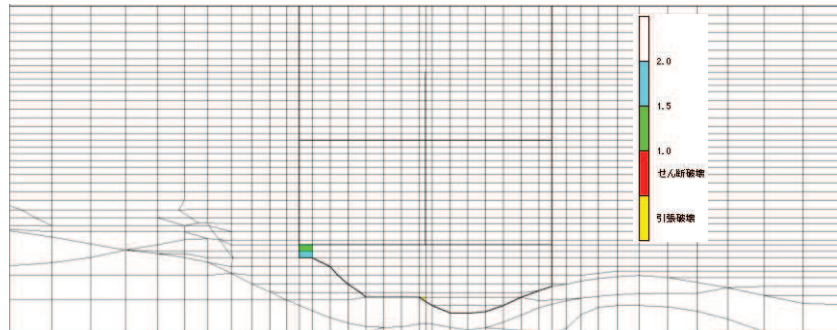


図 6-126 MMR (既設) の引張応力最大時刻の局所安全係数 (有効応力解析)  
 (ケース⑥, 地震動 S s - N 1 (-+), 循環水ポンプエリア, t = 7.58s)



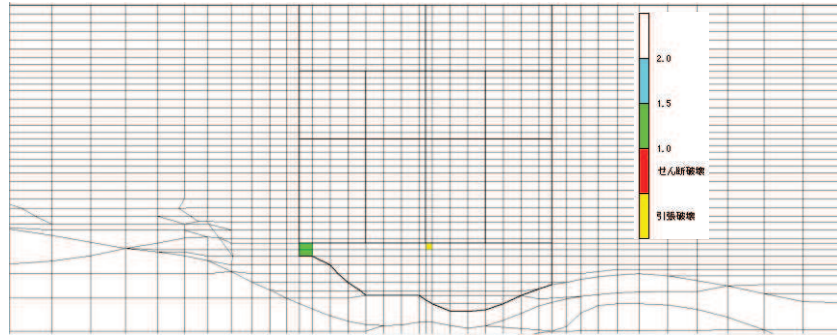


図 6-127 MMR (既設) のせん断応力最大時刻の局所安全係数 (有効応力解析)  
 (ケース⑦, 地震動  $S_s - N1 (-+)$ , スクリーンエリア,  $t = 7.60s$ )

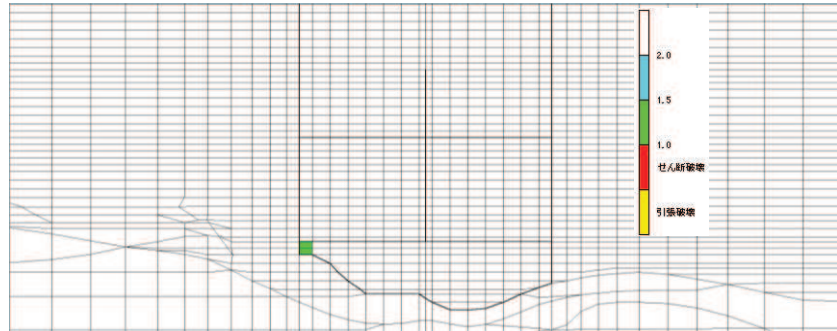


図 6-128 MMR (既設) のせん断応力最大時刻の局所安全係数 (有効応力解析)  
 (ケース⑦, 地震動  $S_s - N1 (-+)$ , 循環水ポンプエリア,  $t = 7.61s$ )

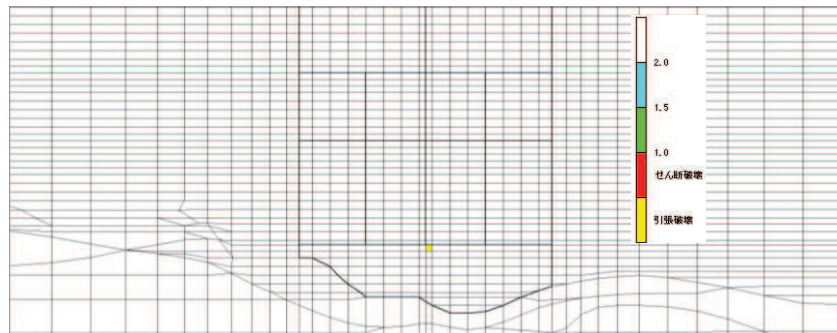


図 6-129 MMR (既設) の引張応力最大時刻の局所安全係数 (有効応力解析)  
 (ケース⑦, 地震動  $S_s - N1 (-+)$ , スクリーンエリア,  $t = 8.12s$ )

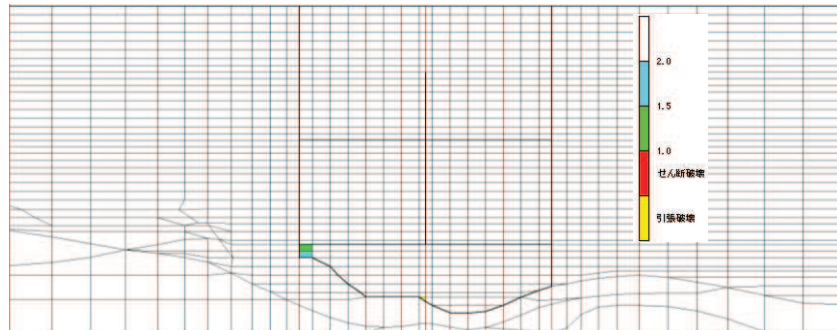


図 6-130 MMR (既設) の引張応力最大時刻の局所安全係数 (有効応力解析)  
 (ケース⑦, 地震動  $S_s - N1 (-+)$ , 循環水ポンプエリア,  $t = 7.58s$ )

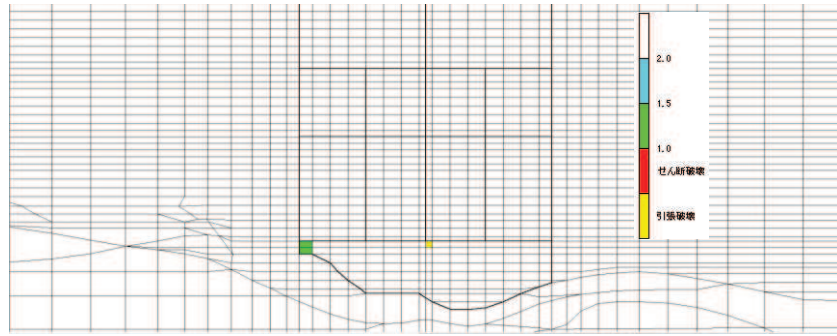


図 6-131 MMR (既設) のせん断応力最大時刻の局所安全係数 (有効応力解析)  
 (ケース⑧, 地震動  $S_s - N1 (-+)$ , スクリーンエリア,  $t = 7.60s$ )

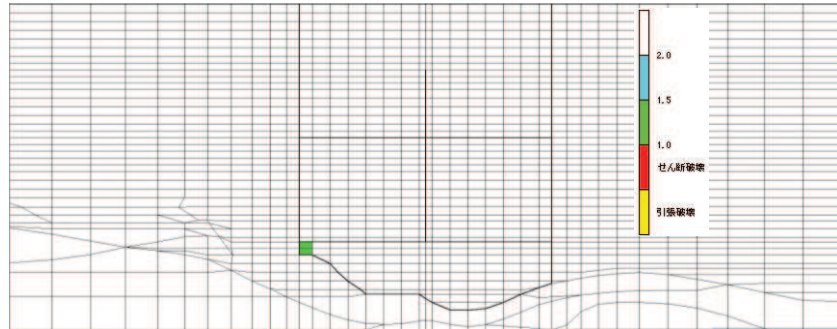


図 6-132 MMR (既設) のせん断応力最大時刻の局所安全係数 (有効応力解析)  
 (ケース⑧, 地震動  $S_s - N1 (-+)$ , 循環水ポンプエリア,  $t = 7.61s$ )

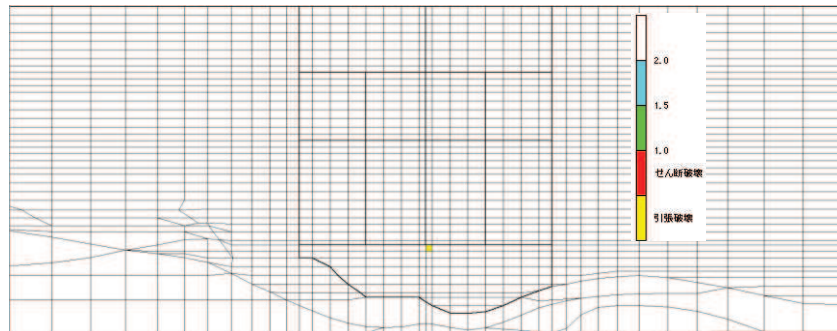


図 6-133 MMR (既設) の引張応力最大時刻の局所安全係数 (有効応力解析)  
 (ケース⑧, 地震動  $S_s - N1 (-+)$ , スクリーンエリア,  $t = 8.13s$ )

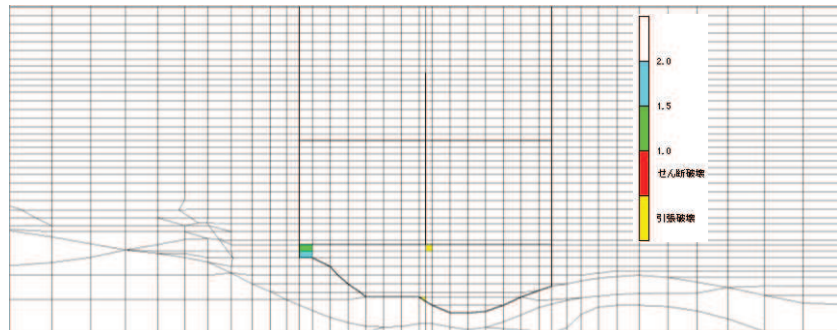


図 6-134 MMR (既設) の引張応力最大時刻の局所安全係数 (有効応力解析)  
 (ケース⑧, 地震動  $S_s - N1 (-+)$ , 循環水ポンプエリア,  $t = 7.58s$ )



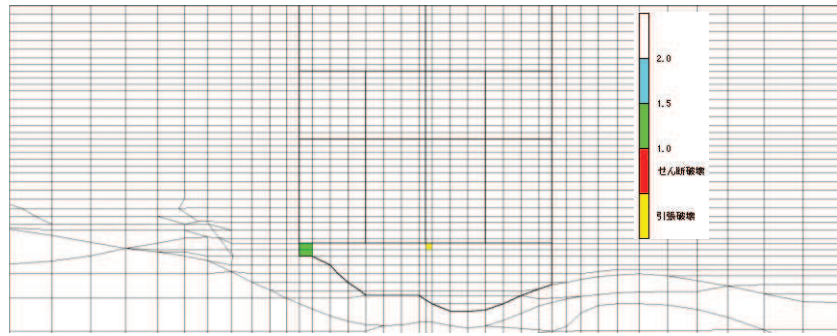


図 6-135 MMR (既設) のせん断応力最大時刻の局所安全係数 (有効応力解析)  
 (ケース⑨, 地震動  $S_s - N1$  (-+), スクリーンエリア,  $t = 7.60s$ )

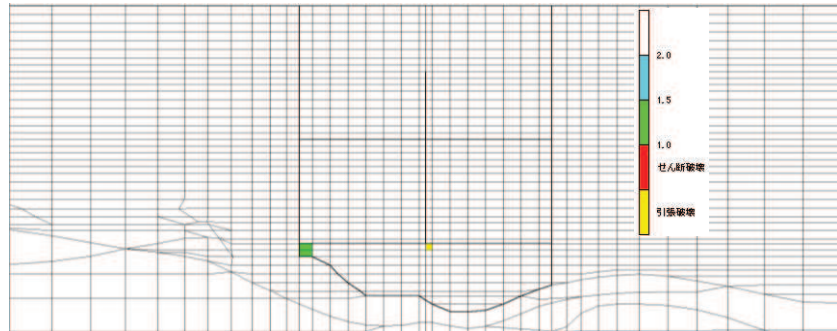


図 6-136 MMR (既設) のせん断応力最大時刻の局所安全係数 (有効応力解析)  
 (ケース⑨, 地震動  $S_s - N1$  (-+), 循環水ポンプエリア,  $t = 7.60s$ )

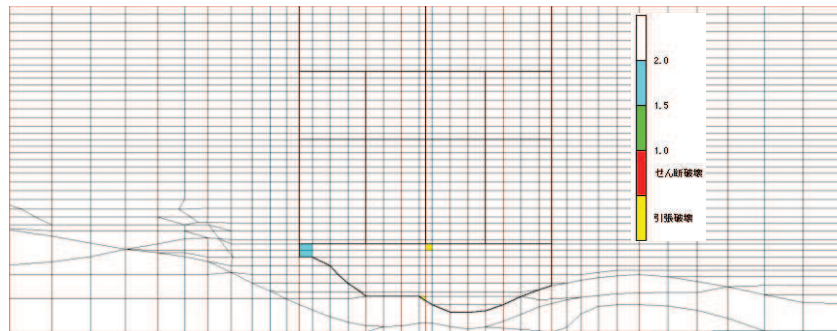


図 6-137 MMR (既設) の引張応力最大時刻の局所安全係数 (有効応力解析)  
 (ケース⑨, 地震動  $S_s - N1$  (-+), スクリーンエリア,  $t = 7.58s$ )

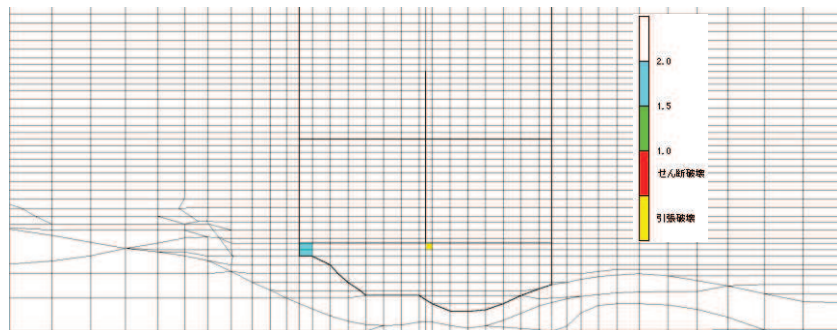


図 6-138 MMR (既設) の引張応力最大時刻の局所安全係数 (有効応力解析)  
 (ケース⑨, 地震動  $S_s - N1$  (-+), 循環水ポンプエリア,  $t = 7.58s$ )

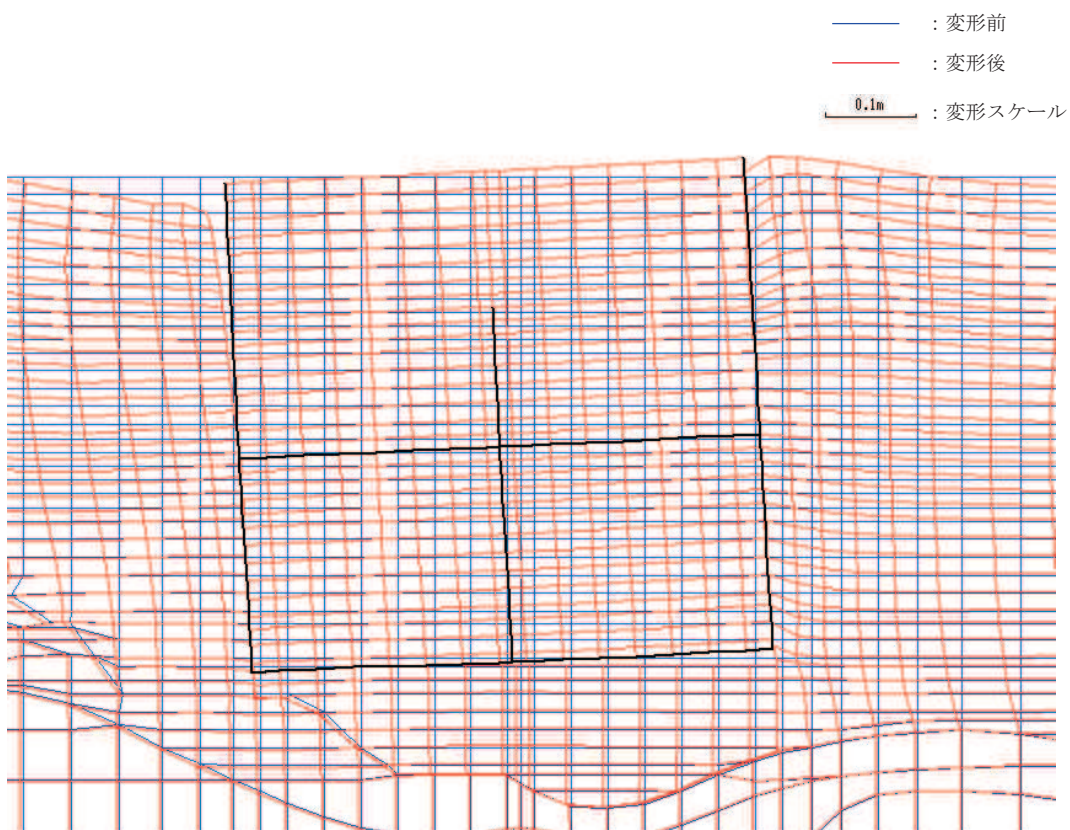


図 6-139 変形図 (全応力解析)

(ケース④, 地震動 S s - N 1 (-+), 循環水ポンプエリア, t = 7.63s)

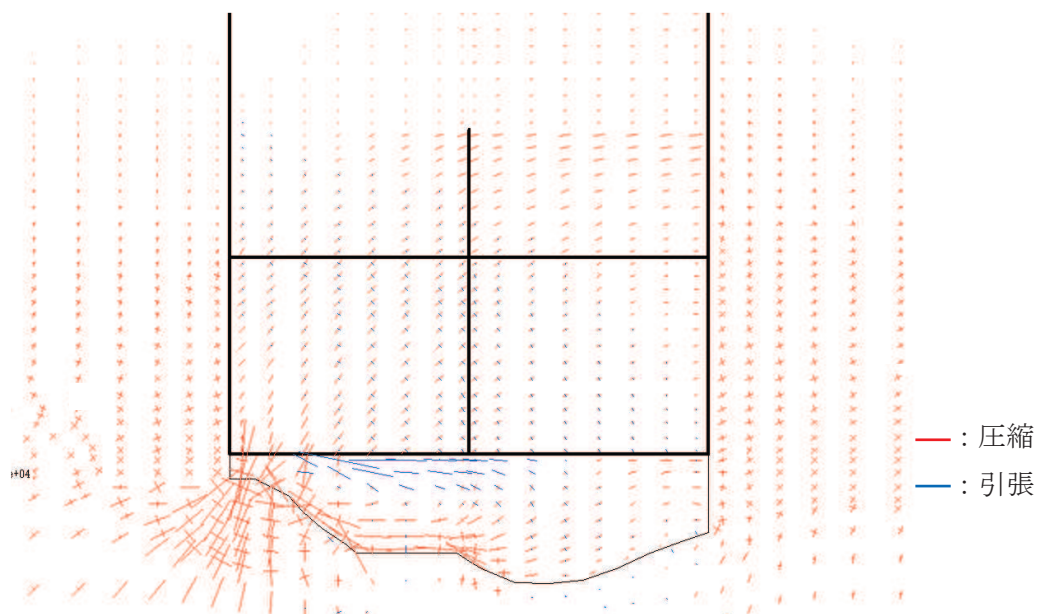


図 6-140 主応力図 (全応力解析)

(ケース④, 地震動 S s - N 1 (-+), 循環水ポンプエリア, t = 7.63s)

## 7. まとめ

第3号機海水ポンプ室については、基準地震動 $S_s$ による耐震評価として、全応力解析及び有効応力解析により構造部材の曲げ・軸力系の破壊、せん断破壊及び基礎地盤の支持性能に対する評価を実施した。

構造部材の健全性評価については、鉄筋及びコンクリートのひずみ、せん断力、壁部材の面内せん断変形に伴う面内せん断ひずみが要求機能に応じた許容限界を下回ることを確認した。

基礎地盤の支持性能評価については、基礎地盤に発生する応力（接地圧）が極限支持力に基づく許容限界を下回ること、MMR（既設）に発生する応力（接地圧）が支圧強度を下回ること及びMMR（既設）の健全性を確認した。

有効応力解析による過剰間隙水圧比は、スクリーンエリア及び循環水ポンプエリアともに、構造物南側に局所的に分布する旧表土において0.95を超えているものの、大部分は0.8未満であり液状化には至っておらず、液状化の影響は限定的と考えられる。また、曲げ・軸力系の破壊、せん断破壊及び基礎地盤の支持性能に対する照査値は、全応力解析と有効応力解析で同等の結果であった。

以上から、第3号機海水ポンプ室は、基準地震動 $S_s$ による地震力に対して、止水機能を損なわないこと及びSクラスの施設を支持する機能を損なわないことを確認した。